

АКАДЕМИЯ НАУК СССР

ЖУРНАЛ ФИЗИЧЕСКОЙ ХИМИИ

ТОМ
XXXIV

ВЫПУСК 8

АВГУСТ

ИЗДАТЕЛЬСТВО АКАДЕМИИ НАУК СССР
МОСКВА · 1960

ЖУРНАЛ ФИЗИЧЕСКОЙ ХИМИИ

Редакционная коллегия:

В. Я. АНОСОВ, К. В. АСТАХОВ, А. И. БРОДСКИЙ, Г. К. БОРЕСКОВ,
Я. И. ГЕРАСИМОВ, С. В. ГОРБАЧЕВ, Г. С. ЖДАНОВ,
Л. А. НИКОЛАЕВ, Н. Н. СЕМЕНОВ, А. Н. ТЕРЕНИН, А. Н. ФРУМКИН,
К. В. ЧМУТОВ

Главный редактор Я. И. ГЕРАСИМОВ

Заместители главного редактора: С. В. ГОРБАЧЕВ, К. В. ЧМУТОВ

Отв. секретарь Л. А. НИКОЛАЕВ

ЗАВИСИМОСТЬ НИЖНИХ КОНЦЕНТРАЦИОННЫХ ПРЕДЕЛОВ ВОСПЛАМЕНЕНИЯ ГАЗОВОЗДУШНЫХ СМЕСЕЙ ОТ МОЛЕКУЛЯРНОЙ СТРУКТУРЫ ГОРЮЧЕГО КОМПОНЕНТА

Н. В. Соловьев и А. Н. Баратов

Установление количественной зависимости между предельными характеристиками процесса горения и молекулярной структурой горючего может явиться одним из вероятных путей решения задачи о связи между реакционной способностью и строением вещества. Кроме того, установление подобных связей несомненно должно способствовать получению новых данных по некоторым кинетическим характеристикам, а также по пределам воспламенения, имеющим большое практическое значение.

В настоящей работе предпринята попытка установить зависимость между нижними концентрационными пределами воспламенения и содержанием атомов углерода в молекуле горючего компонента в пределах отдельных гомологических рядов органических соединений.

В литературе известны немногочисленные попытки нахождения указанной зависимости. Полученные при этом результаты исчерпываются отдельными качественными наблюдениями и эмпирическими данными без достаточно четких обоснований. Кроме того, эти данные часто противоречат друг другу. Так, по данным Бугреса и Уилера [1], нижние концентрированные пределы воспламенения нормальных алканов в воздухе обратно пропорциональны теплотам сгорания горючих компонентов и, следовательно, снижаются с увеличением содержания в молекуле горючего гомолога атомов углерода по линейному закону. Б. Ф. Выбороков [2] приходит к обратному выводу, утверждая, что с повышением молекулярного веса представителя гомологического ряда значения нижних пределов воспламенения повышаются. Скотт и Джонс [3] констатируют отсутствие какой-либо закономерной связи между нижними пределами воспламенения и содержанием в молекуле горючего атомов углерода. К подобному выводу приводит анализ обзора по влиянию молекулярной структуры алканов на их горючие свойства, проведенного Гиббонсом, Барнеттом и Герштейном [4].

Во всех обнаруженных нами в литературе работах по этому вопросу исследования подвергались только алканы. Между тем сопоставление данных при решении подобных задач для нескольких гомологических рядов может явиться средством выяснения как некоторых теоретических, так и, особенно, практических вопросов.

Согласно тепловой теории взрыва Н. Н. Семенова [5], предельное условие воспламенения выражается уравнением:

$$VQ [c_{\text{пред}}] [O_2] K e^{-E/RT} = \chi (T - T_0) S, \quad (1)$$

где V — объем сосуда; $[c_{\text{пред}}]$ — концентрация горючего в смеси, соответствующая нижнему концентрационному пределу воспламенения; Q — теплота сгорания горючего компонента; E — энергия активации; K — предэкспоненциальный множитель; T — температура горения; T_0 — температура окружающей среды (стенки сосуда); χ — теплопроводность из опытных реакций; S — поверхность сосуда.

Перед нами стоит задача: найти количественную связь между содержанием в молекуле горючего атомов углерода и величинами нижних концентрационных пределов для какого-либо гомологического ряда, например для алканов.

Математическое условие задачи заключается в раскрытии зависимости

$$[c_{\text{пред}}] = f(n), \quad (2)$$

где n — число атомов углерода в молекуле горючего компонента.

Учитывая условия поставленной задачи (идентичные условия эксперимента и необходимость определения пределов воспламенения бедных смесей), в первом приближении величины V , χ , S и $[O_2]$ можно считать постоянными.

Действительно, поскольку речь идет лишь о бедных смесях с содержанием в воздухе не более 5% горючих газов, можно полагать, что практически теплопроводность смесей и содержание в них кислорода будут во всех случаях соответствовать величинам указанных показателей для чистого воздуха, т. е. оставаться постоянными.

После этих упрощений исследуемая зависимость (2) с учетом исходного уравнения (1) выразится следующим образом:

$$[c_{\text{пред}}](n) \approx \frac{AT(n)}{Q(n)K(n) \cdot e^{-E(n)/RT(n)}} \quad (3)$$

где A — константа, определяемая условиями опыта и численно равная величине предела воспламенения первого члена гомологического ряда $[c_{\text{опред}}]$, в данном случае метана; $Q(n)$; $K(n)$; $E(n)$; $T(n)$ — функции соответствующих параметров в зависимости от содержания атомов углерода в молекуле гомолога.

Решение уравнения (3) возможно только при раскрытии функциональных связей, входящих в его правую часть.

Попытаемся решить эту задачу для алканов.

Зависимость $Q(n)$, как известно [6, 7], выражается линейным уравнением вида:

$$Q(n) = k_1(n-1) + B, \quad (4)$$

где k_1 — коэффициент, характеризующий гомологический ряд; B — величина Q для первого гомолога.

Для выявления характера зависимости $E(n)$ использовались представленные в табл. 1 данные по энергиям активаций брутто-реакций высокотемпературного окисления бедных смесей для ряда углеводородов, рассчитанные Фенном и Калькотом [8] по уравнению, выведенному ими из условия (1). Сопоставляя эти данные, можно видеть, что величина E практически не изменяется с увеличением длины цепи алкана. Отсюда получаем

$$E(n) \approx \text{const.} \quad (5)$$

Аналогичное допущение можно сделать относительно изменения в указанных условиях величины предэкспоненциального множителя K . Согласно данным Валкера и Райта [9], величина K для различных углеводородов постоянна, т. е.

$$K(n) \approx \text{const.} \quad (6)$$

Относительно зависимости $T(n)$ надо отметить следующее. Достижение критической величины нижнего предела воспламенения практически ли-

Таблица 1

Углеводород	E , ккал/моль
Метан	26
Этан	26
Пропан	26
Бутан	28
Пентан	26

митируется для бедных смесей теплоотводом через воздух. В одних и тех же экспериментальных условиях этот теплоотвод определяется разностью температур горения и стенки, т. е. $T - T_0$. Поскольку теплопроводность газовой смеси во всех случаях примерно постоянна (см. выше), то и величина предельного теплоотвода будет также для всех веществ постоянной. Следовательно, при составе смеси, соответствующей нижнему концентрационному пределу, для всех веществ теплотворная способность («потенциальный запас энергии») элемента объема газовой смеси также будет постоянной.

Отсюда

$$T(n) = T_{\text{пред}}(n) \approx \text{const}, \quad (7)$$

где $T_{\text{пред}}$ — температура горения на нижнем пределе воспламенения.

Подобное допущение использовалось и ранее [10, 11].

Подставив выражения (4), (5), (6) и (7) в уравнение (3), получаем

$$[c_{\text{пред}}](n) \approx \frac{[c_0 \text{ пред}] T_{\text{пред}}}{[k_1 (n - 1) + B] K e^{-E/RT_{\text{пред}}}} \quad (8)$$

или после преобразования и соответствующих упрощений:

$$[c_{\text{пред}}](n) \approx \frac{1}{\frac{k_1 K e^{-E/RT_{\text{пред}}}}{[c_0 \text{ пред}] T_{\text{пред}}}(n - 1) + \frac{B K e^{-E/RT_{\text{пред}}}}{[c_0 \text{ пред}] T_{\text{пред}}}}; \quad (9)$$

$$[c_{\text{пред}}](n) \approx \frac{1}{a(n - 1) + d}, \quad (10)$$

где a и d — константы, определяемые свойствами соответствующего гомологического ряда и условиями эксперимента.

Уравнения (9) и (10) соответствуют гиперболической зависимости между пределами воспламенения и содержанием атомов углерода в молекуле горючего гомолога.

Экспериментальная часть

Целью этой части исследования являлось подтверждение выведенных выше соотношений, для чего требовалось определить нижние пределы воспламенения горючих газо- и паровоздушных смесей.

Исследованию подвергались нормальные алканы, спирты нормального изоэроения, сложные эфиры муравьиной и уксусной кислот и указанных пиртов.

Метан, получавшийся нагреванием формиата натрия с едким натром, технические — этан, пропан и бутан — очищали от примесей и влаги [2] и хранили в газометрах над насыщенным раствором NaCl. Остальные сходные вещества готовили или из технических продуктов путем соответствующей очистки, или большей частью синтезом известными методами [3]. Константы исходных веществ приведены в табл. 2.

Экспериментальное подтверждение выведенных соотношений между пределами воспламенения и молекулярной структурой горючего связано необходимостью исследования большого числа веществ от газов до жидкостей с температурами кипения до 200° и выше. Поэтому применялись за метода исследования.

Пределы воспламенения газозвудушных смесей определялись в цилиндрическом сосуде длиной в 1 мм, диаметром 55 мм, выполненном из молибденового стекла ис. 1). Смесии газов готовились по парциальным давлениям при перемешивании точностью до 0,1% путем перепуска компонентов из сосудов I, II и III в предельно эвакуированный до 2—3 мм рт. ст. сосуд 1.

Таблица 2

Вещество	d_4^{20}	n_D^{20}	$T_{кип}^*$	$T_{пред}^{\circ C}$	$[\epsilon_{пред}]$ %
Метан	—	—	—	—	5,21
Этан	—	—	—	—	3,22
Пропан	—	—	—	—	2,37
Бутан	—	—	—	—	1,81
Гексан	0,660	1,3704 20,4 **	67,0	—26,5	1,20
Гептан	0,684	1,3875 20,3	29—31 (60)	— 6,5	1,03
Октан	0,702	1,3974	44—46 (60)	12,5	0,92
Метанол	0,792	1,3284 21,0	64,0	7,0	6,11
Этанол	0,789	1,3617	79,0	10,5	3,13
Пропанол	0,804	1,3855	97,0	21,0	2,12
Изопропанол	0,784	20,6 1,3772	82,0	11,0	2,44
Бутанол	0,810	1,3990	118,0	31,0	1,61
Изобутанол	0,802	1,3962 20,8	108,5	25,5	1,78
Изоамиловый спирт	0,811	1,4076	132,0	40,5	1,32
Гексанол	0,817	1,4151 19,2	57,5—59 (10)	54,0	1,08
Гептанол	0,829	1,4251	98—99,5 (40)	70,0	0,92
Октанол	1,828	1,4302 19,8	88—89 (10)	81,0	0,80
Изооктанол	0,838	1,4307 19,3	76—78 (10)	70,0	0,89
Нонанол	0,828	1,4325	97—100 (10)	84,5	0,73
Метилформиат	0,973	1,3445 21,2	31—34,0	—29,5	5,54
Этилформиат	0,928	1,3586 20,5	51,0—53,5	—18,5	3,41
Пропилформиат	0,898	1,3800	79—85,0	— 7,0	2,60
Изопропилформиат	0,871	1,3771	69,5—72,0	—11,0	3,02
Бутилформиат	0,892	1,3896 20,0	39—41,5 (60)	8,0	1,95
Изобутилформиат	0,885	1,3851 21,5	31,5—33,5 (60)	5,0	1,98
Изоамилформиат	0,871	1,3971 20,8	52—55 (60)	18,0	14,2
Гексилформиат	0,892	1,4086	44—47 (10)	36,5	1,29
Гептилформиат	0,886	1,4257 21,2	75,0 (20)	54,5	1,17
Октилформиат	0,888	1,4147	79,0 (20)	74,0	1,0
Нонилформиат	0,867	1,4210 20,1	132—133 (60)	95,0	0,96
Метилацетат	0,933	2,3571	55—59,0	—12,0	4,35
Этилацетат	0,903	1,3722	76—78	— 3,5	2,53
Пропилацетат	0,884	1,3840 19,8	36—39 (60)	9,0	1,91
Бутилацетат	0,881	1,3954 21,5	47—50 (40)	18,5	1,44
Гексилацетат	0,884	1,4086	56—60 (10)	46,0	0,96
Гептилацетат	0,874	1,4150	76—78 (10)	57,0	0,82
Октилацетат	0,871	1,4202	96—97 (15)	69,0	0,74
Нонилацетат	0,890	1,4239	100—104 (10)	85,0	0,86

* В скобках указано давление, при котором определялась $T_{кип}$.

** Цифры сверху обозначают температуры, при которых определялись значения коэффициента рефракции (а также удельный вес).

Пределы воспламенения паров горючих жидкостей определялись по методу температурных пределов воспламенения [14], так как ни один из известных методов непосредственного определения концентрационных пределов воспламенения не может быть использован для исследования жидкостей с $T_{\text{кип}}$ до 200° и выше. Этот метод заключается в том, что в герметизированном аппарате определяются температуры, при которых в свободном пространстве над жидкостью создаются концентрации смеси паров горючей жидкости с воздухом, соответствующие концентрационным пределам воспламенения. Эти температуры соответственно называются нижним и верхним температурными пределами воспламенения.

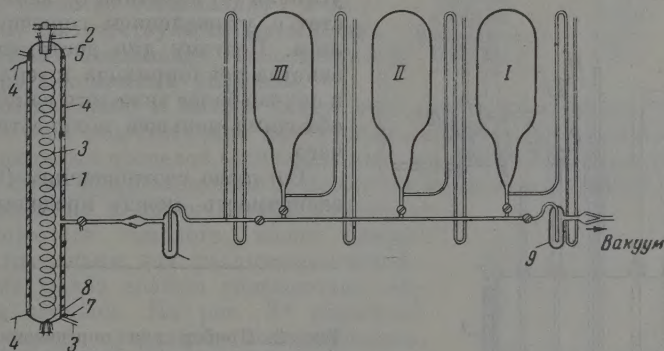


Рис. 1. Схема установки для определения пределов воспламенения: 1 — реакционный сосуд; 2 — мотор Уоррена; 3 — змеевик; 4 — обогревающая спираль; 5 — подшинник; 6 — мешалка; 7 — термопары; 8 — резиновая пробка с электродами; 9 — ловушка

Пересчет с температурных на концентрационные пределы производился по уравнению:

$$[c_{\text{пред}}] = \frac{P_{\text{прец}}}{P_{\text{атм}}} \cdot 100,$$

где $P_{\text{прец}}$ — давление насыщенных паров в мм рт. ст., соответствующее температурному пределу; $P_{\text{атм}}$ — атмосферное давление в мм рт. ст.; $[c_{\text{пред}}]$ — концентрационный предел в объемн. %.

Определение температурных пределов производилось в сосуде диаметром 60 мм и высотой 220 мм из молибденового стекла (рис. 2).

Термостатирование при повышенных температурах обеспечивалось применением ротоэлектронного реле, а при пониженных температурах — регулировкой скорости транспортировки метанола (охлаждаемого жидким азотом) по медному змеевику, навитому на сосуд.

Воспламенение в обоих случаях производилось электроразрядом от индуктора ИВ-50 с напряжением во вторичной обмотке ~ 42 кВ, при помощи медных электродов, расстояние между которыми составляло 5—8 мм.

За критерий воспламенения в обоих методах принималось распространение пламени по всей высоте сосуда.

Данные по давлению насыщенных паров, необходимые для расчета концентрационных пределов воспламенения, заимствовались из сводок Стелла [15] и Иордана [16]. При отсутствии для отдельных веществ подобных характеристик последние устанавливались опытным путем.

Результаты экспериментального исследования сведены в табл. 2 и представлены на рис. 3.

При пересчете с температурных на концентрационные пределы учитывалась поправка на начальную температуру. Величина поправки определялась по следующему правилу: при повышении температуры на 100° нижний концентрационный предел воспламенения снижается на 8—10% [3, 10].

Анализ кривых (рис. 3) показывает, что для всех исследованных гомологических рядов с увеличением содержания в молекуле горючего гомолога атомов углерода нижние концентрационные пределы воспламенения монотонно снижаются. Эта закономерность подтверждается анализом предельного условия воспламенения (1).

Действительно, правая часть этого уравнения, характеризующая теплоотвод, практически в пределах гомологического ряда остается постоян-

ной, в то время как в левой части условия (1) величина Q заметно растет с утяжелением горючего гомолога. Поэтому для достижения равенства теплоприхода и теплоотвода в случае более тяжелого гомолога необходимо меньшее количество горючего.

Согласно соотношениям (9) и (10) зависимость между пределами вос-

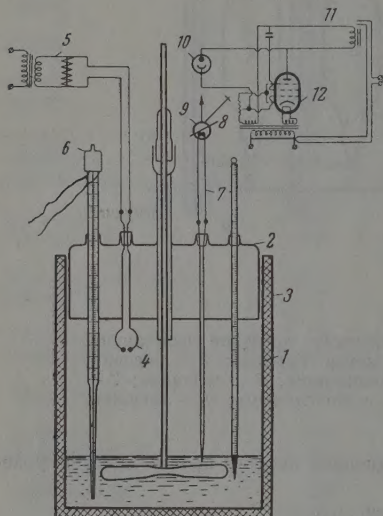


Рис. 2. Прибор для определения температурных пределов воспламенения: 1 — стакан; 2 — крышка, притертая к стакану; 3 — обогрев и охлаждение стакана; 4 — электроды; 5 — индуктор ИВ-50; 6 — контактный термометр; 7 — термопара 531-Б; 8 — осветитель; 9 — зеркальный гальванометр М-24; 10 — фотоэлемент; 11 — реле; 12 — пентод

пламенения и содержанием атомов углерода в молекуле горючего гомолога должна описываться гиперболическим законом.

На рис. 4 представлена графическая обработка экспериментальных данных в трансформированных координатах, выпрямляющих зависимость (10). Как видно из рисунка, экспериментальные данные хорошо согласуются с линейной зависимостью. Указанной обработкой вычислены количественные соотношения между $[c_{\text{пред}}]$ и n для алканов, спиртов, форматов и ацетатов. Численные значения коэффициентов, входящих в уравнение (10), для указанных рядов сведены в табл. 3.

К сожалению, недостаточное число известных данных по кинетическим характеристикам, входящим в уравнение (9), не дает возможности рассчитывать эти коэффициенты непосредственно по подобным характеристикам. Казалось бы, что в таком случае для каждого гомологического ряда коэффициенты a и d должны определяться только эмпирически, при накоплении достаточного числа соответствующих экспериментальных данных. Однако анализ экспериментальных результатов показывает, что для всех исследованных гомологических рядов зависимость между $[c_{\text{пред}}]$ и n выражается уравнением (10), и, следовательно, можно предположить аналогию найденных соотношений для этих рядов. Поэтому целесообразно применить в данном случае один из методов сравнительного расчета свойств веществ. Эти методы за последнее время получили детальное развитие в работах М. Х. Карапетянца [17, 18].

Нами был использован сравнительный метод расчета какого-либо свойства вещества в рядах сходственных соединений при постоянных

внешних условиях [18]. Этот метод заключается в том, что одинаковые свойства представителей различных гомологических рядов связываются линейной зависимостью, если характер их изменения от одного и того же параметра подобен, и выражается уравнением:

$$G_{II} \approx AG_I^3 + B, \quad (11)$$

где G — свойство соединения; I и II — индексы, соответствующие двум рядам родственных соединений, сопоставляемым при постоянных условиях.

Применительно к нашим целям этот метод использован следующим образом: при сопоставлении полученных опытных значений нижних концентрационных пределов воспламенения, в случае справедливости выдвинутого выше предположения об аналогии зависимости между пределами воспламенения и молекулярной структурой горючего гомолога, связь между этими пределами для различных гомологических рядов должна описываться линейным законом. На рис. 5* показана связь между пределами воспламенения алканов, спиртов, формиатов и ацетатов.

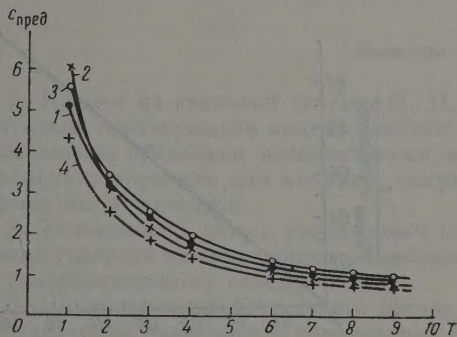


Рис. 3

Таблица 3

Гомологический ряд	a	d
Алканы	0,108	0,164
Спирты	0,154	0,164
Формиаты	0,116	0,180
Ацетаты	0,164	0,230

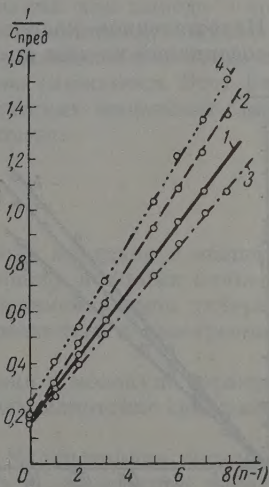


Рис. 4

Рис. 3. Нижние концентрационные пределы воспламенения алканов, спиртов, ацетатов и формиатов в зависимости от числа атомов углерода в молекуле горючего (n): 1 — алканы; 2 — спирты; 3 — формиаты; 4 — ацетаты

Рис. 4. Зависимость между пределами воспламенения алканов, спиртов, формиатов и ацетатов и числом атомов углерода в молекуле горючего в трансформированных координатах: 1 — алканы; 2 — спирты; 3 — формиаты; 4 — ацетаты

Из рис. 5 видно, что экспериментальные данные с достаточным приближением подчиняются линейному закону. Тем самым, во-первых, подтверждается вывод об аналогии исследуемой зависимости между $[C_{пред}]$ и n для всех исследованных гомологических рядов, а, во-вторых, представляется возможность выразить количественно соотношения между пределами воспламенения различных гомологических рядов.

* График на рис. 5 для удобства построен в координатах, выпрямляющих зависимость $[C_{пред}] = f(n)$.

Обработав данные, представленные на рис. 5, по уравнению (14), получаем

$$[c_{\text{пред}}]_{II, III, IV} \approx A [c_{\text{пред}}]_I^*, \quad (12)$$

где *I*, *II*, *III* и *IV* — индексы, обозначающие соответственно алканы, спирты, формиаты и ацетаты.

В табл. 4 сведены значения коэффициента *A*, входящего в уравнение (12), для указанных рядов.

Применение сравнительного метода расчета позволяет устанавливать количественную связь между пределами воспламенения и содержанием атомов углерода в молекуле горючего для любых других гомологических рядов, если известно значение предела воспламенения хотя бы одного гомолога.

Таблица 4

Гомологический ряд	<i>A</i>
Спирты	0,901
Формиаты	1,070
Ацетаты	0,834

В табл. 2, кроме соединений нормальной структуры, приведены данные экспериментального определения пределов воспламенения ряда изосоединений.

Недостаточное количество данных по пределам воспламенения для изосоединений не дает возможности установить эмпирически количествен-

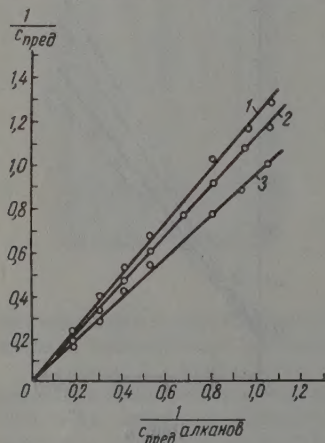


Рис. 5

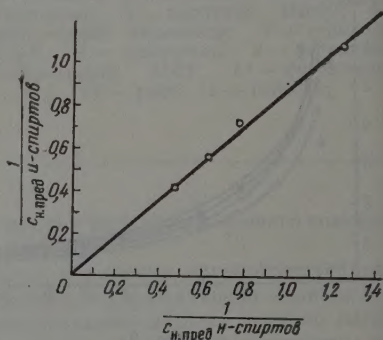


Рис. 6

Рис. 5. Зависимость между пределами воспламенения алканов и спиртов, формиатов, ацетатов: 1 — ацетаты, 2 — спирты, 3 — формиаты

Рис. 6. Зависимость между пределами воспламенения *n*-спиртов и изоспиртов

ные соотношения между пределами воспламенения и содержанием атомов углерода в молекуле горючего гомолога. Попытаемся решить эту задачу для изоспиртов с помощью сравнительного метода.

На рис. 6 построен график, выражающий зависимость между нижними концентрационными пределами воспламенения *n*-спиртов и изоспиртов. В качестве исходных данных для построения этой зависимости из табл. 2 выбраны значения пределов воспламенения *n*-спиртов и величина нижнего

* В уравнении (12) константа *B*=0, так как все прямые на рис. 5 пересекаются в начале координат. Это обстоятельство объясняется тем, что в этой точке для всех рядов $[c_{\text{пред}}]=0$, поскольку $n=0$.

предела изобутилового спирта, равная 1,78%. На этот график нанесены экспериментальные значения нижних концентрационных пределов воспламенения изопропилового, изоамилового и изооктилового спиртов.

Как видно из рисунка, экспериментальные данные хорошо согласуются построенной по сравнительному методу расчета графической зависимости. По данным полученного графика рассчитана количественная зависимость между пределами воспламенения и содержанием атомов углерода в молекуле изоспирта. Она выражается уравнением:

$$[C_{\text{пред}}] = \frac{1}{0,178(n-1) + 0,146}.$$

В заключение необходимо отметить следующее.

Анализ данных по пределам воспламенения (табл. 2) показывает, что для веществ с разветвленной структурой область воспламенения по составу сужается по сравнению с веществами, имеющими нормальное строение молекулы того же состава. Это обстоятельство обусловлено, очевидно, увеличением термостойкости веществ с разветвлением их структуры. Однако указанное обстоятельство не дает оснований для вывода о том, что с разветвлением структуры пожароопасность органических жидкостей уменьшается. Из данных табл. 2 видно, что с разветвлением молекулы горючей жидкости температурные пределы заметно снижаются. Этот факт обусловлен увеличением упругости паров органических жидкостей с увеличением разветвленности составляющих их молекул.

Выводы

1. Исходя из тепловой теории Н. Н. Семенова выведена и экспериментально подтверждена количественная связь между нижними концентрационными пределами воспламенения и содержанием атомов углерода в молекуле горючего для алканов, спиртов нормального и изостроения, ормиатов и ацетатов.

2. Установлено, что с увеличением содержания в молекуле горючего атомов углерода нижние концентрационные пределы монотонно снижаются по гиперболическому закону.

3. Применение сравнительного метода М. Х. Карапетьянца показало, что найденная зависимость справедлива для всех исследованных гомологических рядов.

Выведенные количественные соотношения в сочетании со сравнительным методом могут служить для расчета пределов воспламенения большого количества веществ.

4. Для ряда углеводородов и их кислородопроизводных впервые определены значения температурных и концентрационных пределов воспламенения.

Поступила
30.VIII.1956

ЛИТЕРАТУРА

1. M. Burgess, R. Wheeler, J. Chem. Soc., 105, 2596, 1914.
2. Б. В. Выхороков, Канд. диссерт., ЛГУ, Л., 1953.
3. M. Zabetacis, G. Jones, Scott, Industr. a. Engng Chem., 43, № 9, 1951.
4. K. Gibbons, S. Barnett, M. Gerstein, Industr. a. Engng Chem., 46, № 10, 1954.
5. Н. Н. Семенов, Цепные реакции, Госхимтехиздат, 1934.
6. E. Prosen, F. Rossini, J. Res. Nat. Bur. Standards, 34, 263, 1951.
7. F. Rossini, J. Res. Nat. Bur. Standards, 13, 21, 1934.
8. J. Fenn, H. Calcote, Forth Symposium on Combustion, Baltimore, 1954.
9. P. Walker, Wright, J. Amer. Chem. Soc., 75, 750, 1953.
10. A. White, J. Chem. Soc., 121, 1688, 1922; 127, 672, 1935.

11. J. Fenn, *Industr. a. Engng Chem.*, **43**, 2865, 1951.
12. М. Деметьева, *Анализ углеводородных газов*, Гостоптехиздат, 1953.
13. P. Sabatier, A. Milhe, *Compt. rendus* **154**, 176, 1912.
14. М. Г. Годжелло, Э. В. Коршак, *Информ. сб. ЦНИИПО, Изд-во МХ РСФСР*, 1955.
15. Д. Стелл, *Таблицы давления паров индивидуальных веществ*, ИИЛ, 1949.
16. T. Jordan, *Vapor pressure of organic compounds*, N. Y., 1954.
17. М. Х. Карапетьянц, *Ж. физ. химии*, **29**, 938, 1132, 1955.
18. М. Х. Карапетьянц, *Ж. физ. химии*, **27**, 934, 1953.

THE DEPENDENCE OF THE LOWER CONCENTRATION LIMITS OF
INFLAMMATION OF GAS — AIR MIXTURES UPON THE MOLECULAR
STRUCTURE OF THE COMBUSTIBLE COMPONENT

N. V. Solov'ev and A. N. Baratov (Moscow)

Summary

A quantitative expression correlating the lower inflammation limits of gas/vapor — air mixtures and the carbon atom content of the inflammable molecule has been proposed within the limits of the homologous series of organic molecules on the basis of Semenov's heat explosion theory. The wide applicability of the expression has been demonstrated with the aid of the comparative methods of calculating properties of substances systematized by M. Karapet'yants.

ЗАКОНОМЕРНОСТИ ЗАМЕЩЕНИЯ АТОМОВ ВОДОРОДА
В БЕНЗОЛЬНОМ ЯДРЕ АЛКИЛЬНЫМИ ГРУППАМИXI. СООТНОШЕНИЕ МЕЖДУ КОНСТАНТАМИ СКОРОСТИ ОБРАЗОВАНИЯ
ИЗОПРОПИЛБЕНЗОЛОВ И УРАВНЕНИЯ СОСТАВА ПРОДУКТОВ
АЛКИЛИРОВАНИЯ ДИИЗОПРОПИЛБЕНЗОЛА ПРОПИЛЕНОМ
В ПРИСУТСТВИИ ХЛОРИСТОГО АЛЮМИНИЯ

*Е. П. Бабин, В. Г. Плюснин, М. И. Насакина
и Н. М. Родигин*

Ранее сообщалось [1], что алкилирование бензола пропиленом в присутствии хлористого алюминия является обратимо-последовательной реакцией, причем обратимыми являются первая, вторая и четвертая ступени реакции.

Обратимость первой ступени была подтверждена в статье авторов [2], где было показано, что при алкилировании моноизопропилбензола пропиленом при 60° в присутствии хлористого алюминия образуется в значительных количествах бензол как продукт дезалкилирования моноизопропилбензола. Для исследованной реакции были подобраны соотношения констант скоростей прямой и обратной реакций, и показано, что найденные соотношения соответствуют соотношениям констант скоростей реакции алкилирования бензола пропиленом.

Представляло интерес выяснить, каково будет поведение диизопропилбензола при алкилировании пропиленом в аналогичных условиях, т. е. при 60° и соотношении хлористого алюминия к диизопропилбензолу: 0,03 моля катализатора на моль алкилбензола.

Для проведения опытов по алкилированию была использована диизопропилбензольная фракция, полученная при алкилировании с хлористым алюминием. Указанная фракция, выкипающая в интервале температур 98—212°, содержит до 70% *m*-изомера и до 30% *n*-изомера [3] и имеет следующие физико-химические константы: d_4^{20} 0,8505, n_D^{20} 1,4898; *o*-изомера диизопропилбензольная фракция не имеет.

Экспериментальная часть¹

Алкилирование диизопропилбензола проводилось при 60° в трехгорной колбе, снабженной обратным холодильником, шнековой мешалкой барботером для подачи пропилена. Скорость вращения мешалки колебалась в пределах 2000—2500 об/мин. Хлористого алюминия было использовано 0,03 моля на моль диизопропилбензола.

Скорость подачи 98% пропилена была в среднем — 150 л/час на 1 кг алкилбензола и практически равна скорости конверсии пропилена реакционной массой.

Полученные продукты алкилирования промывались совместно с катализаторным слоем ледяной водой, разбавленной соляной кислотой, щелочью и водой до нейтральной реакции. После высушивания над хлористым кальцием катализаты подвергались разгонке на ректификационной колонке, погоно-разделительная способность которой равна 30 теоретическим тарелкам.

Результаты разгонки (в вес. %) приведены в табл. 1.

Обсуждение результатов

Как видно из данных табл. 1, алкилирование диизопропилбензола пропиленом является обратимо-последовательной реакцией, так как при алкилировании при малых молярных соотношениях образуется моноизо-

Таблица 1

Состав катализаторов (в вес. %)

n'	n	P_1	P_2	P_3	P_4
0,098	2,098	6,6	61,5	11,0	
0,195	2,195	5,5	58,0	26,3	
0,611	2,611	1,7	31,0	54,8	
0,886	2,886	—	12,3	76,8	
0,967	2,967	1,0	7,5	85,6	7,0
1,112	3,112	0,2	2,0	82,1	12,8
1,389	3,389	—	0,6	62,1	35,8
1,450	3,450	0,3	0,4	56,0	41,2
1,482	3,482	—	0,2	60,1	34,9

Примечание. n — отношение пропилен—бензол; n' — отношение пропилен—диизопропилбензол; P_i — весовой процент моно-, ди-, три- и тетраизопропилбензолов, полученных при разгонке катализаторов.

пропилбензол как продукт дезалкилирования диизопропилбензола. Таким образом, для алкилирования диизопропилбензола можно написать схему реакции:



Указанная схема опирается на опытные данные, хотя она фактически должна протекать по схеме [1]:



Первая ступень реакции дезалкилирования до бензола не наблюдается при алкилировании диизопропилбензола пропиленом. Обратимость второй ступени подтверждена опытными данными (табл. 1). Обратимость четвертой ступени показана в [1].

В схеме обратимо-последовательной реакции (1) константы k_2 и k_3 относятся к прямой реакции алкилирования. Константа k'_4 является обобщен-

Таблица 2

Характеристика фракций алкилбензолов

Фракции	$t, ^\circ\text{C}$	d_4^{20}	n_D^{20}	Йодное число	Точка плавления	Содержание, %			
						изопропил-бензол	диизопропил-бензол		1, 3, 5-триизо-пропилбензол
							1,3-изо-мер	1,4-изомер	
Моноизопропилбен- зол	148—152	0,8624	1,4915	0,0	—	100	—	—	—
Диизопропилбензол	198—212	0,8510	1,4890	0,0	—	—	64	36	—
Триизопропилбензол	223—225	0,8551	1,4888	0,0	—	—	—	—	100
Тетраизопропилбен- зол	250—255	—	—	0,0	117 118°	—	—	—	—

ной константой скорости прямой и обратимой реакции. Обратная реакция дезалкилирования диизопропилбензола имеет константу скорости β_2 .

Для подбора соотношения констант скоростей обратимо-последовательной реакции были использованы кинетические уравнения, приведенные в [4]. В результате подбора постоянных α_i и β_2 [4] были найдены следующие соотношения констант: $\beta_2 : k_2 : k_3 : k'_4$ как 0,14 : 1 : 0,029 : 0,0013 при $g_2 = 1,1435$ и $g_1 = 0,025$.

На основании найденного соотношения констант скоростей прямых и обратной реакции были вычислены уравнения состава системы, имеющие вид:

$$\begin{aligned} c_1 &= 14,0 (0,894 e^{-0,025kt} - 0,894 e^{-1,1435kt}), \\ c_2 &= 87,13 e^{-0,025kt} - 12,82 e^{-1,1435kt}, \\ c_3 &= 2,9 (36,89 e^{-0,0013kt} - 36,78 e^{-0,025kt} + 0,112 e^{-1,1435kt}), \\ c_4 &= 100 - \sum_{c_1}^{c_3} c_i. \end{aligned} \quad (3)$$

На основании уравнений (3), используя равенство

$$n = \frac{1c_1 + 2c_2 + 3c_3 + 4c_4}{100}, \quad (4)$$

была найдена зависимость n от kt , причем вычисленные значения n больше опытных n' на две единицы.

Указанная разность в значениях n отражает наличие обратимо-последовательной реакции и указывает, что исходным алкилбензолом для алкилирования был взят диизопропилбензол, образующийся в максимальном количестве при значениях n , близких к двум (числу алкильных групп в алкилбензоле).

Зависимость n от kt выражается уравнением:

$$n = 4 - 1,069e^{-0,0013kt} - 1,051e^{-0,025kt} - 0,122e^{-1,1435kt}. \quad (5)$$

Численная зависимость n от kt , вычисленная по уравнениям (4) и (5), приведена в табл. 3.

Таблица 3
Зависимость n от kt

n	2,133	2,328	2,700	2,896	3,095	3,168	3,280
kt	10	20	50	80	150	200	300

Состав системы, вычисленный по уравнениям (3), практически соответствует составам, полученным при различных молярных соотношениях пропилен—диизопропилбензол, что видно на кривой состава (рисунок).

Сравнивая соотношения скоростных постоянных для систем бензол — пропилен, моноизопропилбензол — пропилен [2] и диизопропилбензол — пропилен, можно установить следующие зависимости между константами скорости образования изопропилбензолов.

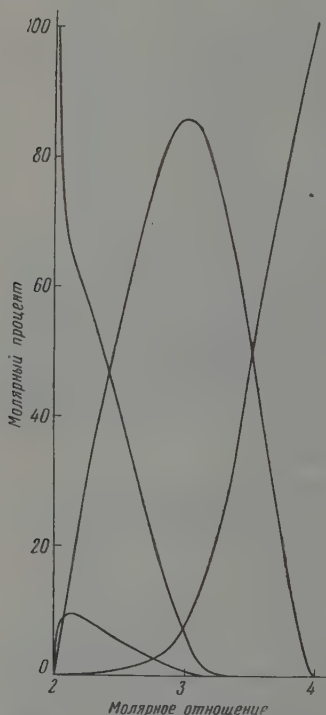
Бензол	Изопропилбензол	Диизопропилбензол	}	(6)
1) $k'_1 = k'$.	5) $\beta_1 = 0,38k$;	10) $\beta_2 = 0,14k_2$;		
2) $k'_2 = 0,58k'$;	6) $k_1 = k$;	11) $k'_2 = k_2$;		
3) $k'_3 = 0,24k'$;	7) $k'_2 = 0,20k$;	12) $k_3 = 0,029k_2$;		
4) $k'_4 = 0,015k'$;	8) $k_3 = 0,065k$;	13) $k'_4 = 0,0013k_2$.		
	9) $k'_4 = 0,003k$;			

Здесь k'_1 , k'_2 и k'_4 представляют собой обобщенные константы скорости прямой и обратной реакции, в отличие от константы k_3 , которая является константой только прямой реакции.

Из зависимостей 2), 7) и 3), 12) формулы (6)

$$\left. \begin{aligned} 14) \quad k &= 2,9k'; \\ 15) \quad k_2 &= 8,27k'. \end{aligned} \right\} \quad (7)$$

Заменяя в соотношениях, полученных при алкилировании изопропилбензола и диизопропилбензола k и k_2 на их значения, выраженные через k' 14) и 15) формулы (7), получаем:



Зависимость молярного состава продуктов алкилирования диизопропилбензола пропиленом от молярного соотношения

по изопропилбензолу по диизопропилбензолу

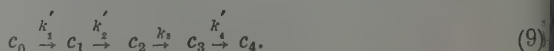
$$\left. \begin{aligned} \beta_1 &= 1,1k'; & \beta_2 &= 1,65k'; \\ k &= 2,9k'; & k_2 &= 8,27k'; \\ k'_2 &= 0,58k'; & k_3 &= 0,24k'; \\ k_3 &= 0,20k'; & & \\ k'_4 &= 0,0087k'; & k'_4 &= 0,0108k'. \end{aligned} \right\} \quad (8)$$

Если во всех трех случаях соотношения констант скорости были установлены правильно, то они, будучи выражены через одну и ту же величину k' , должны были бы дать одинаковые величины во всех трех случаях или близкие между собой, за исключением k'_4 , установленному при алкилировании изопропилбензола. Следует иметь в виду, что эти расхождения не могут сильно изменить состав системы изопропилбензолов, выраженный уравнениями (5), (2), (3) в силу того, что константа скорости k'_4 очень мала по сравнению с k' и к тому же появляется в уравнениях состава только при определении триизопропилбензолов.

Проверка правильности найденных соотношений констант может быть произведена вычислением состава системы при значениях n , когда из системы исчезает моноизопропилбензол по уравнениям состава бензол — пропилен [5], моноизопропилбензол — пропилен [2], и по уравнениям (3).

Данные, вычисленные по различным уравнениям, приведенные в табл. 4, указывают на близкий состав систем, что свидетельствует о том, что соотношения констант для систем бензол — пропилен, моноизопропилбензол — пропилен и диизопропилбензол — пропилен подобраны правильно и что для расчета состава системы с успехом могут использоваться уравнения системы бензол — пропилен [5], либо уравнения системы моноизопропилбензол — пропилен [2] при значениях $n > 3$, когда из системы исчезает моноизопропилбензол.

Учитывая близость найденных соотношений констант для трех исследованных систем, можно найти их средние значения, полученные после уточнения по системе, полученной при алкилировании диизопропилбензола для схемы реакции:



Найденные соотношения констант $k'_1 : k'_2 : k_3 : k'_4$ будут равны : 0,58 : 0,24 : 0,011.

Уравнения состава при этих соотношениях имеют вид:

$$\begin{aligned} c_0 &= 100e^{-kt}; \\ c_1 &= 100(2,381e^{-0,58kt} - 2,381e^{-kt}); \\ c_2 &= 100(2,224e^{-0,24kt} - 4,062e^{-0,58kt} + 1,817e^{-kt}); \\ c_3 &= 100(1,080e^{-0,011kt} - 2,352e^{-0,24kt} + 1,713e^{-0,58kt} - 0,441e^{-kt}); \\ c_4 &= 100(1 - 1,080e^{-0,011kt} + 0,108e^{-0,24kt} - 0,032e^{-0,58kt} + 0,005e^{-kt}); \\ \sum_{c_0}^{c_4} c_i &= 100. \end{aligned} \quad (10)$$

Соотношения между константами скорости только прямой реакции образования изопропилбензолов можно вывести из уравнений (6) по равенствам 8) и 12). Из этих равенств вытекает, что

$$k_1 : k_2 : k_3, \text{ как } 1 : 2,24 : 0,065. \quad (11)$$

Данное соотношение указывает, что реакционная способность изопропилбензола в реакции алкилирования в 2,24 раза больше реакционной

Таблица 4

Молярный состав системы

n	p_1	p_4	Вычислено по уравнениям:
3,20	80,41	19,59	[5]
	77,13	22,60	[2]
	81,47	17,56	(3)
	71,86	28,09	[5]
3,28	72,83	27,17	[2]
	70,70	29,13	(3)

способности бензола. Реакционная способность диизопропилбензола очень мала по сравнению с реакционной способностью бензола. Высокий выход диизопропилбензола при n около трех обусловлен легким дезалкилированием моно- и диизопропилбензолов [1].

Выводы

1. Показано, что алкилирование диизопропилбензола пропиленом при α в присутствии хлористого алюминия является обратимо-последовательной реакцией, так как в процессе алкилирования при малых значениях молярного отношения пропиленалкилбензол образуется моноизопропилбензол.
2. Найденны соотношения констант скоростей обратимо-последовательной реакции, равные 0,14 : 1 : 0,029 : 0,0013.
3. Показано, что уравнения состава систем бензол — пропилен и моноизопропилбензол — пропилен могут использоваться для вычисления состава алкилирования диизопропилбензола пропиленом при исчезновении из состава катализаторов моноизопропилбензола.
4. Показано, что найденные соотношения скоростных постоянных для исследованных систем близки между собой. Дано среднее уточненное соотношение между константами скорости образования изопропилбензолов

ЛИТЕРАТУРА

1. В. Г. Плюснин, Е. П. Бабин, Ж. физ. химии, 34, 78, 1960.
2. Е. П. Бабин, В. Г. Плюснин, М. И. Насакина, Н. М. Родигин Ж. физ. химии, 34, 1389, 1960.
3. В. Г. Плюснин, И. А. Алексеева и Е. П. Бабин, Ж. физ. химии, 34, 726, 1960.
4. Н. М. Родигин, В. Г. Плюснин, Е. П. Бабин, Ж. физ. химии, 34, 966, 1960.
5. В. Г. Плюснин, Е. П. Бабин, М. И. Насакина, Н. М. Родигин Ж. физ. химии, 34, 267, 1960.

CORRELATIONS IN THE SUBSTITUTION OF BENZENE HYDROGEN BY ALKYL GROUPS

XI. RATIO OF RATE CONSTANTS OF FORMATION OF ISOPROPYLBENZENES AND THE EQUATION FOR COMPOSITION OF PRODUCTS OF ALKYLATION OF DIISOPROPYLBENZENE IN THE PRESENCE OF ALUMINUM CHLORIDE

E. P. Babin, V. G. Plusnin M. I. Nasakina and N. M. Rodygin (Sverdlovsk)

Summary

The alkylation of diisopropylbenzene by propylene at 60° in the presence of aluminum chloride has been shown to be a reversibly consecutive reaction since when the process takes place at low molar ratios of propylene-alkylbenzene monoisopropylbenzene is formed. The rate constant ratios of the reversibly consecutive reaction have been found equal to 0.14 : 1 : 0.029 : 0.0013.

It has been shown that the constitution equations for the system benzene—propylene and monoisopropylbenzene—propylene may be utilized for calculating the system obtained on alkylating diisopropylbenzene by propylene when monoisopropylbenzene disappears from among the catalysts.

The rate constant ratios for the systems have been found to be close in value. A mean corrected ratio for the rate constants of formation of isopropylbenzenes has been given.

ТЕРМОДИНАМИЧЕСКАЯ ТЕОРИЯ КРИТИЧЕСКИХ ЯВЛЕНИЙ В ТРЕХКОМПОНЕНТНЫХ СИСТЕМАХ

VI. КРИТИЧЕСКИЕ, КОНЕЧНЫЕ ТОЧКИ ТРОЙНЫХ СИСТЕМ

А. В. Сторонкин и А. И. Русанов

Критическими конечными точками называются конечные точки кривых трехфазного равновесия, где становятся тождественными две из трех сосуществующих фаз [1]. В критической конечной точке осуществляется инвариантное равновесие критической и некритической фаз. Задача исследования кривых трехфазного равновесия в критических конечных точках, впервые сформулированная Ван-дер-Ваальсом, до сих пор находила себе применение в теории бинарных систем [1, 2]. В настоящей работе расследуются критические конечные точки тройных систем.

Тройная трехфазная система обладает двумя степенями свободы, и поэтому ее состояние равновесия может быть изображено поверхностью. Сравнение этой поверхности переходит в уравнение кривой в том случае, если наложено условие постоянства одного из параметров состояния или какое-либо другое условие, дающее связь между параметрами состояния. На поверхности трехфазного равновесия расположено бесчисленное множество таких кривых трехфазного равновесия. Для некоторых из этих кривых может быть поставлена задача исследования их поведения в окрестности критической конечной точки, где становятся тождественными две из трех сосуществующих фаз. С такой задачей часто приходится сталкиваться при экспериментальном изучении тройных трехфазных систем. Событий интерес представляют изотермические и изобарические кривые трехфазного равновесия.

Критическая конечная точка изобарической кривой трехфазного равновесия в тройной системе. Уравнения проекций изобарической кривой трехфазного равновесия в переменных второй фазы имеют следующий вид [3]:

$$\left(\frac{dT}{dx_1^{(2)}}\right)_{\text{сосущ. } P} = \frac{\begin{vmatrix} x_1^{(1)} - x_1^{(2)} & x_2^{(1)} - x_2^{(2)} \\ x_1^{(3)} - x_1^{(2)} & x_2^{(3)} - x_2^{(2)} \end{vmatrix}}{\begin{vmatrix} \varphi_2^{(21)} & \eta_{21} \\ \varphi_2^{(23)} & \eta_{23} \end{vmatrix}} U_2^{(2)}, \quad (1)$$

$$\left(\frac{dT}{dx_2^{(2)}}\right)_{\text{сосущ. } P} = - \frac{\begin{vmatrix} x_1^{(1)} - x_1^{(2)} & x_2^{(1)} - x_2^{(2)} \\ x_1^{(3)} - x_1^{(2)} & x_2^{(3)} - x_2^{(2)} \end{vmatrix}}{\begin{vmatrix} \varphi_1^{(21)} & \eta_{21} \\ \varphi_1^{(23)} & \eta_{23} \end{vmatrix}} U_2^{(2)}, \quad (2)$$

$$\left(\frac{dx_2^{(2)}}{dx_1^{(2)}}\right)_{\text{сосущ. } P} = - \frac{\begin{vmatrix} \varphi_1^{(21)} & \eta_{21} \\ \varphi_1^{(23)} & \eta_{23} \end{vmatrix}}{\begin{vmatrix} \varphi_2^{(21)} & \eta_{21} \\ \varphi_2^{(23)} & \eta_{23} \end{vmatrix}}, \quad (3)$$

где

$$\left. \begin{aligned} \Phi_1^{(21)} &\equiv \zeta_{11}^{(2)}(x_1^{(1)} - x_1^{(2)}) + \zeta_{12}^{(2)}(x_2^{(1)} - x_2^{(2)}), \\ \Phi_1^{(23)} &\equiv \zeta_{11}^{(2)}(x_1^{(3)} - x_1^{(2)}) + \zeta_{12}^{(2)}(x_2^{(3)} - x_2^{(2)}), \\ \Phi_2^{(21)} &\equiv \zeta_{12}^{(2)}(x_1^{(1)} - x_1^{(2)}) + \zeta_{22}^{(2)}(x_2^{(1)} - x_2^{(2)}), \\ \Phi_2^{(23)} &\equiv \zeta_{12}^{(2)}(x_1^{(3)} - x_1^{(2)}) + \zeta_{22}^{(2)}(x_2^{(3)} - x_2^{(2)}), \end{aligned} \right\} \quad (4)$$

$$\begin{aligned} \eta_{21} &\equiv \eta^{(1)} - \eta^{(2)} - \sum_{i=1}^2 (x_i^{(1)} - x_i^{(2)}) \left(\frac{\partial \eta}{\partial x_i} \right)^{(2)}, \\ \eta_{23} &\equiv \eta^{(3)} - \eta^{(2)} - \sum_{i=1}^2 (x_i^{(3)} - x_i^{(2)}) \left(\frac{\partial \eta}{\partial x_i} \right)^{(2)}; \end{aligned} \quad (5)$$

$$U_2^{(2)} \equiv \zeta_{11}^{(2)} \zeta_{22}^{(2)} - [\zeta_{12}^{(2)}]^2, \quad (6)$$

ζ — молярный термодинамический потенциал Гиббса, $\zeta_{ik} = (\partial^2 \zeta / \partial x_i \partial x_k)_{P, T}$, x_i — молярная доля i -го компонента, η — молярная энтропия, P — давление, T — температура; верхние индексы указывают номера сосуществующих фаз.

Приступая к исследованию критической конечной точки, попытаемся прежде всего ответить на вопрос: каков ход трехфазной кривой в критической конечной точке в переменных одной из фаз, становящихся тождественными. Для того чтобы воспользоваться при этом формулами (1)–(3), предположим, что в критической конечной точке становятся тождественными вторая и какая-либо из оставшихся фаз, например третья. В этом случае, очевидно, выполняются равенства

$$\left(\frac{dT}{dx_1^{(2)}} \right)^{(K, 1)}_{\text{сосущ. } P} = \left(\frac{dT}{dx_1^{(3)}} \right)^{(K, 1)}_{\text{сосущ. } P} = \left(\frac{dT}{dx_2^{(2)}} \right)^{(K, 1)}_{\text{сосущ. } P} = \left(\frac{dT}{dx_2^{(3)}} \right)^{(K, 1)}_{\text{сосущ. } P} = 0, \quad (7)$$

где индекс $(K, 1)$ показывает, что производные берутся в критической конечной точке, где сосуществуют критическая и первая фазы. Остается найти выражение для производной $(dx_2/dx_1)^{(K, 1)}_{\text{сосущ. } P}$, которая равна предельному значению производных $(dx_2^{(2)}/dx_1^{(2)})_{\text{сосущ. } P}$ и $(dx_2^{(3)}/dx_1^{(3)})_{\text{сосущ. } P}$ в критической конечной точке.

В случае отождествления второй и третьей фаз величины η_{23} , $\Phi_1^{(23)}$ и $\Phi_2^{(23)}$ равны нулю, и правая часть выражения (3) становится неопределенной. Для того чтобы раскрыть неопределенность, разделим числитель и знаменатель правой части (3) на $x_1^{(3)} - x_1^{(2)}$ и перейдем к пределу в критической конечной точке. Используя (4) и (5), мы придем к соотношениям

$$\lim_{x_1^{(3)} \rightarrow x_1^{(2)}} \frac{x_2^{(3)} - x_2^{(2)}}{x_1^{(3)} - x_1^{(2)}} = \left(\frac{dx_2}{dx_1} \right)^{(K, 1)}_{\text{сосущ. } P},$$

$$\lim_{x_1^{(3)} \rightarrow x_1^{(2)}} \frac{\Phi_1^{(23)}}{x_1^{(3)} - x_1^{(2)}} = \zeta_{11}^{(K)} + \zeta_{12}^{(K)} \left(\frac{dx_2}{dx_1} \right)^{(K, 1)}_{\text{сосущ. } P},$$

$$\lim_{x_1^{(3)} \rightarrow x_1^{(2)}} \frac{\Phi_2^{(23)}}{x_1^{(3)} - x_1^{(2)}} = \zeta_{12}^{(K)} + \zeta_{22}^{(K)} \left(\frac{dx_2}{dx_1} \right)^{(K, 1)}_{\text{сосущ. } P},$$

$$\lim_{x_1^{(3)} \rightarrow x_1^{(2)}} \frac{\eta_{23}}{x_1^{(3)} - x_1^{(2)}} = 0.$$

С учетом всех преобразований уравнение (3) примет в критической конечной точке следующий вид:

$$\left(\frac{dx_2}{dx_1}\right)^{(K, 1)}_{\text{сосущ. } P} = - \frac{\zeta_{11}^{(K)} + \zeta_{12}^{(K)} \left(\frac{dx_2}{dx_1}\right)^{(K, 1)}_{\text{сосущ. } P}}{\zeta_{12}^{(K)} + \zeta_{22}^{(K)} \left(\frac{dx_2}{dx_1}\right)^{(K, 1)}_{\text{сосущ. } P}}. \quad (8)$$

Индекс (K) при частных производных термодинамического потенциала показывает, что эти производные относятся к критической фазе. Поэтому определитель $U_2^{(K)}$, составленный из этих производных согласно (6), равен нулю. Это позволяет записать уравнение (8) следующим образом:

$$\left(\frac{dx_2}{dx_1}\right)^{(K, 1)}_{\text{сосущ. } P} = - \frac{\zeta_{11}^{(K)}}{\zeta_{12}^{(K)}} = - \frac{\zeta_{12}^{(K)}}{\zeta_{22}^{(K)}}. \quad (9)$$

Полученное уравнение (9) совпадает с уравнением изотермо-изобары сосуществования двух фаз в критической точке [4]. Таким образом, в критической конечной точке изобарической кривой трехфазного равновесия должно выполняться условие

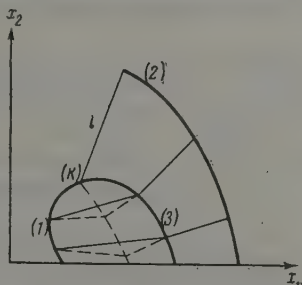
$$\left(\frac{dx_2}{dx_1}\right)^{(K, 1)}_{\text{сосущ. } P} = \left(\frac{dx_2}{dx_1}\right)^{(K)}_{\text{сосущ. } P, T}, \quad (10)$$

которое означает касание изотермо-изобарической кривой двухфазного равновесия и проекции изобарической кривой трехфазного равновесия на плоскость $x_1 - x_2$ в критической конечной точке.

Соотношения (7) и (9) полностью характеризуют ход кривой трехфазного равновесия в критической конечной точке в переменных одной из фаз, становящихся тождественными в этой точке.

Перейдем теперь к рассмотрению трехфазной кривой в переменных той фазы, которая не приходит к критическому состоянию в критической конечной точке. Для того, чтобы воспользоваться вновь уравнениями (1)–(3), нам необходимо теперь предположить, что в критической конечной точке становятся тождественными первая и третья фазы, а вторая фаза сосуществует с критической (рисунок).

Анализ уравнений (1)–(3) мы начнем с уравнения (3). Легко заметить, что при указанном предположении правая часть (3) снова становится неопределенной. Раскроем эту неопределенность. Применив обозначения



Критическая конечная точка на концентрационной диаграмме трехфазного равновесия в тройной системе

$$\left. \begin{aligned} \Delta x_1 &\equiv x_1^{(3)} - x_1^{(1)}, \\ \Delta x_2 &\equiv x_2^{(3)} - x_2^{(1)}, \\ \Delta \eta &\equiv \eta_{23} - \eta_{21} = \eta^{(3)} - \eta^{(1)} - \sum_{i=1}^2 \left(\frac{\partial \eta}{\partial x_i} \right)^{(2)} \Delta x_i, \\ \Delta \varphi_1 &\equiv \varphi_1^{(23)} - \varphi_1^{(21)} = \zeta_{11}^{(2)} \Delta x_1 + \zeta_{12}^{(2)} \Delta x_2, \\ \Delta \varphi_2 &\equiv \varphi_2^{(23)} - \varphi_2^{(21)} = \zeta_{12}^{(2)} \Delta x_1 + \zeta_{22}^{(2)} \Delta x_2, \end{aligned} \right\} \quad (11)$$

уравнение (3) можно записать следующим образом:

$$\left(\frac{dx_2^{(2)}}{dx_1^{(2)}} \right)_{\text{сосущ. P}} = - \frac{\varphi_1^{(21)} \Delta \eta - \eta_{21} \Delta \varphi_1}{\varphi_2^{(21)} \Delta \eta - \eta_{21} \Delta \varphi_2}. \quad (12)$$

Числитель и знаменатель правой части (12) разделим на Δx_1 и перейдем к пределу в критической конечной точке. Величину производной $(dx_2/dx_1)_{\text{сосущ. P}}^{(K, 2)}$, определяемую равенством (9), будем обозначать для краткости буквой k . Предельный переход приводит к следующим соотношениям:

$$\left. \begin{aligned} \lim_{\Delta x_1 \rightarrow 0} \frac{\Delta \eta}{\Delta x_1} &= \left(\frac{\partial \eta}{\partial x_1} \right)^{(K)} - \left(\frac{\partial \eta}{\partial x_1} \right)^{(2)} + k \left[\left(\frac{\partial \eta}{\partial x_2} \right)^{(K)} - \left(\frac{\partial \eta}{\partial x_2} \right)^{(2)} \right], \\ \lim_{\Delta x_1 \rightarrow 0} \frac{\Delta \varphi_1}{\Delta x_1} &= \zeta_{11}^{(2)} + k \zeta_{12}^{(2)}, \\ \lim_{\Delta x_1 \rightarrow 0} \frac{\Delta \varphi_2}{\Delta x_1} &= \zeta_{12}^{(2)} + k \zeta_{22}^{(2)}. \end{aligned} \right\} \quad (13)$$

Для того чтобы вскрыть физический смысл первого из выражений (13), воспользуемся очевидными соотношениями:

$$\left(\frac{\partial \eta}{\partial x_1} \right)^{(K)} - \left(\frac{\partial \eta}{\partial x_1} \right)^{(2)} = \frac{L_1^{(2K)} - L_3^{(2K)}}{T},$$

$$\left(\frac{\partial \eta}{\partial x_2} \right)^{(K)} - \left(\frac{\partial \eta}{\partial x_2} \right)^{(2)} = \frac{L_2^{(2K)} - L_3^{(2K)}}{T}, \quad (14)$$

где $L_i^{(2K)}$ — парциальная молярная теплота перехода i -го компонента из второй в критическую фазу. С учетом (13) и (14) уравнение (12) примет в критической конечной точке следующий вид:

$$\left(\frac{dx_2^{(2)}}{dx_1^{(2)}} \right)_{\text{сосущ. P}}^{(K, 2)} = - \frac{\varphi_1^{(2K)} [L_1^{(2K)} - L_3^{(2K)} + k (L_3^{(2K)} - L_3^{(2K)})] - Q_{2K} [\zeta_{11}^{(2)} + k \zeta_{12}^{(2)}]}{\varphi_2^{(2K)} [L_1^{(2K)} - L_3^{(2K)} + k (L_2^{(2K)} - L_3^{(2K)})] - Q_{2K} [\zeta_{12}^{(2)} + k \zeta_{22}^{(2)}]}, \quad (15)$$

где $Q_{2K} = T \eta_{2K}$, а величины $\varphi_1^{(2K)}$, $\varphi_2^{(2K)}$ и η_{2K} определяются формулами (4) и (5), если индексы первой и третьей фаз заменить символом критической фазы.

Уравнение (15) характеризует ход изобарической кривой трехфазного равновесия в критической конечной точке в переменных состава той фазы, которая, будучи сама далека от критического состояния, сосуществует с критической фазой (рисунок). Если рассматривается равновесие жидкость — жидкость — пар, и критические явления имеют место в системе жидкость — жидкость, уравнение (15) характеризует ход кривой состава пара в критической конечной точке. В этом случае $L_i^{(2K)}$ — парциальная молярная теплота конденсации i -го компонента, а Q_{2K} — дифференциальная молярная теплота конденсации.

Рассмотрим случай, когда составы второй и критической фаз одинаковы. При этом условия величины $\varphi_1^{(2K)}$ и $\varphi_2^{(2K)}$ становятся равными нулю, и уравнение (15) принимает следующий вид:

$$\left(\frac{dx_2^{(2)}}{dx_1^{(2)}} \right)_{\text{сосущ. P}}^{(K, 2)} = - \frac{\zeta_{11}^{(2)} + k \zeta_{12}^{(2)}}{\zeta_{12}^{(2)} + k \zeta_{22}^{(2)}}. \quad (16)$$

Если мы предположим, что левая часть (16) равна k , мы получим для k уравнение, имеющее вещественное решение только для фаз, находящихся на границе устойчивости, например, для критических фаз. Поэтому, если

вторая фаза далека откритического состояния, обязательно должно выполняться условие

$$\left(\frac{dx_2^{(2)}}{dx_1^{(2)}}\right)_{\text{сосущ. } P}^{(K, 2)} \neq \left(\frac{dx_2}{dx_1}\right)_{\text{сосущ. } P}^{(K, 2)} \quad \text{при} \quad \begin{cases} x_1^{(2)} = x_1^{(K)}, \\ x_2^{(2)} = x_2^{(K)}. \end{cases}$$

Следовательно, на изобарической концентрационной диаграмме трехфазного равновесия тройной системы кривая той фазы, которая сосуществует с критической фазой в критической конечной точке, может только пересекать, но не может касаться кривых фаз, становящихся тождественными в критической конечной точке (пунктирная кривая на рисунке).

Рассмотрим теперь случай, когда предельная нода, соединяющая на диаграмме составов фигуративные точки критической и некритической фаз (нода l на рисунке), является касательной к кривой сосуществования фаз, становящихся тождественными. Аналитически это условие можно выразить следующим образом:

$$\frac{x_2^{(K)} - x_2^{(2)}}{x_1^{(K)} - x_1^{(2)}} = k \quad (17)$$

В этом случае выполняются соотношения

$$\varphi_1^{(2K)} = (x_1^{(K)} - x_1^{(2)}) (\zeta_{11}^{(2)} + k \zeta_{12}^{(2)}),$$

$$\varphi_2^{(2K)} = (x_1^{(K)} - x_1^{(2)}) (\zeta_{12}^{(2)} + k \zeta_{22}^{(2)}),$$

и уравнение (15) снова переходит в (16). Таким образом, условие равенства составов и условие (17) привели нас к одному и тому же следствию. Для того чтобы выяснить причину этого явления, необходимо обратиться к анализу уравнений (1) и (2).

Выражения, стоящие в правой части (1) и (2), становятся неопределенными в критической конечной точке, где отождествляются первая и третья фазы. Чтобы раскрыть неопределенность, мы воспользуемся обозначениями (11) и, поделив числитель и знаменатель правой части (1) и (2) на Δx_1 , перейдем к пределу в критической конечной точке. С помощью (13) и (14) можно записать полученные уравнения в следующем виде:

$$\left(\frac{dT}{dx_1^{(2)}}\right)_{\text{сосущ. } P}^{(K, 2)} = \frac{T [k (x_1^{(K)} - x_1^{(2)}) - (x_2^{(K)} - x_2^{(2)})] U_2^{(2)}}{\varphi_2^{(2K)} [L_1^{(2K)} - L_3^{(2K)} + k (L_2^{(2K)} - L_3^{(2K)})] - Q_{2K} [\zeta_{12}^{(2)} + k \zeta_{22}^{(2)}]}, \quad (18)$$

$$\left(\frac{dT}{dx_2^{(2)}}\right)_{\text{сосущ. } P}^{(K, 2)} = - \frac{T [k (x_1^{(K)} - x_1^{(2)}) - (x_2^{(K)} - x_2^{(2)})] \cdot U_2^{(2)}}{\varphi_1^{(2K)} [L_1^{(2K)} - L_3^{(2K)} + k (L_2^{(2K)} - L_3^{(2K)})] - Q_{2K} [\zeta_{11}^{(2)} + k \zeta_{12}^{(2)}]}. \quad (19)$$

Уравнения (18) и (19) характеризуют зависимость температуры трехфазного равновесия от состава той фазы, которая сосуществует с критической, в критической конечной точке. Из (18) и (19) следует, что, в отличие от бинарных систем [2], в тройных системах возможен экстремум температуры на рассматриваемой кривой трехфазного равновесия в критической конечной точке. Равенство нулю правой части (18) и (19) осуществляется в двух случаях: 1) когда составы критической и некритической фаз в критической конечной точке одинаковы, 2) когда выполняется условие (17). В обоих случаях знаменатель правой части (18) и (19) отличен от нуля.

Условие экстремума температуры в критической конечной точке:

$$k (x_1^{(K)} - x_1^{(2)}) - (x_2^{(K)} - x_2^{(2)}) = 0, \quad (20)$$

является предельной формой закона Гиббса об экстремумах давления и температуры в многофазных системах для того случая, когда две из трех

сосуществующих фаз тройной системы становятся тождественными. Согласно закону Гиббса, в многофазной системе, обладающей экстремумом температуры и давления, одна из фаз может быть получена из остальных путем смешения в определенных пропорциях. В случае трехкомпонентной трехфазной системы это означает, что сосуществующие фазы имеют одинаковый состав, или же их фигуративные точки на концентрационной диаграмме расположены на одной прямой. Последнее условие и переходит в (17), когда две из трех сосуществующих фаз становятся тождественными.

Критическая конечная точка изотермической кривой трехфазного равновесия в тройной системе. Уравнения проекций изотермической кривой трехфазного равновесия в переменных второй фазы можно получить из (1)–(3), если заменить температуру давлением, энтропию — объемом и изменить знаки правых частей (1) и (2). Совершенно аналогично, как и при рассмотрении изобарической трехфазной кривой, можно получить соотношения

$$\left(\frac{dP}{dx_1}\right)_{\text{сосущ. } T}^{(K, 1)} = \left(\frac{dP}{dx_2}\right)_{\text{сосущ. } T}^{(K, 1)} = 0, \quad (21)$$

$$\left(\frac{dx_2}{dx_1}\right)_{\text{сосущ. } T}^{(K, 1)} = -\frac{\xi_{11}^{(K)}}{\xi_{12}^{(K)}} = -\frac{\xi_{12}^{(K)}}{\xi_{22}^{(K)}}, \quad (22)$$

которые характеризуют ход изотермической трехфазной кривой в критической конечной точке в переменных одной из фаз, становящихся тождественными. Из (22) следует, что изотермическая кривая трехфазного равновесия на концентрационной диаграмме в переменных одной из фаз, становящихся тождественными в критической конечной точке, касается в критической точке изотермо-изобарической кривой двухфазного равновесия. Условие (10) мы можем теперь расширить и записать следующим образом:

$$\left(\frac{dx_2}{dx_1}\right)_{\text{сосущ. } P}^{(K, 1)} = \left(\frac{dx_2}{dx_1}\right)_{\text{сосущ. } T}^{(K, 1)} = \left(\frac{dx_2}{dx_1}\right)_{\text{сосущ. } P, T}^{(K)} \quad (23)$$

Рассматривая уравнение изотермической трехфазной кривой в переменных той фазы, которая не приходит к критическому состоянию в критической конечной точке, тем же путем, каким были получены уравнения (15), (18) и (19), можно прийти к следующим выражениям:

$$\left(\frac{dx_2^{(2)}}{dx_1^{(2)}}\right)_{\text{сосущ. } T}^{(K, 2)} = -\frac{\varphi_1^{(2K)} [\Delta v_1^{(2K)} - \Delta v_3^{(2K)} + k (\Delta v_2^{(2K)} - \Delta v_3^{(2K)})] - v_{2K} [\xi_{11}^{(2)} + k \xi_{12}^{(2)}]}{\varphi_2^{(2K)} [\Delta v_1^{(2K)} - \Delta v_3^{(2K)} + k (\Delta v_2^{(2K)} - \Delta v_3^{(2K)})] - v_{2K} [\xi_{12}^{(2)} + k \xi_{22}^{(2)}]}, \quad (24)$$

$$\left(\frac{dP}{dx_1^{(2)}}\right)_{\text{сосущ. } T}^{(K, 2)} = -\frac{[k (x_1^{(K)} - x_1^{(2)}) - (x_2^{(K)} - x_2^{(2)})] \cdot U_2^{(2)}}{\varphi_2^{(2K)} [\Delta v_1^{(2K)} - \Delta v_3^{(2K)} + k (\Delta v_2^{(2K)} - \Delta v_3^{(2K)})] - v_{2K} [\xi_{12}^{(2)} + k \xi_{22}^{(2)}]}, \quad (25)$$

$$\left(\frac{dP}{dx_2^{(2)}}\right)_{\text{сосущ. } T}^{(K, 2)} = \frac{[k (x_1^{(K)} - x_1^{(2)}) - (x_2^{(K)} - x_2^{(2)})] \cdot U_2^{(2)}}{\varphi_1^{(K1)} [\Delta v_1^{(2K)} - \Delta v_3^{(2K)} + k (\Delta v_2^{(2K)} - \Delta v_3^{(2K)})] - v_{2K} [\xi_{11}^{(2)} + k \xi_{12}^{(2)}]}, \quad (26)$$

где $\Delta v_i^{(2K)} \equiv v_i^{(K)} - v_i^{(2)}$, $v_i^{(K)}$ — парциальный молярный объем i -го компонента в критической фазе, $v_i^{(2)}$ — парциальный молярный объем i -го компонента в некритической фазе, сосуществующей с критической.

В отношении экстремумов давления на изотермической трехфазной кривой в критической конечной точке может быть повторено все то, что было сказано в отношении экстремумов температуры. При наличии экс-

тремума давления в критической конечной точке уравнение (24) принимает следующий вид:

$$\left(\frac{dx_2^{(2)}}{dx_1^{(2)}} \right)_{\text{сосущ. } T}^{(K,2)} = - \frac{\xi_{11}^{(2)} + k\xi_{12}^{(2)}}{\xi_{12}^{(2)} + k\xi_{22}^{(2)}}. \quad (27)$$

Из этого уравнения следует, что кривая фазы, далекой по своему состоянию от критической, на концентрационной диаграмме трехфазного равновесия не может касаться в критической точке, а может только пересекать кривые фаз, становящихся тождественными. Из сравнения (27) и (16) следует важное соотношение:

$$\left[\left(\frac{dx_2^{(2)}}{dx_1^{(2)}} \right)_{\text{сосущ. } P}^{(K,2)} = \left(\frac{dx_2^{(2)}}{dx_1^{(2)}} \right)_{\text{сосущ. } T}^{(K,2)} \right]_{\substack{dP=0 \\ dT=0}}, \quad (28)$$

которое означает, что в случае экстремумов давления и температуры в критической конечной точке изобарическая и изотермическая кривые в переменных фазы, не приходящей к критическому состоянию, касаются друг друга в критической конечной точке на концентрационной диаграмме трехфазного равновесия.

Выводы

1. Получены уравнения, характеризующие ход изобарической и изотермической кривых трехфазного равновесия в критической конечной точке тройной системы.
2. Обсуждены случаи экстремумов температуры и давления в критической конечной точке.

Ленинградский государственный
университет им. А. А. Жданова

Поступила
9.VII.1958

ЛИТЕРАТУРА

1. И. Д. Ван-дер-Ваальс и Ф. Констамм, Курс термостатики, т. II, ОНТИ, М., 1936.
2. А. И. Русанов, Вестн. ЛГУ (в печати).¹
3. А. В. Сторонкин, Вестн. ЛГУ, № 2, 115, 1954. Ж. физ. химии, 34, 00, 1960.
4. А. И. Русанов, Вестн. ЛГУ, № 4, 84, 1958.

THERMODYNAMIC THEORY OF CRITICAL PHENOMENA IN THREE COMPONENT SYSTEMS

VI. CRITICAL END POINTS OF TERNARY SYSTEMS

A. V. Storonkin and A. I. Rusanov (Leningrad)

Summary

In the report equations characterizing the shape of the isobaric and isothermal curves of three phase equilibrium at a point where two of the three coexisting phases become identical have been investigated. A discussion has been presented of the cases of temperature and pressure extremums at the critical end point.

ПОЛЯРОГРАФИЧЕСКОЕ ИЗУЧЕНИЕ НЕОРГАНИЧЕСКИХ
ОКИСЛИТЕЛЬНО-ВОССТАНОВИТЕЛЬНЫХ СИСТЕМ1. ВЛИЯНИЕ ХАРАКТЕРИСТИКИ КАПИЛЛЯРА НА АНОДНО-КАТОДНУЮ
ВОЛНУ В СИСТЕМЕ $Ti(4+) - Ti(3+)$ *А. Г. Стромберг и А. И. Картушинская*

Возникновение раздвоенной анодно-катодной волны на амальгамном капельном электроде было объяснено А. Г. Стромбергом на основе теории замедленного разряда-ионизации [1,2]. Из этой теории следует, что катодный и анодный потенциалы полуволн при наличии достаточной замедленности разряда-ионизации различаются между собой. При этом катодный потенциал полуволны сдвинут в отрицательную сторону, а анодный потенциал полуволны в положительную сторону по сравнению с обратным анодно-катодным потенциалом полуволны.

В литературе имеются указания на зависимость потенциала полуволны от периода капания для катодной волны марганца [3] и цинка [4]. Данные, полученные этими авторами, согласуются с теорией замедленного разряда-ионизации; с уменьшением периода капания при постоянной скорости истечения ртути потенциал полуволны катодной волны сдвигается в сторону отрицательных потенциалов.

Целью данного исследования является — проверить на примере неорганической окислительно-восстановительной системы $Ti(4+) - Ti(3+)$ выводы теории замедленного разряда-ионизации о влиянии характеристики капилляра на анодный и катодный потенциалы полуволн в случае необратимого электродного процесса.

Окислительно-восстановительная система $Ti(4+) - Ti(3+)$ ведет себя при одних условиях обратимо, при других — необратимо [5,6]. В разбавленных минеральных кислотах HCl , HNO_3 , H_2SO_4 получаются необратимые волны. С увеличением концентрации HCl и H_2SO_4 до 4 М и выше система $Ti(4+) - Ti(3+)$ становится обратимой [5]. На фоне фосфорной кислоты получается обратимая волна при всех исследованных концентрациях.

При этом с увеличением концентрации фосфорной кислоты обратимый потенциал полуволны сдвигается в положительную сторону. В растворах лимонной и винной кислот также образуются обратимые анодно-катодные волны [6].

Теоретическая часть

Одним из нас [3] было выведено выражение для зависимости потенциала полуволны необратимой катодной волны от периода капания в случае разряда ионов металла на ртутном капельном электроде с образованием атомов металла. Легко видеть, что эти теоретические соображения применимы также для случая перезарядки ионов металла, т. е. к неорганическим окислительно-восстановительным системам. При этом для зависимости катодного и анодного потенциалов полуволн ($\varphi_{1/2k}$ и $\varphi_{1/2a}$) и их разницы $\Delta\varphi_{1/2,ак}$ от периода капания (τ) для необратимой анодно-катодной волны

получаются следующие выражения:

$$\varphi_{1/2, \kappa} = (\varphi_{1/2, \kappa})_{\tau=1} + \frac{1}{2} \frac{b}{\alpha} \lg \tau, \dots, \quad (1)$$

де

$$(\varphi_{1/2, \kappa})_{\tau=1} = \varphi^0 + \frac{b}{\alpha} \lg j_0^0 - \frac{b}{\alpha} \lg \frac{K_{D, \kappa}}{0,0051} + \frac{b}{\beta} \lg \frac{j_{\text{ок}}}{j_{\text{вост}}}; \quad (2)$$

$$\varphi_{1/2, \text{a}} = (\varphi_{1/2, \text{a}})_{\tau=1} - \frac{1}{2} \frac{b}{\alpha} \lg \tau, \quad (3)$$

де

$$(\varphi_{1/2, \text{a}})_{\tau=1} = \varphi^0 - \frac{b}{\beta} \lg j_0^0 + \frac{b}{\beta} \lg \frac{K_{D, \text{a}}}{0,0051} + \frac{b}{\beta} \lg \frac{j_{\text{ок}}}{j_{\text{вост}}}; \quad (4)$$

$$\Delta \varphi_{1/2 \text{a}\kappa} = (\Delta \varphi_{1/2, \text{a}\kappa})_{\tau=1} - \frac{1}{2} \frac{b}{\alpha \beta} \lg \tau, \quad (5)$$

де

$$(\Delta \varphi_{1/2, \text{a}\kappa})_{\tau=1} = -\frac{b}{\alpha \beta} \lg j_0^0 + \frac{b}{\alpha \beta} \lg \frac{K_D}{0,0051} - \frac{\alpha - \beta}{\alpha \beta} \lg \frac{j_{\text{ок}}}{j_{\text{вост}}} \quad (6)$$

считаем $K_{D, \kappa} \cong K_{D, \text{a}} = K_D$); $(\varphi_{1/2, \kappa})_{\tau=1}$ и $(\varphi_{1/2, \text{a}})_{\tau=1}$ — катодный и анодный потенциалы полуволи при периоде капания 1 сек. α и β — коэффициенты разряда и ионизации ($\alpha + \beta = 1$). $b = 2,3 RT/zF$, z — число электронов, участвующих в электродном процессе (на один ион); φ^0 — стандартный окислительно-восстановительный потенциал; $k_{D, \kappa}$ и $K_{D, \text{a}}$ — константы диффузионного тока катодной и анодной волн; $j_{\text{ок}}$, $j_{\text{вост}}$ — коэффициенты активности окисленной и восстановленной формы рассматриваемой неорганической системы; j_0^0 — нормальная плотность тока обмена, т. е. количество электричества, участвующее в электродной реакции в единицу времени при равновесном потенциале, при поверхности электрода 1 см^2 , при концентрации окисленной и восстановительной формы вещества, реагирующего на электроде, равной 1 ммоль/л , и при данных прочих условиях (температура растворителя, pH раствора и др.).

Отметим, что формулы (1)–(6) справедливы при достаточно малом токе обмена (при $i_0 < 0,01 \text{ I}$), когда разница потенциалов полуволи анодной и катодной волн равна или больше $0,4 \text{ V}$ (при $z = 1$) [1]. При этом условии можно пренебречь скоростью обратного процесса на всем протяжении анодной и катодной волн, начиная с тока $0,1 \text{ I}$ и больше (I — предельный ток).

Из формул (1) и (3) видно, что с увеличением периода капания, согласно теории замедленного разряда-ионизации, катодный потенциал полуволи должен становиться более положительным, а анодный потенциал полуволи — более отрицательным, т. е. разница анодного и катодного потенциалов полуволи должна уменьшаться. При этом график в координатах $\varphi_{1/2, \kappa(\text{a})}$ и $\lg \tau$, в соответствии с формулами (1) и (3), должен изображаться прямой линией с угловым коэффициентом, равным половине углового коэффициента катодной (анодной) волны*, а график в координатах $\Delta \varphi_{1/2 \text{a}\kappa}$ и $\lg \tau$ в соответствии с формулой (5) должен изображаться прямой линией с угловым коэффициентом $b/\alpha\beta$.

Экспериментальная часть

Ртутный капельный электрод поляризовался относительно насыщенного медного электрода, отделенного от испытуемого раствора агар-агаром — перемычкой (3%-ный агар-агар на полунасыщенном растворе хлори-

* Согласно теории замедленного разряда-ионизации [1], угловые коэффициенты катодной и анодной волн при необратимом электродном процессе равны соответственно b/α и b/β .

стого калия), при помощи визуального полярографа. Ток измерялся при помощи зеркального гальванометра типа М-21/2 с чувствительностью около 10^{-9} А/мм/м и большим периодом колебания ($T = 20$ сек.).

Кислород воздуха удалялся из раствора перед снятием полярографической волны пропусканием углекислого газа. Опыты проводились при $16-17^\circ$. Исследуемые растворы имели состав: $5 \cdot 10^{-3}$ М $\text{Ti}(4+) + \text{Ti}(3+)$, $0,23$ М HCl и $0,005\%$ желатина.

Трехвалентный титан получался путем электролитического восстановления, TiCl_4 в солянокислом растворе. Для электролиза применялся электролизер с разделением анодного и катодного пространства агар-агаровой перегородкой. Анодное отделение представляло из себя тигель Шотта с дном из пористого стекла и слоя $4-6$ мм 3% -ного геля агар-агара на полунасыщенном растворе KCl . В тигель наливался $0,2$ М раствор HCl и в него погружался платиновый электрод, который служил анодом. Катодным отделением являлся стакан с испытуемым раствором — $0,10$ М TiCl_4 в $2,0$ М растворе соляной кислоты. Стакан герметически закрывался пробкой, в которую вставлялся упомянутый выше тигель Шотта. Катодом служила ртуть, налитая на дно стакана. Электролиз проводился при напряжении 3V , ток — $40-50$ мА (плотность тока $2-3$ мА/см²). Через испытуемый раствор во время электролиза непрерывно пропускался пузырьками углекислый газ. После $40-50$ часов электролиза $\text{Ti}(4+)$ почти полностью восстанавливался до $\text{Ti}(3+)$. При этом раствор приобретал характерную для иона $\text{Ti}(3+)$ фиолетовую окраску.

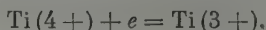
В предварительных опытах мы использовали для восстановления $\text{Ti}(4+)$ до $\text{Ti}(3+)$ амальгаму цинка [7]. Восстановление титана амальгамой цинка протекало быстро и почти количественно. Но от этого метода пришлось отказаться, так как катодная волна $\text{Ti}(4+)$ при снятии полярограммы в смеси $\text{Ti}(4+)$ и $\text{Ti}(3+)$ в солянокислом растворе маскировалась волной цинка.

Полярографическая волна $\text{Ti}(4+) - \text{Ti}(3+)$ изучалась нами при различных периодах капания ртутного капельного электрода в интервале от $1,2$ до 21 сек. Для этого применялись пять разных капилляров и разная высота столба ртути с каждым капилляром.

Обсуждение результатов

На рис. 1 в качестве примера приведены три полярограммы при трех разных периодах капания. Из рисунка видно, что полярограмма в системе $\text{Ti}(4+) - \text{Ti}(3+)$ в $0,23$ М растворе HCl изображается раздвоенно анодной катодной волной, что указывает на необратимость электродного процесса [1]. Средние значения угловых коэффициентов катодной и анодной волн найденные из наклона волн на графиках в координатах $\pm \lg \frac{i}{I-i}$ и $(- \Phi$ равны соответственно $b/\alpha = 0,135 \pm 0,002$ и $b/\beta = 0,103 \pm 0,003$ (среднее из 47 значений).

Электродную реакцию в системе $\text{Ti}(4+) - \text{Ti}(3+)$ можно схематически записать так:



Следовательно, в электродном процессе участвует один электрон (и один ион), и теоретический угловой коэффициент обратимой анодно-катодной волны должен быть равен $b = 2,3 RT/F = 0,0576$ (при 17°). Отсюда $\alpha = 0,427 \pm 0,006$ и $\beta = 0,558 \pm 0,015$. Их сумма ($0,985 \pm 0,021$) в пределах ошибок опыта совпадает с теоретическим значением единицы, в соответствии с теорией замедленного разряда-ионизации [8].

Результаты наших опытов с разными капельными электродами представлены на рис. 2. Из рисунка видно, что при изменении периода кап

ия от 1 до 4 сек. ($\lg \tau$ от 0 до 0,6) катодный и анодный потенциалы сближаются между собой. Сплошные прямые линии на графике (рис. 2) проведены в соответствии с формулами (1) и (3) с теоретическими угловыми коэффициентами $0,135 : 2 = 0,068$ и $0,103 : 2 = 0,052$. Опытные точки в интервале $\lg \tau$ от 0 до 0,6 удовлетворительно располагаются на этих теоретических прямых. Это подтверждает правильность в рассматриваемом

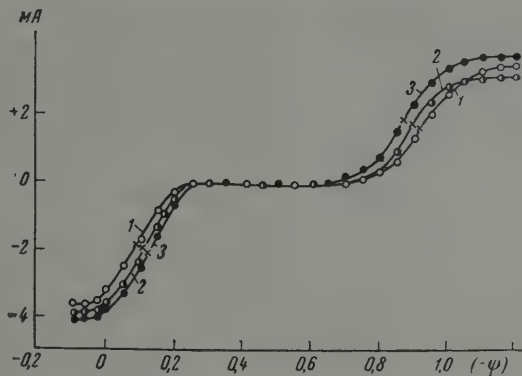


Рис. 1. Полярограммы раствора $5 \cdot 10^{-3} M$ Ti (4+) + Ti (3+), $0,23 M$ HCl и $0,005\%$ желатины с тремя разными капиллярами: 1—1,14 и 4,54; 2—2,22 и 2,35; 3—3,04 сек. и $1,24 \text{ мг/сек}$

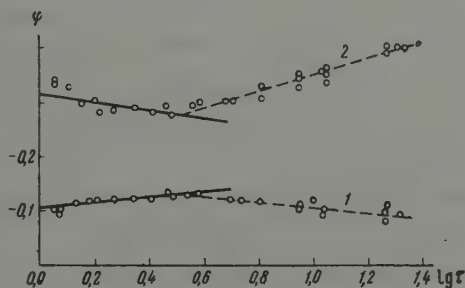


Рис. 2. Зависимость: 1 — катодного и 2 — анодного потенциала полуволн в системе Ti (4+) — Ti (3+) от логарифма периода капания. Сплошные линии — теоретические прямые

интервале периодов капания теории замедленного разряда-ионизации и их физико-химических предпосылок, которые лежали в основе вывода формул (1) — (5).

В интервале периодов капания от 4 до 20 сек. ($\lg \tau$ от 0,6 до 1,3) зависимость $\varphi_{1/2}$ от $\lg \tau$ изменяется в обратном направлении. Эта зависимость на графике $\varphi_{1/2}$ и $\lg \tau$ также выражается прямыми линиями (см. пунктирные прямые на рис. 2) и может быть представлена эмпирическими формулами при $\lg \tau$ от 0,6 до 1,3):

$$\varphi_{1/2, \kappa} = \text{const}_{\kappa} - \frac{b}{\alpha} \lg \tau; \quad (8)$$

$$\varphi_{1/2, a} = \text{const}_a - \frac{1}{2} \frac{b}{\beta} \lg \tau. \quad (9)$$

Причина этого явления нам не вполне ясна. Можно было бы думать, что, хотя согласно изложенной выше теории, потенциал полуволны не зависит от скорости вытекания ртути из капилляра, в действительности такая зависимость, может быть, и имеет место. А в наших опытах для разных капилляров скорость вытекания ртути менялась от 4 до 0,4 мг/сек. Для проверки этого объяснения мы подобрали два капилляра с разной скоростью вытекания ртути (2,3 и 6,7 мг/сек), но с одинаковым периодом капания (2,3 сек.) и с каждым из этих капилляров провели по пять опытов.

Средние значения для катодного и анодного потенциалов полуволны для обоих этих капилляров совпали в пределах $\pm 0,001$ В ($-0,124$ и $-0,892$ В). Таким образом, опыт подтверждает предсказание теории о не зависимости потенциала полуволны от массы вытекающей ртути.

Мицка [4], изучая обратимую систему $\text{Fe}(3+) - \text{Fe}(2+)$ в растворе шавелевокислого калия, также пришел к выводу, что в окислительно-восстановительных системах потенциал полуволны не зависит от скорости вытекания ртути из капельного электрода.

Возможно также, что при больших периодах капания те упрощения, которые делались при выводе формул (1) — (6) (и тех формул, на основании которых они выводились), уже не являются более справедливыми. Так, например, при большом периоде капания процесс диффузии за время жизни капли успевает распространиться дальше в глубину раствора. При такой большой толщине диффузионного слоя значительное влияние на перенос вещества к поверхности электрода может иметь конвекция раствора. Кроме того, более существенное значение приобретает при этом учет кривизны поверхности капли [9], который не принимается во внимание в формуле Ильковича для диффузионного тока. Мы полагаем, что более точный вывод основного уравнения необратимой анодно-катодной волны (1) на основе теории замедленного разряда-ионизации позволит объяснить зависимость потенциала полуволны (катодного и анодного) от периода капания во всем интервале периода капания от 1 до 20 сек. (рис. 2).

На необходимость уточнения исходных формул указывает также такой факт. Из обычной теории полярографической волны следует, что потенциал полуволны обратимой волны не должен зависеть от периода капания ртутного капельного электрода. Однако опыты, проведенные нами с обратимой волной таллия в растворе азотнокислого калия показали, что в интервале периодов капания от 1 до 4 сек. потенциал полуволны в пределах ошибок опыта ($\pm 0,002$ В) не зависит от периода капания. Но в интервале от 4 до 20 сек. с увеличением периода капания потенциал полуволны таллия становится более положительным, и эта зависимость может быть выражена эмпирической формулой:

$$\varphi_{1/2, \kappa} = (\varphi_{1/2, \kappa})_{\tau=1} + 0,4 b \lg \tau. \quad (10)$$

Найдем величину нормальной плотности тока обмена j для системы $\text{Ti}(4+) - \text{Ti}(3+)$ в 0,23 М растворе HCl .

Из формулы (6) имеем

$$\lg j_0^0 = -\frac{\alpha\beta}{b} (\Delta\varphi_{1/2, \text{ак}})_{\tau=1} + \lg \frac{K_D}{0,0051} - (\alpha - \beta) \lg \frac{j_{\text{ок}}}{j_{\text{восст}}}. \quad (11)$$

Из рис. 2

$$(\Delta\varphi_{1/2, \text{ак}})_{\tau=1} = -0,11 + 0,92 = 0,81 \text{ В.}$$

Константы диффузионного тока * анодной и катодной волны соот-

* Константы диффузионного тока вычислялись по уравнению Ильковича для диффузионного тока в опытах с растворами, содержащими кроме HCl и желатина только четырехвалентный титан (катодная волна) или только трехвалентный титан (анодная волна). Заметим, что при этом приблизительно одинаковая величина констант диффузионного тока катодной и анодной волн позволяет считать отношения высот катодной и анодной волн в системе $\text{Ti}(3+) - \text{Ti}(4+)$ приблизительно равны отношению концентрации окисленной и восстановленной форм в этой системе.

ественно равны $K_{D, K} = 1,167$ и $k_{D, a} = 1,005$ (при 17°); среднее значение $k_D = 1,08$. Приближенно считаем $f_{ок} \approx f_{восст}$. Подставляя численные значения величин в формулу (11), получим $\lg j_0^0 = 2,89$ и $j_0^0 = 0,78 \text{ mA cm}^{-1} \text{ ммоль}^{-1}$ при $pH = 0$.

Выводы

1. Изучена зависимость катодного и анодного потенциалов полуволн необратимой окислительно-восстановительной системе $Ti(4+) - Ti(3+)$ в $0,23 \text{ M}$ растворе соляной кислоты от периода капания в интервале периодов капания от 1,2 до 20 сек.
2. На основании теории замедленного разряда-ионизации получена теоретическая зависимость от периода капания для катодного и анодного потенциалов полуволн.
3. Показано, что для необратимой анодно-катодной волны титана в солянокислом растворе сумма коэффициентов разряда и ионизации, вычисленная из угловых коэффициентов волн, равна в пределах ошибок опыта единице, в согласии с теорией замедленного разряда-ионизации.
4. Показано, что в интервале периодов капания от 1 до 4 сек. опытные данные по зависимости катодного и анодного потенциалов полуволн от логарифма периода капания удовлетворительно располагаются на теоретических прямых, проведенных с угловыми коэффициентами, равными половине углового коэффициента соответствующей волны. Обсуждены возможные причины отклонений опытных кривых от теоретических прямых в области больших периодов капания.
5. Сделана численная оценка величины нормальной плотности тока обмена в изученной системе.

Томский политехнический институт
Кафедра физической и коллоидной химии

Поступила
16.VII.1958

ЛИТЕРАТУРА

- А. Г. Стромберг, Ж. физ. химии, **29**, 409, 1955
 А. Г. Стромберг, А. И. Зелянская, Тр. Комиссии по аналит. химии, **4** (7), 5, 1952
 А. Г. Стромберг, К. Р. Воронова, Ж. физ. химии, **33**, 318, 1959.
 K. Miska. Coll. czech. chem. comm., **21**, 1246, 1956.
 J. Lingane, J. Kennedy. Annalyt. chim. acta, **15**, 294, 1956.
 I. Kolthoff, J. Lingane, Polarography, vol. 2. New York, 1952.
 В. Гиллебранд, Г. Лендель. Практическое руководство по неорганическому анализу, Госхимиздат, Москва, 1957 стр. 131.
 А. Н. Фрумкин, Б. С. Багоцкий, З. А. Иофа и Б. Н. Кабанов, Кинетика электродных процессов, Изд-во МГУ, Москва, 1952.
 H. Strehlow, M. Stackelberg. Z. Elektrochem. **54**, 51, 1950.

POLAROGRAPHIC STUDY OF INORGANIC OXIDATION-REDUCTION SYSTEMS

I. EFFECT OF CAPILLARY PARAMETERS ON THE ANODIC AND CATHODIC WAVE IN THE SYSTEM $Ti^{4+} - Ti^{3+}$

A. G. Stromberg and A. I. Kartushinskaya (Tomsk)

Summary

The effect of the dropping period of a dropping mercury electrode on the cathodic and anodic half wave potential in the irreversible oxidation-reduction system $Ti^{4+} - Ti^{3+}$ in 0.23 M HCl has been investigated over periods ranging from 1.2 to 20 sec. In conformity with the phenomenon of theoretical ratio ionization derived in this report on the

basis of the slow discharge theory both half wave potentials for dropping periods within the limits of 1 to 4 sec. have been shown to approach each other with increasing dropping period. Plots of the half wave potential versus logarithm dropping period in agreement with theory are in the form of straight lines with slopes equal to half the slope of the respective (cathodic or anodic) wave. The possible reasons for the deviation of experiment from theory for dropping periods over 4 sec. have been discussed. It has also been shown that in harmony with the slow discharge - ionization theory the cathodic and anodic half wave potentials are independent of the velocity outflow of mercury from the capillary and the sum of the discharge and ionization coefficients calculated from the slopes of the cathodic and anodic waves is almost exactly equal to unity. The normal exchange current density for the system $\text{Ti}^{4+} - \text{Ti}^{3+}$ in 0.23 *M* HCl has been found to equal 0.078 microamp. $\text{cm}^{-2} \text{ M}^{-1}$ and the instability constant of the complex TiCl_6^{2-} to be $2 \cdot 10^{-11}$. Hence it has been shown by the experimental data of the authors that the cause for the irreversibility of the electrode process in the system under question is the slow discharge-ionization process.

ОПРЕДЕЛЕНИЕ ТЕПЛОТ СУБЛИМАЦИИ МЕТАЛЛОВ НА ОСНОВАНИИ ИЗМЕРЕНИЙ АНОМАЛЬНОЙ ДИСПЕРСИИ МЕТОДОМ РОЖДЕСТВЕНСКОГО.

ТЕРМОДИНАМИЧЕСКИЕ СВОЙСТВА И ТЕПЛОТЫ СУБЛИМАЦИИ
ГАЛЛИЯ, ИНДИЯ И ТАЛИЯ

Л. В. Гурвич

При исследованиях теплот сублимации различных веществ на основании измерения давления их насыщенных паров возможны серьезные ошибки из-за отсутствия достоверных данных о составе пара, находящегося в равновесии с конденсированной фазой. Это обусловлено тем, что пары многих веществ, в том числе наиболее простых, обладают сложным составом, пренебрежение которым может приводить к весьма грубым ошибкам при расчетах теплот сублимации. Поэтому для определения теплот сублимации представляют интерес методы, позволяющие измерять парциальные давления индивидуальных компонентов пара. Известно широкое применение в этих целях масс-спектрометрического анализа состава паров, в частности паров, истекающих из эффузионной ячейки [1]. Наряду с масс-спектрометрическими методами для изучения состава паров, находящихся в равновесии с конденсированной фазой, в ряде случаев могут быть использованы оптические методы, позволяющие определять с высокой точностью концентрации индивидуальных веществ.

В настоящей работе будет показано, что для определения теплот сублимации ряда металлов может быть применен метод, основанный на явлении аномальной дисперсии света в их парах и предложенный Д. С. Рождественским для измерения значений абсолютных вероятностей оптических переходов атомов металлов.

Как известно [2,3], метод Рождественского позволяет на основании измерения расстояния между интерференционными крестами определять с высокой точностью величину произведения Nf , где N — число атомов паров металла в 1 см^3 , а f — абсолютное значение сил осциллятора для спектральной линии атома, у которой измеряются интерференционные кресты *. В методике, предложенной Рождественским и применявшейся до последнего времени для измерения сил осцилляторов и вероятностей переходов, предполагалось, что концентрация атомов в парах металла N может быть вычислена по литературным данным о давлении насыщенных паров металла, если известна их температура в условиях опыта ($p = NkT$, где $k = 1,38044 \cdot 10^{-16} \text{ эрг/град}$ — постоянная Больцмана и T — температура газа в $^\circ\text{K}$)

* Величина f связана простым отношением с вероятностью оптического перехода, приводящего к появлению данной линии в спектре атома

$$f = \frac{mc}{8\pi^2 e^2} \cdot \frac{g_2}{g_1} \lambda^2 A_{mn},$$

где m и e — масса и заряд электрона, c — скорость света, g_2 и g_1 — статистические веса состояний, между которыми происходит переход, λ — длина волны спектральной линии, A_{mn} — вероятность перехода (в сек.^{-1}).

В работе [4] нами было показано, что в тех случаях, когда измерения величин Nf выполнены в достаточно широком интервале температур и, кроме того, известны термодинамические свойства металла при этих температурах, значения f (а следовательно, A_{mn}) могут быть найдены без привлечения результатов измерений давления насыщенных паров. Легко показать, что при выполнении этих условий экспериментальные данные, получаемые в результате изучения аномальной дисперсии методом Рождественского, позволяют определять не только вероятность оптических переходов атомов металлов, но и теплоты сублимации последних.

Вероятности оптических переходов A_{mn} и силы осцилляторов f являются константами для каждой спектральной линии и, следовательно, не зависят от температуры газа. Таким образом, произведение NfT , где T — температура паров металла, при которой измерена величина Nf , с точностью до постоянной, равно давлению насыщенных паров металла, $p_m = NkT$. Поэтому, если значения NfT , полученные в результате измерения аномальной дисперсии в некотором интервале температур, представить двучленным уравнением:

$$R \ln NfT = A - \frac{B}{T} \quad (1)$$

(где R — газовая постоянная), и вычислить коэффициенты A и B этого уравнения, то коэффициент B будет равен теплоте испарения металла * при средней температуре $T_c^\circ \text{K}$; если постоянная R выражена в кал/моль ($R = 1,98726 \text{ кал/моль}$), то соответствующее значение теплоты сублимации будет получено в кал/г-ат . Очевидно, что если термодинамические свойства металла при температуре $T_c^\circ (\text{K})$ известны, найденная таким образом теплота испарения металла позволяет вычислить его теплоту сублимации при 0°K **

$$\Delta H^\circ (\text{М, газ}) = \Delta H_{T_c}^\circ (\text{М, газ}) + (H_{T_c} - H_0)_{\text{М, конц}} - (H_T^\circ - H_0^\circ)_{\text{М, газ}}, \quad (2)$$

где $(H_{T_c} - H_0)$ — изменение энтальпии металла в конденсированном и газообразном состояниях от 0 до $T_c^\circ \text{K}$.

Установка, созданная в Ленинградском университете Д. С. Рождественским и его учениками [2,3] для измерения абсолютных значений сил осцилляторов атомов металлов, позволяет определять величины NfT с точностью до нескольких процентов в широком интервале температур. Легко показать, что ошибки в значениях ΔH_{T_c} , вычисленных по этим данным при помощи предлагаемой методики, не превышают 20—50 кал/г-ат , что существенно меньше ошибок, возможных при использовании большинства других методов. Значения $H_T^\circ - H_0^\circ$ для одноатомных металлов в газообразном состоянии при температурах до 3000—4000°K могут быть вычислены статистическими методами с точностью, превышающей точность, необходимую для определения теплот сублимаций. Поэтому величина погрешностей в значениях теплот сублимации при 0°K , определяе-

* Так как коэффициенты B в уравнениях $R \ln NfT = A - \frac{B}{T}$ и $R \ln p = A' - \frac{B}{T}$ тождественны.

** Если значения $R \ln NfT$, найденные из экспериментальных данных, не могут быть представлены с достаточной точностью уравнением (1) во всем интервале температур, последний может быть разбит на несколько частей, для каждой из которых вычисляются свои значения коэффициентов A и B . При этом, несмотря на различие коэффициентов B и теплот испарения для каждого интервала температур, значения $\Delta H^\circ (\text{М, газ})$, найденные по уравнению (2), должны быть идентичны с точностью, зависящей только от точности значений $(H_T - H_0)$.

ных по предлагаемой методике, практически зависит только от точности данных о термодинамических свойствах исследуемого металла в конденсированном состоянии.

Рассмотренный метод был применен для определения теплот сублимации галлия, индия и таллия на основании результатов исследований сил осцилляторов атомов этих металлов, опубликованных в литературе.

Термодинамические свойства галлия, индия и таллия. Термодинамические свойства галлия, индия и таллия в газообразном состоянии были вычислены статистическим методом. При расчете были использованы значения атомных весов этих элементов, рекомендованных в сводке [5]. Возбужденные электронные состояния атомов Ga, In и Tl лежат на 24000 см^{-1} выше основного состояния. Поэтому [6] при вычислении статистических сумм по электронным состояниям и их производных — по температуре для всех трех атомов учитывались только две компоненты основных 2P состояний [7]. Вычисленные таким образом значения Φ_T^* , S_T^0 и $H_T^0 - H_0^0$ для температур 293,15; 298,16; 300 (100) 3500° K приведены в табл. 1.

Таблица 1

Термодинамические функции галлия, индия и таллия в газообразном состоянии

T°, K	Ga				In			Tl		
	Φ_T^* кал/г - ат.-град	S_T^0 кал/г - ат.-град	$H_T^0 - H_0^0$ кал/г - ат.		Φ_T^* кал/г - ат.-град	S_T^0 кал/г - ат.-град	$H_T^0 - H_0^0$ кал/г - ат.	Φ_T^* кал/г - ат.-град	S_T^0 кал/г - ат.-град	$H_T^0 - H_0^0$ кал/г - ат.
293,16	35,0364	40,2745	1536		36,4535	41,4223	1457	38,1738	43,1417	1456
298,16	35,1251	40,3767	1566		36,5375	41,5064	1482	38,2578	43,2257	1481
300	36,7061	42,2220	2206		37,9984	42,9774	1992	39,7175	44,6854	1987
500	37,9593	43,6668	2854		39,1126	44,1237	2506	40,8261	45,7940	2484
600	39,0108	44,8298	3491		40,0311	45,1005	3042	41,7318	46,6997	2981
700	39,9133	45,7844	4110		40,8189	45,9742	3609	42,4976	47,4655	3478
800	40,6979	46,5858	4710		41,5136	46,7666	4202	43,1610	48,1289	3974
900	41,3911	47,2725	5293		42,1381	47,4925	4819	43,7461	48,7142	4471
1000	42,0098	47,8718	5862		42,7074	48,1597	5452	44,2696	49,2381	4969
1100	42,5674	48,4035	6420		43,2312	48,7723	6095	44,7432	49,7126	5466
1200	43,0739	48,8807	6968		43,7167	49,3357	6743	45,1756	50,1483	5967
1300	43,5375	49,3138	7509		44,1699	49,8541	7390	45,5742	50,5477	6466
1400	43,9644	49,7102	8044		44,5925	50,3317	8035	45,9493	50,9208	6970
1500	44,3599	50,0761	8574		44,9901	50,7729	8674	46,2861	51,2709	7477
1600	44,7278	50,4154	9100		45,3644	51,1823	9309	46,6080	51,6011	7989
1700	45,0718	50,7223	9623		45,7179	51,5608	9933	46,9110	51,9147	8506
1800	45,3946	51,0293	10142		46,0524	51,9142	10551	47,1973	52,2189	9029
1900	45,6987	51,3091	10660		46,3998	52,2447	11162	47,4691	52,5009	9560
2000	45,9860	51,5735	11175		46,6713	52,5544	11766	47,7275	52,7768	10099
2100	46,2578	51,8237	11688		46,9584	52,8456	12363	47,9743	53,0432	10644
2200	46,5164	52,0620	12200		47,2324	53,1204	12954	48,2107	53,3011	11199
2300	46,7625	52,2890	12711		47,4941	53,3801	13538	48,4374	53,5511	11762
2400	46,9972	52,5057	13220		47,7445	53,6264	14117	48,6556	53,7941	12332
2500	47,2218	52,7133	13729		47,9845	53,8605	14690	48,8658	54,0304	12912
2600	47,4368	52,9122	14236		48,2148	54,0835	15259	49,0689	54,2606	13498
2700	47,6432	53,1035	14743		48,4361	54,2964	15823	49,2653	54,4849	14093
2800	47,8415	53,2875	15249		48,6491	54,5000	16383	49,4557	54,7038	14695
2900	48,0323	53,4647	15754		48,8542	54,6951	16939	49,6404	54,9172	15303
3000	48,2164	53,6359	16259		49,0521	54,8825	17491	49,8198	55,1255	15917
3100	48,3939	53,8013	16763		49,2431	55,0626	18040	49,9942	55,3288	16537
3200	48,5654	53,9612	17267		49,4277	55,2360	18587	50,1641	55,5273	17162
3300	48,7312	54,1160	17770		49,6062	55,4032	19130	50,3295	55,7210	17792
3400	48,8919	54,2661	18273		49,7790	55,5646	19671	50,4908	55,9100	18425
3500	49,0475	54,4118	18775		49,9467	55,7209	20210	50,6484	56,0948	19062

Термодинамические функции газообразных In и Tl, насколько нам известно, вычислены впервые. Термодинамические функции газообразного галлия вычислялись ранее Джонстоном и Спайзером [8] для температур 298,16 — 1500° К. Однако в этой работе, по-видимому, допущена какая-то систематическая ошибка, причину которой нам не удалось установить. Соответствующее расхождение в значении Φ_{1500}^* составляет около 0,6 кал/г-ат·град.

Термодинамические функции твердых и жидких галлия, индия и таллия были вычислены на основании результатов измерений их теплоемкостей, теплот фазовых переходов и полиморфных превращений этих металлов.

Теплоемкость твердого галлия измерялась в работах Клузиуса и Харттека [9] и Рота, Майера и Цоймера [10]. Адамс Джонстон и Керр [11] повторили измерения теплоемкости твердого галлия на более чистом образце и нашли $H_{298,16} - H_0 = 1330,6$ кал/г-ат и $S_{298,16} = 9,82 \pm \pm 0,05$ кал/г-ат·град. Они определили также теплоту плавления галлия 1335 ± 1 кал/г-ат и теплоемкость жидкого галлия в интервале 303—320° К. При измерении теплоемкости жидкого галлия авторы [11] нашли, что она медленно уменьшается от точки плавления по мере повышения температуры. Однако в более поздней работе, вычисляя термодинамические свойства жидкого галлия в широком интервале температур, Спайзер и Джонстон [8] приняли, что его теплоемкость постоянна и равна 6,5 кал/г-ат·град. Термодинамические функции галлия, приведенные в табл. 2, вычислены на основании перечисленных данных.

Теплоемкость индия в интервале 12—273° К исследовалась Клузиусом и Шахинбергом [12]. На основании данных, полученных в этой работе, и исследования [10] Келли [13] принимает $S_{298,16} = 13,88$ кал/г-ат·град. Из тех же данных мы нашли $H_{298,16} - H_0 = 1585$ кал/г-ат. Температуру плавления индия была уточнена недавно Валентинером [14] и найдена равной 429,33° К. Теплота плавления индия согласно [14] равна 775 кал/г-ат. Теплоемкость жидкого индия исследовалась в работе [14] от точки плавления и до 500° К. Келли [15] на основании данных, полученных в работе [14], рекомендует для теплоемкости твердого индия в интервале температур 298,16—429,33° К уравнение $C_p = 5,81 + + 2,5 \cdot 10^{-3} T$, а для жидкого индия $C_p = 7,5$. Термодинамические функции индия, приведенные в табл. 2, вычислены на основании этих данных. Уже после окончания расчетов нам стала известной работа Шнейдера и Хилмера [16], которые нашли $\Delta H_{пл} = 790 \pm 10$ кал/г-ат, C_p (In, тв) = 6,7 и C_p (In, ж) = 6,95 кал/г-ат.

Теплоемкость твердого таллия при низких температурах (α -модификация) исследовалась Хиксом [17] и Клузиусом [18], а при температурах выше 298,16° К — Зеекампом [19]. Теплота полиморфного превращения таллия равна 75 кал/г-ат ($T = 505,6^\circ$ К), а теплота плавления 1010 кал/г-ат ($T_{пл} = 576^\circ$ К). Теплоемкость жидкого таллия при температурах до 773° К была изучена в работе [10]. Келли [13, 15] на основании перечисленных работ принимает $S_{298,16} = 15,35$ кал/г-ат·град; $H_{298,16} - H_0 = 1634$ кал/г-ат, $C_p(\alpha, \text{Tl}) = 5,26 + 3,46 \cdot 10^{-3} T$ (298,16—505,6° К), $C_p(\beta, \text{Tl}) = 7,3$ кал/г-ат (505,6—576° К) и $C_p(\text{Tl}, \text{ж}) = 7,5$ кал/г-ат. Принимая эти данные, мы вычислили термодинамические функции таллия в конденсированном состоянии для температур 298,16—1500° К, приведенные в табл. 2.

Основная погрешность в значениях термодинамических функций рассматриваемых металлов в конденсированном состоянии при высоких температурах вносится отсутствием достоверных данных об их теплоемкостях в жидком состоянии. Ошибка в принятых значениях теплоемкостей расплавленных металлов может достигать 0,2—0,3 кал/г-ат для таллия и до 0,5—0,8 кал/г-ат — для галлия. Соответствующие погрешности

Таблица 2

Термодинамические свойства галлия, индия и таллия в конденсированном состоянии

T, °K	Ga			T, °K	In			T, °K	Tl		
	Φ_T^*	S_T	$H_T - H_0$		Φ_T^*	S_T	$H_T - H_0$		Φ_T^*	S_T	$H_T - H_0$
	кал/г - атм-град	кал/г - атм-град	кал/г - атм		кал/г - атм-град	кал/г - атм-град	кал/г - атм		кал/г - атм-град	кал/г - атм-град	кал/г - атм
298,16	5,357	9,820	1330,6	298,16	8,564	13,880	1585	298,16	9,870	15,350	1634
320	5,902	10,509	1474	400	10,177	15,862	2266	300	9,902	15,389	1646
320	5,902	14,680	2809	429,33	10,582	16,326	2466	400	11,515	17,248	2293
400	7,830	16,353	3409	429,33	10,582	18,131	3241	500	12,820	18,768	2974
500	9,709	18,027	4159	500	11,732	19,274	3771	505,6	12,884	18,846	3014
600	11,212	19,394	4909	600	13,107	20,642	4521	505,6	12,884	18,994	3089
700	12,466	20,550	5659	700	14,268	21,798	5271	576	13,691	19,946	3603
800	13,541	21,552	6409	800	15,273	22,799	6021	576	13,691	21,699	4613
900	14,481	22,435	7159	900	16,160	23,683	6771	600	14,017	22,005	4733
1000	15,316	23,225	7909	1000	16,952	24,473	7521	700	15,242	23,161	5543
1100	16,068	23,940	8659	1100	17,669	25,188	8271	800	16,297	24,163	6293
1200	16,752	24,593	9409	1200	18,322	25,840	9021	900	17,220	25,046	7043
1300	17,378	25,193	10159	1300	18,925	26,441	9791	1000	18,043	25,836	7793
1400	17,957	25,749	10909	1400	19,481	26,996	10521	1100	18,785	26,551	8543
1500	18,493	26,266	11659	1500	20,000	27,514	11271	1200	19,460	27,204	9293
								1300	20,079	27,804	10043
								1400	20,651	28,360	10793
								1500	21,182	28,877	11543

в значениях $H_T - H_0$ при температурах порядка 1300°K составляют $\pm 150\text{--}200 \text{ кал/г-ат}$ и $\pm 500\text{--}800 \text{ кал/г-ат}$, соответственно.

Теплоты сублимации Ga, In и Tl. В литературе известна одна работа по исследованию давления насыщенных паров индия [20]*, две [8], [21] — паров галлия и три [22—24] — паров таллия. В работе [20] давление насыщенных паров индия было измерено методом Кнудсена. Ввиду отсутствия в литературе данных о термодинамических функциях индия автор [20] не определил теплоту сублимации при 0°K , а ограничился представлением величин $\lg P_{\text{In}}$ зависимостью от $1/T$, согласно которой теплота испарения индия при 1175°K равна 55900 кал/г-ат . Пересчитывая эту величину к 0°K при помощи величин $H_T - H_0$, приведенных в табл. 1 и 2, находим $\Delta H_0^\circ (\text{In, газ}) = 58140 \text{ кал/г-ат}$, в то время как расчет по соотношению

$$\Delta H_0^\circ (\text{M, газ}) = [\Phi_T^* (\text{M, газ}) - \Phi_T^* (\text{M, конд.}) - R \ln p_M] T \quad (3)$$

приводит к значению 57980 кал/г-ат . Практически полное совпадение величины $\Delta H_0^\circ (\text{In, газ})$ при ее вычислении обоими методами свидетельствует о достаточной надежности экспериментальных данных [20]*.

Давление насыщенных паров галлия измерялось в работах [21] и [8], причем в статье [8] было отмечено, что данные [21] содержат ошибку из-за реакции галлия с материалом ячейки. Теплота сублимации Ga при 0°K по данным [8] равна $65,6 \text{ кал/г-ат}$. Однако эта величина содержит ошибку из-за неправильных значений Φ_T^* атомарного галлия, вычисленных авторами [8].

Кроме того, при обработке экспериментальных данных авторами [8] были, по-видимому, допущены какие-то дополнительные ошибки, отмеченные в работе [26]. В частности, величина $\Delta H_0^\circ (\text{Ga, газ})$, вычисленная из этих данных другим методом — по зависимости $\lg p_{\text{Ga}}$ от $1/T$, отличается от приведенной выше более чем на 5 ккал/г-ат .

Сравнивая результаты измерений давления насыщенных паров таллия в работах Гиббсона [22], Вартеберга [23] и Колемана и Эгертона [24], Кватер [2] отметил, что угловой наклон функции $\lg p_{\text{Tl}}$ от $1/T$, построенной по данным [22], значительно меньше, чем соответствующий измерениям других авторов, и пришел к выводу, что это свидетельствует о наличии ошибки в данных [22]. Предположение Кватера подтверждается результатами наших расчетов теплоты сублимации таллия при 0°K по данным [22—24] двумя методами с использованием термодинамических функций таллия, приведенных в табл. 1 и 2. Соответствующие величины равны 43270 ; 31700 и 433500 кал/г-ат при вычислении через зависимость $\lg p_{\text{Tl}}$ от $1/T$ и 40800 , 42770 и 42945 кал/г-ат при расчете по уравнению (3). Сравнение приведенных величин показывает, что измерения Вартеберга и особенно Гиббсона содержат ошибки и приводят к ошибочным значениям теплоты сублимации таллия.

Выше было показано, что теплота сублимации металла может быть вычислена на основании измерения методом крюков величин Nf , если последние определены в широком интервале температур и известны термодинамические функции металла в газообразном и конденсированном состояниях. Значения Nf для резонансных линий Ga, In и Tl исследовались в Ленинградском университете Ю. И. Островским и Н. П. Пэнкиным [26] и Кватером [2].

* После того как настоящая работа была сдана в печать, нам стала известна статья Л. П. Любимова и Ю. Н. Любитова [25], в которой в результате масс-спектроскопических измерений было найдено $\Delta H_{855}^\circ (\text{In, газ}) = 55740 \text{ кал/г-ат}$, чему соответствует $\Delta H_0^\circ (\text{In, газ}) = 57420 \text{ кал/г-ат}$.

Представляя полученные в этих работах значения N_f уравнением (1), мы нашли теплоты испарения этих металлов:

$$\Delta H_{1360}^{\circ} (\text{Ga, газ}) = 57060 \text{ кал/г-ат};$$

$$\Delta H_{1370}^{\circ} (\text{In, газ}) = 55170 \text{ кал/г-ат};$$

$$\Delta H_{1113}^{\circ} (\text{Tl, газ}) = 40035 \text{ кал/г-ат}.$$

Погрешности в этих величинах не превышают 50 кал/г-ат. Принимая эти значения и термодинамические функции, приведенные в табл. 1 и 2 получаем

$$\Delta H_0^{\circ} (\text{Ga, газ}) = 59000 \pm 1000 \text{ кал/г-ат};$$

$$\Delta H_0^{\circ} (\text{In, газ}) = 57700 \pm 600 \text{ кал/г-ат};$$

$$\Delta H_0^{\circ} (\text{Tl, газ}) = 43150 \pm 250 \text{ кал/г-ат}.$$

Найденные таким образом теплоты сублимации могут рассматриваться как наиболее надежные значения этих величин. В случае In и Tl они хорошо согласуются с данными, полученными в работах [20] и [24] другими методами (очевидно, что погрешность в значениях теплот сублимации этих металлов из-за неточности значений $H_T - H_0$ не зависит от примененного метода исследования). В случае галлия разница между полученной величиной и данными [8] существенно превосходит возможную ошибку, даже после внесения поправки, связанной с исправлением значений Φ_T^* газообразного галлия. Отметим, что в масс-спектрометрическом исследовании [27], ставшем нам известным при подготовке рукописи, теплота сублимации галлия была найдена равной 59 ± 4 ккал/моль.

Выводы

1. Показана возможность расчета теплот сублимации металлов на основании данных, получаемых методом Рождественского при исследовании вероятностей оптических переходов атомов.
2. Рассчитаны термодинамические функции галлия, индия и таллия газообразном (от 298,15 до 3500° K) и конденсированном (от 298,15 до 500° K) состояниях.
3. На основании литературных данных, полученных при исследовании галлия, индия и таллия методом Рождественского, найдены теплоты сублимации этих металлов при 0° K.

Академия наук СССР
Институт горючих
ископаемых

Поступила
12.IX.1958

ЛИТЕРАТУРА

1. R. Honig, J. Chem. Phys., 22, 1610, 1954.
2. Г. С. Кватер, Ж. экспер. и теор. физ., 11, 421, 1941.
3. Д. С. Рождественский и Н. П. Пенкин, Сборник работ по аномальной дисперсии в пороках металлов. Изд-во АН СССР, 1951.
4. Л. В. Гурвич, Оптика и спектроскопия, 5, 205, 1958.
5. E. Wickers, J. Amer. Chem. Soc., 76, 2033, 1954.
6. И. В. Вейц, Л. В. Гурвич, Н. П. Ртищева, Ж. физ. химии, 32, 2532, 1958.
7. Ch. Moore, Nat. Bur. Standards, (USA), Washington, 1949.
8. R. Speiser, H. Johnston, J. Amer. Chem. Soc., 75, 1460, 1953.
9. K. Clusius, P. Harteck, Z. phys. Chem., 134, 243, 1928.
10. W. A. Roth, J. Meyer, H. Zeumer, Z. anorgan. Chem., 214, 309.
11. G. Adams, H. Johnston, E. Kerr, J. Amer. Chem. Soc., 74, 4782, 1952.
12. K. Clusius, Z. Schachinger, Z. angew. Phys. 4, 442, 1952.
13. K. K. Kelley, Bull. Bur. Mines (USA), № 447, Washington, 1950.
14. S. Valentin, Z. anorgan. Chem., 277, 201, 1954.

15. K. K. Kelley, Bur. Mines (USA), № 476, Washington, 1949.
16. J. Z. Snider, J. Nicol, Phys. Rev., **105**, 1242, 1957.
17. J. F. Hicks, J. Amer. Chem. Soc., **60**, 1000, 1938.
18. K. Clusius, Y. Vangren, J. Amer. Chem. Soc., **52**, 4684, 1930.
19. N. Sukampf, Z. anorgan. Chem., **195**, 345, 1931.
20. J. S. Anderson, J. Chem. Soc., **841**, 1943.
21. P. Harteck, Z. phys. Chem., **134**, **1**, 1928.
22. G. Gibson, Dissertation, Berlin, 1941.
23. W. Wartenberg, Z. Electrochem., **19**, 482, 1913.
24. C. Coleman, A. Egerton, Philos. Trans. Roy. Soc., **A**, **234**, 177, 1935.
25. А. П. Любимов, Ю. Н. Любитов, «Обработка стали и сплавов», М., Институт стали. Сб., № 36, 191, 1957.
26. Ю. И. Островский, П. П. Пенкин, Оптика и спектроскопия, **4**, 1958.
27. J. Drowart, R. Honig, Bull. Soc. chim., Belges, **66**, 411, 1957.

DETERMINATION OF THE HEATS OF SUBLIMATION OF METALS BY
ANOMALOUS DISPERSITY MEASUREMENTS WITH THE AID OF
ROZHDESTVENSKII'S METHOD. THE THERMODYNAMIC PROPERTIES
AND HEATS OF SUBLIMATION OF GALLIUM, INDIUM AND THALLIUM.

L. V. Gurvich (Moscow)

Summary

It has been shown that presenting the results of measurements of N_f by Rozhdestvenskii's method in the form of $R \ln N/T = A - B/T$ one may determine with high accuracy the heats of sublimation of metals at 0° K if the thermodynamic properties of the metals in the condensed and gaseous states are known. This procedure was applied in determining the heats of sublimation of gallium, indium and thallium on the basis of published data for N_f . It has been found that $\Delta H_0^\circ(\text{Ga}_{gas}) = 59.0 \pm 1.0$ kcal/g. atom, $\Delta H_0^\circ(\text{In}_{gas}) = 57.7 \pm 0.6$ kcal/g. atom and $\Delta H_0^\circ(\text{Tl}_{gas}) = 43.15 \pm 0.25$ kcal/g. atom. The thermodynamic functions of metals in the gaseous state were calculated by statistical methods, in the solid and liquid state on the basis of known values of heat capacities.

ИЗМЕРЕНИЕ ДАВЛЕНИЯ НАСЫЩЕННОГО ПАРА
ТВЕРДОЙ ОКИСИ СВИНЦА МЕТОДОМ ПОТОКА

Ан. Н. Несмеянов, Л. П. Фирсова и Е. П. Исакова

В нашей работе [1] по определению давления пара PbO методами испарения с открытой поверхности и из эффузионной камеры в вакуум были получены две серии результатов, недостаточно согласующихся между собой, и сильно отличающихся от лучших литературных данных [2].

Опыты по испарению с открытой поверхности образца были проведены в интервале температур $887-1043^{\circ}K$, т. е. в области более низких давлений и температур, нежели в работе [2]. Поэтому при наличии всего трех измерений в работе [2] трудно сравнивать эти данные с результатами наших опытов. Температурный интервал эффузионных измерений почти совпадал с интервалом температур и давлений в опытах [2], однако и в этом случае сопоставление данных обоих работ затруднительно, поскольку экспериментальные значения имеют большой разброс.

Для подтверждения правильности наших данных мы провели дополнительные измерения давления пара твердой окиси свинца методом потока в интервале температур, включающем и температуры измерения работы [2].

Экспериментальная часть

Опыты проводились с препаратом окиси свинца, содержавшим не менее 99,95% PbO , спектральным анализом в препарате были обнаружены следы Ag и Cu . По данным рентгенографического анализа, проведенного для свежеприготовленного образца образцов, подвергнутых нагреванию, препарат являлся ромбической модификацией окиси свинца.

Установка, на которой производились опыты, была предварительно прокалбрована измерением давления пара хлористого калия. Она состояла из кварцевой или фарфоровой трубки, соединенной с системами очистки и осушки тока газа носителя, газометра системы Патрикеева и трубчатой печи. Фарфоровая или кварцевая трубка со шлифом диаметром 25 мм и длиной 650 мм внутри на половину длины обертывалась платиновой фольгой для предотвращения взаимодействия пара окиси свинца с кварцем и фарфором, что могло повести к искажению результатов. Для уменьшения влияния газовой диффузии на результаты измерений давления пара методом потока в трубку вставлялись платиновые диафрагмы с отверстиями, площадь которых была порядка 2 см^2 . Трубка соединялась с остальными частями системы шлифом или вакуумной сепарной на плечине так плотно, что поправка, учитывающая потерю газа носителя за счет недостаточной герметичности прибора, не превышала 1%.

Печь, в которую вставлялась трубка, нагревалась хорошо стабилизированным током до заданной температуры, которая поддерживалась постоянной в течение всего эксперимента с точностью до $\pm 0,5^{\circ}$.

После нагрева трубки в нее вставлялась взвешенная платиновая лодочка с веществом. Когда температура лодочки становилась равной температуре печи, через трубку пускался ток газа-носителя (начало экспозиции). Температура измерялась $Pt-Rh$ термопарой, прокалиброванной непосредственно в приборе в условиях опыта. Термопара подвигалась непосредственно к лодочке с веществом. Объем прошедшего газа измерялся газометром УРСР-1, которым автоматически поддерживалась постоянная скорость прохождения газа и его давление. Газ, подаваемый в систему, предварительно проходил через ряд U-образных трубок, заполненных осушителями (ангидроном, P_2O_5 , $CaCl_2$).

Работа проводилась с током чистого кислорода, воздуха и азота, при этом в случае работы с азотом производилась дополнительная очистка свежеприготовленной азотсодержащей $Mn(OH)_2$ в воде и пропусканием над накаливаемой медной стружкой. Кроме того, ток азота насыщался для предотвращения восстановления и разложения окиси свинца.

По окончании экспозиции ток газа прерывался, и лодочка вынималась из трубки, охлаждалась в эксикаторе и взвешивалась. По разности весов лодочки до и после экспозиции определялось количество испарившейся окиси. В ряде опытов проводилось также определение количества конденсата пара, собранного на приемнике, представлявшем собою U-образный сосуд с тонкими стенками, охлаждаемый жидким азотом. Из данных по количеству испарившейся окиси свинца и прошедшего газа-носителя рассчитывалось отношение числа молей окиси свинца к числу молей газа-носителя q_v . Далее для каждой температуры строился график зависимости q_v от скорости тока газа v и экстраполяцией к нулевой скорости газа находилось значение q_0 . Давление пара вычислялось по формуле:

$$P_{\text{РbO}} = P_{\text{Г}} q_0,$$

где $P_{\text{РbO}}$ — парциальное давление пара окиси свинца и $P_{\text{Г}}$ — давление газа-носителя.

Полученные величины давления пара окиси свинца приведены в таблице. Значения давления пара окиси свинца очень близки к величинам, рассчитанным из данных одной серии эффузионных измерений и особенно из результатов опытов по испарению с открытой поверхности. Отличия столь незначительны, что находятся в пределах ошибок опытов.

Данные измерений с открытой поверхности и результаты измерений методом потока были обработаны вместе и из них методом наименьших квадратов найдено уравнение

$$\lg p_{\text{атм}} = 8,7002 - \frac{13858}{T}. \quad (1)$$

Отсюда по наклону прямой $\Delta H_{1000} = 67,4$ ккал/моль.

Из данных по давлению пара и значений Φ' -потенциалов, представленных нам ИГИ АН СССР, были рассчитаны теплоты сублимации при 0°K (см. таблицу).

Давление насыщенного пара твердой окиси свинца

T°, K	Газ-носитель	$P_{\text{Г}}, \text{мм рт. ст.}$	q_0	$P_{\text{РbO}}, \text{мм рт. ст.}$	$\lg P_{\text{РbO}}, \text{мм рт. ст.}$	$\Delta \Phi'$	$\Delta H_0^\circ, \text{ккал}$	$\Delta \bar{H}_0^\circ - \Delta H_0^\circ, \text{ккал}$
1055	Кислород	743	$2,15 \cdot 10^{-5}$	$1,600 \cdot 10^{-2}$	$\bar{2},2040$	38,7185	63,4241	0,0105
1061	Воздух	758	$1,25 \cdot 10^{-5}$	$9,477 \cdot 10^{-3}$	$\bar{3},9763$	38,6982	64,8687	1,4550
1065	Кислород	748	$3,16 \cdot 10^{-5}$	$2,370 \cdot 10^{-2}$	$\bar{2},3747$	38,6846	63,1661	0,2476
1072	Воздух	741	$4,57 \cdot 10^{-5}$	$3,390 \cdot 10^{-2}$	$\bar{2},5302$	38,6610	62,7845	0,6292
1073	»	740	$6,31 \cdot 10^{-5}$	$4,670 \cdot 10^{-2}$	$\bar{2},6694$	38,6575	62,1559	1,2578
1075	Кислород	741	$4,37 \cdot 10^{-5}$	$3,240 \cdot 10^{-2}$	$\bar{2},5105$	38,6507	63,0460	0,3677
1083	Азот	738	$5,50 \cdot 10^{-5}$	$4,060 \cdot 10^{-2}$	$\bar{2},6085$	38,6236	63,0002	0,4135
1087	Кислород	745	$6,30 \cdot 10^{-5}$	$4,690 \cdot 10^{-2}$	$\bar{2},6712$	38,6101	62,9063	0,5074
1095	Азот	734	$5,50 \cdot 10^{-5}$	$4,040 \cdot 10^{-2}$	$\bar{2},6064$	38,5829	63,6642	0,2505
1101	Кислород	750	$5,16 \cdot 10^{-5}$	$3,870 \cdot 10^{-2}$	$\bar{2},5877$	38,5669	64,0897	0,6760
1107	Азот	736	$6,61 \cdot 10^{-5}$	$4,860 \cdot 10^{-2}$	$\bar{2},6866$	38,5729	63,9446	0,5309
1115	Воздух	742	$1,10 \cdot 10^{-4}$	$8,162 \cdot 10^{-2}$	$\bar{2},9118$	38,5794	63,2651	0,1486
1136	Азот	745	$1,26 \cdot 10^{-4}$	$9,394 \cdot 10^{-2}$	$\bar{2},9728$	38,5980	64,1606	0,7469
1149	Воздух	746	$2,14 \cdot 10^{-4}$	0,1600	$\bar{1},2040$	38,6097	63,6929	0,2792
1153	»	745	$3,16 \cdot 10^{-4}$	0,2350	$\bar{1},3711$	38,6132	63,0370	0,3767
						Среднее	$63,414 \pm$	0,459

Следует сказать, что ошибки при измерении давления пара методом потока весьма велики (не менее 20%). Их основной причиной является экстраполяция к нулевой скорости, которая затруднительна вследствие того, что зависимость q_v от v не является строго линейной в широком интервале скоростей, причем наибольшие отклонения наблюдаются в области низких скоростей потока газа-носителя. Эти отклонения от линейной зависимости наблюдались в работах целого ряда авторов [3,4] и объяснялись ими

прежде всего термодиффузией пара. Попытки исключить влияние термодиффузии экстраполяцией результатов измерений к бесконечно большим скоростям потока [3] могут быть допущены только при использовании образцов с очень большими поверхностями испарения, для которых достижение насыщения газа-носителя парами исследуемого вещества возможно даже при сравнительно больших скоростях потока, при которых диффузия ничтожна.

В обычных условиях эксперимента более правильной является, по-видимому, экстраполяция к нулевой скорости, а влияние термодиффузии должно быть уменьшено введением в прибор диафрагмы. Учет влияния термодиффузии путем введения поправок при расчете очень сложен, так как коэффициент термодиффузии является функцией концентрации вещества в газе, а концентрация в свою очередь сильно зависит от скорости потока. Следовательно, зависимость q_v от скорости потока газа является не только зависимостью степени насыщения потока газа паром исследуемого вещества, как предполагается при линейной графической экстраполяции к нулевой скорости, но и должна учитывать зависимость коэффициента термодиффузии от скорости потока. При недооценке влияния термодиффузии на результаты определения давления пара методом потока получаются завышенные результаты, а эта недооценка свойственна многим работам.

Выводы

1. Методом потока с применением в качестве газа-носителя кислорода, азота и воздуха измерено давление пара твердой окиси свинца в интервале температур 1055—1153°K.

2. Дано уравнение (1), характеризующее зависимость давления пара окиси свинца от температуры.

3. Из данных по давлению пара твердой окиси свинца и термодинамических потенциалов рассчитаны величины стандартной теплоты сублимации окиси свинца при 0°K ($63,42 \pm 0,02$).

Московский государственный
университет им. М. В. Ломоносова

Поступила
19.IX.1958

ЛИТЕРАТУРА

- Ан. Н. Несмеянов, Л. П. Фирсова, Е. П. Исакова, Ж. физ. химии, **34**, 1200, 1960.
E. Feiser, Metal Erz., **26**, 269, 1929.
H. Braune, Z. anorgan. Chem., **111**, 109, 1920.
N. Tombs, A. Welch, J. Iron and Steel Inst., **172**, 69, 1952.

SATURATED VAPOR PRESSURE MEASUREMENTS OF SOLID LEAD OXIDE BY THE FLOW METHOD

An. N. Nesmeyanov, L. P. Firsova and E. P. Isakova (Moscow)

Summary

The vapor pressure of 99.5% lead oxide (massicot) has been measured over the temperature range 1055—1153°K by a flow method. Oxygen, air and nitrogen were used as carrier gases. The determinations were made from the weight loss of a platinum boat containing the substance, the boat being placed in a platinum foil lined porcelain tube heated in a tubular oven. The results obtained are given by the equation:

$$\log p = 8.7002 - 13858/T.$$

It follows from the slope of the straight line that $\Delta H_{1000} = 67.4$ kcal/mole.

From the data on the vapor pressure and thermodynamic potentials the value was obtained for the standard heat of sublimation of lead oxide at 0°K ($\Delta H = 63.414 \pm 0.459$ kcal/mole).

КРИТИЧЕСКИЕ ЯВЛЕНИЯ В СИСТЕМЕ
ГЕКСАМЕТИЛЕНИМИН — ВОДА

IV. ОБЩЕЕ ДАВЛЕНИЕ ПАРА

И. Р. Кричевский, Н. Е. Хазанова и Л. П. Смирнов

Из термодинамики критических явлений известно [1], что критическая изотерма-изобора химического потенциала (парциального давления) компонента двойного раствора ($\mu - N$) является кривой нечетного порядка и имеет в критической точке точку перегиба с горизонтальной касательной. Такого же типа кривой является, конечно, и изотерма общего давления пара ($P - N$) над двойным раствором. Поэтому на критической изотерме общего давления, так же как и на изотермах химического потенциала и парциального давления, имеется почти горизонтальный участок, где давление пара практически не зависит от состава раствора.

Влияние критической точки распространяется в гомогенной области на широкий интервал составов и температур. Даже при значительном удалении от критической точки изотермы общего давления все еще сохраняют большие участки, где общее давление пара очень мало меняется с изменением состава раствора.

Проводя исследование термодинамики двойных растворов вблизи критической точки на примере системы гексаметиленимин — вода, имеющих нижнюю критическую точку (68,1° и 24,8 вес. % гексаметиленимина [2]), авторы измерили и общее давление пара над растворами различных составов в интервале температур от 40 до 74°.

Экспериментальная часть

Общее давление пара было измерено методом изотенископа [3]. Давление пара в этом методе измеряется по компенсирующему его давлению воздуха. В качестве нуль-прибора используется U-образный ртутный манометр, являющийся частью изотенископа и погружаемый вместе с резервуаром для исследуемого раствора в термостат (рис. 1). Главным преимуществом такого метода исследования давления является то, что паровое пространство здесь может иметь малый объем и что пары находятся при той же температуре, что и исследуемая жидкость.

Изотенископ (рис. 2), изготовленный из стекла пирекс, состоит из резервуара 1 для исследуемого вещества, манометра изотенископа 2, играющего роль нуль-прибора, грушевидного отстойника 3 и соединительной трубки 4, заканчивающейся краном и шлифом. В резервуаре 1 имеется оплавленная стеклом железная мешалка 5, которая может передвигаться вверх и вниз при помощи надетого на резервуар кольцевого постоянного магнита. Так как исследование проводилось с растворами (а не с чистыми веществами) вблизи критической точки, то для установления равновесия совершенно необходимо, как это не раз указывалось, энергичное перемешивание.

Изотенископ 1 (рис. 1) соединительной трубкой 2 сообщался с измерительной частью установки. Измерительный ртутный манометр 3 был закрытого типа. Для уменьшения ошибок из-за остаточного давления при предварительной откачке манометра закрытое колено заканчивалось шаром емкостью 0,5 л. Перед заполнением манометра ртутью, которая окончательно дегазировалась в резервуаре манометра, стекло манометра подвергалось тренировке при прогреве его в течение нескольких часов. Для уменьшения ошибок измерений из-за изменения температуры воздуха в период измерений манометр был защищен листами органического стекла. Температура ртути в трубках манометра принималась равной температуре ртути в пробирке, подвешенной на шкале манометра.

Ртутным манометром измеряют давление воздуха, компенсирующее давление пара жидкости. Воздух подавали очень медленно через вентиль-напекатель 4. Для более

Главного измерения давления при подаче воздуха в пространство между измерительным манометром и манометром изотенископа в систему был включен буферный сосуд емкостью ~ 3 л. Поступавший в установку воздух предварительно осушался хлористым кальцием и проходил через ватный фильтр. Такие меры обеспечивали сохранение чистоты поверхности ртути в течение длительного времени.

Если в систему подавали воздуха больше, чем нужно для выравнивания уровней ртути в манометре изотенископа, то часть его можно было перевести в другой буферный сосуд, предварительно эвакуированный и отключенный на время измерений от установки.

Водяной термостат с подогревателями, холодильником, мешалкой и толуоловым терморегулятором позволял поддерживать температуру постоянной с точностью

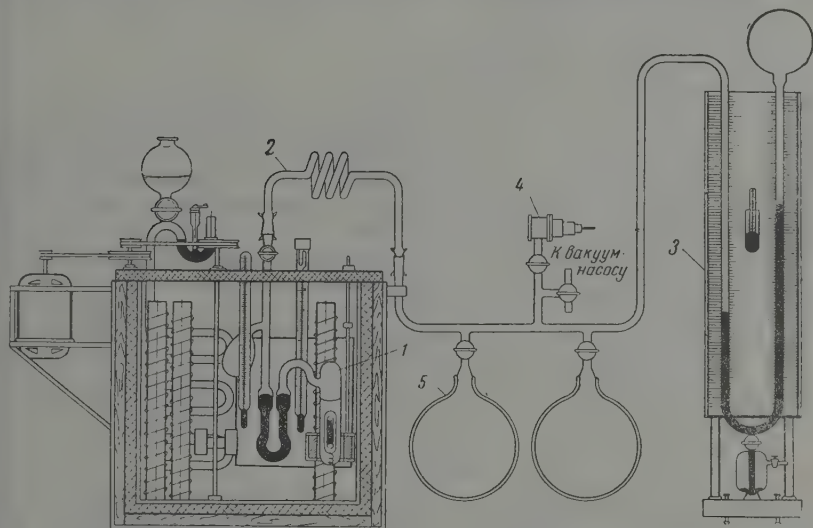


Рис. 1. Установка для исследования общего давления пара

$\pm 0,01^\circ$. За постоянством температуры наблюдали по метастатическому термометру с ценой деления $0,01^\circ$. Температуру опыта определяли по нормальном термометру с ценой деления $0,1^\circ$, погруженному в термостат рядом с изотенископом. Измерения температуры и измерения уровней ртути в манометре изотенископа производили катетометром через смотровое окно термостата.

Равновесие в системе гексаметиленмин — вода очень чувствительно даже к след-ам двуокиси углерода. Поэтому заполнение изотенископа раствором и ртутью производили в камере, непрерывно продуваемой чистым азотом.

Наполнение изотенископа производили следующим образом: в группу 3 (рис. 2) изотенископа наливали исследуемый раствор и дегазировали его, попеременно замораживая (при откачке) и отогревая (при закрытом кране изотенископа). Затем, повернув изотенископ, раствор переливали в резервуар 1 (рис. 2). Заморозив раствор, переносили туда же и оставшиеся в группе и в соединительных трубках капли жидкости. После этого в группу 3 заливали ртуть. Затем производили окончательную дегазацию раствора в резервуаре и ртути в группе (при замороженном растворе). Остаточное давление в изотенископе было порядка $0,08-0,10$ мм рт. ст. После дегазации ртуть переливали из группы в манометр изотенископа, и прибор устанавливали в термостат. Такая методика заполнения изотенископа и дегазации раствора позволяла работать заданным составом смеси.

Заполненный и установленный в термостат изотенископ сообщали с измерительной системой, которую после этого эвакуировали. В термостате устанавливали заданную температуру, при которой в течение 20—30 мин. перемешивали раствор в резервуаре изотенископа (до установления равновесия). После этого в систему подавали воздух, выравнивая уровни ртути в манометре изотенископа. Катетометром измеряли положение вершин и оснований менисков в обоих коленях манометра. На измерительном манометре измеряли положение вершин и оснований менисков по отношению к ближайшему делению шкалы. Во избежание ошибок из-за параллакса при измерении катетометром значительных длин разницы в уровнях ртути измерялась не непосредственно, а по сумме откалиброванных предварительно делений шкалы. В непосредственно измеренное давление пара вносили поправки на капиллярную депрессию ртути

в трубках манометра, на ускорение и на температуру ртути в трубках манометра, приводя ее к 0° .

Установка и методика работы были проверены определением давления пара бидистиллята, причем полученные данные совпали в пределах ошибки опыта (до 0,15 мм рт. ст.) с литературными данными [4].

Общее давление пара было измерено над растворами семи составов. Погрешность определений составляла 0,10–0,20 мм рт. ст. По графикам $\lg P - 1/T$ полученные данные были интерполированы на целочисленные значения температуры (табл. 1), и построена $P - x$ диаграмма (рис. 3).

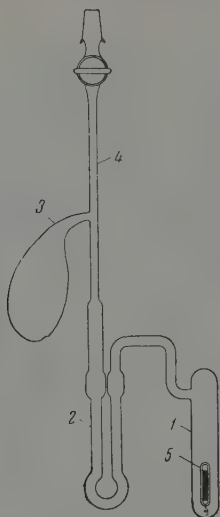


Рис. 2. Изотенископ

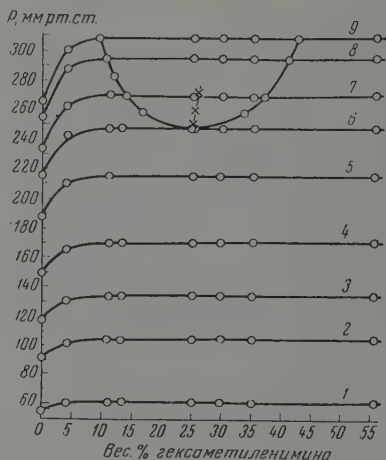


Рис. 3. $P - x$ диаграмма для системы гексаметиленимин — вода: 1— 40° ; 2— 50° ; 3— 55° ; 4— 60° ; 5— 65° ; 6— $68,09^\circ$; 7— 70° ; 8— 72° и 9— 75°

Для построения пограничной кривой на этой диаграмме (табл. 2) были использованы данные о равновесии жидкость — жидкость в этой системе [2].

Таблица 1

Общее давление пара над растворами гексаметиленимина (ГМИ) в воде, мм рт. ст. (интерполированные данные)

Состав, вес. % ГМИ	Температура, $^\circ\text{C}$								
	40	50	55	60	65	68,1	70	72	73
5	60,2	102,2	131,2	167,1	211,0	242,7	265,2	290,1	304,2
10	60,9	104,0	133,3	169,1	214,3	246,8	269,0	294,4	
15	61,0	104,1	133,5	170,0	214,8	247,5			
20	61,0	104,2	133,6	170,1	214,9	247,6			
25	61,1	104,2	133,6	170,2	215,0	247,6	269,1	294,6	308,5
30	61,1	104,3	133,7	170,3	215,1	247,6			
35	61,2	104,3	133,8	170,4	215,2	247,7			
40	61,2	104,4	133,9	170,5	215,3	247,9	269,3		
45	61,3	104,5	134,0	170,6	215,4	248,1	269,8	294,9	308,6
50	61,3	104,6	134,1	170,7	215,5	248,2	270,1	295,2	308,8
55	61,4	104,7	134,2	170,8	215,6	248,3	270,3	295,4	308,9

Критическая изотерма $P-x$ в критической точке имеет точку перегиба с горизонтальной касательной (рис. 3). Почти горизонтальный участок на изотермах, ниже критической, сохраняется при всех изученных нами температурах. Следовательно, экспериментальные данные свидетельствуют о том, что влияние особенностей критической точки распространяется на широкую область температур и составов. Термодинамическое обсуждение наблюдаемых фактов будет приведено в последующих статьях.

Выводы

1. Методом изотенископа измерено общее давление пара над растворами гексаметиленимин — вода вблизи критической точки растворения (от 0 до 74° и от 4 до 55 вес. % гексаметиленимина).

2. Построена $P-x$ диаграмма для гомогенной и гетерогенной областей системы.

3. Влияние особенностей поведения веществ вблизи критической точки распространяется на широкую область температур и составов.

Институт азотной промышленности
Москва

Поступила
26.IX.1958

ЛИТЕРАТУРА

- И. Р. Кричевский, Н. Е. Хазанова, Ж. физ. химии, 29, 1087, 1955.
И. Р. Кричевский, Н. Е. Хазанова, Ю. В. Цеханская, Л. Р. Линшиц, Ж. физ. химии, 33, 1484, 1959.
A. Smith, A. W. Mensies, J. Amer. Chem. Soc., 32, 1412, 1910.
Landolt-Börnstein, Phys.-chem. Tabell., II, 1316, 1933.

CRITICAL PHENOMENA IN THE SYSTEM HEXAMETHYLENIMINE — WATER

I. P. Kricherskii, N. E. Khazanova and L. P. Smirnov (Moscow)

Summary

The total vapor pressure over hexamethylenimine — water solutions in the vicinity of the critical point has been measured by the isoteniscope method. A plot of the $P-x$ diagram for the homogeneous and heterogeneous regions of the system has been made. It has been shown that the effect of the specific behavior of a substance in the neighborhood of the critical point extends over a large region of temperatures and compositions.

ФИЗИКО-ХИМИЯ КОНЦЕНТРИРОВАННОГО ОЗОНА

X. ВЛИЯНИЕ ДИАМЕТРА СОСУДА НА ВЫХОД ОКИСИ АЗОТА ПРИ ВЗРЫВНОМ ОКИСЛЕНИИ АЗОТА В СМЕСЯХ С ОЗОНОМ

Б. В. Страхов, В. П. Лебедев и Н. И. Кобозев

А. Г. Элькенбард, Р. И. Генкина и М. В. Поляков [1,2] изучали влияние размеров взрывного сосуда на выход окиси азота при взрывах смесей азот + кислород + горючее. Они показали, что выход NO проходит через максимум с увеличением диаметра сосуда*. Такой характер зависимости выхода NO от диаметра авторы объяснили тем, что цепной механизм, имеющий место в сосудах небольшого диаметра, сменяется тепловым. Впоследствии [3] было показано, что описанную выше зависимость от диаметра можно объяснить с точки зрения тепловой теории.

Настоящая работа имела своей целью изучение зависимости выхода NO от диаметра при взрывах озono-азотных смесей в цилиндрических

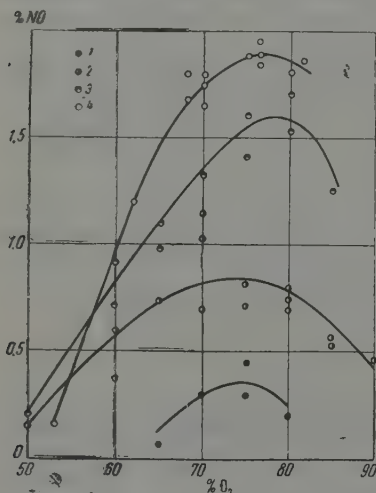


Рис. 1. Зависимость выхода NO от концентрации озона для сосудов различных диаметров: 1 — $d = 10$ мм; 2 — $d = 22$ мм; 3 — $d = 31$ мм; 4 — $d = 44$ мм

стеклянных сосудах. Для работы была использована установка, описанная в нашей первой работе [4]. Анализы конечной смеси проводились с использованием озонированного кислорода для окисления NO₂ [5].

Зависимость выхода окиси азота от концентрации озона для сосудов четырех различных диаметров (10, 22, 31, 44 мм при длине 630 мм) при начальном давлении 150 мм рт. ст. показана на рис. 1. Максимальный выход NO, соответствующий для всех сосудов смесям 70–80% содержания O₃, с увеличением диаметра сосуда от 10 до 44 мм растет от 0,4 объемн. % до значений, близких к 2%. На рис. 2 показаны кривые выхода NO в зависимости от диаметра сосуда для смесей с различными концентрациями O₃. Рост выхода NO с диаметром при $d > 30$ мм замедляется. При этом замедление тем заметнее, чем выше концентрация O₃. К сожалению,

* Авторы наблюдали максимум также и на кривой зависимости выхода NO от длины цилиндрического сосуда, причем, начиная с некоторого значения, выход не менялся с увеличением длины.

точность стеклянных сосудов не позволила произвести опыты при больших диаметрах. Экстраполируя приведенные кривые, можно предположить, что выход NO будет достигать максимального значения при тем большем

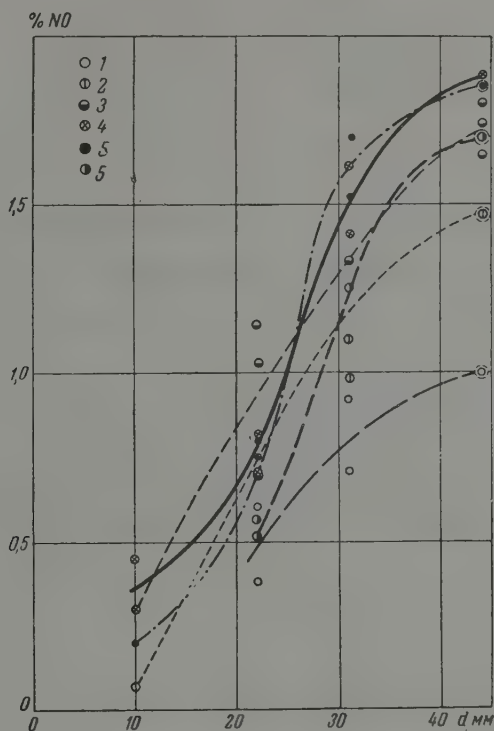


Рис. 2. Зависимость выхода NO от диаметра сосуда для смесей с различным содержанием озона: 1—50% O_3 ; 2—65% O_3 ; 3—70% O_3 ; 4—75% O_3 ; 5—80% O_3 ; 6—85% O_3 (пунктиром отмечены точки, полученные интерполированием по кривым рис. 1)

диаметре, чем меньше концентрация озона в смеси. Однако это предположение требует экспериментальной проверки с использованием металлических сосудов.

Выводы

1. Изучена зависимость выхода NO от диаметра сосуда при взрывах моно-азотных смесей в стеклянных сосудах при начальном давлении 50 мм рт. ст. Показано, что в интервале концентраций от 50 до 90% O_3 выход NO растет с диаметром для всех концентраций, причем максимальный выход меняется от 0,4 до 1,95% при изменении диаметра сосуда от 10 до 44 мм.

2. Рост выхода NO с диаметром замедляется при приближении к $d = 44$ мм тем сильнее, чем выше концентрация O_3 в смеси.

ЛИТЕРАТУРА

1. А. Г. Элькенбард, Р. И. Генкина, М. В. Поляков, Ж. физ. химии, 13, 464, 1939.
2. М. В. Поляков, Р. И. Генкина, Ж. физ. химии, 13, 1411, 1939.
3. Я. Б. Зельдович, П. Я. Садовников, Д. А. Франк-Каме-
лецкий, Окисление азота при горении, Изд-во АН СССР, М.—Л., 1947.
4. Н. И. Кобозев, В. П. Лебедев, Б. В. Страхов, Г. И. Зыкова,
Ж. физ. химии, 31, 2547, 1957.
5. Б. В. Страхов, В. П. Егоров, В. П. Лебедев, Н. И. Кобозев,
Ж. физ. химии, 34, 1960.

PHYSICAL CHEMISTRY OF CONCENTRATED OZONE

X. EFFECT OF VESSEL DIAMETER ON NITRIC OXIDE YIELD IN THE EXPLOSIVE
OXIDATION OF NITROGEN MIXTURES WITH OZONE*B. V. Strakhov, V. P. Lebedev and N. I. Kobozev (Moscow)*

Summary

The relation between the NO yield and the vessel diameter during explosion of ozone-nitrogen mixtures in glass vessels at initial pressures up to 150 mm. Hg has been investigated. Over the O₃ concentration range 50 to 90% the NO yield increases with the vessel diameter, the maximum yield changing from 0.4 to 1.95% with change in the diameter from 10 to 44 mm. The increase is retarded when d approaches 44 mm, the retardation being the more pronounced the higher the O₃ concentration in the mixture.

ТЕРМОДИНАМИЧЕСКИЕ СВОЙСТВА ЭЛЕКТРОЛИТОВ В НЕВОДНЫХ РАСТВОРАХ

ХІ. КОНСТАНТЫ ДИССОЦИАЦИИ ОСНОВАНИЙ В МЕТИЛОВОМ СПИРТЕ.
СОПОСТАВЛЕНИЕ СИЛЫ ОСНОВАНИЙ В РАЗЛИЧНЫХ РАСТВОРИТЕЛЯХ

Н. А. Измайлов и Т. В. Можарова

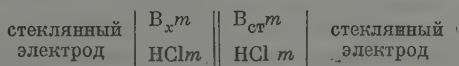
В предыдущей работе было показано, что 90%-ная смесь ацетона с водой и безводный ацетон обладают дифференцирующим действием на силу оснований различной природы. Влияние этих растворителей интересно сопоставить с влиянием на их силу гидроксилсодержащих растворителей — спиртов. Так как известно, что спирты дифференцируют силу кислот [1], хотя и в меньшей мере, чем ацетон, то можно ожидать, что в спиртах будет изменяться относительная сила оснований разных групп.

Константы диссоциации большого числа оснований в метиловом и этиловом спиртах были получены Гольдшмидтом с сотрудниками [2, 3] из данных об электропроводности. Систематическое исследование констант диссоциации ряда первичных ароматических аминов в метаноле и этаноле электрофотометрическим методом предприняли Кильпатрик и Аренберг [4]. Их данные заметно отличаются от данных Гольдшмидта. Вероятно, это объясняется различной методикой измерения, а также тем, что Кильпатрик и Аренберг при определении индикаторных констант не принимали во внимание коэффициентов активности хлористого водорода в метиловом спирте.

Константы диссоциации некоторых органических оснований в спиртах были получены также рядом других авторов [5—7]. Однако литературные данные вследствие их ограниченности не дают возможности судить о величине и характере влияния спиртов на силу оснований разной природы, так как в большинстве работ изученные основания относятся только к двум группам — производным пиридина и первичным ароматическим аминам. Поэтому в настоящем исследовании было решено пополнить данные о константах диссоциации оснований в метиловом спирте и сравнить полученные результаты с имеющимися в литературе данными для других растворителей.

Экспериментальная часть

В качестве оснований были выбраны диэтиламин, диметиламин, пиридин, пиперидин, α -пиколин, кодеин, наркотин, папаверин, морфин, дифениламин. Растворитель и исследуемые вещества были тщательно очищены. Их чистота проверялась по совпадению температур кипения и плавления с литературными данными. Мы воспользовались описанной ранее методикой определения констант диссоциации из электродвижущей силы цепи с переносом, со стеклянными электродами в качестве индикаторных:



Концентрации полунейтрализованных растворов стандартного ($B_{\text{ст}}$) и исследуемого (B_x) оснований были одинаковы. В работе Н. А. Измайлова и А. М. Александровой [8] показано, что в метиловом спирте стеклянный электрод вполне пригоден для измерения активности водородных ионов в области $\text{pH} = 2$ до $\text{pH} = 12$, т. е. в изучаемой нами области. Измерения ве-

Таблица 1

Константы диссоциации оснований в метиловом спирте

Основание	pK _B		Δ pK _A	Δ pK _{осн}	
	вода	метанол		метанол	90%-ный ацетон
Анилин	9,40	10,70	1,40	1,30	6,70
m-Толуидин	9,29	10,50	1,49	1,21	6,66
p-Толуидин	8,88	10,10	1,48	1,22	6,77
m-Cl-анилин	10,48	12,20	0,98	1,72	6,48
p-Cl-анилин	10,00	11,80	0,90	1,80	—
n-Bг-анилин	10,09	11,90	0,89	1,81	6,85
o-Bг-анилин	11,40	13,25	0,85	1,85	—
β-Нафтиламин	9,88	11,15	1,43	1,27	—
α-Нафтиламин	10,01	11,40	1,31	1,39	6,51
Диметиланилин	8,90	11,50	0,10	2,60	7,59
Диэтиланилин	7,48	9,85*	0,33	2,37	7,92
Пиридин	8,77	11,16	0,31	2,39	7,05
α-Пиколин	8,05	10,46	0,29	2,41	6,93
s-Коллидин	6,55	8,98	0,27	2,43	—
Пиперидин	2,80	5,70*	0,20	2,90	6,96
Хинальдин	8,13	10,63	0,20	2,50	—
Кодеин	6,10	8,10*	0,70	2,00	6,12
Наркотин	7,82	9,51*	1,01	1,69	6,18
Папаверин	8,10	9,78*	1,02	1,68	6,00
Морфин	6,13	8,13*	0,70	2,00	6,27
Дифениламин	13,15	13,52*	2,33	0,37	4,15

* Определенные нами значения. *

лись при двух концентрациях 0,002 и 0,005 *m*. Хода константы с концентрацией не наблюдалось. Найденные нами значения констант диссоциации диметиланилина, пиридина и α-пиколина совпали с данными Гольдшмидта с точностью до 0,1 pK. Полученные результаты, а также данные Гольдшмидта приведены в табл. 1 и представлены графически в виде зависимости $pK = f(pK_{\text{вода}})$ (рис. 1).

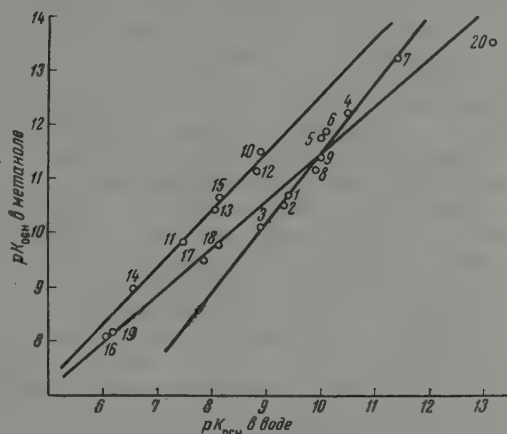
В таблице, наряду со значениями констант диссоциации оснований и сопряженных им катионных кислот в метиловом спирте, приведены соответствующие значения $\Delta pK = pK_{\text{неводн}} - pK_{\text{вода}}$. Для сравнения в ней также даны определенные нами ранее изменения констант диссоциации оснований при переходе от воды к 90%-ному ацетону.

Очевидно, что метиловый спирт оказывает относительно небольшое влияние на константы диссоциации как катионных кислот, так и сопряженных им оснований, несколько уменьшая силу тех и других. Влияние метилового спирта на силу оснований значительно меньше, чем влияние 90%-ного ацетона. Не только изменение абсолютных величин констант диссоциации оснований оказывается меньше в спирте, чем в дифференцирующих растворителях, но также и относительное изменение констант диссоциации для различных групп. Так, на рис. 1 расстояние по ординате между прямыми для алкалоидов и производных пиридина составляет всего 0,5—0,8 единицы pK, в то время как для ацетона эти прямые отстоят друг от друга по ординате на величину 1,3—1,6 единицы pK.

В метиловом спирте совсем не наблюдается изменения относительной силы третичных ароматических аминов и пиридиновых оснований, которое имеет место в ацетоне и его смесях с водой. Вероятно, это вызывается тем, что молекулы спирта могут быть как донорами, так и акцепторами протонов, в отличие от молекул ацетона, которые обладают только протоно-акцепторными свойствами. Сольватация ионов и молекул третичных

ароматических аминов и пиридиновых оснований за счет водородных связей с участием протона гидроксильной группы спирта нивелирует различия, обусловленные разной природой ароматического и гетероциклического колец, лежащих в основе молекул оснований этих двух групп. Вслед-

Рис. 1. Зависимость $pK_{\text{осн}}$ в метиловом спирте от $pK_{\text{осн}}$ в воде: 1 — анилин; 2 — *m*-толуидин; 3 — *p*-толуидин; 4 — *m*-Cl-анилин; 5 — *p*-Cl-анилин; 6 — *p*-Br-анилин; 7 — *o*-Br-анилин; 8 — β -нафтиламин; 9 — ϵ -нафтиламин; 10 — диметиланилин; 11 — диэтиланилин; 12 — пиридин; 13 — α -пиколлин; 14 — *s*-коллидин; 15 — кинальдин; 16 — кодеин; 17 — наркотин; 18 — папаверин; 19 — морфин; 20 — дифениламин



ствие этого на рис. 1 точки для пиридиновых оснований и третичных ароматических аминов ложатся на одну прямую.

Сила оснований в неводных растворителях. Полученные нами результаты, а также литературные данные позволяют произвести сопоставление констант диссоциации оснований в различных растворителях. Влияние химической природы растворителей и их физи-

Таблица 2

pK оснований в различных растворителях

Основание	Диэлектрические постоянные								
	78,5	90	31,5	24,3	13,0	24,0	17,69	6,13	57
	—lg Pi								
	14,0	16,7	16,7	19,5	14,55	20,3	17,86	12,0	6
	вода	форм-амид	метанол	этанол	крезол	90% ацетон	70% диоксан	уксусная к-та	муравьиная к-та
Анилин	9,40	12,6	10,70	13,80	8,10	16,10	14,98	—	0,44
<i>m</i> -Толуидин	9,29	—	10,50	13,6	—	15,95	—	—	—
<i>p</i> -Толуидин	8,88	—	10,40	13,20	7,60	15,65	13,50	—	—
<i>m</i> -Cl-анилин	10,48	13,95	12,20	15,25	—	16,96	—	4,68	—
<i>p</i> -Cl-анилин	10,00	13,44	11,80	14,84	8,83	—	15,18	4,41	—
<i>p</i> -Br-анилин	10,09	—	11,90	14,96	—	16,94	—	—	—
<i>o</i> -Br-анилин	11,40	—	—	—	—	17,59	16,83	—	—
β -NO ₂ -анилин	11,96	—	—	—	—	17,86	—	—	—
ϵ -NO ₂ -анилин	10,01	—	11,04	14,4	—	16,52	—	4,07	0,88
Нафтиламин	9,22	—	11,25	14,7	7,26	—	—	—	—
Диметиланилин	8,89	—	10,9	15,2	—	—	—	—	—
Диэтиланилин	8,90	—	11,5	15,1	6,18	16,48	—	3,75	—
Пиридин	7,48	—	9,85	—	—	15,40	—	3,46	—
α -Пиколлин	8,77	12,22	11,16	15,2	—	15,82	—	3,68	0,45
С-коллидин	8,05	—	10,46	13,96	—	14,98	—	—	—
<i>p</i> -Б-пиридин	11,37	—	—	—	—	18,15	—	—	—
Пиперидин	2,80	5,62	5,70	6,99	—	9,76	—	3,58	—
Инолин	9,20	—	—	14,92	—	16,20	—	3,82	—
Кодеин	6,10	—	8,40	8,10	—	12,32	—	—	0,81
Наркотин	7,82	—	9,51	—	—	14,30	—	—	—
Папаверин	8,10	—	9,78	—	—	14,16	—	—	—
Морфин	6,13	—	8,43	—	—	12,40	—	—	0,84
Дифениламин	13,15	—	13,52	—	—	17,30	—	—	—

ческих свойств на силу оснований иллюстрируется данными, приведенными в табл. 2. В табл. приведены константы диссоциации тех оснований, которые изучены в большинстве рассматриваемых растворителей. Из таблицы следует, что сила оснований во всех неводных растворителях, за исключением кислот уксусной и муравьиной [9, 10], ослабляется. Такое уменьшение силы оснований не может определяться величиной диэлектрической постоянной, так как оно наблюдается и в растворителе с большей, чем в воде, диэлектрической постоянной — формамиде [11]. Кроме того, сопоставление констант диссоциации оснований в 90%-ном ацетоне и этаноле показывает, что несмотря на близость величин диэлектрической постоянной в этих растворителях, сила оснований в 90%-ном ацетоне ослабляется значительно больше.

Очевидно, что изменение силы оснований в неводных растворителях определяется в первую очередь химической природой растворителей. В зависимости от химической природы растворителей, в частности их сольватирующей способности, изменяется не только величина констант диссоциации, но даже последовательность в силе оснований.

В метиловом и этиловом спиртах, обладающих высокой сольватирующей способностью в ряду анилин — метиланилин — диметиланилин наиболее сильным основанием является первичный ароматический амин — анилин. При переходе к *m*-крезолу [12] и апротонным растворителям порядок основности меняется на обратный и совпадает с тем, который можно ожидать на основании влияния заместителей. Диэлектрическая постоянная растворителя играет подчиненную, но существенную роль. Низкая диэлектрическая постоянная уксусной кислоты приводит к заметному уменьшению силы оснований по сравнению с их силой в муравьиной кислоте, несмотря на высокую кислотность этого растворителя.

Таблица 3

Относительные константы диссоциации оснований в различных растворителях (стандарт—анилин)

Основания	$pK_{отн} = pK_x - pK_{ст}$						$\Delta pK_{отн}$				
	вода	спирт метиловый	ацетон	ацетонитрил	хлорбензол	уксусная кислота (стандарт <i>m</i> -толуидин)	спирт метиловый	ацетон	ацетонитрил	хлорбензол	
<i>m</i> -Толуидин	-0,11	-0,20	-0,23	—	—	0,00	-0,09	-0,12	—	—	
<i>n</i> -Толуидин	-0,53	-0,60	-0,65	-0,66	-0,75	0,01	-0,09	-0,13	-0,14	-0,23	
<i>m</i> -Cl-анилин	1,08	1,50	1,07	—	1,00	-0,64	0,42	-0,01	—	-0,08	
<i>n</i> -Cl-анилин	0,60	1,10	0,58	—	1,00	-0,37	0,50	-0,02	—	0,40	
<i>n</i> -Br-анилин	0,69	1,20	—	1,25	—	-0,37	0,51	—	0,56	—	
<i>m</i> -NO ₂ -анилин	2,00	—	1,95	3,07	—	—	—	-0,05	1,07	—	
<i>n</i> -NO ₂ -анилин	0,56	—	2,40	—	—	-2,83	—	-0,16	—	—	
α -Нафтиламин	0,16	0,70	0,50	—	—	0,03	0,09	-0,11	—	—	
Метиланилин	-0,18	0,55	—	—	-0,74	-0,10	0,73	—	—	-0,56	
Этиланилин	-0,51	0,20	—	—	-1,43	-0,25	0,71	—	—	-0,92	
Диметиланилин	-0,50	0,80	1,01	-1,39	-1,87	-0,29	1,30	1,51	-0,89	-1,37	
Диэтиланилин	-1,92	-0,85	-0,34	-1,93	-3,40	-0,58	1,07	1,68	-0,01	-1,48	
Пиридин	-0,63	0,46	0,15	—	2,75	-0,36	1,09	0,78	—	-2,12	
α -Пиколин	-1,35	-0,24	-0,72	—	—	-0,41	1,11	0,63	—	—	
α -Br-пиридин	1,97	—	2,71	—	—	—	—	0,74	—	—	
Пиперидин	-6,60	-5,00	-6,32	-8,42	—	-0,46	1,60	0,28	-1,82	—	
Хинолин	-0,20	—	0,51	—	2,99	-0,22	—	0,71	—	-2,79	
Кодеин	-3,30	-2,60	-3,70	—	—	—	0,70	-0,40	—	—	
Наркотин	-1,56	-1,19	-2,15	—	—	—	0,39	-0,57	—	—	
Пацаверин	-1,30	-0,92	-2,11	—	—	—	0,38	-0,81	—	—	
Морфин	-3,27	-2,57	-3,65	—	—	—	0,70	-0,88	—	—	
Дифениламин	3,74	2,82	2,05	—	—	—	-0,95	-0,72	—	—	

Дифференцирующее действие растворителей на силу оснований. Под влиянием неводных растворителей не только изменяется сила оснований, но и соотношение в их силе. В табл. 3 приведены величины $pK_{\text{отн}}$ и $\Delta pK_{\text{отн}}$, характеризующие дифференцирующее действие растворителей на силу оснований. Из таблицы следует, что

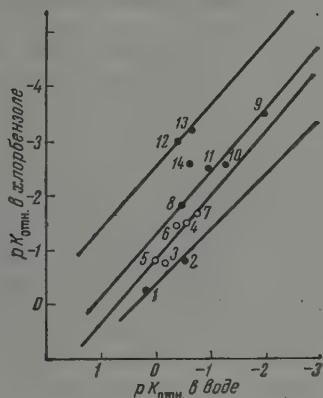


Рис. 2

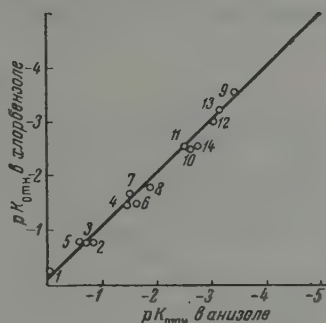


Рис. 3

Рис. 2. Зависимость $pK_{\text{отн}}$ в хлорбензоле от $pK_{\text{отн}}$ в воде (стандарт — анилин): 1 — *o*-толуидин; 2 — *n*-толуидин; 3 — метиланилин; 4 — этиланилин; 5 — метил-*o*-толуидин; 6 — этил-*o*-толуидин; 7 — метил-*n*-толуидин; 8 — диметиланилин; 9 — диэтиланилин; 10 — диметил-*o*-толуидин; 11 — диметил-*n*-толуидин; 12 — хинолин; 13 — изохинолин; 14 — пиридин

Рис. 3. Зависимость $pK_{\text{отн}}$ в хлорбензоле от $pK_{\text{отн}}$ в анизоле (стандарт — анилин): 1 — *o*-толуидин; 2 — *n*-толуидин; 3 — метиланилин; 4 — этиланилин; 5 — метил-*o*-толуидин; 6 — этил-*o*-толуидин; 7 — метил-*n*-толуидин; 8 — диметиланилин; 9 — диэтиланилин; 10 — диметил-*o*-толуидин; 11 — диметил-*n*-толуидин; 12 — хинолин; 13 — изохинолин; 14 — пиридин

наиболее сильным дифференцирующим действием обладают ацетон и ацетонитрил, т. е. растворители, дифференцирующие силу кислот. Гидроксилсодержащие растворители оказывают меньшее дифференцирующее действие. Заметно изменяется соотношение в силе оснований в апротонных растворителях. В кислом же растворителе, уксусной кислоте, сила оснований нивелируется, и величины $pK_{\text{отн}}$ близки для оснований различных групп.

Величина константы диссоциации основания в данном растворителе определяется не только свойствами растворителя, но и свойствами растворенного вещества. Для дифференцирования силы оснований большое значение имеет способность в разной мере замещенных аммониевых оснований к образованию водородной связи.

Именно этим обстоятельством в первую очередь обусловлено дифференцирование первичных, вторичных и третичных ароматических аминов. По величине влияния растворителей на силу оснований последние могут быть расположены в следующий ряд: первичные ароматические амины < вторичные < третичные. В этом ряду влияние растворителя сказывается тем меньше, чем больше число водородных связей способных образовывать катионы основания. Такая последовательность в изменении силы оснований наблюдается при переходе от воды к неводным растворителям самой различной природы: спиртам, апротонным и дифференцирующим растворителям. На рис. 2 в качестве примера приведена зависимость относительных констант диссоциации $pK_{\text{отн}}$ в хлорбензоле от относительных констант в воде по данным Бела и Бейлса [13].

Необходимо подчеркнуть, что дифференцирующее действие на силу оснований проявляется при переходе от данного растворителя к растворителю другой химической природы. Если же производить сопоставление констант диссоциации в двух растворителях одной природы, то, как правило, дифференцирующее действие наблюдаться не будет. Действительно, на графике зависимости $pK_{отн}$ в хлорбензоле от $pK_{отн}$ в анизоле имеем одну прямую с углом наклона в 45° (рис. 3).

Различия в энергиях сольватации ионов и молекул, связанные с числом атомов водорода при азоте аминогруппы, не являются единственной причиной, обуславливающей дифференцирующее действие растворителей.

При переходе от воды к метанолу изменяется относительная сила не только первичных и третичных ароматических аминов, но также алкалоидов группы изохинолина, а в 90%-ном ацетоне и ацетоне — пиридиновых оснований и алкалоидов, несмотря на то, что молекулы трех последних групп оснований содержат третичный атом азота. Очевидно, что дифферен-

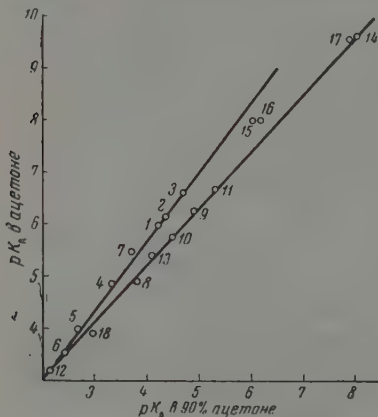


Рис. 4

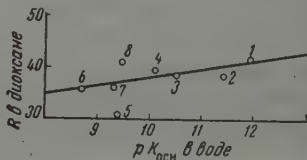


Рис. 5

Рис. 4. Зависимость pK_A в ацетоне от pK_A в 90%-ном ацетоне: 1 — анилин; 2 — *m*-толуидин; 3 — *n*-толуидин; 4 — *m*-Cl-анилин; 5 — *m*-NO₂-анилин; 6 — *n*-NO₂-анилин; 7 — α -нафтиламин; 8 — диметиланилин; 9 — диэтиламин; 10 — пиридин; 11 — α -пикولين; 12 — α -Br-пиридин; 13 — хинолин; 14 — кодеин; 15 — наркотин; 16 — папаверин; 17 — морфин; 18 — дифениламин

Рис. 5. Зависимость рефракции оснований в бензоле от констант диссоциации в воде: 1 — *n*-NO₂-анилин; 2 — *m*-NO₂-анилин; 3 — *m*-Br-анилин; 4 — *n*-Br-анилин; 5 — анилин; 6 — *n*-толуидин; 7 — метиланилин; 8 — диметиланилин

цирующее действие растворителей связано также с различиями в строении молекул оснований и их катионов.

Подтверждением этому может служить сопоставление силы оснований в безводном ацетоне и его 90%-ной смеси с водой. Как следует из рис. 4, в этом случае на одной прямой располагаются первичные ароматические амины, а на второй — все основания, содержащие третичный атом азота: алкалоиды, производные пиридина и третичные ароматические амины. Благодаря одинаковой химической природе растворителей не наблюдается дифференцирующего действия, обусловленного различным строением молекул оснований и их ионов. Дифференцирование силы первичных и третичных аминов связано с различиями в их способности к образованию водородной связи с протоно-акцепторными молекулами ацетона и протоно-донорными молекулами воды в 90%-ном ацетоне.

Различие в энергии взаимодействий катионов оснований с дипольными молекулами растворителей зависит от структуры молекул оснований и характера распределения заряда в ионах. Мерой размера и плотности заряда ионов является их поляризуемость. Величина поляризуемости может быть оценена величинами рефракции ионов, так как рефракция характеризует поляризуемость электронной оболочки ионов и молекул. В литературе имеются данные о молекулярной рефракции ряда ароматических

минов в бензоле и диоксане [14, 15]. Действительно, оказывается, что величина pK в воде является линейной функцией молекулярной рефракции, причем с ростом рефракции величина pK возрастает, а сила оснований уменьшается (рис. 5). Чем больше делокализация положительного заряда на катионе, тем в меньшей степени изменяется сила оснований при переходе от растворителя к растворителю.

В соответствии с этим как в ацетоне, так и в метаноле меньше изменяется сила алкалоидов, чем пиридиновых оснований и третичных ароматических аминов.

Выводы

1. Измерены константы диссоциации пиридина, α -пиколина, пиперидина, диэтиланилина, диметиланилина, кодеина, наркотина, папаверина, морфина, дифениламина в метиловом спирте.

2. Показано, что метанол дифференцирует силу оснований, причем изменение силы оснований убывает в ряду: пиридиновые основания, третичные ароматические амины > первичные ароматические амины > алкалоиды.

3. На основании сопоставления силы оснований в различных растворителях установлено, что дифференцирующее действие растворителей на силу оснований связано со строением молекул и катионов оснований, а также числом атомов водорода при азоте аминогруппы.

4. Изменение соотношения в силе оснований зависит также от химических свойств растворителя, в частности его сольватирующей способности.

Харьковский государственный
университет им. А. М. Горького

Поступила
11.X.1958

ЛИТЕРАТУРА

1. Н. А. Измайлов, Ж. физ. химии, 24, 321, 1950.
2. H. Goldschmidt, Z. phys. Chem., A 99, 46, 1916.
3. H. Goldschmidt und E. Mathiesen, Z. phys. Chem., A 119, 439, 1926.
4. M. Kilpatrick and C. A. Arenberg, J. Amer. Chem. Soc., 75, 3812, 1953.
5. L. Goodhue and R. M. Nixon, J. Amer. Chem. Soc., 57, 1688, 1935.
6. A. G. Ogston, J. Chem. Soc. (London), 1023, 1936.
7. R. B. Mason and M. Kilpatrick, J. Amer. Chem. Soc., 59, 572, 1937.
8. Н. А. Измайлов и А. М. Александрова, Ж. общ. химии, 19, 1403, 1949.
9. Н. П. Дзюба, Диссертация, ХГУ, 1953.
10. А. М. Шкодин, Н. А. Измайлов и Н. П. Дзюба, Ж. аналит. химии, 6, 273, 1951.
11. F. Verchoek, J. Amer. Chem. Soc., 58, 2577, 1936.
12. J. N. Brönsted, A. Delbanco and A. Tovborg-Jensen, Z. phys. Chem., A 169, 361, 1934.
13. R. P. Bell and J. W. Bayles, J. Chem. Soc., 1518, 1952.
14. G. W. Smith and S. M. Walshaw, J. Chem. Soc., 3217, 1957.
15. A. V. Few and J. W. Smith, J. Chem. Soc., 753, 1949.

THERMODYNAMIC PROPERTIES OF ELECTROLYTES IN NON-AQUEOUS SOLUTIONS

XI. DISSOCIATION CONSTANTS OF BASES IN METHYL ALCOHOL.
COMPARISON OF THE STRENGTHS OF BASES IN VARIOUS SOLVENTS*N. A. Izmailov and T. V. Mozharova (Kharkov)*

Summary

The dissociation constants of pyridine, α -picoline, piperidine, diethylaniline, dimethylaniline, codeine, narcotine, papaverine, morphine and diphenylamine in methyl alcohol have been determined by emf measurements in a circuit with transfer at constant ion strength. Methanol has been shown to differentiate the bases according to their strength which decreases in the following order: [pyridine] bases, tertiary-aromatic amines > primary-aromatic amines > alkaloids. From a comparison of the strengths of the bases in different solvents it has been found that the differentiative action of the latter with respect to the strength of the bases is associated with the structure of the molecules and cations of the bases, as well as with the number of hydrogen atoms at the amino nitrogen. The change in ratio of the strengths of the bases depends upon the nature of the addition product formed between the molecules of the base and of the solvent and upon the solvation energy of the ions.

ЭКСПЕРИМЕНТАЛЬНАЯ ПРОВЕРКА УСЛОВИЯ МОДЕЛИРОВАНИЯ ЭЛЕКТРИЧЕСКИХ ПОЛЕЙ В ЭЛЕКТРОЛИТАХ

Н. П. Гнусин

Условие моделирования, установленное при помощи теории подобия, можно сформулировать следующим образом: для того чтобы два электролита, находящиеся в геометрически подобных электролизерах, имели подобные электрические поля, необходимо и достаточно, чтобы функции, выражающие связь между значениями безразмерных поляризуемостей и значениями безразмерных плотностей токов, были одинаковы [1].

Для проверки этого условия выберем электролиты, поляризационные кривые которых выражаются уравнением Тафеля:

$$\eta = b \lg D_n + a. \quad (1)$$

На основании этого уравнения для поляризуемости $\alpha = d\eta/dD_n$ получаем

$$\alpha = \frac{b}{D_n}. \quad (2)$$

Используя силу тока на ванне I_0 , удельное сопротивление электролита ρ и некоторый произвольный размер l_0 в качестве основных масштабов, получим

$$\frac{\alpha}{\rho I_0} = \frac{b l_0}{D_n l_0^2 / I_0}. \quad (3)$$

Обозначив безразмерную поляризуемость $\alpha/\rho I_0 = \Theta$ и безразмерную плотность тока $D_n l_0^2 / I_0 = D_n^*$, на основании (3) будем иметь

$$\Theta = \frac{b l_0}{\rho I_0 D_n^*}. \quad (4)$$

Согласно условию моделирования из уравнения (4) получаем, что для обеспечения электрохимического подобия для электролитов, у которых поляризационные кривые выражаются уравнением Тафеля, необходимо и достаточно выполнения следующего равенства:

$$\frac{b' l_0'}{\rho' I_0'} = \frac{b'' l_0''}{\rho'' I_0''}. \quad (5)$$

Если для моделирования использовать электролит, находящийся в электролизере-образце, то благодаря тому, что $b' = b''$ и $\rho' = \rho''$, в качестве условия подобия получим

$$\frac{l_0'}{I_0'} = \frac{l_0''}{I_0''}. \quad (6)$$

Для плоских электролизеров, т. е. имеющих одинаковую толщину слоя электролита, независимо от размеров, плотность тока выражается равенством $D_n = D_{n0} l_0 / I_0$, и условие подобия будет иметь вид

$$I'_0 = I''_0. \quad (7)$$

Это равенство показывает, что для обеспечения подобия электрических полей в плоских электролизерах с одним и тем же электролитом в образце и в модели достаточно выполнить условие, чтобы силы токов на ваннах были одинаковы.

В нашем опыте для исследования применялась щелевая ванна, устройство которой изображено на рис. 1. Выгодной особенностью щелевой ванны является то, что распределение тока на исследуемом электроде практически не зависит не только от материала, но и от формы и расположения второго электрода. Щель между стенкой ванны и внутренней перегородкой играет роль неполяризующегося точечного электрода.

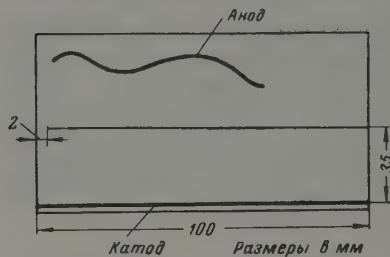


Рис. 1. Схема щелевой ячейки

Оценка подобия электрических полей производилась сравнением распределения относительной плотности тока на электродах в соответствующих ваннах. Плотность тока измерялась при помощи сдвоенного зонда [2],

который линией, соединяющей капилляры, располагался нормально к поверхности электрода. Во время электролиза зонд последовательно перемещался вдоль электрода от одного положения к другому, в которых измерялась разность потенциалов между капиллярами.

Одна из использованных нами ванн имела линейные размеры, приведенные на рис. 1. Линейные размеры второй ванны были пропорционально увеличены в восемь раз. Ванны делали из дерева, но облицовывались изнутри вырезанными соответствующей формы кусками стекла, зазоры между которыми тщательно заделывались воском. Расстояние между капиллярами зонда в меньшей ванне составляло 5 мм, а в большей — 40 мм. Измерения разности потенциалов зонда производились через каждую десятую часть длины катода, включая и крайние точки. Толщина слоя исследуемого электролита составляла 25 мм. В качестве электролита применялся раствор, состоящий из 100 г/л сульфата натрия и 20 г/л борной кислоты. Исследовался катодный процесс выделения водорода на никелевом электроде. Катод был сделан из латуни, покрытой слоем электролитического никеля толщиной примерно 5 м. На обратную, нерабочую сторону катода наносился тонкий слой воска. Исследуемые ванны устанавливались на толстом листе зеркального стекла, горизонтальное положение которого проверялось уровнем и регулировалось специальными винтами, находящимися под стеклом. Для получения воспроизводимого положения зонда у электрода и для удобного его перемещения вдоль электрода ванна вплотную придвигалась к тонкой ровной рейке, приклеенной к стеклу; по другую сторону рейки располагался трехножный штатив, упирающийся двумя ножками в рейку (рис. 2). На штативе при помощи винтов укреплялась специальная держалка с зондом, концы которого погружались в электролит на глубину, равную половине слоя электролита. При помощи резиновых трубок, стаканчиков с электролитом, агар-агаровых ключей и стаканчиков с насыщенным раствором хлористого калия зонды соединялись с каломельными полуэлементами, разность потенциалов между которыми измерялась высокоомным потенциометром. После проведения измерений выключался ток, и фиксировалась разность потен-

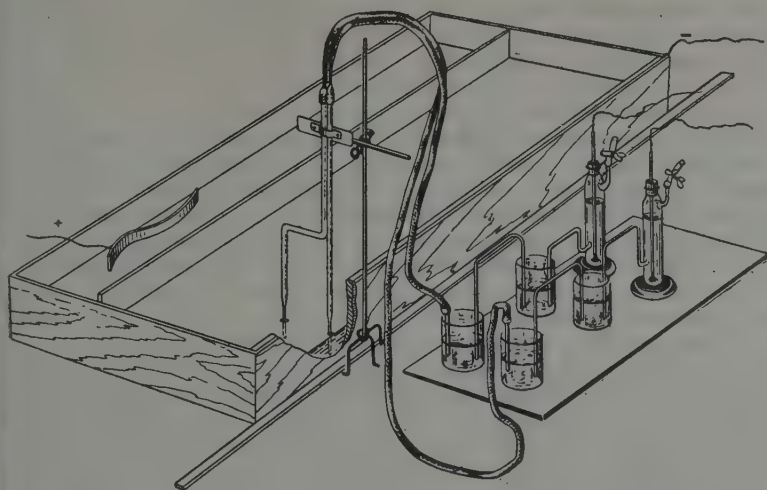


Рис. 2. Установка для измерения плотности тока на электроде

лов между каломельными полуэлементами, которая вводилась в качестве поправки во все измеренные значения.

На рис. 3 приводятся результаты измерения поляризации для исследуемого электролита и катода, полученные методом капилляра в специальной прямоугольной ванне, дающей равномерное электрическое поле. Из поляризационной кривой видно, что в относительно широком диапазоне плотностей токов зависимость поляризации от логарифма плотности тока является линейной.

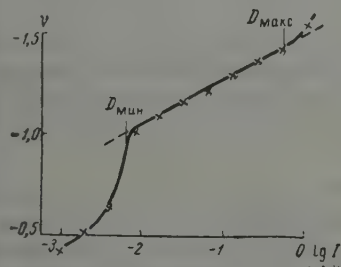


Рис. 3

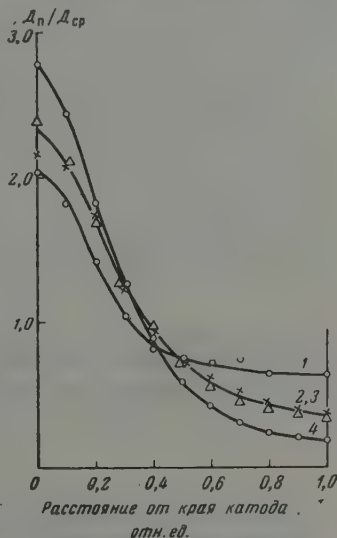


Рис. 4

3. Зависимость поляризации от плотности тока на никелевом катоде в рассматриваемом электролите

4. Распределение относительной плотности тока на катодах исследуемых ванн: 1 — в ванне с длиной катода $l_0 = 10$ см и силой тока $I_0 = 5$ мА; 2 — в ванне $l_0 = 10$ см и $I_0 = 40$ мА; 3 — в ванне $l_0 = 80$ см и $I_0 = 40$ мА; 4 — в ванне $l_0 = 80$ см и $I_0 = 320$ мА

Ранее было указано, что необходимым условием моделирования плоского электрического поля для данного электролита является равенство токов на ваннах. Электрическое поле исследовалось в каждой из ванн

при двух плотностях тока: 0,02 и 0,16 А/дм², которым в малой ванне соответствовали силы токов в 5 и 40 мА, а в большой — 40 и 320 мА. По условию моделирования подобные поля должны быть получены при равных силах тока на ваннах, т. е. при плотности тока 0,16 А/дм² в меньшей ванне и при плотности тока 0,02 А/дм² в большей ванне.

Результаты измерений разности потенциалов зонда и расчета распределения плотности тока приведены на рис. 4. Распределение тока, полученное в условиях малой ванны и малой плотности тока (кривая 1), оказалось наиболее равномерным. В большой ванне, при большой плотности тока (кривая 4), это распределение оказалось наименее равномерным. Точки кривой, соответствующие малой ванне при большой плотности тока и точки кривой, соответствующие большой ванне с меньшей плотностью тока, оказались расположенными близко друг к другу, что позволило вместо двух провести одну общую кривую (кривые 2, 3).

Совпадение в пределах ошибки опыта распределения плотности тока вдоль электрода в двух последних случаях подтверждает подобие электрических полей в электролизерах, предусмотренное теорией.

Подсчет минимальной и максимальной плотностей тока в исследуемых ваннах при условии подобия полей дает для $D_{\text{мин}} = 0,00716$ А/дм², а для $D_{\text{макс}} = 0,378$ А/дм². Из рис. 3 видно, что диапазон рабочих плотностей токов в электрохимически подобных ваннах находится в пределах премолинейного участка поляризационной кривой.

Выводы

Экспериментально подтверждена правильность условий моделирования, установленных при помощи теории подобия, на примере моделирования электролита, имеющего поляризацию, линейно зависящую от логарифма плотности тока.

Белорусский институт инженеров
железнодорожного транспорта
Гомель

Поступила
13.X.1958

ЛИТЕРАТУРА

1. Н. П. Гнусин, Ж. физ. химии, 34, 1563, 1960.
2. Н. П. Гнусин, Ж. физ. химии, 32, 1292, 1958.

EXPERIMENTAL INVESTIGATION OF THE CONDITIONS FOR MODEL TESTING OF ELECTRIC FIELDS IN ELECTROLYTES

N. P. Gnusin (Gomel')

Summary

In the paper the results are presented of an experimental verification of the conditions of electrochemical similarity established earlier with the aid of similarity theory. It has been proved experimentally that requirement for validity of model testing conditions is equality of the functions correlating the dimensionless quantities of polarizabilities and current densities for the electrolytes subjected to the testing.

МЕХАНИЗМ СУЛЬФИДНОЙ КОРРОЗИИ ЖЕЛЕЗА

II. СТРОЕНИЕ СУЛЬФИДНОЙ ОКАЛИНЫ И МЕХАНИЗМ ПРОЦЕССА

И. В. Гельд и А. К. Красовская

Кинетические исследования взаимодействия паров серы с железом [1] указывают на то, что рассматриваемый процесс лимитируется взаимодиффузией реагентов через окалину. Отсюда, однако, сделать какие-либо выводы о роли отдельных компонентов в массопередаче не представляется возможным. В связи с этим, а также с учетом противоречивости литературных данных о возможной диффузии серы через образующуюся окалину [2—5], были предприняты исследования, в которых изучались макро- и микроструктура сульфидных окалин и зависимость их строения от различных параметров.

Экспериментальная часть

Исходные образцы. Исследованию подвергались толстые окалины, полученные на поверхности образцов армо-железа различной формы. Выращивание сульфидных покровов осуществлялось без непрерывного контроля за весом в установке, ранее использованной при изучении сульфидной коррозии сплавов железа с серой [6]. Отличительной ее особенностью являлось наличие серного клапана, с одной стороны, герметизирующего реакционное пространство и предупреждающего выход из него паров серы, а с другой — делающего установку разборной. Реакционный сосуд представлял собой кварцевую вертикальную трубку, в нижнюю часть которой коаксиально устанавливался резервуар с серой. Уплотняющий слой между этими деталями устройства образовывался в результате частичной конденсации паров серы. Обогрев реактора осуществлялся электрической печью с двумя независимыми зонами, позволяющими осуществлять нагрев образцов и резервуара с серой (следовательно, создавать требуемое давление паров серы) до желаемых температур. Порядок приведения опытов был описан ранее [6].

Макроскопическое строение окалины. Для установления влияния температуры и продолжительности взаимодействия на структуру сульфидного покрова цилиндрические образцы армо-железа (диаметром 4 мм) подвергались (после шлифовки шкуркой № 1) окислению парами серы ($p_{S_2} = 50$ мм рт. ст.) при нижеследующих изотермических выдержках:

°C	часы				
	4	8	12	36	
500	4	8	12	36	
600	2	4	8	11	24
700	1	2	3	4	5
800	0,5	1,0	2,0		

При 500° даже после 36-часовой обработки получались сравнительно тонкие окалины (толщиной менее 0,5 мм), обнаружение отдельных слоев в которой (визуальное или при помощи микроскопа) встречало серьезные затруднения. Напротив, в препаратах, приготовленных при 600°, уже после двухчасовой выдержки (и тем более при более продолжительных выдержках) четко выявлялось двухслойное строение. Еще яснее эта картина наблюдалась в сульфидном покрове, полученном при 700 и 800°, и легко обнаруживалась даже невооруженным глазом.

Рентгеноструктурное, а также химическое исследование этих слоев показало, что оба они однофазны и образованы кристаллами пирротина.

Наружный подслой пирротиновой окалины (золотистого цвета) имеет столбчатую структуру с довольно крупным зерном, размеры которого увеличиваются по направлению к поверхности. В связи с этим наружный подслой механически мало прочен и легко разрушается от нажима пальцев. Напротив, внутренний подслой (темно-серого цвета) был коксообразный, мелкокристаллический и механически прочный. Оба подслоя органически связаны друг с другом и как бы продолжают один другой.

Аккуратное препарирование сульфидной окалины позволяет разделить подслои. При этом легко обнаруживается, что граница раздела подслоев в точности передает рельеф поверхности исходных образцов железа. Особенно четко это выявляется тогда, когда на поверхности металлических образцов делались специальные метки (мелкая резьба, царапины, вмятины и т. д.). Это указывало на то, что окалина формировалась за счет двусторонней диффузии реагентов. В пользу подобного предположения также говорят результаты опытов, проведенных с использованием инертных метчиков (функции которых выполняли тонкие платиновые проволоки). Выяснилось, что платиновые проволоки, свободно навитые (в виде спирали) на поверхность цилиндров из армо-железа, после сульфидирования также оказывались расположенными на границе двух пирротиновых подслоев (рисунок). Это позволяет сделать вывод о том, что наружный подслой окалины формируется в результате диффузии железа, а внутренний за счет проникновения серы. Справедливость этого может быть обоснована также и тем, что сульфидная окалина, даже при довольно больших ее толщинах, не теряла механической связи с металлическим остатком.

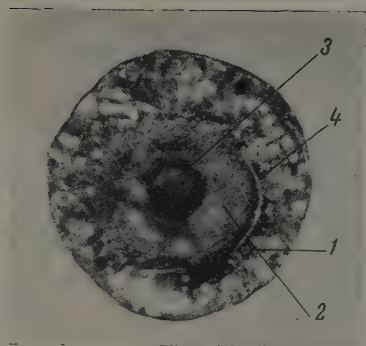
Влияние кривизны образца на структуру окалины. Исследование окалин, образующихся на плоских поверхностях образцов, показывает, что соотношение объемов (а следовательно и толщин) подслоев пирротина весьма мало меняется с температурой * — обычно наружный подслой был примерно в 5 раз толще внутреннего. Напротив, структура окалины вблизи криволинейных участков поверхности образцов была существенно отличной и менялась по ходу процесса. Если в начальные периоды взаимодействия (тонкая окалина) вблизи участков сульфидного прокова с положительными кривизнами превалировал и по толщине ($d_1 > d_2$) и по объему ($V_1 > V_2$) наружный подслои, то по мере развития взаимодействия существенно возрастало значение внутреннего подслоя. В ряде случаев к концу взаимодействия его объем и толщина становились даже большими, чем у наружного.

Для уточнения влияния кривизны образцов на структуру окалин были выполнены опыты с цилиндрическими образцами разных диаметров (1, 2, 4 и 6 мм). Выяснилось, что по мере уменьшения диаметра образцов удельный вес внутреннего подслоя формирующейся окалины все возрастал. Иными словами, с ростом кривизны окалины облегчалась диффузия серы и относительный ее диффузионный поток заметно увеличивался.

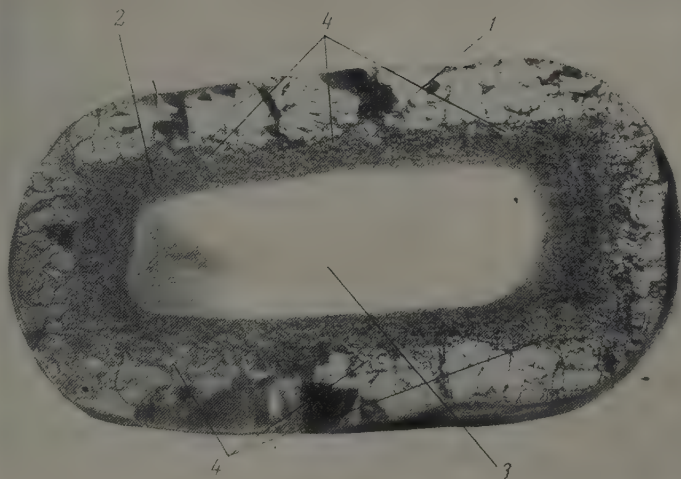
К аналогичному выводу привела серия опытов, в которых использовались образцы разной формы, часть поверхности которых характеризовалась положительными кривизнами, а часть — отрицательными.

В частности, известный интерес представляют наблюдения, выполненные при изучении окалин, образовавшихся на массивных образцах, снабженных квадратными, треугольными и круглыми (в сечении) сквозными отверстиями разных размеров. Выяснилось, что с ростом отрицательной кривизны (например, уменьшение диаметра отверстия) относительный объем и толщина внутреннего подслоя заметно уменьшаются. Далее, бла

* В связи с этим в рассматриваемой серии опытов сульфидные покровы готовились при 850° и p_{S_2} — 200 мм рт. ст.

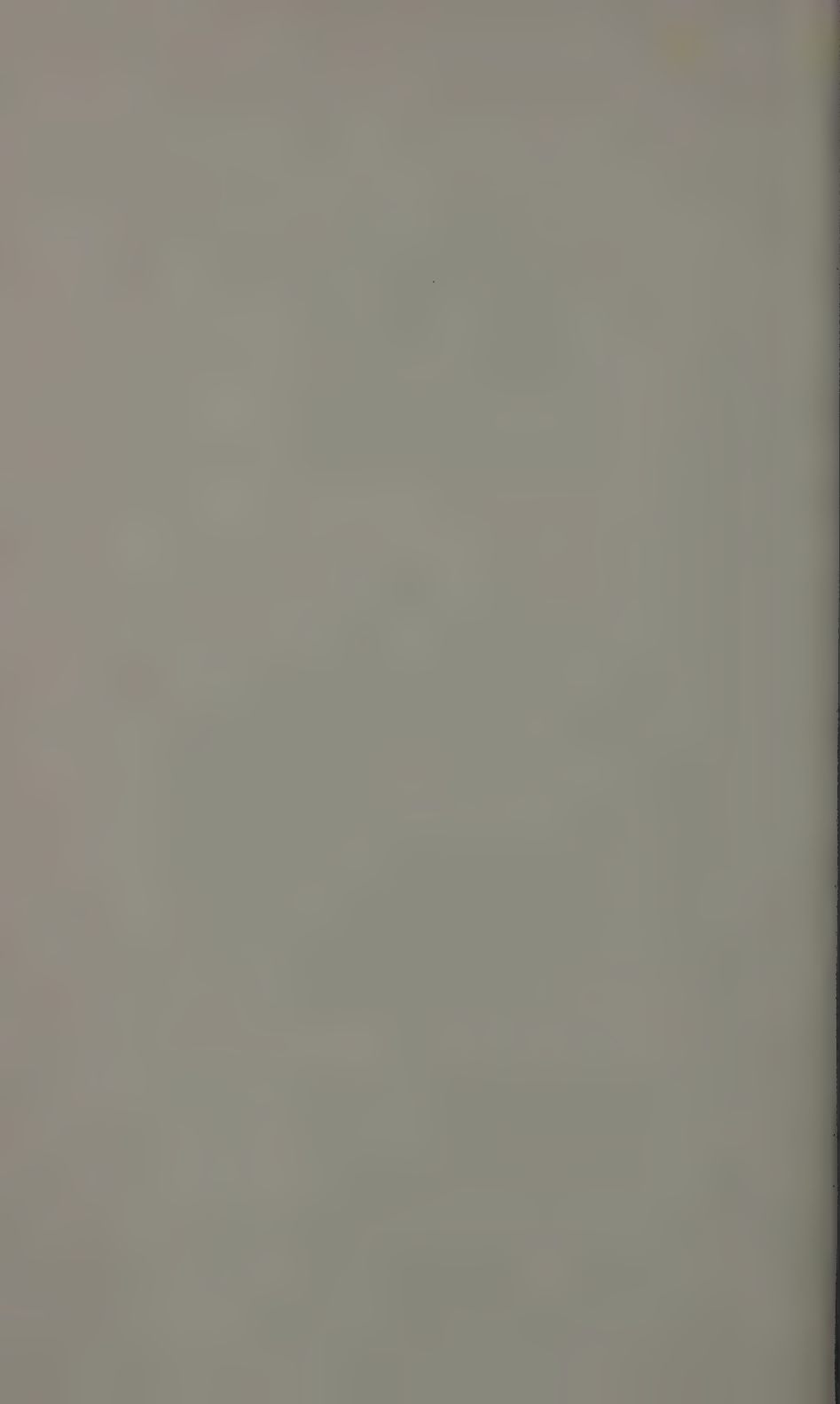


a



б

Макроструктура сульфидной окалины, образовавшейся на двух образцах (*a* и *б*) армко-железа при 800°: 1 — наружный подслои; 2 — внутренний подслои; 3 — остаток металла, 4 — платиновый метчик



даря более интенсивной диффузии железа (т. е. более быстрому росту внешнего подслоя) наблюдается прогрессивное уменьшение свободного анала, т. е. увеличение кривизны поверхности окалины, контактирующей с парами серы. Это в свою очередь обуславливает замедление диффузии серы и увеличение роли диффузионного потока железа в общем балансе окалинообразования.

При сульфидной коррозии образцов, снабженных отверстиями другой формы (квадратными или треугольными), образуется неоднородная окалина. Вблизи вершин и ребер (на наружной поверхности образца) формируется сульфидный покров, обогащенный внутренним подслоем ($V_2 > V_1$). Напротив, вблизи ребер с отрицательной кривизной (отверстия) наблюдается резкое увеличение удельного веса внешнего подслоя ($V_1 \gg V_2$).

Следует заметить, что аналогичные наблюдения были выполнены и при изучении коррозии образцов более сложной формы. В частности, при исследовании сульфидного покрова, выросшего на массивном образце седлообразного профиля, обнаружилось, что на выпуклых ее участках $d_1 \leq d_2$, а на вогнутых — $d_1 > d_2$. Такие же соотношения толщины подслоев наблюдались и на конических образцах, снабженных коническими же коаксиальными расположенными выточками. Таким образом во всех случаях обнаруживалась корреляция между кривизной поверхности и относительными объемами подслоев пирротиновой окалины.

Кроме того, выяснилось, что средние составы подслоев окалины зависят от кривизны поверхности образца. Оказалось, что наружный подслей окалины содержит тем большие количества серы, чем выше положительная ее кривизна. Это, в частности, можно иллюстрировать следующими данными, относящимися к массивному кубическому образцу:

Место отбора пробы	Грань	Ребро
Наружный подслей	41,8% S	42,7% S
Внутренний »	40,9% S	39,8% S

Обсуждение результатов

Приведенные выше данные, а также ранее сообщенные результаты исследования кинетики коррозии железа парами серы [1], позволяют высказать ряд соображений о механизме роста толстых сульфидных покровов. Естественно предположить, что взаимодействие начинается с адсорбции паров серы на железе. Последующая миграция частиц железа и серы обуславливает, во-первых, насыщение поверхностного слоя металла серой и, во-вторых, формирование первичной сульфидной пленки. Когда давление паров серы превышает упругость диссоциации пирита, на поверхности железа образуется слой FeS_2 , обладающий текстурой роста.

Обнаруженная двухфазность тончайших (10^{-6} см) пленок сульфидного покрова (при 360°) свидетельствует об относительной легкости перестройки решетки пирита в пирротин. Она протекает неупорядоченно, так как в текстурованном слое пирита обнаруживается нетекстурованный пирротин [1]. Более того, хорошее выполнение параболического временного закона также служит известным указанием на легкость мефазовых превращений и, в частности, перехода $\text{FeS}_2 \rightarrow \text{FeS}$.

Сформированная таким образом первичная сульфидная окалина разрастается в толстый покров путем двусторонней диффузии серы и железа. При этом пирротинный слой разрастается в обе стороны от исходной поверхности металлического образца.

Легкость перестройки пирита в пирротин приводит к тому, что толщина подслоя FeS_2 в окалине все время остается небольшой. Однако, несмотря на это, ввиду компактности и комплектности его решетки, присутствие

пирита существенно обременяет диффузионные стадии процесса и обуславливает высокие энергии активации [1].

В случае технически более важного процесса высокотемпературной ($t > 600^\circ$) коррозии, когда пирит оказывается термически неустойчивым, первичная пленка пирротина образуется в результате насыщения поверхностного слоя железа и непосредственной кристалло-химической перестройки $\text{Fe} \rightarrow \text{FeS}$. Дальнейшая коррозия, вопреки Хауффе и Рамелли [4], развивается за счет двусторонней диффузии серы и железа, в результате чего пирротинный слой состоит из двух подслоев. В тех случаях, когда подобная окалина образуется на плоском образце, по соотношению масс (и толщин) подслоев можно судить о соотношении усредненных коэффициентов диффузии реагентов. Согласно экспериментальным данным при высокотемпературной коррозии железа толщина наружного подслоя на плоском образце примерно в пять раз больше толщины внутреннего подслоя; иными словами, в рассматриваемом случае $D_{\text{Fe}} > D_{\text{S}}$. Сложнее обстоит дело при обсуждении результатов, полученных при исследовании структуры криволинейных окалин, где с ростом положительной кривизны ($V_1 : V_2$) убывает.

Для объяснения этого обстоятельства [7] рассмотрим особенности коррозии сферических частиц. При этом, конечно, необходимо учитывать то обстоятельство, что поверхностные слои окарины обогащены серой, а внутренние — железом (в соответствии с быстрой межфазовых превращений и шириной области гомогенности пирротина). В связи с тем, что сульфидная коррозия лимитируется диффузионными этапами, можно считать, что поверхностные слои окарины равновесны соответственно с железом ($N_2 = \text{const}$) и серой ($N_1 = \text{const}$). Учитывая это и обозначая через R_1 и R_2 радиусы наружной и внутренней поверхностей окарины, находим, что диффузионный поток серы через шаровой слой площадью $S = 4\pi R^2$ (где $R_1 \geq R \geq R_2$) равен

$$G_{\text{S}} = D_{\text{S}} S \frac{dN_{\text{S}}}{dR} \quad \text{или} \quad \frac{dN_{\text{S}}}{dR} = \frac{G_{\text{S}}}{4\pi D_{\text{S}} R^2}. \quad (1)$$

Интегрируя * уравнение (1) и вводя средние коэффициенты диффузии (D_{S}^*), находим

$$N_{\text{S}} = N_2 + \frac{G_{\text{S}}(R - R_2)}{4\pi D_{\text{S}}^* R R_2} = N_1 - \frac{G_{\text{S}}(R_1 - R)}{4\pi D_{\text{S}}^* R R_1}, \quad (2)$$

откуда

$$N_{\text{S}} = \frac{N_2(R_1 - R)R_2 + N_1(R - R_2)R_1}{R(R_1 - R_2)}. \quad (3)$$

Из выражений (1) и (3) следует, что распределение серы в слое окарины существенно зависит от его кривизны. Вблизи наружной поверхности концентрация серы меняется относительно медленно (мало dN_{S}/dR), а вблизи внутренней — быстро. Для плоских поверхностей ($R = \infty$) градиент концентрации серы в окалине постоянен, т. е.

$$N_{\text{S}}^0 = N_2 + \frac{N_1 - N_2}{R_1 - R_2}(R_1 - R_2). \quad (4)$$

Из сопоставления (4) и (5) нетрудно усмотреть, что окалина, образовавшаяся на сферических образцах, должна быть обогащена (по сравнению

* Правомерность сведения (в первом приближении) нестационарной задачи к стационарной была обоснована Б. Я. Любовым и Д. Е. Темкиным [8].

с плоской) серой. В самом деле, из формул (3) и (4) следует, что

$$\Delta N_S = N_S - N_S^0 = \frac{(R_1 - R)(R - \bar{R}_2)(N_1 - N_2)}{R(R_1 - R_2)}, \quad (5)$$

при всех положительных значениях R , $\Delta N_S \geq 0$.

Таким образом, в случае коррозии образцов, обладающих выпуклыми поверхностями, образующийся покров по всей толщине обогащается серой. Этому также способствует структурная чувствительность коэффициента диффузии. Действительно, обогащение сульфида железа серой осуществляется, как известно [9], за счет увеличения дефектности решетки (рост числа вакансий в железной подрешетке пирротина). В связи с тем, что наружные слои окалины, обогащенные вакансиями, характеризуются большими значениями D_S , чем внутренние. Очевидно, в силу ранее рассмотренных зависимостей, убыль D_S с понижением R усиливает концентрационную неоднородность* и ведет к еще большему возрастанию D_S . Конечно, возрастающая к периферии окалины нестехиометричность пирротина обуславливает рост не только коэффициента диффузии серы, но и железа. Судя, однако, по изменению соотношения толщин подслоев пирротина с радиусом ее кривизны, можно думать, что D_S увеличивается быстрее, чем D_{Fe} .

Поскольку опытные данные говорят об активном участии серы в формировании внутреннего подслоя окалины, постольку следует предположить, что она диффундирует не в форме весьма крупных (и малоподвижных) ионов S^{2-} ($r_{S^{2-}} = 1,84 \text{ \AA}$), а в квазиатомном состоянии [2, 7]. Элементарный акт здесь, по-видимому, состоит в перемещении ионного остатка (атома) и сильно поляризованных сопутствующих его электронов. Развитию подобного механизма диффузии способствует легкая полярируемость анионов серы, обуславливающая в пирротине значительный вес гомеополярных связей [10]. Следует заметить, что с ростом нестехиометричности пирротина в нем увеличивается число трехвалентных катионов железа, вблизи которых анионы серы неустойчивы, и имеет место значительное перекрытие электронных оболочек Fe и S.

Таким образом, рост концентрации серы в окалине способствует понижению удельного веса гомеополярных связей и увеличению числа квазиатомарных частиц серы, совершающих элементарные акты диффузии. Диффузия серы с ростом дефектности решетки сульфида облегчается также благодаря следующему обстоятельству. Дырка в железной подрешетке пирротина окружена анионами серы (частично, в силу поляризации, квазиатомами). По-видимому, нет оснований отрицать возможность использования этих вакансий при диффузии не только катионами железа, но и атомами серы. Во всяком случае перемещение через вакансии связано с меньшими энергетическими барьерами, чем по нормальным междоузлиям комплектной решетки FeS, роль которых выполняют тетраэдрические пустоты, вдвое меньшего размера, чем октаэдрические (в подрешетке анионов серы), являющиеся местами для ионов железа. С другой стороны, образование вакансий и усиливающееся поляризующее действие Fe^{3+} должно облегчить перемещение атомов серы не только из вакансий, но и по смежным деформированным междоузлиям.

Поскольку осложнения, обусловленные перемещением относительно крупных частиц серы, более велики, чем при диффузии небольших частиц, постольку факторы, способствующие формированию дефектных решеток пирротина, должны увеличивать D_S быстрее, чем D_{Fe} . Именно в связи с этим увеличение положительной кривизны окалины ведет к обра-

* В силу этого, даже в плоских окалинах должно отсутствовать линейное изменение N_S с толщиной.

зованию менее стехиометрического сульфидного покрова (отличающегося повышенной дефектностью), возрастанию удельного веса диффузионного потока серы и более быстрому росту внутреннего подслоя пирротина, чем внешнего. Обратные соотношения наблюдают на вогнутых окалинах. Таким образом, зависимость строения окалины от ее кривизны непосредственно связана с высокой структурной чувствительностью коэффициента диффузии серы. Более того, именно поэтому роль диффузионного потока серы, вопреки мнению авторов работы [4], может быть в ряде случаев (например, для образцов с большой положительной кривизной поверхности) решающей. В связи с этим следует иметь в виду, что суммарный коэффициент диффузии реагентов (и его усредненное значение) зависят от формы образца. Кроме того, от кривизны формирующейся окалины должны зависеть энергия активации процесса и другие кинетические характеристики реакционной диффузии. Поэтому при проведении исследований процесса сульфидной коррозии (а также аналогичных процессов, медленной стадией которых является реакционная диффузия) необходимо считаться с этим фактом и сопоставлять константы скоростей энергии активации взаимодействия, относящиеся к образцам одинаковой формы.

В заключение следует заметить, что экспериментально установленная зависимость ($V_1 : V_2$) от R не является результатом возникновения окалины внутренних напряжений. Действительно, во-первых, формирование изученных сульфидных покровов осуществлялось при 850° , т. е. выше температуры рекристаллизации ($\sim 600^\circ$) пирротина. В связи с этим возникающие напряжения непрерывно в ходе взаимодействия успешно устранялись. Во-вторых, если бы даже они не были бы сняты, то в соответствии с соображениями Конобеевского более крупные частицы (серы) должны были бы сосредотачиваться в наружных слоях выпуклой окалины, а меньшие по размеру частицы (железа) — во внутренних. Таким образом с увеличением кривизны окалины диффузия серы, вопреки экспериментальным наблюдениям, осуществлялась бы со все возрастающими затруднениями. Фактически же наблюдалась обратная зависимость, обусловленная отмеченными выше обстоятельствами.

Авторы признательны В. И. Архарову и А. Н. Орлову за интерес к работе и ценную дискуссию.

Выводы

1. Сульфидирование железа протекает путем двусторонней диффузии частиц железа и серы через окалину. При этом железо диффундирует в основном в форме двухзарядных катионов, а сера — в квазиатомном состоянии.
2. Высказано предположение о том, что с ростом нестехиометричности (а следовательно, и дефектности) решетки пирротина коэффициент диффузии серы растет быстрее, чем железа.
3. Установлено влияние кривизны образца на соотношение объемов подслоев пирротиновой окалины. Пояснено, что увеличение удельного веса внутреннего подслоя с ростом положительной кривизны окалины обусловлено повышением средней концентрации серы (а также и вакансий) в пирротине.

ЛИТЕРАТУРА

1. П. В. Гельд и А. К. Красовская, Ж. физ. химии, 34, 1585, 1960.
2. П. В. Гельд и О. А. Есин, Ж. прикл. химии, 19, 678, 1946.
3. П. В. Гельд и О. А. Есин, Ж. прикл. химии, 19, 861, 1946.
4. К. Hauffe u. A. Rahmel, Z. phys. Chem., 199, 159, 1952.
5. R. A. Meussner, C. E. Birchenall, Corrosion, 13, 79, 1957.
6. А. К. Красовская, П. В. Гельд и А. К. Семенова. Ж. физ. химии, 32, 1087, 1958.
7. П. В. Гельд и А. К. Красовская, Научн. докл. высшей школы, раздел — Металлургия, № 4, 5, 1958.
8. Б. Я. Любов и Д. Е. Темкин, Проблемы металловедения и физики металлов, Metallurgizdat, 5, 311, 1958.
9. G. Hagg u. L. Sucksdorff, Z. phys. Chem., B. 22, 444, 1933.
10. Л. Паулинг, Природа химической связи. Госхимиздат, 1947.

MECHANISM OF THE SULFIDE CORROSION OF IRON

II. STRUCTURE OF THE SULFIDE SCALE AND MECHANISM OF THE PROCESS

P. V. Gel'd and A. K. Krasovskaya (Sverdlovsk)

Summary

A study of the structure of sulfide scale on iron with the aid of platinum tracers and the x-ray analysis of consecutive layers of the scale made it possible to conclude that the process of scale formation takes place via the mutual interdiffusion of iron and sulfur particles. It has been further elucidated that the curvature of the initial surface of the specimen has a marked effect on the rate of diffusion of the reagents and may serve the cause of considerable changes in the volume ratios of the scale underlayers.

КАТАЛИЗ ПАРАМИ МЕТАЛЛОВ

I. КАТАЛИТИЧЕСКИЕ СВОЙСТВА ПАРОВ ЦИНКА И КАДМИЯ

М. Н. Данчевская и Н. И. Кобозев

Вопрос о роли атома в катализе возник около 30 лет назад, когда Тэйлором была отмечена повышенная активность наименее насыщенных, слабо связанных пиковых атомов решетки. Эта мысль нашла свое крайнее выражение в гипотезе Армстронга и Хельдича [1], допускавших даже временный отрыв атома от решетки в процессе катализа. Бюссвер [2] высказал подобное же предположение относительно каталитического процесса окисления метана на платиновой проволоке. Однако все эти представления носят качественный и гипотетический характер.

Вопрос о роли атомной фазы в катализе количественно был разработан Н. И. Кобозевым в теории активных ансамблей. Начало экспериментальных работ, явившихся обоснованием этой теории, относится к 1938 г. Многочисленными исследованиями нанесенных катализаторов было показано [3], что в подавляющем большинстве случаев каталитические свойства металла не исчезают при переходе от кристаллического состояния в атомное.

Каталитические свойства нанесенных катализаторов сохраняются даже при столь больших разведениях, при которых металл находится уже полностью в атомном состоянии (данные об атомарном состоянии металлов получались при помощи магнитных измерений).

Однако в этих опытах влияние носителя не было исключено, хотя применение различных инертных носителей показало их крайне слабое влияние на каталитические свойства адсорбированных атомов; однозначный ответ об активности атома можно было получить только при полной его изоляции от какого-либо влияния кристаллической решетки. Вопрос о влиянии носителя на активность атома имеет принципиальное значение для катализа и особенно для полупроводникового катализа, где электронная теория *a priori* отводит решающую роль взаимодействию примесных атомов, а также ионов решетки со «свободными» электронами кристалла. Если такая электронная схема катализа справедлива, то отделение металлического атома от решетки полупроводника должно резко изменить или даже вообще уничтожить его каталитические свойства. Если же каталитические свойства полупроводникового катализатора в основном определяются электронным строением самого (сверхстехиометрического или примесного) атома металла, внедренного в кристаллическую решетку основания, как предполагалось нами ранее [4], то роль кристаллической решетки сводится лишь к генерации и фиксации атомной фазы. В этом случае каталитические свойства атомов вне кристалла должны сохраняться. Для выяснения этого вопроса нами были изучены каталитические свойства массивных, нанесенных и парообразных металлов (Cd — металл; Cd/SiO_2 ; Zn/SiO_2 ; Cd — пар; Zn — пар), а также полупроводников, содержащих сверхстехиометрические или примесные атомы этих металлов (ZnO , ZnS , CdO).

Цинк и кадмий являются особенно удобными объектами для подобных исследований. Окисные и сульфидные соединения этих металлов являются

широко известными полупроводниками и обладают способностью катализировать многие процессы. Кроме того, эти металлы при сравнительно низкой температуре имеют высокую упругость паров, что позволяет исследовать их каталитические свойства в парообразном состоянии.

По данным Винанса [5], Куна и Аррениуса [6], элементы подгруппы цинка при давлении паров ниже 100 мм рт. ст. находятся в газовой фазе в виде единичных атомов. Благодаря этому перед нами открывается возможность изучать каталитические свойства изолированных атомов.

Этому вопросу и посвящена настоящая работа, являющаяся началом исследований парообразных металлов как катализаторов.

Экспериментальная часть

Методика эксперимента. Каталитическая активность паров металлов изучалась на реакции дегидрогенизации метилового спирта. В связи с легкой окисляемостью цинка и кадмия была выбрана реакция, дающая в процессе каталитического превращения восстановительную среду. Метиловый спирт, используемый в реакции, абсолютировался многократной перегонкой над магнием (т. кип. $64-64,1^{\circ}\text{C}$; n_D^{15} 1,3309).

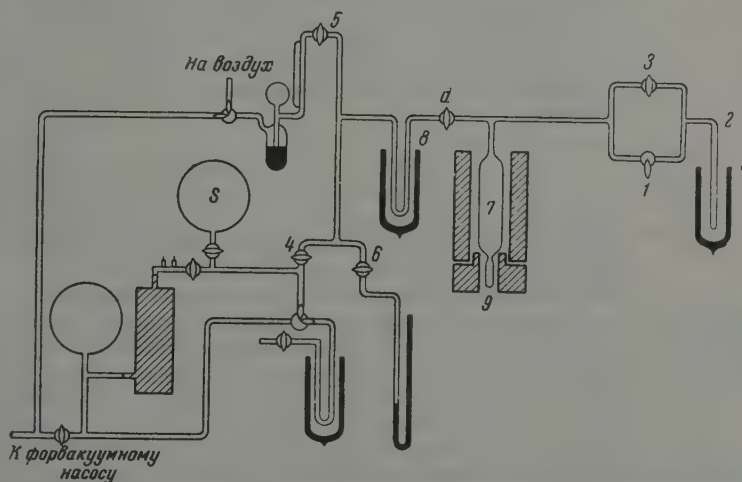


Рис. 1. Схема высоковакуумной установки для исследования каталитической активности паров металлов

Исследования проводились в высоковакуумной установке, изображенной на рис. 1. Пары спирта подавались в систему при помощи дозирующего крана 1 (из ампулы 2). Давление паров спирта в ампуле регулировалось температурой охлаждающей смеси. Перед началом опыта вся система откачивалась до высокого вакуума ($10^{-5}-10^{-6}$ мм рт. ст.), промывалась смесью CO и H_2 и вновь откачивалась до высокого вакуума. После выпуска паров спирта краны 3, 4, 5 и 6 перекрывались, и спирт, находящийся в реакторе 7 и ловушке 8, вымораживался в ловушке 8 жидким азотом. Реактор, из которого были удалены пары спирта, нагревался до определенной температуры. При достижении этой температуры спирт в ловушке 8 размораживался и впускался в реактор. Способ подачи в реактор паров металла и конструкция реактора изменялись в зависимости от цели опыта. С момента выпуска паров спирта в реактор начинался отсчет времени. Через определенные интервалы манометром Мак-Леода измерялось давление газообразных продуктов реакции. Газ, полученный в результате реакции, предварительно пропускать через ловушку с жидким азотом. Поскольку при температуре жидкого азота должны вымораживаться все продукты реакции кроме CO и H_2 , рост давления может быть мерой каталитического разложения метанола в направлении $\text{CH}_3\text{OH} \rightarrow \text{CO} + 2\text{H}_2$.

Предварительные данные о каталитических свойствах атомов цинка были получены при разложении метанола парами цинка в замкнутом реакторе, причем давление

паров цинка было ниже насыщенного. Реактор изображен на рис. 2. С системой реактор соединялся тремя отводящими трубками. Трубки 1 и 2 были снабжены запаянными капиллярами, которые в ходе опыта разбивались битками. Цинк, предварительно трижды перегнанный в высоком вакууме, помещался в ампулу 4, соединенную с реактором тонким капилляром. Из ампулы 4 цинк ($0,0003 \text{ г}$) перегонялся в реактор (вакуум $10^{-6} \text{ мм рт. ст.}$), и ампула отпаивалась. После того как цинк был перегнан, капилляр 3, соединяющий реактор с системой, запаявался, и реактор нагревался до 456°С . При достижении этой температуры, при которой цинк в реакторе переходил в состояние пара, капилляр в трубке 2 разбивался при помощи магнита, и в реактор подавался спирт под давлением $0,1 \text{ мм рт. ст.}$ После впуска спирта трубка 2 прямо в печи перепайвалась, и реактор представлял собой замкнутую систему. Разложение метанола в парах цинка велось в течение 2 час. Через 2 часа от начала реакции реактор вновь соединялся с системой (разбивался капилляр в трубке 1). Газ, полученный в результате реакции, пропусклся через ловушку с жидким азотом. Давление газа измерялось манометром Мак-Леода. Оно составляло $2,4 \cdot 10^{-1} \text{ мм рт. ст.}$



Рис. 2. Схема реактора для разложения метанола в парах цинка

Такой метод позволял определять только конечное давление продуктов реакции, не давая хода изменения давления в процессе реакции. В связи с этим для изучения кинетики процесса применялся реактор другой конструкции (рис. 1, реактор 7). При такой конструкции струя металла в ходе опыта непрерывно поступала в реактор из ампулы 9 через тонкий капилляр ($d = 0,2 \text{ мм}$). Реактор и источник паров металла обогревались различными печами. Это позволяло изменять температуру источника, регулировать давление паров металла в реакторе. Пары металла, проходя через реактор, температура которого обычно была выше температуры источника, конденсировались в холодной части отводной трубки.

Специальный опыт показал, что такая пленка сконденсированного цинка при отсутствии паров цинка в реакторе каталитически неактивна.

Результаты исследований. Вывод о способности изолированных атомов вести каталитический процесс может быть однозначным только в том случае, если при проведении катализа парами металлов будет исключена возможность участия в процессе твердой фазы.

В описанном выше опыте разложение метанола проводилось в замкнутом реакторе, причем количество цинка в реакторе ($3 \cdot 10^{-4} \text{ г}$) было меньше того, которое должно было находиться при данных условиях в насыщенном паре ($8 \cdot 10^{-4} \text{ г}$).

По показаниям термометра и термопары перепад температуры в зоне реакции не превышал одного градуса, т. е. условия для конденсации цинка на некоторых, более холодных местах реактора были исключены. Таким образом пары цинка в отсутствие твердой фазы катализируют разложение метанола. За 2 часа прошел почти полный распад введенного спирта (80%).

Поскольку цинк в парообразном состоянии находится в виде единичных атомов, можно сделать заключение, что изолированные атомы цинка обладают каталитическими свойствами. Такое заключение подтвердилось серией опытов по разложению метанола в струе паров цинка и кадмия. Описание этого метода было приведено выше. Струя паров металла, проходящая через тонкий капилляр ($d = 1,2 \text{ мм}$), препятствовала диффузии спирта в источник, благодаря чему твердая фаза металла была изолирована от реакционного пространства.

На рис. 3 даны кинетические кривые разложения метанола в парах цинка и кадмия. Кривые 1 и 2 соответствуют двум опытам с парами цинка, проведенным в аналогичных условиях: температура реакции 422°С , давление паров цинка $p_{\text{Zn}} = 0,058 \text{ мм рт. ст.}$, начальное давление паров спирта $p_0 = 0,148 \text{ мм рт. ст.}$ Совпадение параллельных опытов (кривые 1 и 2) свидетельствует о хорошей воспроизводимости. На этом же рисунке приведена кинетическая кривая разложения метанола в парах кадмия при давлении паров кадмия $p_{\text{Cd}} = 0,034 \text{ мм рт. ст.}$ Из рисунка видно, что каталитическая активность паров кадмия намного ниже активности

ров цинка. Если в случае цинка за 100 мин. распадается около 40% всего спирта, то пары кадмия за это же время катализируют распад спирта всего на 1%. Вследствие низкой каталитической активности паров кадмия точность измерений роста давления продуктов реакции при помощи манометра Мак-Леода была удовлетворительна только в первые моменты реакции. В связи с этим более рационально было измерение косвенно начальной скорости реакции. Для этого давление паров спирта поддерживалось постоянным в ходе реакции. Реактор в процессе

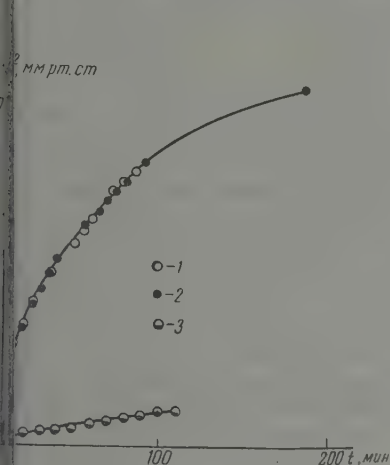


Рис. 3

Рис. 3. Кинетические кривые разложения метанола. 1 — в парах цинка при 422°C ; $p_{\text{Zn}} = 0,148$ мм рт. ст.; $p_{\text{Zn}} = 0,058$ мм рт. ст.; 2 — в парах цинка то же; 3 — в парах кадмия при 422°C ; $p_{\text{Cd}} = 0,867$ мм рт. ст.; $p_{\text{Cd}} = 0,034$ мм рт. ст.

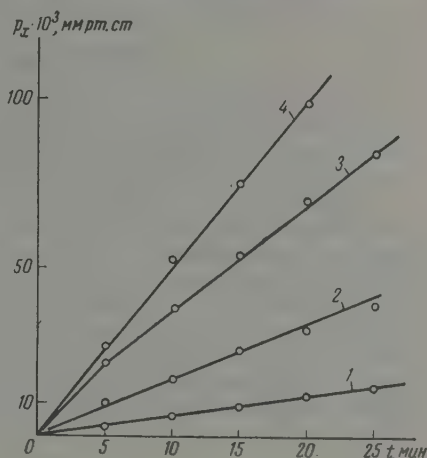


Рис. 4

Рис. 4. Кинетические кривые разложения метанола в парах кадмия при различных температурах и постоянном давлении спирта в ходе опыта ($p_{\text{S}} = 54,7$ мм рт. ст.; $p_{\text{Cd}} = 6,3 \cdot 10^{-3}$ мм рт. ст.): 1 — $T = 284^{\circ}\text{C}$; 2 — $T = 354^{\circ}\text{C}$; 3 — $T = 401^{\circ}\text{C}$; 4 — $T = 420^{\circ}\text{C}$

был соединен с ампулой, содержащей спирт (рис. 1). На рис. 4 приведены кривые роста давления продуктов реакции при разложении метанола в парах кадмия. Давление спирта в течение опыта оставалось постоянным и составляло 54,7 мм рт. ст., давление паров кадмия $6,3 \cdot 10^{-3}$ мм рт. ст. Скорость реакции в этих условиях была постоянна в течение одного опыта и закономерно возрастала с повышением температуры. Таким образом, кадмий, как и цинк, в парообразном состоянии катализирует разложение метанола. Доказательством того, что процесс катализируется именно парами металлов, а не твердой фазой, служат следующие факты.

Температура реактора обычно была на несколько десятков градусов выше температуры источника паров металла, что делало образование металлической пленки на стенках реактора весьма маловероятным.

Действительно, исследование при помощи зеркального монохроматора (МР-2) спектра поглощения кварцевого реактора до и после проведения реакции показало отсутствие металлической пленки. Кроме того, дополнительно были проведены опыты по разложению метанола в парах кадмия в одинаковых условиях, но при различном соотношении поверхности объема реактора. Данные этих опытов приведены в таблице. Как видно из таблицы, увеличение поверхности реактора от 314 до 1360 cm^2 не изменило скорости реакции.

$p_S=96 \text{ мм рт. ст.}; p_{Cd}=2,4 \cdot 10^{-3} \text{ мм рт. ст.}; t=354^\circ\text{C}$			
$S_1=314 \text{ см}^2$		$S_2=1360 \text{ см}^2$	
$t, \text{ мин.}$	$p \cdot 10^3, \text{ мм рт. ст.}$	$t, \text{ мин.}$	$p \cdot 10^3, \text{ мм рт. ст.}$
5	1,67	5	1,67
10	3,18	10	3,30
15	4,7	15	4,7
20	6,16	20	6,33
$\frac{\Delta p}{\Delta t}$		$\frac{\Delta p}{\Delta t}$	
$3,05 \cdot 10^{-3} \frac{\text{мм рт. ст.}}{\text{мин.}}$		$3,11 \cdot 10^{-3} \frac{\text{мм рт. ст.}}{\text{мин.}}$	

Очевидно, что если бы реакция катализировалась атомами металлов, адсорбированными на поверхности реактора, увеличение поверхности должно было привести к ускорению реакции.

Несостоятельным оказалось также предположение, что катализ может быть вызван окисью металла, которая образуется благодаря присутствию следов воды в спирте.

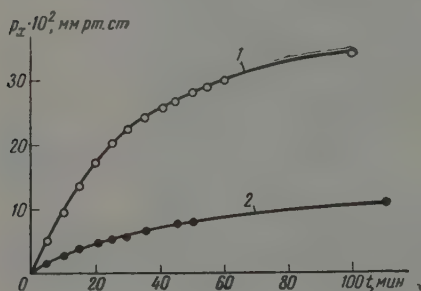


Рис. 5. Кинетические кривые разложения метанола в парах цинка ($p_S=0,1$ мм рт. ст., $p_{Zn} = 8 \cdot 10^{-3}$ мм рт. ст., $T = 370^\circ\text{C}$). 1 — абсолютированный метанол; 2 — метанол, содержащий 10% воды.

На рис. 5 даны кинетические кривые разложения в парах цинка абсолютированного метилового спирта и спирта, содержащего 10% воды. Оба опыта проводились при 370°C и давлении паров цинка $2 \cdot 10^{-2}$ мм рт. ст. Начальное давление спирта составляло 0,1 мм рт. ст.

Из рисунка видно, что добавление воды к спирту значительно повышает скорость каталитического процесса.

Таким образом, окисление парообразного цинка в окись ведет не к активации, а к отравлению.

Выводы

1. Газообразные атомы цинка и кадмия, изолированные от решетки материнского кристалла и от кристалла носителя сохраняют свои каталитические свойства.

2. Каталитические свойства атомов этих металлов, как показали наши исследования (эти результаты будут изложены в следующей статье), практически не изменяются под действием носителя и при частичном внедрении в кристаллическую решетку полупроводника.

Это позволяет предполагать, что атом металла как в металлической так и в полупроводниковых катализаторах является «автономной структурой», каталитические свойства которой определяются строением собственной электронной оболочки, но не электронными свойствами кристаллического носителя.

ЛИТЕРАТУРА

1. Armstrong, Hilditch, Proc. Roy. Soc. A, 108, 111, 1925.
2. Bussière, C. R. 243, 1870, 1956.
3. Н. И. Кобозев, Успехи химии, 25, 545, 1956.
4. И. В. Крылова, М. Н. Данчевская, Н. И. Кобозев, Изв. физ. химии, 29, 1687, 1955.
5. J. G. Winans, Philos. Mag., 7, 555, 1929.
6. H. Kuhn, Arrhenius, Z. Phys., 82, 716, 1933.

CATALYSIS BY METAL VAPORS

I. THE CATALYTIC PROPERTIES OF ZINC AND CADMIUM VAPORS

M. N. Danchevskaya, N. I. Kobozev (Moscow)

Summary

It has been shown that zinc and cadmium in the vapor phase are capable of catalyzing decomposition of methanol to CO and H₂. The introduction of water vapor into the reaction zone lowers the catalytic activity of zinc vapor, i. e. oxidation of zinc atoms leads to their inactivation. On the basis of optical investigations of the reactor surface and of experiments with change in wall to volume ratios of the reactor it has been concluded that zinc or cadmium adsorbed on the reactor walls do not play any significant role in the catalytic conversions of methanol and the reaction proceeds predominately in the vapors of the metal. On the grounds of all the facts produced the conclusion has been drawn that zinc and cadmium atoms isolated from the crystal lattice preserve their catalytic properties.

ИССЛЕДОВАНИЕ ДАВЛЕНИЯ И ПЛОТНОСТИ ПАРА В СИСТЕМАХ, СОДЕРЖАЩИХ КРЕМНИЙОРГАНИЧЕСКИЕ СОЕДИНЕНИЯ

I. СИСТЕМА БЕНЗОЛ — МЕТИЛДИХЛОРСИЛАН — МЕТИЛФЕНИЛДИХЛОРСИЛАН

*М. И. Шахпаронов, Э. А. Баламутова, С. Л. Лельчук,
Е. П. Михеев, Л. В. ШUTOва, Л. Ф. Глушкова
и М. Е. Мартынова*

Задачей нашего исследования было получение данных о давлении и плотности пара ряда галоидных алкил- и арилсиланов в широком интервале температур. Как известно, эти вещества легко взаимодействуют с парами воды, с металлами, растворяются в смазках, легко полимеризуются. Это накладывает определенные ограничения при выборе метода измерения давления и плотности паров галоидных алкил- и арилсиланов.

Экспериментальная часть

Приготовление компонентов. Технический метилдихлорсилан получался прямым синтезом и затем подвергался ректификации на колонке эффективностью 25 теоретических тарелок. Метилфенилдихлорсилан синтезирован фенилированием метилдихлорсилана бензолом в присутствии борного катализатора по методике, описанной в [1]. Выделенный из реакционной смеси ректификацией метилфенилдихлорсилан подвергался повторной ректификации на колонке эффективностью 25 теоретических тарелок.

Бензол криоскопический очищался от воды кальцием и натрием и затем перешел на ректификационную колонку эффективностью 25 теоретических тарелок. Показатель преломления бензола n_D^{20} 1,5013.

Описание метода измерений давления и плотности паров. Схема экспериментальной установки, основанной на принципе гидростатического взвешивания [2], изображена на рис. 1.

Основную часть установки составляют кварцевые весы, расположенные в стеклянном баллоне длиной 400 мм и диаметром 65 мм, который помещается в термостате. Баллон с весами удерживается кварцевой подпоркой; это предотвращает смещение его в связи с расширением металлического корпуса термостата при нагревании.

В другом термостате находится кипятыльник длиной 70 мм и диаметром 50—55 мм. Продолжение кипятыльника составляет ртутный манометр. Баллон и кипятыльник соединяются трубкой 3, снабженной нагревателем и теплоизоляцией.

Кварцевые весы состоят из кварцевой спирали и кварцевого шара, подвешенного к нижнему концу спирали. Низкий коэффициент объемного расширения кварца позволяет не учитывать поправку, связанных с изменением объема шара при нагревании. При помощи верхнего крючка спираль прикрепляется к кварцевой рамке, которая подвешивается в верхней части стеклянного баллона.

Спираль изготовлялась из кварцевых нитей толщиной 0,2—0,3 мм, диаметром витка 1,8—2 см, и числом витков 30—40. Чувствительность спиралей находилась в пределах 5—10 мм/мг. Кварцевые шары имели объем 35—70 см³ и вес 0,5—1,3 г. Чувствительность применявшихся нами кварцевых весов равна 10⁻⁴ г/см³ мм. Если учесть, что наблюдение за перемещением спирали производилось при помощи катетометра (через окна в термостате) с точностью отсчета 10⁻³ мм, то чувствительность весов составляла 10⁻⁷ единиц плотности на одно деление окулярного микрометра.

Вследствие роста модуля сдвига плавленого кварца с повышением температур чувствительность кварцевых весов изменяется. Для внесения соответствующих поправок весы градуировались в широком интервале температур в вакууме. Весы при помощи соединительного трубопровода связаны с кипятыльником, в котором помещалась исследуемая жидкость.

При наполнении баллона парами исследуемой жидкости шар теряет в весе. Зная чувствительность весов и измеряя укорочение спирали (в связи с изменением веса шара), можно определить плотность пара или газа.

Наблюдения производились за нижним и верхним концом спирали.

За нижнюю точку наблюдения было выбрано место соединения спирали с шаром. Для наблюдения за изменением верхней точки подвеса служил репер (кварцевая игла диаметром 0,5 мм), подвешенный по оси спирали так, чтобы оба наблюдения можно было производить, не меняя фокусного расстояния катетометра.

Нагревание и термостатирование системы осуществлялось при помощи двух воздушных термостатов. Для изготовления термостатов были использованы массивные бронзовые блоки с внутренним диаметром 70—80 мм, толщиной стенок 25 мм и длиной 50 и 550 мм. Блоки обогревались по бокам и с торцов нагревателями из нихромовой проволоки. В отверстиях диаметром 5 мм, просверленных в блоках термостатов, помещено восемь хромель-алюмелевых термопар, горячие спаи которых находились в непосредственном тепловом контакте с телом кипятыльника или баллона с весами.

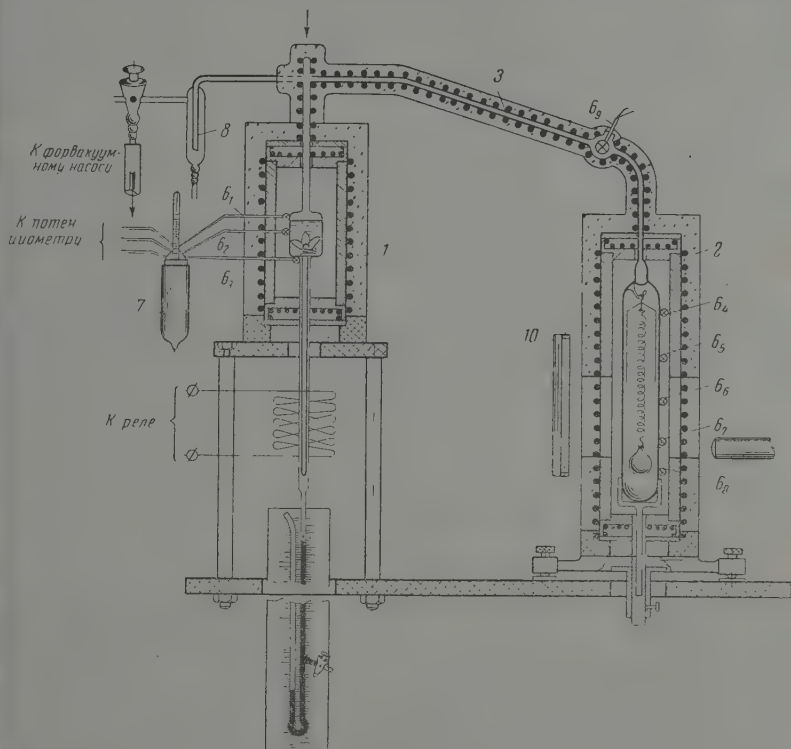


Рис. 1

В соединительном трубопроводе также имеется хромель-алюмелевая термопара для контроля температуры пара, поступающего из кипятыльника в баллон с весами.

Регулировкой тока в обмотке печей термостатов и соединительного трубопровода биваются теплового равновесия в системе, причем температура соединительной трубки во избежание полимолекулярной адсорбции на стенках должна быть на 20—30° больше, чем температура кипятыльника, а температура кварцевых весов должна быть больше или равна температуре соединительной трубки. Степень перегрева зависит от рода исследуемого вещества и его термической стойкости.

Регулировка тока в обмотках печей производилась при помощи лабораторных трансформаторов ЛАТР-1.

При измерениях э. д. с. термопар были использованы потенциометр ППТВ-1 и зеркальным гальванометром М-21.

Градиент температуры в баллоне с кварцевыми весами не превышал 1—2° при температурах около 300°. Градиент температур в кипятыльнике не превышал 0,5° при температурах 200—270°. При более низких температурах градиент был меньшим.

Кипятыльник при помощи стеклянной трубки приводился в непосредственный контакт с ртутным манометром, позволявшим производить отсчет давления паров в системе с точностью 0,2—0,3 мм рт. ст. Во избежание прямого контакта между кремнийорганическими веществами и ртутью сверху ртути помещался промежуточный слой специальной высококипящей фторуглеродистой жидкости, с плотностью

$d 2,000 \text{ г/см}^3$. Предварительные опыты показали, что эта жидкость практически не растворяется в галоидных алкил- и арилсиланах и ртути и при комнатных температурах обладает очень малым давлением пара $\sim 10^{-2} \text{ мм}$. Для предотвращения возникновения градиентов концентрации в растворах в кипятильнике была смонтирована электромагнитная автоматическая мешалка.

Проведение опытов. Кварцевые весы предварительно калибруются разновесками от аналитических весов при комнатной температуре. Затем весы монтируются в баллоне, помещаются в термостат, и проводятся предварительные опыты с воздухом для точного определения объема пара. После этого весы градуируются в вакууме при постепенном нагреве до 300° . Затем производится калибровка весов с сухим воздухом, который поступает в баллон с кварцевыми весами, пройдя через ловушку с жидким азотом. При последовательном изменении давления воздуха от нескольких миллиметров рт. ст. до атмосферного определялись показания кварцевых весов, и уточнялись их параметры. По окончании калибровки в кипятильник заливалась исследуемая жидкость, замораживалась сухим льдом и откачивалась форвакуумным насосом. Затем охлаждение снималось, и жидкость выдерживалась при комнатной температуре в течение 12—24 час. до тех пор, пока не заканчивалось выделение растворенного в жидкости воздуха. В случае необходимости этот процесс повторялся несколько раз. После прекращения выделения пузырьков растворенных газов жидкость вновь замораживалась и откачивалась.

Достижение вакуума контролировалось путем сравнения показаний манометра с показаниями точного ртутного барометра. При этом учитывалось давление столба промежуточной жидкости и исследуемой жидкости, плотность которой измерялась заранее. Высота столба этих жидкостей определялась отсчетом по катетометру. При достижении вакуума и отсутствии течи в системе показания манометра должны в пределах точности отсчета совпадать с показаниями ртутного барометра.

Система откачивалась от форвакуумного насоса и ловушки, и производились измерения, начиная от комнатной температуры и до температуры, при которой давление насыщенных паров достигает 800—900 мм. Затем кипятильник и баллон с весами постепенно охлаждались до комнатной температуры, причем в ходе охлаждения также производились измерения. При отсутствии термического разложения в условиях достижения теплового равновесия данные о давлении и плотности паров, полученные при нагревании, должны совпадать с данными, получаемыми при охлаждении системы. Тем самым осуществлялся дополнительный контроль надежности произведенных измерений. После окончания опыта жидкость удалялась, система вновь соединялась с ловушкой и форвакуумным насосом, и производился повторный контроль состояния весов путем дополнительной калибровки сухим воздухом. Если в процессе опыта кварцевые весы не подверглись каким-либо воздействиям, меняющим их параметры, то показания весов при повторной калибровке должны оставаться прежними.

Оценка точности измерений давления и плотности пара. Погрешность в измерении давления и плотности паров складывается из ошибки манометра или весов и ошибки, обусловленной несовершенством термостатирования. При отсчете показаний манометра учитывались поправки на термическое расширение стекла и ртути. С учетом этих поправок ошибка в определении положения мениска ртути не превышала 0,5 мм. При термостатировании кипятильника расхождение между показаниями термопар, расположенных в трех различных точках термостата, не превышало $0,5^\circ$. Средняя ошибка в определении температуры жидкости может быть принята равной $\pm 0,2^\circ$. Такая ошибка в определении температуры жидкости при атмосферном давлении насыщенного пара делает возможными ошибки в определении давления, равные 6—7 мм рт. ст. Таким образом относительная точность измерения давления составляла $\sim 1\%$. При меньших давлениях абсолютная ошибка в определении давления пара уменьшается, относительная сохраняет ту же величину. Так как давления пара измерялись в широком интервале температур и, следовательно, имела возможность усреднения вдоль функции $p = f(T)$, то точность получаемых после такого усреднения значений давления p существенно повышается.

Сопоставление проведенных нами измерений давления насыщенных паров бензола и воды с литературными данными показывает, что относительная ошибка полученных после усреднения данных о давлении пара в среднем может быть принята равной 0,1—0,2%. Наши измерения давления пара метилтреххлорсилана, диметилдихлорсилана, метилдихлорсилана и триметилхлорсилана согласуются с опубликованными данными Буса и его сотрудников [3], которые, по-видимому, следует считать наиболее точными из имеющихся в литературе по кремнийорганическим галогенпроизводным. Погрешность в определениях плотности за счет возможной ошибки в показаниях весов не превышает 0,1%. Основная ошибка в определении плотности связана с несовершенством применявшегося нами воздушного термостата. Разброс показаний пяти термопар, соприкасающихся с баллоном кварцевых весов при высоких температурах, достигал 2° . Термопары были прокалиброваны в Палате мер и весов, ошибка отсчета в определении температуры не превышала $0,1^\circ$. Следовательно, ошибка в определении температуры весов может быть принята равной $\pm 1^\circ$. Это приводит к относительной ошибке в определении плотности $\pm 2,5\%$.

В результате графического усреднения данных по плотности вдоль функции $\gamma = F(T)$ средняя вероятная ошибка в определении плотности уменьшается и, по

димому, составляет менее 1%. Имеющиеся в литературе данные о плотности насыщенных паров галоидных алкилсиланов согласуются с нашими определениями. Следует заметить, что приводимые в [3] данные не содержат сведений о возможных погрешностях измерений плотности.

Так как температура баллона с весами была выше температуры кипятыльника, измерялась плотность перегретого пара. Пересчет к температуре, соответствующей насыщению, производился по уравнению Менделеева-Клапейрона. При давлениях, не превышающих атмосферного, вносимая при этом погрешность не существенна.

Молекулярный вес паров жидкостей вычислялся по уравнению Менделеева-Клапейрона $M = \gamma RT/p$, где γ — плотность. Полагая $\Delta\gamma/\gamma = 2\%$, $\Delta p/p = 1\%$ и $\Delta T/T = 0,5\%$, получаем для максимальной относительной ошибки в определении молекулярного веса $\Delta M/M = 3,5\%$.

Как правило, фактические ошибки при определении были значительно меньше, что подтверждается, например, небольшим разбросом в значениях M , лежащим в пределах 0,5—1% для большинства измерений. В табл. 1 поставлены значения M в парах по данным [3] и нами.

Определения плотности жидкостей производились при помощи пикнометров объемом 5 мл при 20°. Точность определений плотности 0,2%.

Приготовление растворов производилось взвешиванием навесок на аналитических весах. Растворы готовились с точностью $\pm 0,0001$ мольной доли.

Исследование бинарных и трехкомпонентной систем шло по следующей программе (рис. 2). Сначала определялись p , γ и M для индивидуальных компонентов A , C при температурах от 20° до температур, при которых давление пара достигало 0—900 мм рт. ст. Затем в том же интервале давлений исследовались двухкомпонентные растворы D , E и K . Состав каждого раствора был эквимолекулярным, т. е. $x_i = x_j = 0,5$. После этого в том же интервале давлений исследовался трехкомпонентный раствор L ($x_A = x_B = x_C = 1/3$).

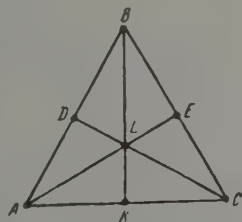


Рис. 2

Таблица 1

Вещество	M , теорет.	M , по данным [3]	M , наши данные при $p=760$ мм рт. ст.
Метилтрихлорсилан	149,40	152,7	$153,3 \pm 1,3$
Диметилдихлорсилан	129,06	130,4	$128,3 \pm 1,5$
Триметилхлорсилан	108,64	110,7	$112,6 \pm 1,5$

Экспериментальные данные. Данные о давлении и плотности паров криоскопического бензола приведены на рис. 3, там же для сравнения даны данные, приведенные в справочных таблицах [4].

На рис. 4 и 5 приведены данные о давлении и плотности паров метилдихлорсилана, метилфенилдихлорсилана и растворов, в табл. 2 содержатся данные о плотности этих веществ в жидком состоянии d_4^{20} , показателе преломления n_D^{20} , температуре кипения при 760 мм рт. ст.

Обсуждение результатов

Как показывают данные табл. 2, молекулярные веса паров метилдихлорсилана и метилфенилдихлорсилана несколько выше теоретических, что указывает на присутствие в парах ассоциированных комплексов.

По мере повышения давления метилфенилдихлорсилана его молекулярный вес в парах возрастает, что, по-видимому, указывает на рост ассоциации.

Нами были рассчитаны постоянные A , B и C уравнений Антуана $p = A - B/(t + C)$, теплота испарения индивидуальных веществ при нормальной температуре кипения рассчитывалась по формуле

$$\Delta H = \frac{T(V_g - V_c) p B}{(t + C)^2} 2,3026,$$

т. е. на один моль пара, находящегося в равновесии с насыщенным раствором при температуре кипения и давлении 760 мм рт. ст. Была вычислена постоянная Трутона $\Delta H/T_{\text{кип}} = \Delta S$. Результаты этих расчетов приведены в табл. 2 и 3. Был выполнен расчет состава паров, находящихся в равновесии с бинарными растворами. Вычисления основывались на предположении, что в смеси паров состояние ассоциации каждого из компонентов не зависит от присутствия второго компонента. При этом предположении мольная доля компонента 1 в паре равна $x'_1 = (M_2 - M)/M_1 - M_2$, где M_1 и M_2 — молекулярные веса компонентов при давлениях, близких к парциальным давлениям этих компонентов смеси, M — средний молекулярный вес паров, находящихся в равновесии с раствором.

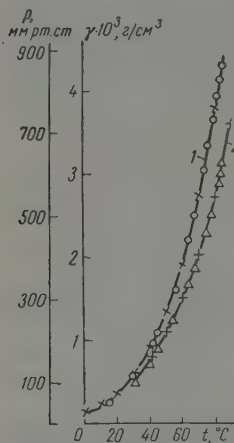


Рис. 3

Полученные таким путем данные о парциальных давлениях, при использовании уравнений Маргулеса, позволяли произвести приближенный расчет коэффициентов активности и диаграмм равновесия жидкость — пар бинарных систем. Мы не приводим здесь результаты этих расчетов, поскольку они имели ориентировочное значение.

Проведенные нами расчеты показывают, что молекулярные веса паров, находящихся в равновесии с эквимолекулярным раствором $C_6H_6 - CH_3SiHCl_2$ и паров, находящихся в равновесии с трехкомпонентным раствором, совпадают. Отсюда можно заключить, что при температурах от 40 до 100° состав паров трехкомпонентных растворов $C_6H_6 - CH_3SiHCl_2 -$

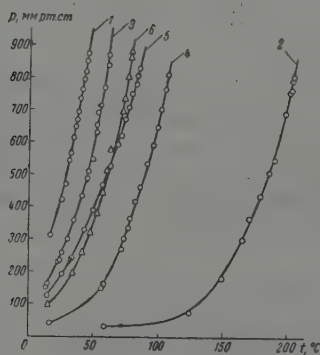


Рис. 4

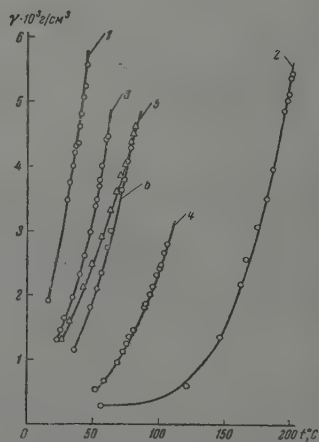


Рис. 5

$CH_3C_6H_5SiCl_2$ практически не отличается от состава паров бинарной системы $C_6H_6 - CH_3SiHCl_2$ при том же соотношении мольных долей бензола и метилдихлорсилана в жидкой фазе. При температурах выше 100° процентное содержание метилфенилдихлорсилана в парах остается небольшим за исключением тех случаев, когда в жидкой фазе мольная доля $CH_3C_6H_5SiCl_2$ близка к единице.

Таблица 2

Вещество	n_D^{20}	d_4^{20}	Т. кип. при 760 мм	М пара при 760 мм	М	А	В	С	ΔH , кал/моль	ΔS , кал/моль, град
$\text{CH}_3\text{SiHCl}_2$	1,4222	1,1049	41,0 \pm 0,1	118,3	115,05	6,561	963	220	6380	20,3
$\text{CH}_3\text{C}_6\text{H}_5\text{SiCl}_2$	1,5196	1,180	203,5 \pm 0,2	200,2	191,1	4,618	364	6	8620	18,1

Таблица 3

Раствор, мол. %	d_4^{20}	Т. кип. при 760 мм	А	В	С	ΔH , кал/моль	ΔS , кал/моль, град	М	$x'\text{C}_6\text{H}_6$	$x'\text{CH}_3\text{SiHCl}_2$
$\text{C}_6\text{H}_6 + 50\% \text{CH}_3\text{SiHCl}_2$	0,9222	58,5	4,977	365	116	5980	18,0	108,0	0,340	0,660
$\text{C}_6\text{H}_6 + 50\% \text{CH}_3\text{C}_6\text{H}_5\text{SiCl}_2$	1,0708	105,2	4,745	331	72	6860	18,1	80,9	0,025	—
$\text{CH}_3\text{SiHCl}_2 + 50\% \text{CH}_3\text{C}_6\text{H}_5\text{SiCl}_2$	1,1568	81,0	4,700	405	142	4740	13,3	127,2	—	0,998
$\text{C}_6\text{H}_6 + 33\% \text{CH}_3\text{SiHCl}_2 +$ $34\% \text{CH}_3\text{C}_6\text{H}_5\text{SiCl}_2$	1,0822	75,0	—	—	—	6760	19,3	108,4	0,34	0,66

Выводы

Измерены плотности и давления паров системы бензол — метилдихлорсилан — метилфенилдихлорсилан. Разработана методика, учитывающая специфику кремнийорганических соединений. На основе экспериментальных данных выполнен приближенный расчет состава паров, находящихся в равновесии с бинарными растворами. Рассчитаны теплоты и энтропии испарения.

Московский государственный
университет им. М. В. Ломоносова

Поступила
30.X.1958

ЛИТЕРАТУРА

- Г. Н. Мальнова, Е. П. Михеев, А. Л. Клебанский и др. Докл. АН СССР, 117, 623, 1957.
 Э. А. Баламутова, Ж. физ. химии, 31, 1422, 1957.
 Н. S. Booth and W. F. Martin, G. Amer. Chem. Soc., 68, 2655, 1946;
 Н. S. Booth and S. F. Suttle, G. Amer. Chem. Soc., 68, 2658, 1946;
 Н. S. Booth and R. L. Jarry, J. Amer. Chem. Soc., 71, 971, 1949.
 Теплофизические свойства веществ, Справочник под редакцией Н. Б. Варгафтика, Госэнергоиздат, 1956.

VAPOR PRESSURES AND DENSITIES IN SYSTEMS CONTAINING
ORGANOSILICON COMPOUNDSI. THE SYSTEM BENZENE — METHYLDICHLOROSILANE — METHYLPHENYL —
DICHLOROSILANE

*M. I. Shakhparonov, Z. A. Balamutova, S. L. Lettschook, E. P. Mikheev,
L. V. Shutova, L. F. Glushkova, M. E. Martynova (Moscow)*

S u m m a r y

The results are presented of vapor pressure and density studies of binary and three-component systems of organosilicon compounds by means of a previously developed method (2). Good agreement with reported data has been found. The procedure for preparing the components has been described, as well as the set up for their measurement and the experimental technique in which account has been taken of the specific properties of the compounds under investigation. The experimental error has been estimated.

Based on the experimental data the composition of the vapors in equilibrium with the binary solutions has been calculated. It was found that the state of each component in the vapor mixture was independent of the other. The heats of vaporization and Trouton's numbers have also been calculated for all vapors of the liquids. The present report is concerned with one of the systems investigated, namely, benzene — methyldichlorosilane — methylphenyldichlorosilane.

ПОЛЯРИЗАЦИЯ ПРИ ЭЛЕКТРООСАЖДЕНИИ НИКЕЛЯ, КОБАЛЬТА И ЖЕЛЕЗА НА ТВЕРДОМ И ЖИДКОМ КАТОДЕ

А. П. Попков, Н. Л. Климасенко и А. Т. Ваграмян

Выяснение причин высокого значения поляризации при электроосаждении металлов железной группы является предметом исследования многих авторов [1]. В последнее время были опубликованы работы, в которых возникновение значительного перенапряжения при восстановлении ионов никеля, кобальта и железа объясняется величиной и знаком потенциала нулевого заряда этих металлов.

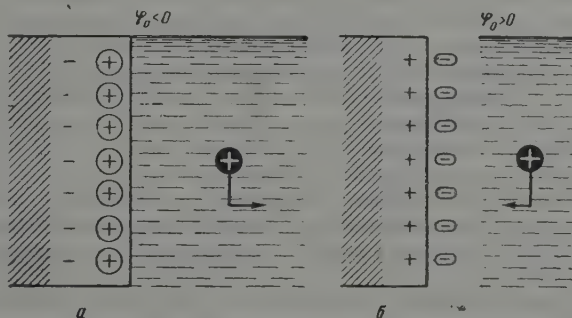


Рис. 1. Схема строения двойного электрического слоя на границе металл — раствор (согласно Л. И. Антропову [2])

Так, по Л. И. Антропову [2], если металл находится в равновесии с раствором собственных ионов с активностью, равной единице, то величина $\varphi_0 = \varepsilon^0 - \varepsilon_{q=0}$ будет представлять нормальный потенциал металла, выраженный в шкале нулевых точек (где ε^0 — заданный потенциал системы и $\varepsilon_{q=0}$ — потенциал нулевого заряда металла, выраженный по водородной шкале). Очевидно, что знак заряда металла будет определяться этим знаком величины φ_0 . Л. И. Антропов приводит ряд металлов, которые располагаются по величине φ_0 в следующей последовательности (таблица):

Из таблицы следует, что металлы железной группы имеют наиболее отрицательные значения φ_0 . При этом предполагается, что особое положение металлов железной группы в приводимом ряду связано, в основном, со строением двойного электрического слоя: при $\varphi_0 < 0$ поверхность металла заряжена отрицательно (рис. 1, а), и поэтому на ней адсорбируются положительно заряженные ионы, которые в процессе электролиза препятствуют восстановлению ионов металла. Когда $\varphi_0 > 0$ (рис. 1, б), поверхность металла заряжается положительно, на ней концентрируются отрицательные ионы, облегчающие восстановление ионов металла. Из приведенной таблицы видно, что разность значений φ_0 для никеля и ртути составляет около 1,4В, т. е. что восстановление ионов

Металл	Ni	Fe	Zn	Sn	Cd	Cu	Bi	Pb	Te	Ag	Hg
φ_0 (расч.)	-0,44	-0,44	-0,31	0,2	0,2	0,33	0,35	0,54	0,57	0,8	1,0
φ_0 (опр.)	-0,23	-0,77	-0,31	0,2	0,3	0,22	0,6	0,56	0,42	0,8	1,0

никеля на ртутном электроде должно облегчаться по сравнению с выделением никеля на одноименном катоде. Для проверки подобного представления изучалось электроосаждение металлов железной группы на твердом и жидком ртутных электродах.

Экспериментальная часть

Исследования проводились в сернокислых растворах никеля, кобальта и железа, приготовленных из перекристаллизованных солей. Электролиз проводился при 25°. При измерении величин поляризации в качестве электрода сравнения использовался насыщенный каломельный полуэлемент. Величина поляризации определялась как компенсационным, так и быстрым методом [3]. Поляризационные кривые снимались в условиях высоких выходов металла по току для устранения влияния выделяющегося водорода на величину определяемой поляризации.

На рис. 2 представлены поляризационные кривые $\varphi_k = f(i_k)$, снятые при электроосаждении никеля, кобальта и железа на твердых одноименных катодах. Из приведенных кривых видно, что потенциал выделения при $i_k = 20 \text{ mA/cm}^2$ составляет для Co 700 mV, для Ni 920 и Fe 1000 mV и незначительно меняется с плотностью тока.

Для сравнения результатов, полученных на твердом и жидком электродах, снимались поляризационные кривые при электроосаждении Ni, Co и Fe на ртути. Катодом служила очищенная неподвижная ртуть по поверхности 2 cm^2 .

На рис. 3 представлены поляризационные кривые, снятые при осаждении металлов железной группы в тех же условиях опыта на ртутном катоде. Как следует из кривых, потенциал выделения при той же плотности тока, равной 20 mA/cm^2 , составляет для Ni 1120 mV, Co 1320 mV и Fe 1400 mV.

При сравнении кривых, представленных на рис. 3 и 2, видно, что потенциал выделения никеля, кобальта и железа на ртути намного больше, чем на твердых катодах. Повышение потенциала выделения на ртути составляет для Ni 200 mV, Fe 400 mV и Co 620 mV.

Аналогичные данные повышения потенциала выделения никеля на ртутном катоде по сравнению с восстановлением ионов Ni на никелевом электроде имеются в работе Гардама [4]. Последнее свидетельствует о том, что выделение металлов железной группы на ртути протекает значительно труднее, чем на твердых одноименных катодах. Необходимо отметить, что высокое значение поляризации никеля, кобальта и железа на ртути нельзя объяснить на основании величины и знака заряда электрода. В частности, если считать, что задержка восстановления ионов на ртути связана, в основном, со строением двойного слоя, то можно было бы ожидать отсутствия торможения процесса, так как разряд ионов никеля протекает в области нулевого заряда поверхности ртутного электрода. По крайней мере восстановление ионов никеля на ртути должно протекать значительно быстрее, чем на одноименном электроде, поскольку φ_0 никелевого электрода, согласно [2], намного отрицательнее ртутного. Однако из эксперимента следует обратное.

Очевидно, что повышенное значение потенциала выделения на ртути не связано также и с состоянием ионов в растворе, так как оно не зависи-

от природы подкладки катода. Значительная поляризация, приписываемая металлам железной группы вследствие высокой энергии гидратации их ионов, по-видимому, не является в данном случае решающим фактором, а главную роль играют природа металла катода и его поверхностное состояние. Значительное увеличение потенциала выделения металлов железной группы на ртутном катоде, по всей вероятности, обусловлено тем, что никель, кобальт и железо незначительно растворяются в ртути, и их выделение происходит практически на инертной чужеродной подкладке, требующей дополнительной затраты работы на выделение металла.

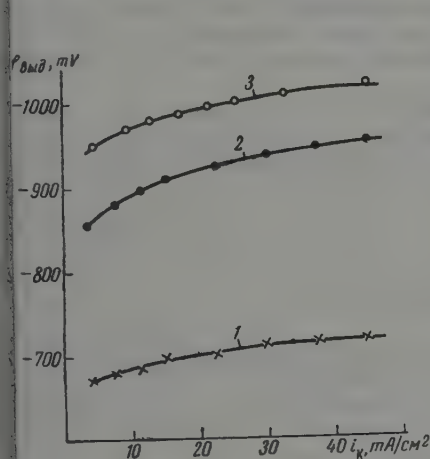


Рис. 2

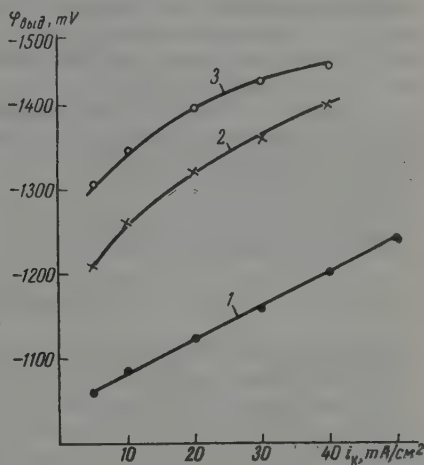


Рис. 3

ис. 2. Поляризационные кривые, снятые при электроосаждении кобальта, никеля и железа на одноименных твердых катодах из растворов: 1 — 1 N CoSO₄, pH 3,7; 2 — 1 N NiSO₄ + 10 г/л (H₃BO₃ + NaCl), pH = 4,7, $\varphi_{\text{стап}} = -548$ мВ; 3 — 1 N FeSO₄, pH = 2,4, $\varphi_{\text{стап}} = -710$ мВ.

ис. 3. Поляризационные кривые, снятые при электроосаждении металлов железной группы на жидком ртутном катоде: 1 — 1 N NiSO₄ + 10 г/л (H₃BO₃ + NaCl), pH = 4,4; 2 — 1 N CoSO₄, pH = 3,7; 3 — 1 N FeSO₄, pH = 2,4.

Последовательность расположения металлов железной группы по потенциалу выделения на ртутном электроде нельзя объяснить растворимостью этих металлов в ртути. Растворимость в ртути несколько увеличивается от железа к кобальту, а степень затруднения при их выделении меняется в другой последовательности — Ni < Co < Fe, т. е., несмотря на лучшую растворимость кобальта в ртути по сравнению с никелем, потенциал его выделения на ртути больше, чем у никеля. В результате значительного затруднения выделения металлов железной группы на ртути, по сравнению с их выделением на одноименной подкладке, процесс электроосаждения никеля, кобальта и железа на ртутном катоде протекает лишь на отдельных его участках. Последнее можно отчетливо наблюдать под микроскопом. Когда на отдельных участках ртути выделится некоторое количество металла, то дальнейшее осаждение идет только на этих участках, а не по всей поверхности катода. Выделение металла на отдельных участках катода затрудняет учет истинной плотности тока и, следовательно, определение точной зависимости φ_k от i_k . Электроосаждение металла на отдельных участках поверхности электрода показывает прежде всего, что выделение никеля, кобальта и железа на ртути зна-

чительно затруднено, по сравнению с их выделением на одноименных катодах.

Таким образом, эти опыты показывают, что, несмотря на предполагаемое облегчение выделения металлов железной группы на ртутном катоде, исходя из значений φ_0 и знака заряда поверхности ртути, наблюдаются противоположные результаты.

Выводы

1. Показано, что выделение никеля, кобальта и железа на ртутном электроде значительно затруднено, по сравнению с выделением этих металлов на твердых одноименных электродах. Металлы по степени их затруднения выделения на ртутном катоде располагаются в следующей последовательности: $Ni < Co < Fe$.

2. Показано, что при электроосаждении металлов железной группы на ртути задержка разряда ионов никеля, кобальта и железа не может быть объяснена на основании представлений о величине и знаке заряда поверхности катода.

Академия наук СССР
Институт физической химии

Поступила
1.XI.1958

ЛИТЕРАТУРА

1. С. В. Горбачев, Ю. Н. Юркевич, Ж. физ. химии, 28, 1120, 1954; 30, 922, 1956; Н. Т. Кудрявцев, В. Т. Федуркин, Блестящее никелирование, Росгизместпром, М., 1951; А. А. Ротинян, В. Я. Зельдес, Ж. физ. химии, 28, 73, 1954; Ю. В. Баймаков, Тр. Ленингр. политехн. ин-та, 6, 1953; F. Foerster, Z. Elektrochem., 16, 621, 1910; 22, 85, 1917; 24, 236, 1918.
2. Л. И. Антропов, Успехи химии, 25, 1043, 1956.
3. А. Т. Ваграмян, Электроосаждение металлов, Изд-во АН СССР, М., 1950; Н. Т. Кудрявцев, Ж. физ. химии, 23, 549, 1949.
4. G. Gardam, Disc. Faraday Soc., 1, 182, 1947.

POLARIZATION IN THE ELECTRODEPOSITION OF NICKEL, COBALT AND IRON ON A SOLID AND LIQUID CATHODE

A. P. Popkov, N. L. Klimashenko and A. T. Vagramyan (Moscow)

Summary

A study has been made of the cathode polarization in the electrodeposition of metals of the iron groups on solid electrodes of the same species as the deposited metal and on a liquid mercury electrode. The deposition of nickel, cobalt and iron on the mercury electrode has been found to be considerably hindered in comparison with deposition of these metals on solid cathodes of the same species. In respect of the degree of hinderance to deposition on the mercury cathode the metals arrange themselves in the following order: $Ni < Co < Fe$. It has been suggested that the considerable rise in deposition potential on the mercury electrode is not associated with the charge on the mercury surface, but rather by the necessity of additional work in reducing nickel, cobalt and iron ions on a foreign, inert underlayer.

МОДЕЛЬНОЕ ИЗУЧЕНИЕ РЕГЕНЕРАЦИИ АЛЮМОСИЛИКАТНЫХ КАТАЛИЗАТОРОВ КРЕКИНГА

III. ДИФфуЗИОННАЯ КИНЕТИКА ВЫГОРАНИЯ ВНУТРЕННЕГО КОКСА И ВЛИЯНИЕ ПОРИСТОЙ СТРУКТУРЫ КАТАЛИЗАТОРА НА СКОРОСТЬ ПРОЦЕССА

Д. П. Добычин и Ц. М. Клибанова

Как было нами показано ранее [1, 2], около половины общего количества кокса, отлагающегося при крекинге на мелкопористых шариковых алюмосиликатных катализаторах, находится на поверхности шариков и в слое, непосредственно к ней прилежающем (до 0,1 мм глубиной). Горение этого кокса протекает во внешней кинетической области. По мере выгорания наружного кокса и перехода процесса в объем шарика (в его поры) скорость процесса падает, и он начинает протекать во внутренней диффузионной области.

Изучив распределение кокса в шарике [1] и кинетику выгорания внешнего кокса [2], мы рассмотрели диффузионную кинетику выгорания внутреннего кокса и связанное с этим влияние пористой структуры катализатора на скорость этого процесса. Для освещения этого вопроса нами при помощи описанной ранее модельной методики [1] были проведены измерения скорости выгорания кокса из отдельных шариков алюмосиликатного катализатора с различной пористой структурой. Последняя была определена в нашей лаборатории Т. Ф. Целлинской и И. Л. Ногид посредством измерения адсорбции бензола на отдельных не разрушенных частицах катализатора (шариках, таблетках) при помощи специально построенной вакуумной установки объемного типа.

Экспериментальная часть

В опытах были использованы следующие образцы катализаторов.

Шарик № 1 — образец стандартного мелкопористого катализатора с большим кажущимся удельным весом.

Шарик № 2 — также обладал сравнительно мелкопористой структурой и высоким кажущимся удельным весом.

Шарик № 3 — обладал развитой пористой структурой и малым кажущимся удельным весом и являлся по сравнению с шариками № 1 и № 2 широкопористым.

Образцы № 2 и № 3 были предоставлены нам Э. М. Кагановой и Б. Л. Молдавским.

Образец № 4 — по сравнению с № 3 обладал менее развитой пористой структурой, вдвое меньшей удельной поверхностью и пониженным содержанием мелких и переходных пор, но был более крупнопористым, чем шарик № 1 и № 2.

Кроме шариковых катализаторов ставились также опыты и с таблетированным катализатором Гудри.

Данные о пористой структуре использованных образцов приведены в табл. 1.

Выжигание кокса из шариков проводилось при 600°, а из таблетки (Гудри) при 500°. На рис. 1, на котором приведены кинетические кривые

выгорания кокса в этих опытах, видно, что начальные участки кинетических кривых выжигания кокса из разных шариков близко совпадают друг с другом. Это естественно, так как начальные участки кинетических кривых соответствуют горению поверхностного слоя кокса, скорость

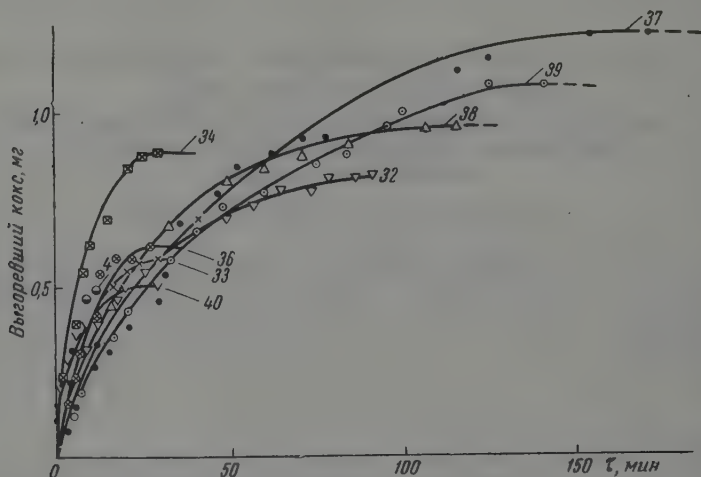


Рис. 1. Кинетические кривые выжигания кокса из алюмосиликатных шариковых катализаторов при 600°. Нумерация опытов соответствует табл. 1

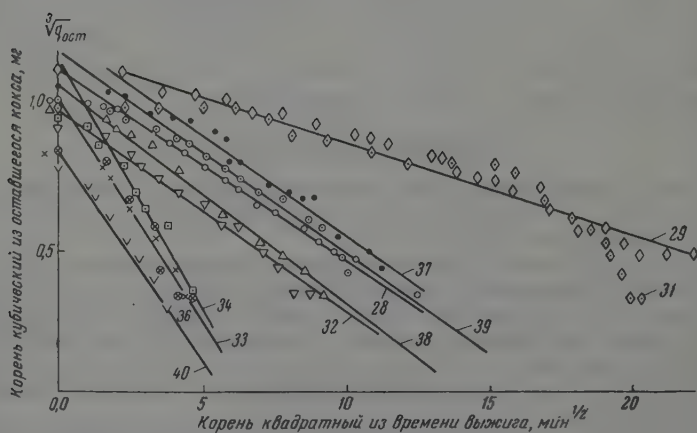


Рис. 2. Зависимость $q_{ост}^{1/4}$ от $\tau^{1/2}$. Нумерация опытов соответствует табл. 1

которого не связана с пористой структурой частицы. По мере продвижения зоны горения в глубь частицы скорость процесса начинает зависеть от пористой структуры последней и падает тем быстрее, чем более мелкопорист катализатор.

На рис. 2 на основании экспериментальных данных представлена зависимость скорости выгорания кокса из частиц катализатора, отнесенная

Таблица 1

Шарика	№ опыта	$\frac{\delta_{\text{каж}}}{\delta_{\text{ист}}}$	$S, \text{ м}^2/\text{г}$	Объемы пор, $\text{см}^3/\text{г}$ диаметром		Распределение объема по диаметрам, %		$V_{30-150\text{А}}$ $V_{30\text{А}}$	$D^* \cdot 10^3, \frac{\text{см}^2}{\text{сек}}$
				до 30 А	от 30 до 150 А	до 30 А	30—150А		
1	37	0,57	264	0,158	0,09	64	36	0,56	1,3
1	39	0,57	264	0,153	0,09	64	36	0,56	1,5
2	32	0,49	172	0,11	0,10	52	48	0,92	1,0
2	38	0,49	172	0,11	0,10	52	48	0,92	1,0
3	40	0,36	309	0,181	0,434	30	70	2,3	5,0
4	33	0,39	158	0,09	0,283	25	75	3	5,2
4	34	0,39	158	0,09	0,283	25	75	3	6,4
4	36	0,39	158	0,09	0,283	25	75	3	6,0

Примечание: $\delta_{\text{каж}}$ и $\delta_{\text{ист}}$ — кажущийся и истинный удельный вес шарика; S — удельная поверхность; D^* — эффективный коэффициент диффузии кислорода в шарике. Опыты проводились при 600°C в потоке воздуха.

единице их внешней поверхности ($w, \text{мг}/\text{см}^2 \text{сек}$), от количества оставшегося в них кокса ($q, \text{мг}$). Кривые опытов 3 и 4 относятся к таблетке, остальные — к шарикам и, в соответствии с различием в их пористой структуре, расходятся между собой. В начальный период процесса, пока кокса много (больше 50% от начального количества), скорость его горения велика. По достижении степени регенерации порядка 50% скорость процесса заметно уменьшается. В пределах последних остающихся 30% кокса она становится незначительной и меняется слабо.

Полученные результаты, вместе с данными о распределении кокса на поверхности и в глубине шарика, позволяют утверждать, что с большой скоростью горит именно поверхностный кокс. В целом наблюдаемые факты, равно, как и результаты работы Г. М. Панченкова и Н. В. Гомиванова [3], свидетельствуют о том, что последующее замедление выгорания кокса вызывается диффузионным торможением при переходе зоны горения в глубь пористой частицы катализатора. В этих условиях процесс начинает протекать во внутренней диффузионной области, и его скорость определяется скоростью диффузии кислорода внутрь частицы к зоне горения. Чем меньше радиус частицы катализатора, тем резче будет проявляться диффузионное торможение процесса, тем меньше будет его скорость. Поскольку общая продолжительность выгорания кокса из частицы катализатора определяется в основном временем выгорания внутреннего кокса, возникает необходимость в анализе этого процесса, аналогичного процессу горения высокозольного угля, при котором на поверхности сгорающего куска нарастает пористый слой инертных продуктов (зола).

Кинетика горения зольного угля и ряд связанных с нею вопросов достаточно строго и подробно разобраны В. И. Блиновым [4], Л. А. Вулицким [5], а также М. А. Гуревичем, И. И. Палеевым и Ю. А. Тимошихиным [6]. Суммарное сопротивление стадийного процесса горения частицы угля, покрытой пористой оболочкой золы, равно сумме сопротивлений отдельных стадий процесса: диффузии кислорода из газового потока к поверхности частицы, диффузии сквозь пористую оболочку золы и собственно химического взаимодействия кислорода с углем. В зависимости от условий та или иная стадия может становиться определяющей, что влечет за собой и соответственное изменение кинетических закономерностей процесса.

В работе В. И. Блинова [4] дано строгое решение для трех основных случаев: пласта (одностороннее горение), стенки (двухстороннее горение) и шара.

В нашем случае оказывается возможным освободиться от сложности строгого решения посредством приближенного решения в граничных условиях при некоторых упрощающих предположениях, основанных на результатах [1, 2].

1. Концентрация кислорода на поверхности шарика не отличается от таковой в потоке (внешняя кинетическая область).

2. За границей выгоревшей зоны концентрация кислорода равна нулю и горение идет послойно.

3. Кокс в пористой толще шарика распределен равномерно.

Проводя решение для случая не слишком больших глубин, т. е. рассматривая задачу как одномерную линейную, мы получили уравнение

$$r_k = r_{ш} - 2\gamma \sqrt{D^* t}, \quad (1)$$

где $r_{ш}$ — радиус шарика, r_k — радиус закоксованной зоны в момент времени t , D^* — эффективный коэффициент диффузии кислорода в пористой толще шарика, $\gamma = \sqrt{c_0}/2q = x/2\sqrt{D^* t}$, x — координата направления диффузионного потока, c_0 — содержание O_2 в потоке, q — количество кокса в единице объема шарика, выраженное в количестве кислорода, необходимого для его сгорания. Наш результат сходен с результатом строгого решения, проведенного В. И. Блиновым [4] как для случая плоской стенки, так и для шара в случае не слишком больших толщин выгоревшего слоя и в предположении, что лимитирующей стадией процесса является внутренняя диффузия. Величина D в уравнении В. И. Блинова имеет тот же смысл эффективного коэффициента диффузии в объеме зольной оболочки, что и наш D^* — эффективный коэффициент диффузии кислорода в пористой толще алюмосиликатного катализатора. Впервые эта величина была введена Я. Б. Зельдовичем [7].

Как было показано [1], концентрация кокса в шарике одинакова по его объему. Начальное и конечное количество кокса в шарике равно

$$q_0 = c_n \frac{4}{3} \pi r_{ш}^3; \quad q_k = c_k \frac{4}{3} \pi r_k^3, \quad (2)$$

q_0 — начальное, q_k — остаточное количество кокса (миллиграммы) в закоксованной зоне шарика, r_k — ее радиус, c_n , c_k — начальная и текущая концентрация кокса в шарике ($мг/см^3$) соответственно.

Поэтому, если не учитывать наружный слой кокса,

$$c_n = c_k; \quad \frac{q_k}{q_0} = \left(\frac{r_k}{r_{ш}} \right)^3 \quad (3)$$

и, учитывая (1),

$$q_k^{1/3} = q_0^{1/3} - \frac{2q_0^{1/3}}{r_{ш}} \sqrt{\frac{c_0}{2q}} D^* t = q_0^{1/3} - \alpha \sqrt{t}. \quad (4)$$

Из величины α , равной тангенсу угла наклона прямой $q_k = f(\sqrt{t})$ легко вычислить зависящее от пористой структуры катализатора значение величины эффективного коэффициента диффузии D^* , так как остальные величины определяются экспериментально:

$$D^* = \frac{\alpha^2 r_{ш}^2 q}{2 c_0 q_0^{2/3}}, \quad (5)$$

δ — вес кислорода в 1 см³ воздуха при условиях опыта. При 600° $\delta_0 = 0,94 \cdot 10^{-4}$ г/см³. Вес кислорода, требующийся для сжигания кокса в 1 см³ закоксованного катализатора, $q = \frac{32}{12} n \delta \cdot 10^{-2} \frac{\text{г кислорода}}{\text{см}^3 \text{ объема шарика}}$, где 32 и 12 — молекулярный вес кислорода и атомный вес углерода, n — степень закоксованности шарика (вес.%), δ — кажущийся удельный вес шарикового катализатора, равный для стандартного образца $= 1,4$ г/см³.

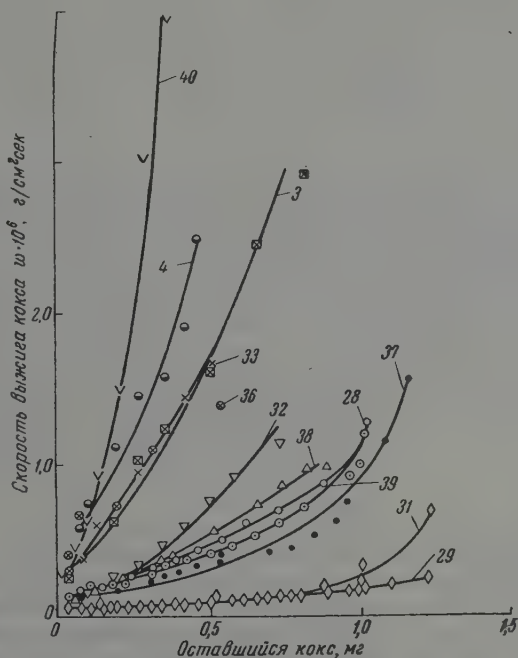


Рис. 3. Зависимость скорости выжигания кокса от количества оставшегося кокса. Нумерация опытов соответствует табл. 1 и 2

Экспериментальные данные, сведенные на рис. 3, вполне удовлетворительно подчиняются уравнению (4), что подтверждает как результаты работы Г. М. Панченкова и Н. В. Голованова [3], так и наши данные [1] о том, что горение внутри шарикового катализатора при температурах порядка 600° протекает во внутренней диффузионной области. Естественным является отклонение от прямой $\sqrt[3]{q_k} - \sqrt{t}$ (рис. 3) начальных точек, отвечающих горению поверхностного кокса. Однако эта стадия быстро заканчивается, и общая продолжительность процесса, как указывалось выше, определяется, в основном, медленным диффузионным выгоранием внутреннего кокса согласно (4).

Таблетированный катализатор, содержащий кроме мелких и средних и значительное количество крупных транспортных пор, регенерируясь, естественно, по иным законам. График $\sqrt[3]{q_k} - \sqrt{t}$ (рис. 4), построенный по данным опыта 4 с единичной таблеткой, показывает, что кинетика выгорания кокса из таблетированного катализатора при 500° не может быть описана уравнением (4). Такой результат естествен, так как, по

Таблица 2

Регенерация шарика № 2 при разной начальной степени закоксованности и различном составе газовых смесей $O_2 - N_2 - CO_2$

№ опыта	q_0 , мг	Состав газовой смеси, %			Время полного выгорания $\tau_{100\%}$, мин.	$\tau_{100\%} (\%O_2) \cdot 10^{-3}$ q_0	$D^* \cdot 10^3$, $\frac{cm^2}{сек}$
		O_2	N_2	CO_2			
32	0,809	21	79	0	79	2,1	1,0
38	0,964	21	79	0	105	2,3	1,0
28	1,231	18	72	10	103	1,5	1,2
29	1,270	4	82	14	584	1,8	1,4
31	1,387	4	96	0	585	1,7	1,3

данным Г. М. Панченкова и Н. В. Голованова, выгорание кокса из таблетированного катализатора при температурах до 520° протекает во внутренней кинетической области, что исключает возможность послойного течения процесса.

В табл. 1 и 2 приведены значения эффективного коэффициента диффузии D^* в шариках с различной пористой структурой по данным опытов, проводившихся на этих шариках в воздухе и в смесях $O_2 - N_2$ с различным содержанием CO_2 . Прежде всего отметим, что абсолютные значения наблюдаемых величин D^* являются дополнительным доказательством диффузионного характера процесса. Колеблясь от 0,001 до $0,0064 \text{ см}^2/\text{сек}$, величина D^* , как и следовало ожидать, оказывается значительно меньше величины коэффициента диффузии кислорода в воздухе при тех же условиях, равной $\sim 1,7 \text{ см}^2/\text{сек}^*$. Существенно при этом, что D^* , по сравнению с D , падает не пропорционально уменьшению свободного сечения (экранированию диффузионного потока стенками пор катализатора). Объемная пористость исследованных катализаторов колеблется в пределах 0,6—0,75, что, при отсутствии специфических осложнений, должно было бы вызывать уменьшение коэффициента диффузии лишь в 1,3—

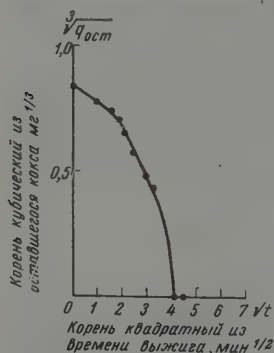


Рис. 4

1,7 раза, а не в $\sim 270 \div 1700$ раз, как это имеет место здесь. Причиной столь малых величин эффективного коэффициента диффузии является малый размер алюмосиликатных катализаторов. Как известно [9], в тех случаях, когда длина свободного пробега молекул становится сравнимой с диаметром пор или превосходит его (кнудсеновская область), величина коэффициента диффузии пропорциональна диаметру пор. Измерения величины эффективного коэффициента диффузии водяных паров через пористые стекла [10], подтверждающие эту закономерность, также обнаружили падение величины коэффициента диффузии в порах диаметром от ~ 70 до $\sim 4000 \text{ \AA}$ до значений того же порядка (от 0,008 до $0,044 \text{ см}^2/\text{сек}$), что и наблюдаемые в настоящей работе.

Величина эффективного коэффициента диффузии, как и следовало ожидать, растет с увеличением количества средних пор (см. табл. 1,

* Вычислено по уравнению $D = D_0 (T/T_0)^{1,75}$ при $D_0 = 0,181 \text{ см}^2/\text{сек}$ для диффузии кислорода в азоте [8].

рики № 3 и № 4 по сравнению с шариками № 1 и № 2). Однако основное значение для величины D^* , а с нею и для скорости процесса, имеет, видимо, не абсолютная величина объема мелких или средних пор, а их отношение. Изменение величины $V_{30-150 \text{ \AA}}/V_{30 \text{ \AA}}$ от 0,56 до 3,0, т. е. в 4,4 раза, соответствует росту величины D^* от $\sim 1,4$ до $\sim 5,9$ (средние значения), т. е. в 4,2 раза, что довольно близко в прямой пропорциональности. Во всяком случае полученные данные свидетельствуют о том, что величиной D^* можно пользоваться, в первом приближении, как научно обоснованной характеристикой скорости регенерации данного шарикового катализатора, его регенерационной способности.

Колебания значений величины D^* (табл. 2) не превышают 20%, что выходит за общие пределы точности эксперимента и последующих расчетов.

Учитывая значительные различия в составе газовых смесей (от 4 до 2% O_2 и от 0 до 14% CO_2), такое постоянство результатов определения величины D^* подтверждает вывод о том, что она является обоснованной характеристикой регенерационной способности катализатора в той мере, в какой скорость выгорания из него кокса определяется его пористой структурой. Кроме того, этот результат подтверждает также наш вывод о том, что скорость выгорания кокса при исследуемых температурах не зависит от концентрации CO_2 до 14 объемн.% [2].

В работах В. И. Блинова [4] и Л. А. Вулиса [5] было показано, что для полного выгорания кокса из частицы зольного угля ($\tau_{100\%}$) пропорционально содержанию углерода (плотности ρ , соответствующей степени закоксованности q_0 в наших опытах) и обратно пропорционально концентрации кислорода в газовой смеси (% O_2):

$$\frac{\tau_{100\%} (\% O_2)}{q_0} = \text{const.} \quad (6)$$

В соответствии с этим, приведенные в табл. 2 значения величины $\tau_{100\%} (\% O_2)/q_0$ в различных опытах оказываются довольно близкими. Наблюдающиеся колебания (1500—2300), очевидно, вызываются тем, что объемная концентрация углерода в грануле закоксованного катализатора, в отличие от куска угля, не является одинаковой: как было показано [1], значительная часть (до 50% и более) кокса находится на поверхности гранул шарикового катализатора, а доля внутреннего кокса растет с увеличением общей степени закоксованности. Однако вызываемые этим колебания величины $\tau_{100\%} (\% O_2)/q_0$ невелики, и экспериментальные данные, подтверждая найденную В. И. Блиновым, а также Л. А. Вулисом закономерность, убедительно свидетельствуют о том, что выгорание внутреннего кокса из шарикового катализатора, действительно, протекает во внутренней диффузионной области, а величина эффективного коэффициента диффузии может служить мерой скорости регенерации шарикового алюмосиликатного катализатора.

В заключение авторы выражают искреннюю признательность О. М. Бесу за ряд ценных советов при обсуждении результатов работы.

Выводы

1. На основании полученных ранее данных о протекании выгорания кокса из шарикового алюмосиликатного катализатора во внутренней диффузионной области и устанавливаемом при этом послойном режиме процесса, для характеристики регенерируемости алюмосиликатных катализаторов введена величина эффективного коэффициента диффузии кислорода внутри зерна катализатора, и посредством приближенного решения выведено выражение, позволяющее определять эту величину из экспериментальных данных.

2. Величина эффективного коэффициента диффузии D^* зависит от пористой структуры регенерируемого катализатора и растет с увеличением объема средних пор.

3. Показано, что величина эффективного коэффициента диффузии и длительность регенерации, в основном, определяются соотношением объемов мелких и средних пор.

Ленинградский институт
по переработке нефти

Поступила
10.XI.1958

ЛИТЕРАТУРА

1. Д. П. Добычин и Ц. М. Клибанова, Ж. физ. химии, **33**, 869, 1959.
2. Д. П. Добычин и Ц. М. Клибанова, Ж. физ. химии, **33**, 1023, 1959.
3. Г. М. Панченков, Н. В. Голованов, Изв. АН СССР, Отд. техн. и физ. науки, № 10, 1513, 1954; Н. В. Голованов, Диссертация, М., 1948.
4. В. И. Блинов, Докл. АН СССР, **52**, 511, 1946.
5. Л. А. Вулис, Ж. техн. физики, **16**, 95, 1946.
6. М. А. Гуревич, И. И. Палеев, Ю. А. Тимошин, Ж. техн. физики, **24**, 599, 1954.
7. Я. Б. Зельдович, Ж. физ. химии, **19**, 163, 1939.
8. Справочник физ.-химич. и технол. величин, Техн. энциклопедия, т. VII, стр. 24.
9. Б. В. Дерягин, Докл. АН СССР, **53**, 627, 1946.
10. Д. П. Добычин, Ж. прикл. химии, **32**, 2336, 1959.

MODEL STUDIES OF THE REGENERATION OF ALUMOSILICATE CRACKING CATALYSTS

III. DIFFUSION KINETICS OF THE BURNING OUT OF THE INTERNAL CARBON AND THE EFFECT OF THE POROUS STRUCTURE OF THE CATALYST ON THE RATE OF THE PROCESS

D. P. Dobychin and Ts. M. Klivanova (Leningrad)

Summary

The burning out of the internal carbon from aluminosilicate bead catalysts is the slowest stage of the regeneration process and takes place in the internal diffusion region. As characteristic of the regenerative capacity (regeneration rate) of the catalysts (both with fine and coarse pores) the value of the effective coefficient of diffusion of oxygen D^* in the bead catalyst has been proposed. The method and results of determining D^* for beads of varying porous structure from data of experiments under simulation conditions have been presented. The value of D^* increases with increasing over-all volume of the medium sized pores (30—150 Å) and is mainly determined by the ratio of the volumes of medium and small (up to 30 Å) pores.

ИССЛЕДОВАНИЕ КИНЕТИКИ ЭЛЕКТРОХИМИЧЕСКИХ
ОКИСЛИТЕЛЬНО-ВОССТАНОВИТЕЛЬНЫХ РЕАКЦИЙ

1. ХАРАКТЕР ПОЛЯРИЗАЦИИ В СИСТЕМЕ БЕНЗОХИНОН-ГИДРОХИНОН

М. А. Лошкарев и Б. И. Томилов

Основные вопросы кинетики электродных процессов изучены главным образом на реакции катодного выделения водорода. Значительный экспериментальный и теоретический материал накоплен также для процессов электрокристаллизации и анодного растворения металлов. Что же касаясь электродных процессов, не сопровождающихся возникновением новой фазы, то они исследованы совершенно недостаточно, а теоретические предположения и выводы имеющихся работ часто крайне противоречивы. Между тем исследование таких процессов позволяет наиболее полно установить основные закономерности чисто электрохимической кинетики. Несмотря на то, что имеется ряд работ, посвященных изучению таких классических окислительно-восстановительных систем, как хинон — гидрохинон, $\text{Fe}^{3+} - \text{Fe}^{2+}$, $\text{Fe}(\text{CN})_6^{3-} - \text{Fe}(\text{CN})_6^{4-}$, $\text{J} - \text{J}^-$, единого взгляда на природу поляризации в них нет.

Ранее в электрохимической литературе была общепринята точка зрения, согласно которой названные системы обратимы в электрохимическом смысле, т. е. отклонение потенциала от равновесного значения при пропускании тока обусловлено только концентрационными изменениями в электродном слое. Считалось, что собственно электродный процесс протекает практически без торможения, во всяком случае на платинированном платиновом электроде [1].

Более поздними исследованиями было показано, что наряду с концентрационной имеет место и химическая поляризация. О. А. Есин и М. А. Лошкарев [2] объяснили природу химической поляризации при перезарядке ионов на основе теории замедленного разряда. Аналогичных принципов взглядов придерживались в дальнейшем другие исследователи [3]. Однако в последнее время С. В. Горбачев и О. Б. Хачатурян [4] обратились к первоначальному представлению в отношении систем $\text{Fe}(\text{CN})_6^{3-} - \text{Fe}(\text{CN})_6^{4-}$, $\text{Fe}^{3+} - \text{Fe}^{2+}$. Такую точку зрения можно принять лишь условно, как первое приближение к действительности. Известно, что всякое протекание тока во внешней цепи электрохимической ячейки влечет нарушение термодинамического равновесия, независимо от концентрационных условий, и должно сопровождаться тем или иным сдвигом потенциала по отношению к равновесному значению. Для таких систем, как $\text{Fe}(\text{CN})_6^{3-} - \text{Fe}(\text{CN})_6^{4-}$, $\text{Fe}^{3+} - \text{Fe}^{2+}$, $\text{J} - \text{J}^-$, химическая поляризация в части малых плотностей тока невелика, и в ряде случаев может казаться, что собственно электродный процесс протекает без торможения. Однако при увеличении плотности тока, соответствующем подборе материала электрода, состава раствора, температуры и т. п. она легко обнаруживается, что видно, в частности, и из опытных данных С. В. Горбачева и О. Б. Хачатурян [5].

Наличие химической поляризации для системы хинон — гидрохинон было показано еще Габером и Руссом [6]. Розенталь, Лорх и Гаммет [7]

на основе изучения влияния различных факторов на величину поляризации дали приближенное эмпирическое уравнение для зависимости плотности тока от потенциала, концентрации хинона, гидрохинона ионов водорода. Авторы ограничились, однако, только начальными участками поляризационных кривых. Левартович [8] при исследовании электролиза хингидрона также применял очень низкие плотности тока. Полученные опытные данные он истолковал на основе теории Одюбера [9].

В работе Феттера [11] электрохимическое поведение системы хинон-гидрохинон изучено в широком интервале плотностей тока, вплоть до предельных. Феттер считает, что к объяснению электрохимических процессов в системе хинон — гидрохинон применима развитая им теория перенапряжения, в основе которой лежит представление о наличии нескольких потенциалопределяющих ступеней.

В работе С. В. Горбачева и Хр. Ив. Нонински [11] впервые изучалось влияние температуры на электрохимические процессы в системе хинон — гидрохинон. Авторы подтвердили, что в определенной области плотности тока зависимость $\Delta\varphi - \lg i$ имеет линейный характер, однако они не сделали определенных заключений о природе химической поляризации.

В настоящей работе предпринято дальнейшее изучение электрохимических процессов в системах типа хинон — гидрохинон с целью выяснения природы поляризации и ее зависимости от основных факторов электролиза.

Экспериментальная часть

Катодное восстановление хинона и анодное окисление гидрохинона изучалось на гладком и платинированном платиновом электродах. Были выполнены также отдельные опыты с золотым электродом.

Опыты проводились в стеклянном электролизе объемом 150 мл. Находящийся в центре электролизера рабочий электрод представлял собой платиновую пластину с видимой поверхностью в 10 см². Вспомогательные электроды располагались симметрично относительно главного и имели одинаковые размеры. Сосуд помещался в выносной теплообменник, соединенный с термостатом ТС-15. Измерения выполнялись в атмосфере азота при одинаковых гидродинамических условиях, что достигалось соблюдением постоянства скорости вращения мешалки (600 об./мин.).

Поляризация измерялась прямым компенсационным методом при помощи потенциометра ППТВ. Электродом сравнения служил насыщенный каломельный полуэлемент. Установка в целом позволяла определять потенциал электрода с точностью $\pm 0,1$ мВ. Сила поляризующего тока измерялась многопредельным милливольт-миллиамперметром типа М-82. Поляризационные кривые снимались по методу, предложенному С. В. Горбачевым и Хр. Ив. Нонински [11]: вслед за измерением анодной поляризации $\Delta\varphi_a$ определялась катодная $\Delta\varphi_k$ при той же плотности тока i . Значение равновесного потенциала контролировалось после каждого очередного замера.

Хингидрон (Q·H₂Q) марки «ч. д. а.» дополнительно перекристаллизовывался в 0,0001 N HCl при 70°, промывался дистиллированной водой и сушился при комнатной температуре [7]. Хинон (Q) марки «ч.» дважды возгонялся при атмосферном давлении. Гидрохинон (H₂Q) марки «в. с.» дважды возгонялся в вакууме.

Предварительная обработка гладкого Pt-электрода производилась нагреванием в хромовой смеси до 125°. После охлаждения электрод промывался дистиллированной водой и затем выдерживался в ней в течение получаса.

Золотой электрод готовился гальваническим осаждением на платине из 1%-ного цианистого электролита, содержащего избыток цианида. Перед измерениями электрод погружался на короткое время в нагретую до 100° HNO₃ (1 : 1), затем промывался дистиллированной водой и выдерживался в ней также полчаса.

Платинирование выполнялось обычным способом. Перед каждым опытом стартовый слой чернил снимался, и электрод платинировался заново.

Исследуемые растворы приготавливались непосредственно перед употреблением, освобожденной от кислорода дистиллированной воде. Q·H₂Q растворялся при 60° в Q и H₂Q — при комнатной температуре.

Раствор в электролизере в течение 30 мин. при перемешивании насыщался азотом. Измерения начинались или сразу после прекращения пропускания азота или через 6—12 час., что ниже специально оговаривается.

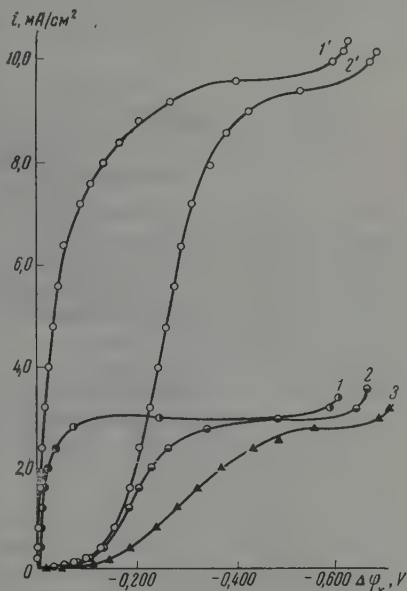
Фонем во всех опытах служила 0,1 N HCl.

Обсуждение результатов

На рис. 1 приведены зависимости $i - \Delta\varphi_K$ для гладкого, платинированного платинового и золотого электродов. Легко видеть, что поляризация в сильной степени зависит от материала электрода. Кривые на рис. 1 имеют ясно выраженные участки предельного тока I . Зависимость I от интенсивности размешивания указывает на его диффузионную природу.

На рис. 2 показаны катодные и анодные поляризационные кривые, снятые при различных концентрациях H_2Q . Как видно из последнего, во всех случаях значения катодного и анодного I_a предельных токов пропорциональны $c_{\text{Q}\cdot\text{H}_2\text{Q}}$, причем в среднем $I_K : I_a = 1,13$. По литературным данным [12], коэффициенты диффузии хинона и гидрохинона при 25°

рис. 1. Зависимость поляризации от материала электрода и размешивания. Скорость вращения мешалки 600 об./мин: 1 — Pt (Pt), 2 — Pt, 3 — Au. Скорость вращения мешалки 2700 об./мин: 1' — Pt (Pt), 2' — Pt, 3' — Au. $c_{\text{Q}\cdot\text{H}_2\text{Q}} = 0,01 \text{ M}$; 25°, время нахождения электрода в растворе (до измерений) 30 мин.



$0,1 \text{ N KCl} + 10^{-3} \text{ N H}_2\text{SO}_4$ равны, соответственно, $1,18 \cdot 10^{-5}$ и $99 \cdot 10^{-5} \text{ см/сек}$. По теории конвективной диффузии В. Г. Левича [13], для не очень больших чисел Рейнольдса (ламинарный поток) предельный диффузионный ток пропорционален $D^{2/3}$. В наших опытах условие строгой ламинарности потока не выполнялось, и такая зависимость, строго говоря, не может быть применена к ним. Из приведенных данных, однако, следует, что отношение коэффициентов диффузии Q и H_2Q в степени $2/3$ практически соответствует полученному отношению предельных токов. Пунктиром на рис. 2 показаны анодная и катодная зависимости $-\Delta\varphi$, рассчитанные по уравнениям чисто концентрационной поляризации для $c_{\text{Q}\cdot\text{H}_2\text{Q}} = 0,015 \text{ M}$:

$$\Delta\varphi_K = \frac{RT}{2F} \lg \left[\left(1 - \frac{i}{I_K} \right) / \left(1 + \frac{i}{I_a} \right) \right]; \quad (1)$$

$$\Delta\varphi_a = -\frac{RT}{2F} \lg \left[\left(1 - \frac{i}{I_a} \right) / \left(1 + \frac{i}{I_K} \right) \right]. \quad (2)$$

Из сравнения расчетных кривых с опытными видно, что при электролизе хингидрона наряду с концентрационной имеет место значительная химическая поляризация. Наиболее вероятной причиной последней в рассматриваемой системе является активационное торможение акта переноса электронов. Теория замедленного разряда в применении к окислительно-восстановительным системам с учетом обратного процесса и концентрационных изменений в приэлектродном слое дает следующую

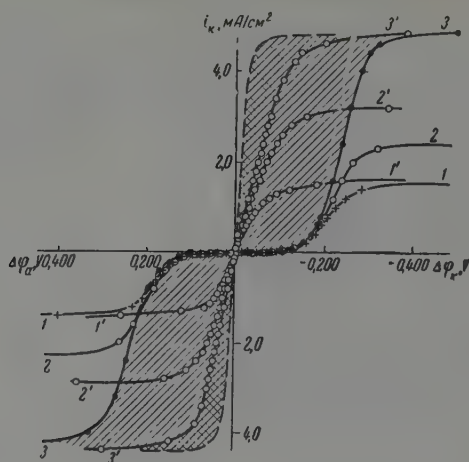


Рис. 2. Катодные и анодные поляризационные кривые для растворов с различной концентрацией хингидрона. Pt: 1 — 0,005; 2 — 0,0076; 3 — 0,015 М; Pt (Pt): 1' — 0,005; 2' — 0,010; 3' — 0,015 М; 25°, $\tau = 12$ час.

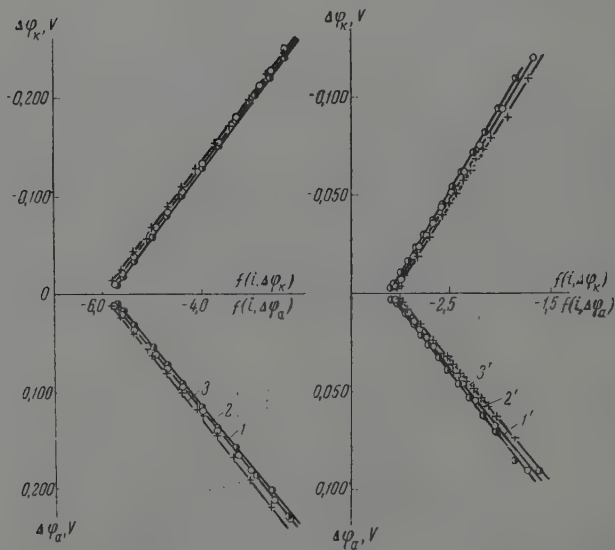


Рис. 3. Пересчет опытных данных рис. 2 в координатах $\Delta\phi - f(i, \Delta\phi)$. Обозначения те же, что и на рис. 2

зависимость между катодной поляризацией и силой тока:

$$\Delta\varphi_K = 2,303 \frac{RT}{\alpha n F} \lg i_0 - 2,303 \frac{RT}{\alpha n F} \left\{ \lg i - \lg \left[\left(1 - \frac{i}{I_K} \right) - \left(1 + \frac{i}{I_a} \right) \cdot 10^{-nF\Delta\varphi_K/2,303RT} \right] \right\}. \quad (3)$$

в случае анодного процесса уравнение преобразуется к виду

$$\Delta\varphi_a = -2,303 \frac{RT}{(1-\alpha)nF} \lg i_0 + 2,303 \frac{RT}{(1-\alpha)nF} \left\{ \lg i - \lg \left[\left(1 - \frac{i}{I_a} \right) - \left(1 + \frac{i}{I_K} \right) \cdot 10^{-nF\Delta\varphi_a/2,303RT} \right] \right\}. \quad (4)$$

Графическая проверка применимости уравнений (3) и (4) к опытным данным приведена на рис. 3. Здесь и в дальнейшем $f(i, \Delta\varphi_K)$ и $f(i, \Delta\varphi_a)$ представляют собой функции, заключенные в фигурные скобки формул (3) и (4). Экспериментальные точки в очень хорошем согласии с уравнениями укладываются на прямые линии во всем интервале плотностей тока. Найденные по наклону прямых кинетические коэффициенты для катодного (α) и анодного (β) процессов на гладком Pt-электроде в среднем равны, соответственно, 0,44 и 0,48, а на Pt(Pt)-электроде — 0,36 и 0,48. Расхождение в величинах α можно объяснить различным состоянием поверхности электродов. Кроме того, следует отметить, что при невысокой суммарной поляризации, имеющей место на Pt(Pt)-электроде, определение α и β менее точно. Сумма α и β несколько меньше единицы. Причины этого будут рассмотрены в следующей статье. Здесь лишь отметим, что на отклонение суммы α и β от единицы указывалось также в предыдущих работах [9, 10]. Катодные и анодные прямые пересекаются в одной точке на оси абсцисс, соответствующей значению тока обмена (i_0). Значения i_0 вычислялись нами также из наклона начальных прямолинейных участков кривых $i-\Delta\varphi$ (рис. 2) по зависимости

$$i_0 = i \frac{RT}{\Delta\varphi n F}. \quad (5)$$

Как видно из табл. 1, оба метода при $n=2$ дали практически совпадающие результаты.

Таблица 1

Токи обмена на гладком Pt-электроде (из расчета на видимую поверхность электрода)

Концентрация хингидрона, моль/л	i_0 из наклона начального участка кривых, А/см ²	i_0 из пересечения полулогарифмических прямых с осью абсцисс, А/см ²
0,0050	$1,12 \cdot 10^{-6}$	$1,12 \cdot 10^{-6}$
0,0076	$1,38 \cdot 10^{-6}$	$1,38 \cdot 10^{-6}$
0,0153	$1,02 \cdot 10^{-6}$	$1,04 \cdot 10^{-6}$

В табл. 1 обращает на себя внимание отсутствие прямой пропорциональности между током обмена и концентрацией хингидрона. Причины этого рассмотрены ниже.

На рис. 4 показаны зависимости $i-\Delta\varphi$ для катодного и анодного процессов при различных температурах.

На рис. 5 те же данные представлены в координатах $\Delta\varphi-f(i, \Delta\varphi)$. Во всех случаях наклон прямых возрастает с увеличением температуры

Таблица 2

Зависимость тока обмена и кинетических коэффициентов от температуры

Гладкий Pt-электрод, $c_{Q \cdot H_2O} = 0,010 M$

t°, C	α	β	$\alpha + \beta$	$i_0, A/cm^2$
5	0,43	0,48	0,91	$3,68 \cdot 10^{-7}$
15	0,43	0,48	0,91	$9,10 \cdot 10^{-7}$
25	0,44	0,48	0,92	$1,90 \cdot 10^{-6}$
35	0,43	0,48	0,91	$4,36 \cdot 10^{-6}$
45	0,44	0,49	0,93	$8,70 \cdot 10^{-6}$
60	0,44	0,49	0,93	$1,59 \cdot 10^{-5}$

в соответствии с изменением фактора $RT/2F$. Кинетические коэффициенты α и β при всех температурах сохраняют постоянные значения — в среднем 0,44 и 0,48. Как и ранее, катодные и анодные прямые пересекаются в одной точке (i_0). Ток обмена увеличивается примерно вдвое при повышении температуры на 10° (табл. 2).

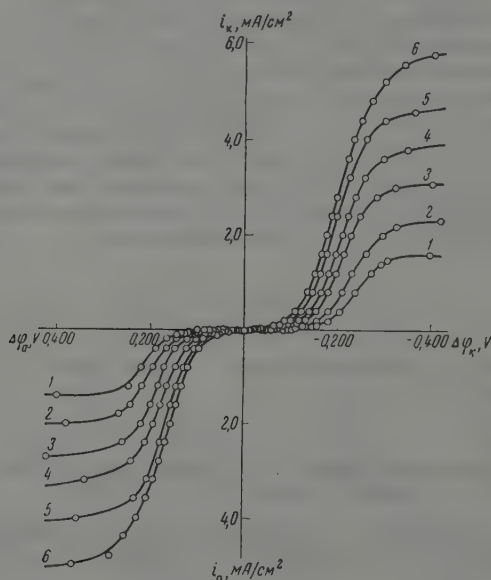


Рис. 4. Зависимость поляризации от температуры.
1 — 5° ; 2 — 15° ; 3 — 25° ; 4 — 35° ; 5 — 45° ;
6 — 60° ; $c_{Q \cdot H_2Q} = 0,01 M$, $\tau = 6$ час.

Из приведенных данных следует, что заключение Феттера [10] о наличии двух различных токов обмена для катодного и анодного процессов в системе $Q - H_2Q$ и основанные на этом выводы, получившие известное распространение, являются ошибочными. Возможность такой ошибки связана с некоторыми особенностями практического изучения поляризации в системе $Q - H_2Q$. Известно, что $Q \cdot H_2Q$, а также Q и H_2Q неустой-

вы в водном растворе при повышенной температуре даже в отсутствие кислорода воздуха. Продуктами разложения являются смолистые вещества гуминового типа переменного состава. Таким образом, изучаемый раствор в обычных условиях всегда в той или иной степени загрязнен примесями. В особенности это относится к хингидрону, перекристаллизованному при температуре около 70°C и растворяемому при нагревании. Цитированных выше работах отмечено далее, что поляризация в системе H_2Q зависит от времени контакта электрода с раствором. Однако не было сделано попыток выяснить причины этой зависимости, и перед измерениями электрод обычно длительное время выдерживался в исследуемом растворе, пока поляризация не становилась относительно постоянной [7, 10].

Нами был поставлен ряд опытов целью выяснить, чем обусловлено увеличение поляризации и уменьшение тока обмена во времени.

Прежде всего было изучено, как меняется i_0 (определяемый по начальному участку кривых $i - \Delta\varphi$) Рт-электрод в растворе хингидрона. Оказалось, что i_0 вначале уменьшается быстро, а затем все более медленно. Примерно через 6—8 час. электрод приходит в относительно устойчивое состояние, при котором ток обмена уменьшается за это время в 50—100 раз. Непродолжительная поляризация током выше предельного увеличивает i_0 приблизительно до первоначального значения. После выключения поляризующего тока i_0 вновь уменьшается.

С повышением концентрации $\text{Q} \cdot \text{H}_2\text{Q}$ уменьшение i_0 во времени протекает быстрее. Следовательно, при одной и той же продолжительности выдержки электрод, находящийся в контакте с более концентрированным раствором хингидрона, пассивируется в большей степени. Поскольку, с другой стороны, повышение концентрации хингидрона увеличивает ток обмена, результирующее значение последнего, как это видно из табл. 1, называется практически не зависящим от $c_{\text{Q} \cdot \text{H}_2\text{Q}}$.

Аналогичные измерения были выполнены для растворов, полученных медленным растворением при комнатной температуре хинона и гидрохинона в эквимолекулярном соотношении. Хотя в этом случае i_0 не остается постоянным во времени, изменение его было сравнительно очень мало и равномерно: 10—15% в час от первоначального значения. Такие же результаты были найдены при использовании хингидрона, полученного на холоду из чистых хинона и гидрохинона.

Из приведенных данных следует, что изменение i_0 и поляризации во времени определяются главным образом наличием примесей — продуктов разложения хинона и гидрохинона в растворе. При этом влияние примесей связано с их адсорбцией на электроде. На это, в частности, указывает отмеченное выше изменение i_0 после кратковременной катодной или анодной поляризации током, близким к предельному. При большом сдвиге потенциала относительно нулевой точки происходит десорбция примесей с электрода и, соответственно, возрастает i_0 .

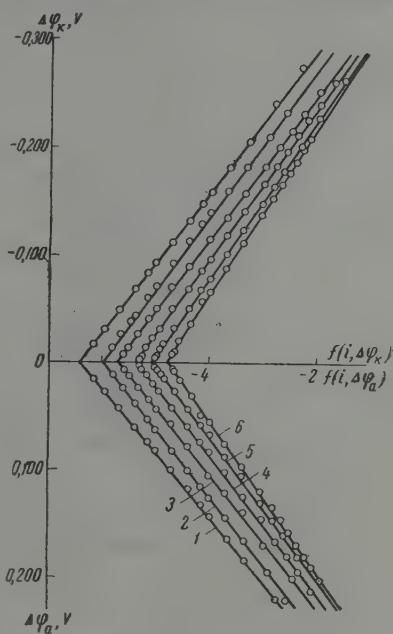


Рис. 5. Пересчет опытных данных рис. 4 в координатах $\Delta\varphi - f(i, \Delta\varphi)$. Обозначения те же, что и на рис. 4

Таким образом, полученные нами данные по электролизу хингидрона равно как и результаты измерений Розенталя, Лорха и Гаммета [7], относятся к сильно пассивированным за счет адсорбции электродам. Представляло поэтому интерес выполнить сравнительные измерения в условиях малой пассивации поверхности электродов.

На рис. 6 представлены зависимости $i - \Delta\varphi$ и соответствующие им прямые в координатах $\Delta\varphi - f(i - \Delta\varphi)$, снятые на гладком Pt-электрод

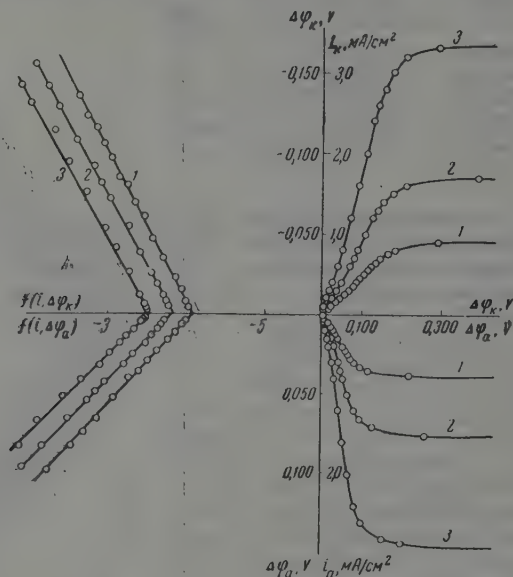


Рис. 6. Зависимость поляризации от концентрации хинона и гидрохинона ($c_Q = c_{H_2Q}$); 1 — 0,00275; 2 — 0,0055; 3 — 0,011 M; 25°, $\tau = 30$ мин.

в растворе хинона и гидрохинона (в эквимолекулярном соотношении). Измерения начинались через 30 мин. после погружения электрода в раствор, продолжительность измерений — около 30 мин. Можно видеть, что поляризация катодного и анодного процессов значительно меньше, чем в опытах с хингидроном при длительной выдержке электрода в растворе, а ток обмена при равновесном потенциале приблизительно на два порядка выше. Величины i_0 одинаковы при экстраполяции как с катодной, так и с анодной стороны и прямо пропорциональны концентрации $Q(H_2Q)$.

На рис. 7 показано, как изменяется $\Delta\varphi_k$ на гладком электроде при введении в раствор $Q - H_2Q$ незначительных количеств адсорбируемых добавок. Отчетливо видно, что добавление к раствору незначительного количества продуктов разложения (ПР) хингидрона (водный раствор $Q \cdot H_2Q$ выдерживался 3 часа при 90°) резко увеличивает поляризацию. Интересно отметить, что изменяется не только ток обмена, но и наклон полулогарифмических прямых, причем α и β принимают значения, аналогичные тем, которые получаются при электролизе хингидрона. Аналогичное действие оказывает введение некоторых других добавок. В качестве примера на рис. 7 показаны результаты измерений при введении в раствор продуктов окисления (ПО) пирагаллола и катионной высокомолекулярной добавки «выравнивателя А». Здесь также наряду с уменьшением тока обмена наблюдается изменение α и β .

Отмеченное торможение электрохимических процессов в системе хи-он — гидрохион за счет появления на электроде молекулярных адсорбционных слоев может быть истолковано в рамках теории замедленного течения на основе представлений, сформулированных А. Н. Фрумкиным [4]. Согласно А. Н. Фрумкину, константу k в общем кинетическом уравнении следует заменить на $k_1 = kf(\Gamma)$, где $f(\Gamma)$ — некоторая функция от

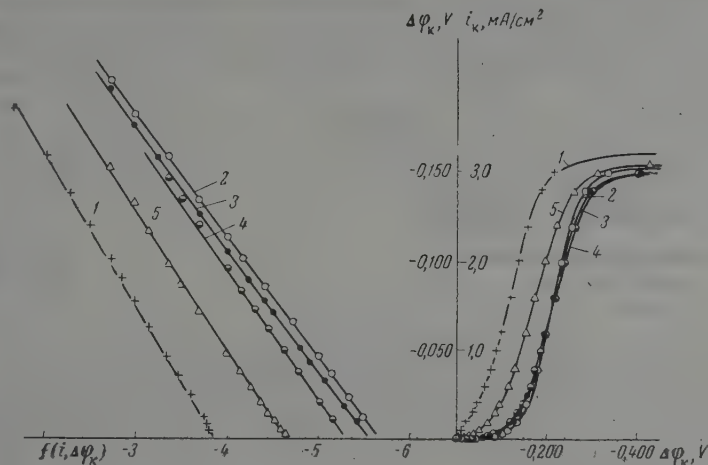


Рис. 7. Влияние адсорбции на поляризацию. 1 — $0,01 M Q + 0,01 M H_2Q$; 2 — $0,01 M Q + H_2Q$; 3 — $0,01 M Q + 0,01 M H_2Q + 0,05 \text{ г ПР}$; 4 — $0,01 M Q + 0,01 M H_2Q + 0,05 \text{ г А}$; 5 — $0,01 M Q + 0,01 M H_2Q + 0,05 \text{ г продуктов окисления пирогаллола}$

сорбированного количества Γ , удовлетворяющая условию $f(0) = 1$ и убывающая при возрастании Γ . В первом приближении

$$\frac{i'_0}{i_0} = f(\Gamma), \quad (6)$$

i'_0 — ток обмена в присутствии поверхностноактивных веществ, i_0 — ток обмена в стандартных условиях.

Если условно принять в качестве стандартных измерения в растворе H_2Q ($\tau = 30$ мин.), то можно ориентировочно рассчитать значения $f(\Gamma)$ для опытов с ясно выраженным влиянием адсорбции (кривые 2—5 рис. 7). Результаты расчетов представлены в табл. 3.

Таблица 3

Влияние адсорбции на кинетические параметры

Состав раствора	α	$i_r, A/cm^2$	$f(\Gamma)$
$0,01 M Q + 0,01 M H_2Q$	0,34	$1,38 \cdot 10^{-4}$	1,000
$0,01 M Q + H_2Q$	0,44	$2,34 \cdot 10^{-6}$	0,017
$0,01 M Q + 0,01 M H_2Q + 0,05 \text{ г ПР}$	0,44	$2,88 \cdot 10^{-6}$	0,022
$0,01 M Q + 0,01 M H_2Q + 0,05 \text{ г А}$	0,44	$5,13 \cdot 10^{-6}$	0,037
$0,01 M Q + 0,01 M H_2Q + 0,05 \text{ г ИО}$	0,40	$2,24 \cdot 10^{-5}$	0,162

Выводы

1. Изучена поляризация катодного и анодного процессов в систем Бензохинон — гидрохинон на гладком платиновом, платинированном платиновом и золотом электродах в зависимости от скорости размешивания электролита, концентрации хинона и гидрохинона (при эквимолекулярном соотношении), температуры.

2. Показано, что наряду с концентрационной на всех электродах имеет место и химическая поляризация, которая обусловлена торможением акта передачи электронов. Опытные данные хорошо согласуются с общим уравнением теории замедленного разряда во всем изученном интервале плотностей тока, начиная от очень малых значений (10^{-6} А/см²) и до предельных ($1 \cdot 10^{-3}$ — $5 \cdot 10^{-3}$ А/см²).

3. Показано влияние адсорбции на характер поляризационных кривых. Тормозящее действие адсорбционных слоев рассмотрено в рамках теории замедленного разряда.

Химико-технологический
институт

Поступила
15.XI.1958

ЛИТЕРАТУРА

1. S. Glasstone, *Electrolytic Oxidation and Reduction*, London, 1935.
2. О. А. Есин, М. А. Лощкарев, *Ж. физ. химии*, **13**, 794, 1939.
3. Л. И. Антропов, *Ж. физ. химии*, **15**, 768, 1941; K. J. Vetter, *Z. phys. Chem.*, **194**, 284, 1950; **195**, 270, 337, 1950; **196**, 360, 1951; **199**, 22, 300, 1952; *Z. Elektrochem.*, **55**, 121, 1951, 56, 931, 1952; **59**, 596 (1955); *Z. Naturforsch.*, **7a**, 328, 1952; J. V. Petroselli, *J. Electrochem. Soc.*, **98**, 187, 291, 1951.
4. С. В. Горбачев, О. Б. Хачатурян, *Ж. физ. химии*, **31**, 928, 2526, 1957; О. Б. Хачатурян, С. В. Горбачев, *Научн. докл. высш. шк.*, вып. 1, 19, 1958.
5. О. Б. Хачатурян, *Дисс.*, М., 1958.
6. F. Haber, R. Russ, *Z. phys. Chem.*, **47**, 257, 1904.
7. R. Rosenthal, A. E. Lorch, L. P. Hammett, *J. Amer. Chem. Soc.*, **59**, 1795, 1937.
8. E. Lewartowicz, *J. chim. phys.*, **49**, 564, 573, 1952.
9. R. Audubert, *J. Phys. et radium*, (8), **3**, 81, 1942.
10. K. J. Vetter, *Z. Elektrochem.*, **56**, 797, 1952.
11. Хр. Ив. Нонински, *Дисс.*, М., 1955.
12. Э. А. Айказян, Ю. В. Плесков, *Ж. физ. химии*, **31**, 205, 1957.
13. В. Г. Левич, *Физико-химическая гидродинамика*, Изд-во АН СССР, М., 1952.
14. А. Н. Фрумкин, *Докл. АН СССР*, **85**, 373, 1952.

KINETIC STUDIES OF ELECTROCHEMICAL OXIDATION-REDUCTION REACTION

1. THE CHARACTER OF THE POLARIZATION IN THE SYSTEM
BENZOQUINONE — HYDROQUINONE

M. A. Loshkarev and B. I. Tomilov (Dnepropetrovsk)

Summary

The polarization of cathodic and anodic processes in the system benzoquinone—hydroquinone on smooth platinum, platinated platinum and gold electrodes has been studied in relation to the rate of stirring of the electrolyte, concentration of the quinone and hydroquinone (at equimolecular ratios) and temperature. It has been shown that in addition to concentration polarization chemical polarization, due to retardation of electron transfer, takes place with all the electrodes. Experimental data are in good agreement with the slow discharge theory over the entire range of current densities investigated, beginning with very low values (10^{-6} А/см²) and to the limiting values ($1 \cdot 10^{-3}$ — $5 \cdot 10^{-3}$ А/см²). The effect of adsorption on the nature of the polarization curve has been shown. The retarding effect of the adsorption layers has been discussed in terms of the slow discharge theory.

НАИБОЛЕЕ ВЕРОЯТНЫЕ ЗНАЧЕНИЯ ХИМИЧЕСКИХ ТЕПЛОТ, ЭНЕРГИЙ И ЭНТРОПИЙ ГИДРАТАЦИИ ОТДЕЛЬНЫХ ИОНОВ ПРИ БЕСКОНЕЧНОМ РАЗБАВЛЕНИИ И 25° С

*В. П. Васильев, Е. К. Золотарев, А. Ф. Капустинский,
К. П. Мищенко, Е. А. Подгорная и К. Б. Яцимирский*

В период с 1950 г. в работах К. Б. Яцимирского [1], К. П. Мищенко [2] и А. Ф. Капустинского [3] были опубликованы значения химических теплот (ΔH_h^i) и энергий (ΔZ_h^i) гидратации отдельных ионов, а также ряд величин для энтропий (S_i^0) отдельных ионов в водных растворах. В последние годы имело место значительное пополнение термохимических характеристик, лежащих в основе расчетов термодинамических эффектов гидратации, а ряд табличных величин подвергся существенному пересмотру. Кроме того, несколько отличающиеся между собой пути расчетов и использование различных экспериментальных данных привели к тому, что близкие друг к другу значения, фигурировавшие в работах вышеуказанных авторов, все же иногда несколько отличались. Это, естественно, ставило в затруднительное положение читателя, желавшего выбрать для своих целей наиболее надежное значение.

Все эти причины заставили нас произвести тщательный и согласованный между нами пересмотр наиболее вероятных значений ΔH_h^i , ΔS_h^i и ΔZ_h^i .

Большинство химических теплот гидратации вычислялось нами двумя приемами. Во-первых, при помощи термохимического уравнения

$$\Delta H_h^i = (-\Delta H_{aq}^i + \Delta H_{газ}^i - 102,5 \cdot n) \text{ ккал/г-ион}, \quad (1)$$

где ΔH_h^i — изменение энтальпии при переходе иона из газообразного состояния в вакууме в воду при условиях бесконечного разбавления (химическая теплота гидратации); ΔH_{aq}^i и $\Delta H_{газ}^i$ — стандартные изменения энтальпии при образовании данного иона, соответственно, в растворе и в газообразном состоянии; $-102,5 \text{ ккал/г-ион}$ — стандартное изменение энтальпии при образовании гидратированного протона в бесконечно разбавленном водном растворе [1], вычисленное на основе наиболее надежных термохимических данных и с допущением равенства химических теплот гидратации ионов Cs^+ и J^- [2]; n — заряд иона.

Значения ΔH_{aq}^i и $\Delta H_{газ}^i$ частью взяты из сборника Бюро стандартов [4]. Для ряда щелочных ионов, ионов галогенов и многоатомных ионов были использованы значения, полученные А. Ф. Капустинским и К. Б. Яцимирским [5, 6], а также данные Притчарда [7], так как ими чтены более точные величины электронного сродства.

Параллельно для ряда ионов вычисление химических теплот гидратации проведено другим путем. Как известно, суммарная химическая теплота гидратации электролита ΔH_h^\pm при бесконечном разведении связана энергией кристаллической решетки $\Delta H_{реш}$ и с первой интегральной теплотой растворения ΔH_0 соотношением:

$$\Delta H_h^\pm = -\Delta H_{реш} + \Delta H_0. \quad (2)$$

Энергия решетки в свою очередь обычно находится из термодинамического цикла по уравнению:

$$\Delta H_{\text{реш}} = -\Delta H_{\text{крист}}^{\circ} + \nu_{\text{кат}} \Delta H_{\text{кат}}^{\circ}(\text{газ}) + \nu_{\text{ан}} \Delta H_{\text{ан}}^{\circ}(\text{газ}), \quad (3)$$

где $\Delta H_{\text{кат}}^{\circ}(\text{газ})$ и $\Delta H_{\text{ан}}^{\circ}(\text{газ})$ — соответственно, стандартные теплоты образования газообразных катиона и аниона из простых веществ; $\nu_{\text{кат}}$ и $\nu_{\text{ан}}$ — отвечающие формуле данного электролита коэффициенты; $\Delta H_{\text{крист}}^{\circ}$ — стандартная теплота образования кристаллического электролита.

Использование этих уравнений позволяет найти суммарные теплоты гидратации для серни солей с общим катионом или общим анионом, разделить для каждой соли ΔH_h^{\pm} между катионом и анионом, основываясь на принятии того же допущения $\Delta H_h^{\text{Cs}+} = \sim \Delta H_h^{\text{I}-}$, какое было сделано выше, и затем взять среднее значение теплоты гидратации отдельного иона, опирающееся на термодинамические данные для двух, трех, а иногда для большего числа электролитов.

В основу расчетов были также положены материалы указанных выше источников [4—7].

Такой путь вычисления ΔH_h^i должен приводить к сглаживанию погрешностей термодинамических данных, относящихся к одному какому-нибудь электролиту или иону. При усреднении использовались термодинамические величины для фторидов, хлоридов, бромидов, йодидов и нитратов. Данные для сульфатов в расчет не принимались, так как К. Б. Яцимирским было показано, что погрешность значения теплоты образования иона SO_4^{2-} очень велика (± 12 ккал) [6].

Отклонение отдельных значений ΔH_h^i , найденных из термодинамических данных для одного электролита, от средней величины меньше 1% и только в случае иона Hg^{2+} достигает 1%. В качестве иллюстрации приводим результаты такого расчета для ионов K^+ и Te^+ : для иона калия из термодинамических данных для KCl, KBr и KI получены $\Delta H_h^{\text{K}+}$, соответственно равные — 80; — 81 и — 81 ккал/г-ион; для иона Te^+ из данных для TeCl, TeBr, TeI и TeNO_3 , соответственно, — 81; — 82,8; — 81,6 и — 81,8 ккал/г-ион.

Сопоставление химических теплот сольватации отдельных ионов, полученных вторым приемом расчета, с величинами, вычисленными первым путем, показывает, что расхождения нигде не превышают 0,5%.

В столбце 2 таблицы даны окончательные, наиболее вероятные в настоящее время, значения — ΔH_h^i , взятые как среднее из данных, полученных первым и вторым приемами расчета. Можно ожидать, что влияние погрешностей, содержащихся в исходных термодинамических величинах, сведено здесь до возможного минимума.

В столбцах 3 и 4 той же таблицы приведены исходные данные для расчета ΔS_h^i — химической энтропии гидратации ионов; S_{aq}^0 — стандартные энтропии водных ионов, отнесенные к энтропии протона в водном растворе $S_{\text{H}^+}^0 = 0$; $S_{\text{газ}}^0$ — стандартные энтропии газообразных ионов.

Энтропии газообразных одноатомных ионов взяты из статьи [8]; энтропии газообразных многоатомных ионов — из работы [9]. Энтропии ионов в водном растворе заимствованы из данных Бюро стандартов [4] и монографии Латимера [10]. Исключение составляют нижеследующие ионы, данные для которых почерпнуты из отдельных работ: Co^{2+} [11]; Ni^{2+} [12]; Mn^{2+} [13]; Sn^{2+} [14]; Sr^{2+} [15] и Cu^+ [16].

В столбце 5 таблицы приведены химические энтропии гидратации отдельных ионов, взятые с обратным знаком ($-\Delta S_h^i$) и, так же как

Наиболее вероятные значения химических теплот, энтропий и энергий гидратации отдельных ионов при бесконечном разведении и 25°

1	2	3	4	5	6
Ион	$-\Delta H_{h,i}^{\circ}$ ккал/г-ион	$S_{aq,i}^{\circ}$ в ед. ($S_{H=0}^{\circ}$)	$S_{газ,i}^{\circ}$ в ед.	$-\Delta S_{h,i}^{\circ}$ в ед. ($S_{H=0}^{\circ}$)	$-\Delta Z_{h,i}^{\circ}$ ккал/г-ион
Ag ⁺	117	17,67	39,95	15,93	113
Al ³⁺	1125	-74,9	35,82	104,4	1094
Ba ²⁺	320	3	40,67	31	310
Be ²⁺	601	-55	32,56	81	577
Br ⁻	76	19,29	39,06	13,42	72
Ca ²⁺	386	-13,2	37,00	43,9	373
Cd ²⁺	439	-14,6	40,08	48,3	425
Ce ³⁺	860	-44	44,29	82	836
Ce ⁴⁺	1566	—	—	—	—
Cl ⁻	84	13,2	36,64	17,1	79
Co ²⁺	499	-26,7	42,73	63,1	480
Cr ²⁺	450	—	—	—	—
Cs ⁺	67	31,8	40,58	2,4	66
Cu ⁺	146	9,4	38,38	22,6	139
Cu ²⁺	509	-23,6	41,94	59,2	491
F ⁻	116	-2,3	34,78	30,7	107
Fe ²⁺	467	-27,1	42,36	63,1	448
Fe ³⁺	1056	-70,1	41,55	105,3	1025
Ga ³⁺	1131	-83	38,63	115	1097
Hg ²⁺	443	-5,4	41,80	40,9	431
I ⁻	67	26,14	40,54	8,05	64
In ³⁺	994	-62	40,14	96	965
K ⁺	81	24,5	37,03	6,2	79
La ³⁺	796	-39	40,71	73	774
Li ⁺	127	3,4	31,77	22,0	121
Mg ²⁺	467	-28,2	35,51	57,4	450
Mn ²⁺	449	-19,1	41,50	54,3	433
Na ⁺	101	14,4	35,35	14,6	97
Ni ²⁺	511	-29,4	42,51	65,6	491
Pb ²⁺	362	5,1	41,80	30,2	353
Ra ²⁺	310	13	42,16	23	303
Rb ⁺	75	29,7	39,26	3,2	74
S ²⁻	320	-6,4	36,34	36,4	309
Sc ³⁺	958	-56	37,35	87	932
Se ²⁻	—	0	39,02	33	—
Sn ²⁺	379	-15,0	40,24	48,9	364
Sr ²⁺	353	-6,3	39,33	39,3	341
Tl ⁺	82	30,4	41,86	5,1	80
Tl ³⁺	1012	-42	41,86	78	988
V ³⁺	877	-48	39,38	81	853
Zn ²⁺	496	-25,45	38,46	57,56	479
AsO ₄ ³⁻	—	-34,6	67,4	95,6	—
BH ₄ ⁻	—	26,3	44,5	11,8	—
BrO ₃ ⁻	—	38,5	67,5	22,2	—
CH ₃ COO ⁻	101	—	—	—	—
ClO ₃ ⁻	69	—	—	—	—
ClO ₄ ⁻	54	43,2	62,9	13,3	50
CN ⁻	83	22	44,9	23	76
CNO ⁻	93	—	—	—	—
CNS ⁻	74	36	—	—	—
CO ₃ ²⁻	127	-12,7	58,7	65,3	108
CrO ₄ ²⁻	—	9,2	64,7	49,1	—
HCOO ⁻	99	—	—	—	—
HCO ₃ ⁻	91	—	—	—	—
HS ⁻	82	—	—	—	—
JO ₄ ⁻	—	52,8	70,2	11,0	—

Продолжение

1	2	3	4	5	6
Ион	$-\Delta H_h^i$, ккал/г-ион	S_{aq}° ($S_H^\circ=0$)	S° газ, е. ед.	$-\Delta S_h^i$ э. ед. ($S_H^\circ=0$)	$-\Delta Z_h^i$, ккал/г-ион
MnO_4^-	59	45,4	64,5	12,7	55
MoO_4^{2-}	—	14	69,8	49	—
NH_4^+	78	26,97	44,5	11,1	75
NO_2^-	98	—	—	—	—
NO_3^-	74	35,0	58,3	16,9	69
OH^-	122	-2,52	41,5	37,6	111
PO_4^{3-}	—	-52	63,5	109	—
ReO_4^-	—	54,5	70,2	9,3	—
SO_3^{2-}	—	-7	63,4	64	—
SO_4^{2-}	265	4,1	63,0	52,5	249
SeO_4^{2-}	—	5,7	67,48	55,4	—
H^+	265	—	—	—	—
H_3O^+	110	—	—	—	—

S_{aq}° , отнесенные к $S_{H_{aq}}^\circ = 0$. Химические энтропии гидратации вычислялись по уравнению

$$\Delta S_h^i = S_{aq}^\circ - S_{газ}^\circ + R \ln 24,45, \quad (2)$$

где слагаемое $R \ln 24,45$ введено для учета различия в стандартных состояниях иона в газе (1 моль на 24,45 г) и в растворе (1 г-ион/1000 г H_2O). Численное значение этого члена равно 6,35 э. ед. Поэтому уравнение (2) в окончательном виде может быть написано так:

$$\Delta S_h^i = (S_{aq}^\circ - S_{газ}^\circ + 6,35) \text{ э. ед.} \quad (3)$$

Для перехода от условных величин S_{aq}° и ΔS_h^i , отнесенных к $S_{H_{aq}}^\circ = 0$ и «абсолютным» величинам необходимо приписать протону в водном растворе определенное стандартное значение энтропии. Сопоставление литературных данных [17—19] приводит к заключению, что в настоящее время, по-видимому, наиболее вероятным значением следует считать $S_{H_{aq}}^\circ = -3,4$ э. ед. [19]. Читатель, желающий перейти от относительных S_{aq}° к «абсолютным» величинам, должен к соответствующим значениям столбца 3 таблицы в случае катиона алгебраически прибавить n ($-3,4$) э. ед., а в случае аниона — вычесть n ($-3,4$) э. ед. Здесь n — заряд соответствующего иона. Далее, подставляя в уравнение (3) «абсолютные» значения S_{aq}° , можно вычислить «абсолютные» химические энтропии гидратации ΔS_h^i . Мы предпочли отказаться от внесения этих данных в таблицы, так как выбор величины для энтропии протона в водном растворе все же пока является до известной степени произвольным.

Наконец в последнем 6 столбце таблицы даны наиболее вероятные значения изменений изобарного потенциала (ΔZ_h^i) при гидратации иона (химические энергии гидратации). Эти величины вычислены по уравнению

$Z_h^i = \Delta H_h^i - T \Delta S_h^i$, причем при расчете использованы ΔS_h^i , отнесенные к $S_{H_{aq}}^{\circ} = 0$, т. е. величины столбца 5 таблицы.

Следует отметить, что использование энтропий водных ионов, отнесенных к $S_{H_{aq}}^{\circ} = 0$, или их «абсолютных» значений, приводит к различиям величинах ΔZ_h^i , лежащим в пределах погрешности. Поэтому значения этого столбца практически не зависят от выбора «абсолютного» значения $S_{H_{aq}}^{\circ}$.

Выводы

На основе тщательной ревизии термохимических данных, использования новых экспериментальных материалов и сопоставления различных методов расчета даны для 69 ионов наиболее вероятные значения химических теплот, энтропий и энергий их гидратации при 25° в бесконечно разбавленных растворах.

Поступила
15.XI.1958

ЛИТЕРАТУРА

- К. Б. Яцимирский, Термохимия комплексных соединений, Изд-во АН СССР, 1951.
 К. П. Мищенко, Ж. физ. химии, 26, 1736, 1952; К. П. Мищенко и Э. П. Квят, Ж. физ. химии, 28, 1451, 1954.
 А. Ф. Капустинский, С. И. Дракин, Б. М. Якушевский, Ж. физ. химии, 27, 433, 1953.
 Selected values of chemical thermodynamic properties. Nat. Bur. Standards, Washington, Circ. 500, 1952.
 А. Ф. Капустинский и К. Б. Яцимирский, Ж. общ. химии, 26, 941, 1956.
 К. Б. Яцимирский, Ж. общ. химии, 26, 2376, 1956.
 Н. О. Ритчард, Chem. Rev., 52, 529, 1953.
 В. П. Васильев, Е. К. Золотарев, К. Б. Яцимирский, Ж. физ. химии, 33, 328, 1959.
 К. Б. Яцимирский, Ж. физ. химии, 31, 2121, 1957.
 В. Латимер, Окислительные состояния элементов и их потенциалы в водных растворах, ИИЛ, М., 1954.
 М. С. Барвинок, Информ. бюл. Военно-трансп. акад., № 9, 20, 1946.
 М. С. Барвинок, Ж. общ. химии, 20, 208, 1950.
 А. Ф. Капустинский, Ж. физ. химии, 15, 220, 1941.
 А. Ф. Капустинский, Ж. физ. химии, 15, 645, 1941.
 А. Ф. Капустинский, Н. П. Дезидерьева, Trans. Faraday Soc., 42, 69, 1946.
 D. Wagman, J. Amer. Chem. Soc., 73, 5463, 1951.
 E. D. Eastman, J. Amer. Chem. Soc., 50, 292, 1928.
 H. D. Crockford, J. L. Hall, J. Phys. a. Coll. Chem., 54, 731, 1950.
 J. C. Goodrich, F. M. Coga, E. E. Morse, R. G. Preston, M. B. Loun, J. Amer. Chem. Soc., 72, 4411, 1950.

MOST PROBABLE VALUES FOR THE CHEMICAL HEATS, ENERGIES AND ENTROPIES OF HYDRATION OF INDIVIDUAL IONS AT INFINITE DILUTION AND 25°C

P. Vasil'ev, E. K. Zolotar'ev, A. F. Kapustinskii, K. P. Mischenko, E. A. Podgornaya and K. B. Yatsimirskii (Moscow)

Summary

On the ground of a careful revision of the available thermochemical data as well as use of new experimental results and comparison of different methods of calculation most probable values of the chemical heats, entropies and energies of hydration 25° C at infinite dilution are given for 69 ions.

ТЕРМОДИНАМИЧЕСКИЕ СВОЙСТВА СПЛАВОВ СИСТЕМЫ ХРОМ — ТАНТАЛ

Г. О. Пилюн, А. М. Евсеев и Я. И. Герасимов

Термодинамические функции сплавов хрома и тантала определялись методом измерения давления насыщенного пара хрома.

Для измерения давления насыщенного пара хрома нами был применен метод эффузии Кнудсена. Мелко измельченный сплав помещался в эффузионную камеру из тантала. Сплавы хрома и тантала хрупкие и легко поддаются измельчению в ступке. Нагрев камеры осуществлялся током высокой частоты. Испаряющийся хром осаждался на кварцевом колпачке, который затем взвешивался на полумикровесах. После определения количества испарившегося хрома расчет давления пара хрома производился по формуле:

$$p = \frac{\Delta G}{S\tau k} \sqrt{\frac{2\pi RT}{M}}, \quad (1)$$

где p — давление насыщенного пара, ΔG — количество испарившегося хрома, τ — время экспозиции, S — площадь эффузионного отверстия, k — коэффициент Клаузинга, M — атомный вес хрома.

Площадь эффузионного отверстия изменялась в пределах $4 \cdot 10^{-3}$ — $1 \cdot 10^{-3}$ см², время τ — от 2 до 6 час., толщина эффузионной диафрагмы равнялась 0,08 мм. Подробнее метод измерения давления насыщенного пара описан в работе [1].

Измерение давления пара хрома в системе хром — тантал производилось в интервале 1228,5—1303,5°. Всего было исследовано восемь сплавов. Для каждого из них измерялось от трех до шести значений давления пара хрома при различных температурах. Сплавы готовились из электролитического хрома (99,7 вес.%) и тантала (99,5 вес.%).

По экспериментальным значениям давления пара чистого хрома были рассчитаны коэффициенты уравнения:

$$\lg p_{(м.м)} = -\frac{18600}{T} + 9,751. \quad (2)$$

Это уравнение значительно отличается от уравнения Шнейзера, Джонстона и Блекбэрна [2] и Гульбранзена и Эндрю [3]:

$$\lg p_{(атм)} = -\frac{20473}{T} + 7,467. \quad (3)$$

Наши данные близки к значениям давления пара, рассчитанным по уравнению:

$$\lg p_{(м.м)} = -\frac{18650}{T} + 10,05, \quad (4)$$

которое приводит Кубашевский [4] на основании термодинамических расчетов Келли [5], и лежат выше данных работы [2] на графике $\lg p - 1/T$ (рис. 1).

Следует отметить, что в работе [2] был использован метод Лэнгмюра — испарение с открытой поверхности, тогда как мы использовали метод

течения через малое отверстие. Кроме того, ряд металлов значительно снижает давление пара хрома даже при небольших загрязнениях — порядка 0,5%. Хотя в работе [2] был использован хром со степенью чистоты 99,7% (примесь по данным авторов Cr_2O_3), можно полагать, что метод Энгельмана в случае хрома дает заниженные результаты, а наши данные более близки к истинным значениям давления пара хрома, так как они лежат выше данных работы [2] на рис. 1.

Отклонения рассчитанных по уравнению (2) значений p от опытных составляют не более 1%.

Для расчета активностей хрома в сплавах хром — тантал нами были определены опытные значения давления пара хрома над сплавами при двух температурах: 1501,5 и 1576,5° К. Эти данные приведены в табл. 1.

Активность хрома определялась по отношению:

$$a_{\text{Cr}} = \frac{p}{p_0}, \quad (5)$$

где p_0 — давление пара чистого хрома, p — давление пара хрома над сплавами при той же температуре. Экспериментальные и рассчитанные значения активностей хрома даны в табл. 2. Из этих данных рассчитаны значения парциальных мольных теплот образования сплавов для хрома при температуре 1538° К — середина исследованного температурного интервала (табл. 3) по уравнению:

$$\overline{\Delta H}_{\text{Cr}} = -4,576 T_1 T_2 \frac{\lg a_2 - \lg a_1}{T_2 - T_1}, \quad (6)$$

где a_1 — активность хрома при температуре 1501,5° К, a_2 — активность хрома при температуре 1576,5° К.

Таблица 1

Давление насыщенного пара хрома в системе хром—тантал

N_{Cr}	p , мм рт. ст.		N_{Cr}	p , мм рт. ст.	
	1501,5° К	1576,5° К		1501,5° К	1576,5° К
1,00	$2,33 \cdot 10^{-3}$	$8,81 \cdot 10^{-3}$	0,671	$0,85 \cdot 10^{-3}$	$2,46 \cdot 10^{-3}$
0,985	$1,70 \cdot 10^{-3}$	$6,24 \cdot 10^{-3}$	0,465	$0,44 \cdot 10^{-3}$	$1,46 \cdot 10^{-3}$
0,924	$1,04 \cdot 10^{-3}$	$3,77 \cdot 10^{-3}$	0,350	$0,44 \cdot 10^{-3}$	$1,46 \cdot 10^{-3}$
0,871	$1,02 \cdot 10^{-3}$	$3,43 \cdot 10^{-3}$	0,155	$0,23 \cdot 10^{-3}$	$0,71 \cdot 10^{-3}$
0,776	$1,02 \cdot 10^{-3}$	$3,43 \cdot 10^{-3}$			

По уравнению:

$$\overline{\Delta S}_a = -4,576 \frac{T_2 \lg a_2 - T_1 \lg a_1}{T_2 - T_1} \quad (7)$$

рассчитаны парциальные мольные энтропии образования сплавов для хрома (табл. 3).

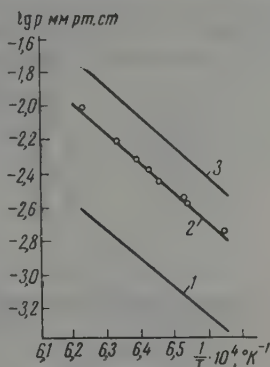


Рис. 1. Зависимость $\lg p$ от $1/T$ для хрома: 1 — экстраполировано по данным [2]; 2 — наши данные; 3 — экстраполировано по данным [4]

Таблица 2

Активности хрома в системе хром—тантал

N_{Cr}	$a=p/p_0$		N_{Cr}	$a=p/p_0$	
	1501,5° К	1576,5° К		1501,5° К	1576,5° К
1,000	1,000	1,000	0,671	0,363	0,279
0,985	0,729	0,708	0,600	0,280	0,222
0,924	0,446	0,428	0,465	0,190	0,166
0,871	0,439	0,389	0,350	0,190	0,166
0,776	0,439	0,389	0,155	0,093	0,080
0,700	0,382	0,305			

Таблица 3

Парциальные термодинамические функции для хрома в сплавах хрома и тантала

N_{Cr}	$\overline{\Delta H}_{Cr}$, кал	$\overline{\Delta S}_{Cr}$ кал/г-ат. град.	$\Delta \mu_{Cr}$, кал	N_{Cr}	$\overline{\Delta H}_{Cr}$, кал	$\overline{\Delta S}_{Cr}$ кал/г-ат. град.	$\Delta \mu_{Cr}$, кал
1,000	0	0	0	0,671	16620	13,57	-4264
0,985	1880	2,02	-1229	0,650	15880	13,29	-4573
0,924	2500	3,63	-3087	0,600	13730	12,27	-5154
0,871	7515	7,02	-3289	0,465	8527	9,73	-6447
0,776	7515	7,02	-3289	0,350	8527	9,73	-6447
0,720	13513	11,26	-3816	0,155	13441	14,58	-8998

Интегральные теплоты и энтропии образования сплавов хрома и тантала рассчитаны по уравнениям Дюгема — Маргулеса:

$$\Delta H = N_{Ta} \int_0^{N_{Cr}} \frac{\overline{\Delta H}_{Cr}}{N_{Ta}} d \frac{N_{Cr}}{N_{Ta}},$$

$$\Delta S = N_{Ta} \int_0^{N_{Cr}} \frac{\overline{\Delta S}_{Cr}}{N_{Ta}} d \frac{N_{Cr}}{N_{Ta}},$$

графическим интегрированием. Результаты этих расчетов даны на рис. 2 и 3.

Известна только неполная фазовая диаграмма системы хром — тантал, данная Кубашевским и Шпейделем [6]. Согласно этой диаграмме области твердого раствора тантала в хроме лежат в границах от 0 до 8 вес. % тантала при температуре порядка 1400°. Гетерогенная область от 8 до 60 вес. % тантала представляет собой смесь двух фаз: твердого раствора тантала в хроме и, предположительно, твердого раствора на базе соединения Ta_2Cr_3 .

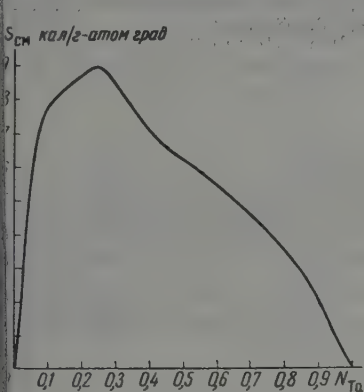
Однако Дьюз и Мартенс [7] нашли, что состав промежуточной фазы отвечает формуле $TaCr_2$. Ими было проведено исследование структуры этой фазы. Оно показало, что кристаллическая структура этой фазы испытывает полиморфное превращение между 1375 и 1590° — переход от кубической гранецентрированной к гексагональной плотнейшей упаковке структуре.

Так как отношение радиусов $r_{Cr}/r_{Ta} = 1,15$, то согласно условиям существования фазы Лавеса, которые дали Г. Б. Бокий и Э. Е. Вайнштейн [8], существование фазы $TaCr_2$ вполне возможно.

Наши данные по активностям хрома в сплавах хрома и тантала отрицают существование твердого раствора со стороны хрома до 7 ат. %

азывают на существование гетерогенной области и твердого раствора основе $TaCr_2$. Со стороны тантала, по-видимому, существует твердый раствор хрома в тантале до 30 ат.% хрома.

Активности хрома в сплавах отвечают большим отрицательным отклонениям от закона Рауля. Парциальные и интегральные теплоты образования сплавов положительны. Наибольшая парциальная теплота образования для хрома приходится на состав, отвечающий стехиометрически



с. 2. Интегральная энтропия образования сплавов хрома и тантала

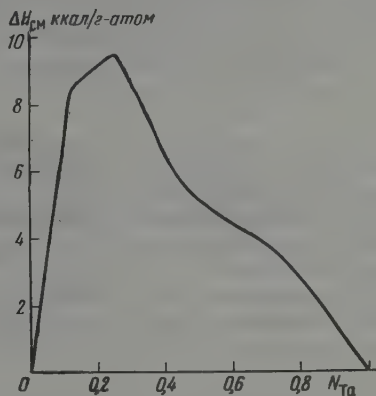


Рис. 3. Интегральная теплота образования сплавов хрома и тантала

зе $TaCr_2$. Объяснение этому можно найти, во-первых, в предположении о более слабых взаимодействиях хрома с танталом, чем хрома с атомами хрома, во-вторых, в искажениях решетки сплавов. Большое значение в дисках атомов хрома и тантала ($r_{Cr} = 1,27 \text{ \AA}$; $r_{Ta} = 1,46 \text{ \AA}$) должны вызывать как статические, так и динамические искажения решетки. О том, насколько развиты эти искажения, можно судить по большой величине энтропии образования сплавов (рис. 3). По-видимому, большие (до 8 кал/г-град.) положительные отклонения энтропии образования сплавов от идеальных значений указывают в основном на возрастание динамических искажений решетки в сплавах по сравнению с чистыми металлами. Конечно, изменение позиционной энтропии при переходе от одной кристаллической структуры к другой при образовании сплавов играет некоторую роль, но это изменение не должно достигать больших значений. В то же время колебательная энтропия может сильно возрастать при малых изменениях симметрии решетки, т. е. при малых изменениях сил сцепления в кристалле. Так как колебательная энтропия может быть связана с характеристической температурой Дебая, то ясно, что определенные изменения колебательной энтропии в сплавах имеет важное значение для характеристики прочности межатомных связей в сплавах.

Высказанные соображения имеют отношение как к промежуточной фазе $TaCr_2$, так и к сплавам в области твердых растворов.

Выводы

1. Исследованы термодинамические свойства сплавов системы хром—тантал при температурах $1228\text{--}1303^\circ$.
2. Подтверждено существование промежуточной фазы $TaCr_2$.

ЛИТЕРАТУРА

1. Я. И. Герасимов, А. М. Евсеев, Г. В. Пожарская, Исследования по жаропрочным сплавам, т. III, М., 1958, стр. 56.
2. R. Speiser, H. G. Johnston, P. J. Blackburn, J. Amer. Chem. Soc. 72, 4142, 1950.
3. E. A. Gulbransen, K. F. Andrew, J. Elektrochem. Soc., 99 402, 1952.
4. О. Кубашевский, Термохимия в металлургии, М., 1954.
5. K. K. Kelly, Bull. U. S. Bur., Min., № 383, 1935.
6. O. Kubaschewski, A. H. Speidel, J. Inst. Metals, 75, 417, 1949.
7. P. Duwez and H. Martens, J. Metals, 73, 58, 1952.
8. Г. В. Бокий и Э. Е. Вайнштейн, Изв. АН СССР, Сер. хим., 4, 24, 1943.

THERMODYNAMIC PROPERTIES OF ALLOYS OF THE SYSTEM
CHROMIUM — TANTALUM

G. O. Piloyan, A. M. Evseev and Ya. I. Gerasimov (Moscow)

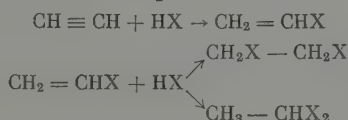
Summary

The thermodynamic properties of alloys of the system chromium — tantalum have been investigated at 1228—1303° C. The existence of the intermediate phase TaCr₂ has been confirmed.

КИНЕТИКА И МЕХАНИЗМ КАТАЛИТИЧЕСКИХ
ПРЕВРАЩЕНИЙ АЦЕТИЛЕНАIV. К ВОПРОСУ О МЕХАНИЗМЕ ОБРАЗОВАНИЯ ДВУЗАМЕЩЕННЫХ
ПРОИЗВОДНЫХ ЭТАНА ИЗ АЦЕТИЛЕНА

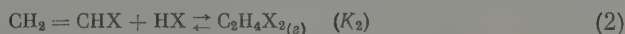
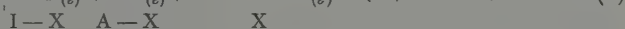
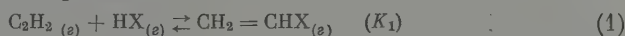
Р. М. Флид

В литературе установилось довольно единодушное мнение о том, что реакции каталитического присоединения различных молекул HX (где — CN , Cl , Br , J , CH_3COO и другие) к ацетилену считаются родственными и однотипными по механизму и стадиям присоединения. В общем случае присоединение молекул HX к ацетилену рассматривается как последовательная двухстадийная реакция [1]:



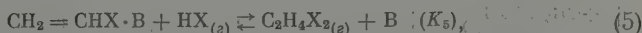
На первой стадии образуется только винилпроизводное. Во второй стадии могут быть получены несимметричные или симметричные двузамещенные производные этана или их смесь. Однако четких экспериментальных данных, подтверждающих последовательный характер реакции во всех случаях, не имеется. Отсутствуют и объяснения причин образования изомеров $C_2H_4X_2$.

Согласно принятому в литературе методу возможность осуществления последовательной реакции может быть иллюстрирована термодинамическим анализом системы реакций:



Максимально возможный выход конечного продукта (V) может быть определен при совместном решении выражений для закона действующих масс уравнений (1) и (2). Проведенный нами анализ в интервале $300-600^\circ K$ показывает, что $K_1 = 10^{10} - 10^4$ (при $X = Cl, Br, J, CH_3COO, CN$) приводит к значению V , практически равному нулю. Таким образом, этот метод анализа исключает возможность образования молекул H_4X_2 в результате последовательной реакции.

Так как указанные реакции протекают в присутствии катализаторов, правильнее, по нашему мнению, рассмотреть следующую систему реакций:



Здесь $CH_2 = CHX \cdot B$ — состояние молекулы винилпроизводного, связанного катализатором B (на поверхности или в растворе) в виде какого-либо комплекса.

Общей стадией для получения $\text{CH}_2 = \text{CHX}_{(z)}$ и $\text{C}_2\text{H}_4\text{X}_{2(z)}$ является образование комплекса $\text{CH}_2 = \text{CHX} \cdot \text{В}$. Направление реакций по (4) или (5) и соотношение образующихся продуктов будут определяться, следовательно, соотношением $K_4 : K_5$. Значения K_4 и K_5 не могут быть рассчитаны из-за отсутствия термодинамических параметров для комплекса $\text{CH}_2 = \text{CHX} \cdot \text{В}$. Параметры комплекса при этом будут различными в зависимости от химической природы катализатора и его состояния в реакции.

Из термодинамических параметров компонентов реакции могут быть рассчитаны лишь константы равновесий K_1 и K_2 реакций (1) и (2). Однако при комбинировании выражений для закона действующих масс из уравнений (1)–(5) получаем

$$\frac{K_5}{K_4} = K_2$$

В таблице приведены соответствующие значения констант равновесия для различных реакций присоединения HX к винилпроизводным с образованием несимметричных (K'_2) и симметричных (K''_2) изомеров некоторых двузамещенных производных этана, рассчитанные по наиболее достоверным данным [2].

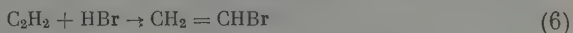
Из данных таблицы следует, что во всех случаях термодинамически более вероятным является образование симметричных двузамещенных этана. Из несимметричных производных могут быть получены со значительными выходами в широком интервале температур лишь CH_3CHJ_2 и $\text{CH}_3\text{CH}(\text{CN})_2$.

Этилидендиацетат практически вообще не может быть получен, CH_3CHCl_2 и CH_3CHBr_2 — лишь в незначительных количествах до 400–450°K. При более высоких температурах реакция практически не может иметь места.

Вместе с тем, анализ экспериментальных данных, полученных рядом исследователей [1], показывает, что в некоторых случаях, в частности при каталитическом присоединении HBr и CH_3COOH к ацетилену, наряду с винилпроизводными могут быть получены в значительных количествах несимметричные этилидендибромид и этилидендиацетат. Это приводит предположению о возможном другом пути образования указанных продуктов, помимо последовательного присоединения молекул HBr и CH_3COOH к соответствующим винилпроизводным.

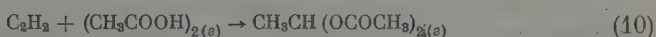
Реакция	Значение K_p для реакций				при $T^\circ\text{K}$		
	$\text{CH}_2 = \text{CHX}_{(z)} + \text{HX}_{(z)} \rightleftharpoons \text{CH}_3\text{CHX}_2(K'_2)$				$\text{CH}_2 = \text{CHX}_{(z)} + \text{HX}_{(z)} \rightleftharpoons \text{CH}_2\text{X}-\text{CHX}_{(z)}(K''_2)$		
	300°	400°	500°	600°	300°	400°	500°
1 $\text{CH}_2 = \text{CHCl}_{(z)} + \text{HCl}_{(z)}$	3,3	$2,3 \cdot 10^{-2}$	$1,6 \cdot 10^{-3}$	$2,4 \cdot 10^{-4}$	$8 \cdot 10^2$	2,2	$6,6 \cdot 10^{-26}$
2 $\text{CH}_2 = \text{CHBr}_{(z)} + \text{HBr}_{(z)}$	$6,6 \cdot 10^1$	$3 \cdot 10^{-1}$	$1 \cdot 10^{-2}$	$1,5 \cdot 10^{-3}$	$3,3 \cdot 10^3$	3,6	$6,2 \cdot 10^4$
3 $\text{CH}_2 = \text{CHJ}_{(z)} + \text{HJ}_{(z)}$	$1,8 \cdot 10^6$	$1,6 \cdot 10^2$	2,1	$1,3 \cdot 10^{-1}$	$1,6 \cdot 10^7$	$3,4 \cdot 10^3$	$3 \cdot 10^1$
4 $\text{CH}_2 = \text{CHOCOSCH}_3_{(z)} + \text{CH}_3\text{COOH}_{(z)}$	$1,05 \cdot 10^{-2}$	$2,7 \cdot 10^{-4}$	$3,3 \cdot 10^{-5}$	$8,1 \cdot 10^{-6}$	$2 \cdot 10^{-4}$	$2,2 \cdot 10^{-5}$	$5,6 \cdot 10^{-6}$
5 $\text{CH}_2 = \text{CHCN}_{(z)} + \text{HCN}_{(z)}$	$1,7 \cdot 10^{12}$	$2,5 \cdot 10^7$	$2 \cdot 10^4$	$1,2 \cdot 10^2$	$1,6 \cdot 10^{15}$	$5,5 \cdot 10^9$	$9,3 \cdot 10^5$

При изучении кинетики жидкофазного гидробромирования ацетилен в присутствии солей ртути нами [4] было установлено, что продуктами реакции являются бромистый винил и этилидендибромид. Скорость образования этилидендибромида возрастает симбатно с повышением концентрации бромной ртути в контактном растворе. Кинетические данные могли быть однозначно интерпретированы только при допущении наличия двух параллельных реакций, приводящих к одновременному образованию бромистого винила и несимметричного этилидендибромид.



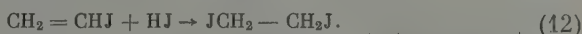
Образование этих же продуктов мы наблюдали и при газофазном синтезе, что находится в согласии с данными Вибо [3]. Этот вывод, полученный из кинетических данных, подтверждается еще и тем, что в аналогичных условиях опыта бромистый винил присоединяет бромистый водород с образованием другого изомера — симметричного дибромэтана $\text{CH}_2 = \text{CHBr} + \text{HBr} \rightarrow \text{BrCH}_2 - \text{CH}_2\text{Br}$.

При газофазном каталитическом присоединении уксусной кислоты к ацетилену нами было показано [6], что имеют место две параллельные реакции:



Направление реакции по (9) или (10) определяется соотношением мономерной и димерной форм уксусной кислоты в реакционной смеси. Специальными опытами было установлено, что винилацетат не способен к присоединению уксусной кислоты ни в жидкой (в присутствии солей ртути), ни в газовой (в присутствии солей цинка) фазах, что подтверждает правильность проведенного нами термодинамического расчета.

При гидройодировании ацетилен в присутствии солей ртути, растворенных в водном растворе йодистоводородной кислоты [5], нами был выделен лишь единственный продукт — симметричный диодэтан. Этот продукт образуется с большой скоростью и при присоединении HJ йодистому винилу. Скорость этой реакции значительно превышает скорость гидройодирования ацетилен. Это является прямым указанием на то, что 1,2-диодэтан образуется из ацетилен в результате двухстадийной последовательной реакции, причем суммарная скорость процесса определяется скоростью первой стадии:



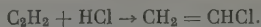
В отличие от жидкофазного гидройодирования, в парофазном процессе в присутствии HgJ_2 -уголь, образуются $\text{CH}_2 = \text{CHJ}$, CH_3CHJ_2 и $\text{JCH}_2 - \text{CH}_2\text{J}$. В этих условиях, по-видимому, имеют место следующие реакции:



Это подтверждается и тем, что парофазное гидройодирование йодистого винила также приводит к образованию единственного продукта — 1,2-диодэтана.

Образование $\text{NC} - \text{CH}_2 - \text{CH}_2 - \text{CN}$ наряду с акрилонитрилом замечено и при парофазном гидроцианировании ацетилен [1]. При жидкофазном гидрохлорировании ацетилен в присутствии солей ртути [5]

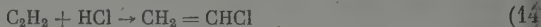
был выделен только хлористый винил



(14)

Однако при парофазном проведении процесса в присутствии $HgCl_2$ -уголь в интервале $120-150^\circ C$ наряду с хлористым винилом образуется незначительное количество ($1-0,2\%$) несимметричного этилидендихлорида. С повышением температуры выше 200° образования этилидендихлорида не наблюдается. Гидрохлорирование хлористого винила в интервале $120-180^\circ$ также приводит к образованию незначительных количеств ($0,5-1\%$) этилидендихлорида.

Таким образом, экспериментальные данные в согласии с термодинамическим анализом позволяют считать, что в некоторых случаях (присоединение CH_3COOH , HBr , HJ) несимметричные двузамещенные этана образуются не в результате последовательного присоединения указанных молекул к соответствующим винилпроизводным, а при непосредственном их взаимодействии с ацетиленом. Лишь в случае гидрохлорирования ацетилена этилидендихлорид образуется в результате последовательной реакции



При присоединении других галоидоводородов (HBr , HJ) продуктами последовательного присоединения HX к винилпроизводным в присутствии солей ртути являются симметричные дигалоидэтаны.

Образование различных изомеров $C_2H_4X_2$ при каталитическом присоединении HX к винилпроизводным можно объяснить, по нашему мнению, различным характером активации молекулы винилпроизводного катализатором. Можно полагать, что при активации молекула винилпроизводного должна ориентироваться к катализатору той частью, при присоединении которой образуется более прочный комплекс (при отсутствии стерических препятствий). При катализе солями тяжелых металлов, типа солей ртути, обладающих акцепторной способностью к притяжению пары π -электронов, можно себе представить два случая:

а) активируется группа CH_2 винильного радикала. Вызываемое при этом дополнительное смещение электронов к группе CH_2 приводит к присоединению молекулы HX по правилу Марковникова с образованием несимметричных продуктов. Первичный акт может быть схематически изображен следующим образом:



б) катализатор оттягивает группу X . В пределе это может привести к образованию иона MeX_{n+1} (если катализатор MeX_n). Это вызывает уменьшение электронной плотности группы CH_2 винильного радикала в результате электромерного эффекта



В этом случае присоединение молекулы HX должно протекать против правила Марковникова с образованием симметричных двузамещенных этана.

Возможность оттягивания катализатором группы X винилпроизводного должна определяться двумя факторами: сродством катализатора к X с образованием (в пределе) иона MeX_{n+1}^- и прочностью связи $C-X$. Проиллюстрируем это на примере гидрогалогидирования соответствующих галоидвинилов. При катализе соответствующими солями ртути устой

ивность ионов HgX_3^- и HgX_4^{2-} возрастает в ряду $\text{HgCl}_3^- (\text{HgCl}_4^{2-}) < \text{HgBr}_3^- (\text{HgBr}_4^{2-}) < \text{HgJ}_3^- (\text{HgJ}_4^{2-})$. С другой стороны, прочность связи — X понижается в следующем порядке $\text{Cl} > \text{Br} > \text{J}$. Таким образом, труднее всего должна происходить активация $\text{CH}_2 = \text{CHCl}$ и легче всего — $\text{H}_2 = \text{CHJ}$.

Это и является, по нашему мнению, причиной образования симметричных дигалоидэтанов при гидробромировании и гидроiodировании $\text{CH}_2 = \text{CHBr}$ и $\text{CH}_2 = \text{CHJ}$. При гидрохлорировании хлористого винила активация CH_2 -группы происходит предпочтительнее и усиливается с повышением температуры, что приводит к образованию несимметричного этилдихлорида. В обоих случаях присоединение молекулы HX к активированной молекуле винилпроизводного должно начинаться, по-видимому, с нуклеофильной атаки X^- по месту наименьшей плотности электронов.

Такое предположение основано на экспериментальных данных. Так, например, в воднокислотных растворах соответствующих солей ртути гидробромирование бромистого винила протекает значительно медленнее, чем гидроiodирование йодистого винила, хотя потенциал контактного раствора в первом случае выше. Нами было замечено также, что гидроiodирование ацетилена и йодистого винила имеет место и в отсутствие катализатора (в водном растворе KJ), в то время как гидробромирование ацетилена и бромистого винила в этих условиях (в водном растворе KBr) практически не наблюдалось. При наличии в обоих случаях ионов H_3O^+ различие в скоростях присоединения молекул HX может быть объяснено лишь различием в нуклеофильной реакционной способности J^- и Br^- .

Выводы

1. Рассмотрены условия образования двузамещенных производных этана при каталитическом присоединении различных аддендов к ацетилену.
2. Рассмотрены причины, вызывающие образование различных изомеров (симметричных и несимметричных) двузамещенных производных этана при каталитическом присоединении различных аддендов к винилпроизводным.

Московский институт тонкой химической технологии им. Ломоносова

Поступила
17.XI.1958

ЛИТЕРАТУРА

- Ю. Ньютланд и Р. Фогт, Химия ацетилена, ИИЛ, 1947, стр. 157, 204, 215, 240; П. Фрам, Мономеры, сб. статей, ИИЛ, 1951, стр. 5, 58.
F. D. Rossini, D. D. Wagman et al., Selected Values of Chem. Thermodynamic Properties, Nat. Bur. Stand. Washington, Circ. № 600, 1952.
В. Коробов и А. В. Фрост, Свободные энергии органических соединений, ВХО им. Менделеева, 1949; М. Х. Карапетьянц, Химическая термодинамика, ГХИ, 1953.
Wibaut, Z. Elektrochem., 35, 602, 1929; Recueil trav. chim., 50, 313, 1934.
Р. М. Флид и В. А. Мпронов, Докл. АН СССР, 114, 347, 1957.
Р. М. Флид, В. А. Мпронов, В. М. Островская, Н. И. Аронова, Ж. физ. химии, 33, 119, 1959.
Р. М. Флид и А. В. Чирикова, Ж. общ. химии, 27, 1256, 1957.

KINETICS AND MECHANISM OF CATALYTIC TRANSFORMATIONS OF ACETYLENE

IV. ON THE MECHANISM OF THE FORMATION OF DISUBSTITUTED ETHANE DERIVATIVES FROM ACETYLENE

R. M. Flid (Moscow)

Summary

The conditions and causes for the formation of various disubstituted ethane derivatives (symmetric and asymmetric) in the catalytic addition of various addends to acetylene and to vinyl derivatives have been considered.

ТЕРМОДИНАМИЧЕСКАЯ ОБРАБОТКА ОПЫТНЫХ ДАННЫХ ПО РАВНОВЕСИЮ ЖИДКОСТЬ — ПАР В СИСТЕМЕ КИСЛОРОД — АРГОН

Г. Б. Наринский

Экспериментальные данные по равновесию жидкость — пар в системе кислород — аргон для 90,5; 100; 110 и 120° К [1] были подвергнуты термодинамическому анализу с целью подтверждения их достоверности.

Общее дифференциальное уравнение Ван-дер-Ваальса [2] для сосуществующих фаз бинарных двухфазных систем при $T = \text{const}$ имеет вид

$$\left[v'' - v' - (y - x) \left(\frac{\partial v''}{\partial y} \right)_{P, T} \right] dP = (y - x) \left(\frac{\partial^2 Z''}{\partial y^2} \right)_{P, T} dy. \quad (1)$$

В этом уравнении: P — давление, T — температура, v — объем, Z — изобарный потенциал, y — содержание второго компонента (применительно к системе кислород — аргон) — аргона в паровой фазе, x — содержание второго компонента в жидкой фазе, штрих относится к жидкой фазе, два штриха относятся к паровой фазе.

Применительно к условиям наших опытов, в которых давление не превышало 13 *атм*, для паровой фазы удовлетворительным является выводимое методами статистической термодинамики уравнение состояния со вторым вириальным коэффициентом:

$$Pv'' = RT \left(1 + \frac{B}{v''} \right). \quad (2)$$

Для бинарной газовой смеси второй вириальный коэффициент определяется выражением:

$$B = B_{11}(1 - y)^2 + 2B_{12}(1 - y)y + B_{22}y^2, \quad (3)$$

где B_{11} , B_{22} — вириальные коэффициенты для чистых компонентов; B_{12} — коэффициент, зависящий только от температуры [3].

Решая уравнение (2) относительно v'' , получаем

$$v'' = \frac{RT}{P} \frac{1}{2} \left(1 + \sqrt{1 + \frac{4PB}{RT}} \right). \quad (4)$$

Находим также

$$\frac{\partial v''}{\partial y} = \frac{\partial B / \partial y}{\sqrt{1 + \frac{4PB}{RT}}}, \quad (5)$$

$$\frac{\partial^2 v''}{\partial y^2} = \frac{\partial^2 B / \partial y^2}{\sqrt{1 + \frac{4PB}{RT}}} - \frac{(4P/RT)(\partial B / \partial y)^2}{2 \left(1 + \frac{4PB}{RT} \right)^{3/2}}. \quad (6)$$

В этих уравнениях B определяется по уравнению (3),

$$\frac{\partial B}{\partial y} = 2[-B_{11}(1 - y) + B_{12}(1 - 2y) + B_{22}y], \quad (7)$$

$$\frac{\partial^2 B}{\partial y^2} = 2[B_{11} - 2B_{12} + B_{22}]. \quad (8)$$

Вторая производная изобарного потенциала по составу определяется выражением (см., например, [4]):

$$\frac{\partial^2 Z''}{\partial y^2} = \int_{P_0}^P \frac{\partial^2 v''}{\partial y^2} dP + RT \frac{1}{y(1-y)}. \quad (9)$$

Подставляя в последнее уравнение значение $d^2 v''/dy^2$ из (6), получаем

$$\frac{\partial^2 Z''}{\partial y^2} = \int_{P_0}^P \frac{\partial^2 B/\partial y^2}{\sqrt{1 + \frac{4PB}{RT}}} dP - \int_{P_0}^P \frac{(4P/RT) (\partial B/\partial y)^2}{2 \left(1 + \frac{4PB}{RT}\right)^{3/2}} dP + RT \frac{1}{y(1-y)}.$$

После интегрирования, учитывая, что

$$\sqrt{1 + \frac{4P_0 B}{RT}} = 1,$$

обозначая

$$\sqrt{1 + \frac{4PB}{RT}} = G, \quad (10)$$

ходим

$$\frac{\partial^2 Z''}{\partial y^2} = RT \left[\frac{\partial^2 B/\partial y^2}{B} (G-1) - \frac{(\partial B/\partial y)^2}{4B^2} \left(G + \frac{1}{G} - 2 \right) + \frac{1}{y(1-y)} \right]. \quad (11)$$

Подставляя значения из уравнений (4), (5), (10) и (11) в уравнение (1) получаем

$$\begin{aligned} & \left[\frac{RT}{P} \frac{1}{2} (1+G) - v' - (y-x) \frac{\partial B/\partial y}{G} \right] dP = \\ & = (y-x) RT \left[\frac{\partial^2 B/\partial y^2}{B} (G-1) - \frac{(\partial B/\partial y)^2}{4B^2} \left(G + \frac{1}{G} - 2 \right) + \frac{1}{y(1-y)} \right] dy. \end{aligned}$$

После некоторых преобразований находим

$$\ln P = \frac{(y-x) \left\{ 1 + \left[\frac{\partial^2 B/\partial y^2}{B} (G-1) - \frac{(\partial B/\partial y)^2}{4B^2} \left(G + \frac{1}{G} - 2 \right) \right] y(1-y) \right\}}{y(1-y) \left[\frac{1}{2} (1+G) - \frac{Pv'}{RT} - (y-x) \frac{P}{RT} \frac{\partial B/\partial y}{G} \right]} dy \quad (12)$$

Полученное выражение является частным случаем уравнения Гиббса—Огема, когда паровая фаза подчиняется уравнению состояния со вторым вириальным коэффициентом (2), и непосредственно связывает общее давление системы с составом равновесно сосуществующих фаз жидкости и пара при постоянной температуре. Чтобы применить выведенные выше уравнения для обработки опытных данных по равновесию жидкость—пар в системе кислород—аргон, необходимо располагать значениями давлений жидких кислородо-аргонных смесей и значениями вторых вириальных коэффициентов для газовых смесей.

Так как объем жидкости в условиях наших опытов не превышал 5÷6% от объема пара, то можно, без существенного влияния на результаты расчетов по уравнениям, принять, что объем жидкой фазы аддитивно складывается из объемов чистых компонентов, т. е., что

$$v' = (v_1^0)' (1-x) + (v_2^0)' x. \quad (13)$$

Объемы жидких кислорода и аргона, определенные интерполяцией наших работы [5], приведены в табл. 1

При определении вириальных коэффициентов газовых смесей мы воспользовались законом соответственных состояний. Гуггенгеймом [6] было

показано, что значения приведенных вириальных коэффициентов различных газов удовлетворительно укладываются на одну общую кривую:

$$\frac{B}{v_{\text{кр}}} = f\left(\frac{T}{T_{\text{кр}}}\right). \quad (14)$$

На эту кривую укладываются не только вириальные коэффициенты чистых газов, но и коэффициенты B_{12} для газовых смесей, причем критический объем газовой смеси определяется по уравнению:

Таблица 1

$T, ^\circ\text{K}$	$(v_1^0)', \text{ см}^3/\text{моль}$	$(v_2^0)', \text{ см}^3/\text{моль}$
90,5	27,9	29,1
100	29,2	30,3
110	30,7	31,9
120	32,6	34,4

$$(v_{12}^{\text{кр}})^{1/3} = \frac{1}{2} (v_{11}^{\text{кр}})^{1/3} + \frac{1}{2} (v_{22}^{\text{кр}})^{1/3}, \quad (15)$$

а критическая температура — по уравнению:

$$T_{12}^{\text{кр}} = (T_{11}^{\text{кр}} T_{22}^{\text{кр}})^{1/2}. \quad (16)$$

В последних уравнениях: $v_{11}^{\text{кр}}, v_{22}^{\text{кр}}$ — критические объемы, а $T_{11}^{\text{кр}}, T_{22}^{\text{кр}}$ — критические температуры чистых компонентов.

Значения вириального коэффициента кислорода B_{11} были взяты из статьи ван-Ламмерна [7], второй вириальный коэффициент аргона B_{22} мы вычислили по коэффициентам сжимаемости, определенным в работе [8].

Приведенные вириальные коэффициенты кислорода и аргона были отложены на график в зависимости от приведенной температуры. По полученной кривой были вычислены значения коэффициента B_{12} для кислородо-аргонных смесей, которые, наряду со значениями вириальных коэффициентов для кислорода и аргона, приведены в табл. 2

Таблица 2

$T, ^\circ\text{K}$	$B_{11}, ^\circ\text{см}^3/\text{моль}$	$B_{22}, \text{ см}^3/\text{моль}$	$B_{12}, ^\circ\text{см}^3/\text{моль}$
90,5	—221	—216	—218,5
100	—189	—184	—186,5
110	—160	—156	—158
120	—136	—132	—134

Как видно из таблицы, коэффициент B_{12} является средним арифметическим от вириальных коэффициентов чистых компонентов.

Следовательно, согласно (8)

$$\frac{\partial^2 B}{\partial y^2} = 0, \quad (17)$$

а согласно (7) и (17)

$$\frac{\partial B}{\partial y} = B_{22} - B_{11}. \quad (18)$$

Из табл. 2 видно также, что $B_{22} - B_{11}$ очень мало по сравнению с B . Учитывая это и (17), в уравнении (12) мы можем опустить члены, содержащие $\left(\frac{\partial B}{\partial y}\right)^2$ и $\partial^2 B / \partial y^2$. Можно также пренебречь последним членом в квадратных скобках в знаменателе, максимальная величина которого в условиях наших опытов не превышает 0,0003. Таким образом для обработки данных по фазовым равновесиям в системе кислород — аргон может быть применено уравнение:

$$d \ln P = \frac{y - x}{y(1-y) \left[\frac{1}{2} (1+G) - \frac{Pv'}{RT} \right]} dy. \quad (19)$$

Взяв интеграл и обозначив для краткости

$$\frac{1}{2}(1+G) - \frac{Rv'}{RT} = D, \quad (20)$$

получаем

$$\lg P_{II} - \lg P_I = 0,4343 \int_{y_I}^{y_{II}} \frac{y-x}{y(1-y)D} dy. \quad (21)$$

Значения $y - x/y(1-y)D$, вычисленные по опытным данным, были положены на график в зависимости от y , и полученные точки соединены плавными $T = \text{const}$ (рис. 1). Интеграл определялся путем измерения площади под этими кривыми.

Вычисленные таким образом значения правой части уравнения (21) были сопоставлены со значениями $\lg P_{II} - \lg P_I$ наобл., определенными по экспериментальным измерениям. В табл. 3 представлены результаты интегрирования в пределах от $y_I = 0,0$ до $y_{II} = 1,0$ (P_2^0 и P_1^0 — давление насыщенных паров чистого аргона и чистого кислорода соответственно).

Значение $\frac{(\lg P_2^0 - \lg P_1^0)_{\text{наобл.}}}{0,4343 \int_{0,0}^{1,0} \frac{y-x}{y(1-y)D} dy} - 1$ ха-

рактеризует отклонение опытных данных по равновесию жидкость — пар в системе кислород — аргон от термодинамического уравнения.

Чтобы установить, насколько отклонения от уравнения (21) соответствуют возможным экспериментальным ошибкам, было проведено интегрирование от $y_I = 0,05$ до $y_{II} = 0,95$, как в области, близкой к чистым компонентам, измерения не производились. Результаты этих расчетов представлены в табл. 4.

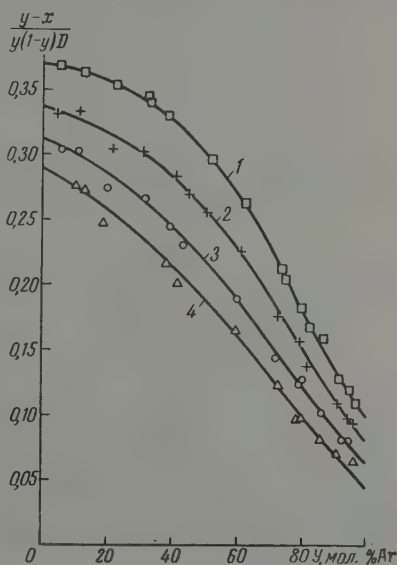


Рис. 1. Зависимость $y - x/y(1-y)D$ от y : 1 — 90,5; 2 — 100; 3 — 110 и 4 — 120° К

Таблица 3

$T, ^\circ\text{K}$	$(\lg P_2^0 - \lg P_1^0)_{\text{наобл.}}$	$0,4343 \int_{0,0}^{1,0} \frac{y-x}{y(1-y)D} dy$	$\frac{(\lg P_2^0 - \lg P_1^0)_{\text{наобл.}}}{0,4343 \int_{0,0}^{1,0} \frac{y-x}{y(1-y)D} dy} - 1, \%$
90,5	0,1265	0,1198	5,6
100	0,1068	0,1038	3,0
110	0,0892	0,0897	-0,6
120	0,0738	0,0782	-5,6

Если пренебречь ошибкой при нахождении величины D , то отклонения опытных данных от уравнения (21) должны лежать в пределах, определяемых возможной суммарной экспериментальной ошибкой изме-

Таблица 4

$T, ^\circ K$	$(\lg P_{0,95} - \lg P_{0,05})_{\text{набл}}$	$0,4343 \int_{0,05}^{0,95} \frac{y-x}{y(1-y)D} dy$	$\frac{(\lg P_{0,95} - \lg P_{0,05})_{\text{набл}}}{0,95} - 1, \%$ $0,4343 \int_{0,05}^{0,95} \frac{y-x}{y(1-y)D} dy$
90,5	0,1156	0,1094	5,7
100	0,0969	0,0946	2,5
110	0,0806	0,0815	-1,1
120	0,0670	0,0720	-6,9

Таблица 5

$T, ^\circ K$	$\delta \lg P$	$\delta \lg P_T$	$0,4343 \int_{0,05}^{0,95} \frac{\delta(y-x)}{y(1-y)D} dy$	$\Sigma \delta$	$\frac{\Sigma \delta}{0,4343 \int_{0,05}^{0,95} \frac{y-x}{y(1-y)D} dy}, \%$
90,5	$\pm 0,0009$	$\pm 0,0021$	$\pm 0,0052$	$\pm 0,0082$	$\pm 7,5$
100	$\pm 0,0009$	$\pm 0,0018$	$\pm 0,0055$	$\pm 0,0082$	$\pm 8,7$
110	$\pm 0,0009$	$\pm 0,0014$	$\pm 0,0059$	$\pm 0,0082$	$\pm 10,0$
120	$\pm 0,0018$	$\pm 0,0012$	$\pm 0,0065$	$\pm 0,0095$	$\pm 13,2$

рения давления, температуры и разности составов обеих фаз. Значения ошибок сведены в табл. 5.

Относительная ошибка в определении давления составляет $\pm 0,1\%$ для измерений при 90,5; 100 и 110° K и $\pm 0,2\%$ для измерений при 120° K (см. [1]). Соответствующие ошибки при определении разности давлений составят соответственно $\pm 0,2$ и $\pm 0,4\%$. Эти значения представлены в табл. 5 в пересчете на ошибки при определении разности логарифмов давления $\delta \lg P$. Ошибки при определении разности логарифмов давления происходящие от ошибок измерения температуры ($\pm 0,025^\circ K$), обозначены $\delta \lg P_T$. Ошибка в определении разности составов пара и жидкости составляет $\delta(y-x) = 0,002$, а ее влияние на отклонение от уравнения (21) может быть определено выражением

$$0,4343 \int_{0,05}^{0,95} \frac{\delta(y-x)}{y(1-y)D} dy.$$

Суммарная экспериментальная ошибка:

$$\Sigma \delta = \delta \lg P + \delta \lg P_T + 0,4343 \int_{0,05}^{0,95} \frac{\delta(y-x)}{y(1-y)D} dy,$$

а ее относительное значение равно

$$\frac{\Sigma \delta}{0,4343 \int_{0,05}^{0,95} \frac{y-x}{y(1-y)D} dy}.$$

Из таблиц 4 и 5 видно, что при интегрировании в пределах от $y_I = 0,05$ до $y_{II} = 0,95$ отклонения опытных данных от уравнения (21) для всех температур лежат в пределах возможных ошибок измерения давления, температуры и разности составов фаз. Однако интегрирование в таком интервале концентраций не может дать полного представления

стоверности экспериментальных данных, так как возможные отклонения в одной области концентраций могут компенсироваться обратными отклонениями в другой области концентраций. Поэтому мы также произвели интегрирование для отдельных участков концентраций.

Чтобы при нанесении результатов интегрирования на график (рис. 2) получить достаточно большой масштаб [9], от левой и правой частей урав-

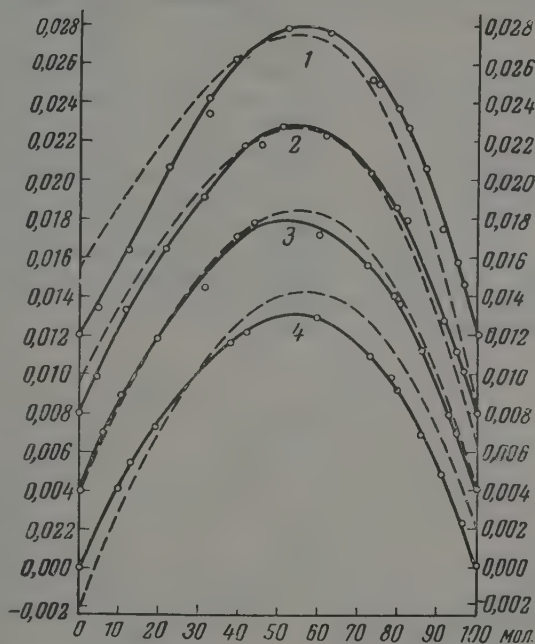


Рис. 2. Зависимость $(\lg P - \lg P_1^0)_{\text{набл}} - y (\lg P_2^0 - \lg P_1^0) -$

сплошная линия и $0,4343 \int_0^y \frac{y-x}{y(1-y)D} dy - y (\lg P_2^0 - \lg P_1^0) -$
штриховая линия от y (шкала по оси ординат для 90,5°K
сдвинута на 0,012, для 100°K — на 0,008 и для 110°K —
на 0,004): 1 — 90,5; 2 — 100; 3 — 110 и 4 — 120°K

ния (21) была отнята величина $y (\lg P_2^0 - \lg P_1^0)$. Отдельные точки на рис. 2 представляют значения:

$$(\lg P - \lg P_1^0)_{\text{набл}} - y (\lg P_2^0 - \lg P_1^0), \quad (22)$$

полученные из опытных значений P и y . Кривая, проведенная по этим точкам, представлена сплошной линией. Значения:

$$0,4343 \int_0^y \frac{y(1-y)D}{y-x} dy - y (\lg P_2^0 - \lg P_1^0) \quad (23)$$

нанесены штриховой линией таким образом, чтобы отклонения этих значений от значений (22) по концам кривых были одинаковы по абсолютной величине.

Относительные отклонения разностей $\lg P$, определенных по сплошной кривой на рис. 2, от значений интеграла, определенных по штриховой кривой, для отдельных участков представлены точками на рис. 3, причем точки нанесены по середине участков.

Возможные относительные отклонения от уравнения (21) из-за ошибок измерений для отдельных участков складываются из относительных ошибок

Таблица 6

$T, ^\circ K$	$\frac{\delta \lg P + \delta \lg P_T}{\lg P_2^0 - \lg P_1^0}, \%$
90,5	$\pm 2,4$
100	$\pm 2,5$
110	$\pm 2,6$
120	$\pm 4,1$

тур для отдельных участков равными таковым для всего интервала концентраций. Последние даны в табл. 6.

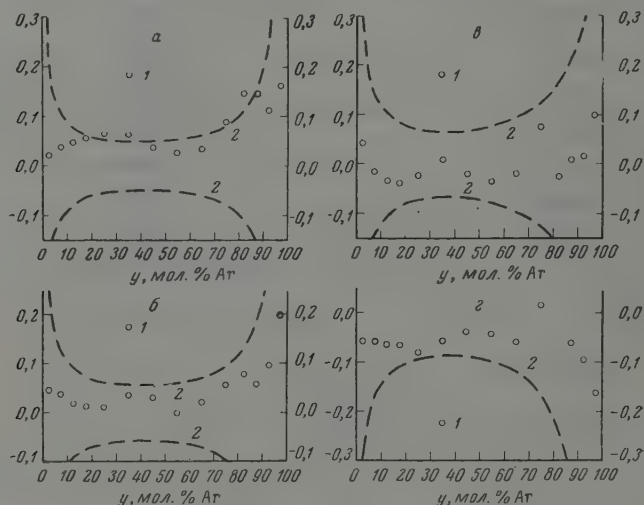


Рис. 3. Относительные отклонения опытных значений $(\lg P_{II} - \lg P_I)_{\text{набл}}$ от значений, вычисленных по уравнению (21): а — 90,5;

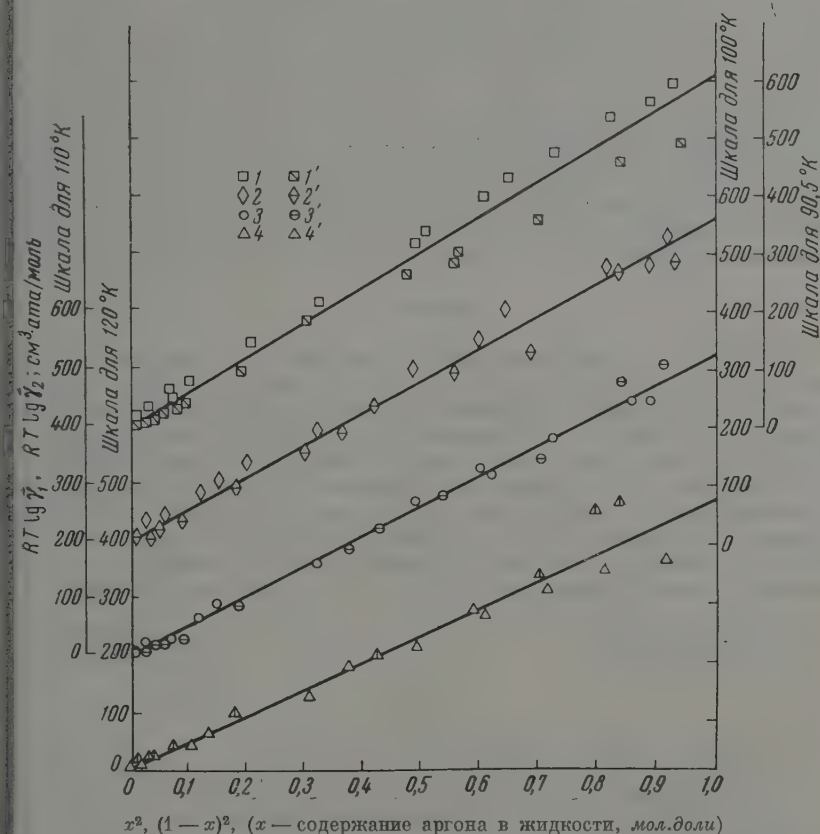
б — 100; в — 110 и г — 120° К; $1 - \left(\frac{(\lg P_{II} - \lg P_I)_{\text{набл}}}{0,4343 \int_{y_I}^{y_{II}} \frac{y-x}{y(1-y)D} dy} - 1 \right)$;

2 — границы области возможных отклонений вследствие ошибок измерений

Возможные отклонения от уравнения (21) вследствие суммарных ошибок в определении разности составов, давления и температуры для отдельных участков представлены на рис. 3 штриховыми линиями. Как видно из графиков, отклонения экспериментальных данных от уравнения (21) всюду хорошо укладываются в пределах, определяемых возможными ошибками измерений, за исключением небольшой области при $T = 90,5^\circ K$

а последняя небольшая неувязка, очевидно, объясняется тем, что возможные ошибки в определении давления и температуры, принятые в соответствии с ошибкой для всей области концентраций, занижены.

Таким образом, проведенная выше обработка опытных данных по фазовым равновесиям в системе кислород — аргон при помощи термодинамического уравнения, выражающего условия равновесия в бинарной двухфазной системе, подтверждает достоверность этих данных.



4. Зависимости: $RT \lg \gamma_1 = f(x^2)$ (1 — 90,5; 2 — 100; 3 — 110 и 4 — 120° К) и $RT \lg \gamma_2 = f[(1-x)^2]$ (1' — 90,5; 2' — 100; 3' — 110 и 4' — 120° К)

На основании результатов исследований фазовых равновесий в системе кислород — аргон, проведенных в интервале температур 87–95° К, Бурбо и И. Ишкин [10] показали, что раствор кислород — аргон может быть отнесен к классу правильных растворов [3], для которых справедливы уравнения:

$$\begin{aligned} RT \lg \gamma_1 &= Ax^2, \\ RT \lg \gamma_2 &= A(1-x)^2. \end{aligned} \quad (24)$$

Для установления того, насколько данный раствор приближается к классу правильных растворов в соответствии с результатами наших исследований [1], были определены коэффициенты активностей компонен-

тов раствора по уравнениям:

$$\gamma_1 = \frac{\bar{f}_1}{(f_1^0)_P(1-x)}; \quad \gamma_2 = \frac{\bar{f}_2}{(f_2^0)_P x}, \quad (25)$$

где \bar{f}_1 и \bar{f}_2 — летучести компонентов раствора, вычисленные по приведенным в книге И. Р. Кричевского [3] уравнениям:

$$\ln \bar{f}_1 = \ln(1-y) \frac{RT}{v} + \frac{1}{v} \left[2B - \frac{\partial B}{\partial y} \right]; \quad \ln \bar{f}_2 = \ln y \frac{RT}{v} + \frac{1}{v} \left[2B + \frac{\partial B}{\partial y} \right]; \quad (26)$$

$(f_1^0)_P$ и $(f_2^0)_P$ — летучести чистых жидкостей при давлении P , равном общему давлению раствора [11].

Значения $RT \ln \gamma_1$ и $RT \ln \gamma_2$ были нанесены на график в зависимости от x^2 и $(1-x)^2$ (рис. 4). Как видно из графика, полученные точки достаточно хорошо описываются уравнениями (24). Отклонения опытных значений состава пара от значений, вычисленных по этим уравнениям, не превосходят 0,5% Ar.

Выводы

1. Проведена термодинамическая обработка экспериментальных данных по равновесию жидкость — пар в системе кислород — аргон [1] при помощи уравнения, полученного из общего дифференциального уравнения Ван-дер-Ваальса с применением для паровой фазы уравнения состояния со вторым вириальным коэффициентом в его точной форме.

2. Показано, что отклонения экспериментальных данных от этого уравнения лежат в пределах возможных ошибок измерения температуры, давления и разности составов равновесных фаз пара и жидкости.

3. На основании экспериментальных данных показано, что раствор кислорода — аргон приближается к классу правильных растворов.

Институт кислородного
машиностроения

Поступила
19.XI.1958

ЛИТЕРАТУРА

1. Г. Б. Наринский, Кислород, № 3, 9, 1957.
2. И. Д. Ван-дер-Ваальс и Ф. Констанм, Курс термостатики, ОНТИ Главная редакция химической литературы, ч. I, М., 1936.
3. И. Р. Кричевский, Фазовые равновесия в растворах при высоких давлениях, Госхимиздат, М.—Л., 1952.
4. Б. Ф. Додж, Химическая термодинамика, ИИЛ, М., 1950.
5. Техническая энциклопедия. Справочник физических, химических и технологических величин, т. 5, 1930.
6. E. A. Guggenheim and M. L. Mc Glashan, Proc. Roy. Soc. A. 206, 44, 1951; E. A. Guggenheim, Revs Pure and Appl. Chem., 3, 1, 1952.
7. J. A. Van Lammeren, Comm. Leiden, Suppl. № 77b, 1935.
8. И. А. Роговая, Кандидатская диссертация, МЭИ, 1955.
9. G. Scatchard and G. L. Raymond, J. Amer. Chem. Soc., 60, 1278, 1938.
10. P. Bourbo u. I. Ischkin. Physica, 3, 1067, 1936.
11. М. Х. Карапетьянц, Химическая термодинамика, Госхимиздат, М.—Л., 1953.

THERMODYNAMIC TREATMENT OF EXPERIMENTAL DATA ON
VAPOR — LIQUID EQUILIBRIUM IN THE SYSTEM OXYGEN — ARGON*G. B. Narinskiĭ (Moscow)*

S u m m a r y

Experimental data on vapor — liquid equilibrium in the system oxygen — argon for temperatures 90.5, 100, 110 and 120° K (1) have been subjected to thermodynamic analysis with the objective of testing their validity.

On the basis of the general Van-der -Waals equation using the equation of state with second virial coefficient in its precise form for the vapor phase a relation has been derived between the total pressure and the composition of the equilibrium phases of liquid and vapor at constant temperature. The equation is of sufficient accuracy for the pressures occurring in the experiments. The deviation of the experimental data from the equation has been determined both for the entire range of concentrations as well as for individual regions and it has been shown that the deviations fall within the limits of possible errors in the determination of pressures, temperatures and compositions of the liquid and vapor phases. The activity coefficients of the solution components have been calculated and it has been shown that the oxygen — argon system may be referred to the class of regular solutions.

О ПАРАМЕТРЕ α -КИНЕТИЧЕСКИХ УРАВНЕНИЙ РЕАКЦИЙ ЭЛЕКТРОЛИТИЧЕСКОГО ВЫДЕЛЕНИЯ ВОДОРОДА И ДРУГИХ ЭЛЕКТРОДНЫХ РЕАКЦИЙ

Н. Е. Хомутов

В работах автора [1—4] установлена зависимость величин водородного и кислородного перенапряжений, а также емкости двойного слоя в области водородного перенапряжения от величин атомных радиусов электродных материалов. Эта зависимость подтверждена в ряде экспериментальных исследований по изучению процессов электролитического выделения водорода как на электродах из чистых металлов [5], так и на электродах из сплавов [6—9], а также использована в работах [10—11]. В работе [3] сделана попытка теоретического истолкования установленных фактов на основе анализа строения переходного состояния в процессах разряда водородных ионов и путем использования грубо приближенной электростатической модели этих процессов.

В работе [3] сделано предположение, что стадией, определяющей скорость разряда ионов водорода, является стадия переноса протона к поверхности электрода от ионов гидроксония или от молекул воды, составляющих обкладку двойного слоя. В соответствии с таким предположением величина снижения энергии активации разряда водородных ионов A электрическим полем электрода определяется работой, сообщаемой протону в процессе прохождения его через двойной электрический слой. Для случая разряда водородных ионов в растворах значительных концентраций, где двойной слой на электроде можно отождествить с плотной (гельмгольцевской) его частью, величина уменьшения свободной энергии активации этого процесса за счет поля электрода может быть дана в виде выражения:

$$A = \int_{x_1}^{x_2} \frac{dV}{dx} F \cos \varphi \cdot dx = \frac{dV}{dx} (x_2 - x_1) F \cos \varphi = \frac{dV}{dx} l F \cos \varphi. \quad (1)$$

В этом уравнении V — электрический потенциал электрода; x — координата, перпендикулярная поверхности электрода; dV/dx — градиент потенциала в плотной части двойного слоя.

При интегрировании уравнения (1) dV/dx рассматривается как величина, не зависящая от x ; величина $x_2 - x_1 = l$ — путь, проходимый протоном от его исходного положения в двойном слое ($x = x_1$) до переходного состояния ($x = x_2$); F — число Фарадея; φ — угол между направлением максимального изменения электрического потенциала в двойном слое и направлением движения протона.

Для случая наличия в двойном слое свободного вращения ионов гидроксония или других частиц, являющихся источником протонов, величина $\varphi = 0$, $\cos \varphi = 1$ и

$$A = \frac{dV}{dx} l F. \quad (2)$$

Так как в плотной части двойного слоя dV/dx постоянно при постоянной разности потенциалов ΔV между границами этого слоя, то величина dV/dx может быть принята равной $\Delta V/s$, где s — толщина слоя Гельмгольца. Заменяя dV/dx в уравнении (2) величиной $\Delta V/s$, получаем

$$A = \Delta V \frac{l}{s} F. \quad (3)$$

В современных теориях кинетики электродных процессов величина ионизации свободной энергии активации процесса разряда однозарядных ионов за счет поля электрода принимается равной выражению:

$$A = \alpha \Delta V F, \quad (4)$$

где α — константа, называемая коэффициентом переноса и определяемая из кинетических опытных данных при помощи уравнения:

$$\alpha = \frac{RT}{F} \frac{d \ln i}{d \eta}, \quad (5)$$

в котором i — плотность тока, η — перенапряжение, T — температура, — универсальная газовая постоянная. Уравнение (5) получается дифференцированием уравнения Тафеля.

Сравнение уравнения (4) с уравнением (3) приводит к соотношению

$$\alpha = \frac{l}{s}. \quad (6)$$

Для случая отсутствия свободной ориентации (ионов и молекул) поверхности электрода

$$\alpha = \frac{l}{s} \cos \varphi. \quad (7)$$

Уравнение (6) может быть также легко обосновано, если исходить из определения понятия энергии активации, принятого Международным комитетом по электрохимической терминологии, с применением модели двойного слоя Гельмгольца и с использованием допущения, что в акте разряда путь протонов не равен всей толщине двойного слоя s , а составляет лишь его часть l .

Соотношение (6) раскрывает физическую природу коэффициента α . Согласно этому соотношению, α представляет долю плотной части двойного слоя, проходимую протоном в акте его разряда. При образовании атома водорода электрон также должен выйти на границу металл — раствор. Путь, проходимый электроном, равен $s(1-\alpha)$. Общий путь, проходимый зарядами в процессе нейтрализации протона на поверхности электрода, равен толщине плотной части двойного слоя. Таким образом, α представляет отношение пути протона к общему пути протона и электрона, проходимого в процессе образования водородного атома на электроде. Уравнение (6) позволяет теоретически рассчитать величину α , если известны величины l и s . В соответствии с современным представлением о состоянии ионов гидроксония в водных растворах среднее удаление поверхности металла протонов, находящихся в плотной части двойного слоя, должно быть равно радиусу иона гидроксония или радиусу молекул воды. За общую толщину слоя Гельмгольца s следует принять величину расстояния между центрами положительных и отрицательных зарядов в этом слое. Отрицательными зарядами в двойном слое являются избыточные электроны. Наиболее вероятные места их локализации являются местами наиболее низких потенциальных энергий. Такими местами являются границы соприкосновения атомов металла, находящихся на поверхности электрода. Места локализации электронов, входящих в

двойной слой, удалены от межфазовой границы (поверхности электрода) на расстояние r_M атомного радиуса металла. Центры положительных зарядов удалены от межфазовой границы на расстояния, равные радиусу иона r_i . Для случая разряда водородных ионов величина r_i — радиус иона H_3O^+ может быть принят равным радиусу молекулы воды r_{H_2O} . За межфазовую границу принимается плоскость, являющаяся касательной к поверхностному слою атомов электродного металла. Таким образом для процессов электролитического выделения водорода на гладкой поверхности электрода формуле (6) может быть придан следующий вид:

$$\alpha = \frac{r_{H_2O}}{r_M + r_{H_2O}}. \quad (8)$$

В случае наличия на поверхности электрода адсорбированных атомов или молекул с атомным или молекулярным диаметром d_a формуле (6) необходимо придать следующий вид:

$$\alpha = \frac{r_{H_2O}}{r_M + r_{H_2O} + d_a}. \quad (9)$$

При этом предполагается, что разряд протонов имеет место на удалении $r_M + d_a$ от плоскости, проходящей через центры поверхностного слоя атомов металла.

Соотношения (8) и (9) позволяют теоретически рассчитать величины α . Для процессов электролитического выделения водорода, кислорода и металлов из водных растворов величина α колеблется в интервале $1 \div 0$, но наиболее часто эта величина близка к 0,5. Значение α около 0,5 наблюдается преимущественно на гладких электродах, подвергнутых предварительному электролитическому восстановлению с целью удаления окисной пленки или адсорбированного кислорода с поверхности металла в применении в процессах электролитического выделения водорода растворов, очищенных продолжительным предварительным электролизом. Величина α зависит от состояния поверхности электрода. При применении шероховатых электродов величины α имеют большие значения, чем для гладких электродов. Для активированной платины, а также для высокодиспергированного золота величины α близки к единице. У некоторых электродных материалов (Pt, Pd) наблюдаются разные величины α при высоких и малых плотностях тока.

Раскрытие физического смысла величины α имеет значение не только для понимания механизма электролитического выделения водорода, но и для понимания механизма других электрохимических реакций. Для реакций выделения кислорода, азота, хлора, металлов величины α во многих случаях близки к 0,5, а в окислительно-восстановительных реакциях они нередко отклоняются от этой величины и имеют значения $0,2 \div 0,7$.

Уравнения (8) и (9) предсказывают зависимость величины α от природы металла, от природы разряжающихся ионов и от состояния поверхности электрода. Для гладких электродов с чистой поверхностью величины α должны быть близки к 0,5, так как атомные радиусы металлов, применяемых в качестве электродов, близки к радиусу молекулы воды.

В табл. 1 сопоставлены опытные значения α ($\alpha_{оп}$, столбец 6), вычисленные при помощи уравнения (5), из наиболее тщательно полученных данных по перенапряжению, с величинами α , вычисленными при помощи формулы (8) (столбец 7). Значения атомных радиусов, принятые в данном расчете, те же, что и в работе [3].

Металлы, входящие в табл. 1, за исключением меди, имеют $r > 1,37$ Å.

Из рассмотрения данных, приведенных в табл. 1, видно, что для металлов с $r > 1,38$ Å опытные значения α , полученные в наиболее совершенных экспериментах, хорошо согласуются с величинами α , вычисленными

Металлы	$r_M, \text{\AA}$	Электролит	$t, ^\circ\text{C}$	b	$\alpha_{\text{оп}}$	α	Литература
цинк	1,745	1 N H ₂ SO ₄	20	0,110	0,53	0,44	[12]
»	1,745	0,1 N H ₂ SO ₄	20	0,118	0,495	0,44	[13]
»	1,745	0,5 N HCl	20	0,120	0,485	0,44	[14]
»	1,745	0,1 N HCl	20	—	0,48	0,44	[15]
аллий	1,71	1,7 N H ₂ SO ₄	20	0,140	0,42	0,45	[16]
индий	1,62	1,0 N HCl	16	0,125	0,455	0,46	[17]
туть	1,57	1,0 N H ₂ SO ₄	20	0,113	0,515	0,47	[12]
»	1,57	1,0 N HCl	20	0,116	0,505	0,47	[12]
»	1,57	1,0 N HCl	20	0,120	0,48	0,47	[18]
висмут	1,55	1,0 N H ₂ SO ₄	—	—	0,4—0,6	0,47	[15]
адмий	1,54	1,3 N H ₂ SO ₄	20	0,120	0,485	0,474	[16]
аллий	1,53	0,2 N H ₂ SO ₄	—	—	0,500	0,476	[15]
олово	1,508	1,0 N HCl	20	0,116	0,505	0,480	[12]
»	1,508	1,0 N HCl	—	—	0,45	0,48	[15]
серебро	1,44	1,0 N HCl	20	0,116	0,505	0,480	[12]
ром гексагон.	1,39	1,0 N HCl	20	0,112	0,52	0,50	[5]
едь	1,28	1,0 N H ₂ SO ₄	20	0,115	0,515	0,52	[12]

при помощи уравнения (8). Для ряда металлов, преимущественно для переходных металлов, значения опытной константы α близки к 0,6. Вычисленные величины α при помощи формулы (8) составляют около 0,5 для таких же металлов. Металлы этой группы отличаются наиболее высокой адсорбционной способностью по отношению к атомарному водороду. Теоднократно в литературе высказывались предположения, что разряд водородных ионов на электродах такого типа происходит через слой адсорбированных водородных атомов. В случае правильности указанного предположения следует ожидать, что путь, проходимый протоном в процессе разряда на поверхности таких электродов, будет превышать обычную его величину на атомный диаметр водорода $2r_H = 0,60 \text{\AA}$. Для таких металлов уравнение (8) должно быть написано в следующем виде:

$$\alpha = \frac{r_{H_2O} + 2r_H}{r_M + 2r_H + r_{H_2O}} \quad (10)$$

В табл. 2 для ряда металлов сопоставлены опытные значения α и вычисленные при помощи уравнения (10).

Таблица 2

Металлы	$r_M, \text{\AA}$	Электролит	$t, ^\circ\text{C}$	b	$\alpha_{\text{оп}}$	α	Литература
алюминий	1,43	2,0 N H ₂ SO ₄	—	—	0,6	0,585	[15]
вольфрам	1,41	1,0 N HCl	20	0,09	0,645	0,590	[14]
»	1,41	1,0 N HCl	20	0,10	0,585	0,590	[18]
»	1,41	H ₂ SO ₄ (pH = 1,6)	25	0,103	0,580	0,590	[19]
урыма	1,59	2,0 N H ₂ SO ₄	—	—	0,580	0,560	[15]
латина	1,39	0,5 N HCl	20	0,100	0,585	0,595	[14]
кобальден	1,39	0,5 N HCl	20	0,100	0,585	0,595	[14]
икель	1,25	0,1 N NaOH	20	0,100	0,585	0,615	[12]
»	1,25	1,0 N HCl	20	0,100	0,585	0,615	[18]

Из рассмотрения данных, приведенных в табл. 2, видно, что для ряда металлов наблюдается хорошее количественное согласие опытных и вычисленных теоретически значений α .

Анализ уравнений (6)—(8) предсказывает характер изменения величины α с увеличением шероховатости поверхности. С увеличением дисперсности поверхности электрода будет повышаться потенциальная энергия электронов, и они окажутся в состоянии подходить к поверхности раздела все ближе и ближе. Если степень дисперсности металла на поверхности электрода станет очень большой, то состояние поверхностного слоя будет приближаться к состоянию атомной фазы. Поэтому свободные электроны окажутся локализованными на самой границе раздела. В актах нейтрализации протонов путь электронов окажется исчезающе малым, и в таких случаях $l \rightarrow s$ и $\alpha \rightarrow 1$. Этот случай, как хорошо известно из литературных данных, наблюдается при электролитическом выделении водорода на платинированной платине, на электролитически осажденных золоте и металлах платиновой группы.

На поверхности окисленных металлов, или имеющих слой адсорбированного атомарного кислорода ($r_0 = 1,4 \text{ \AA}$), толщина двойного слоя s будет определяться соотношением $s = r_M + r_0 + r_{H_2O}$, а величина α будет равна

$$\alpha = \frac{r_{H_2O}}{r_M + r_{H_2O} + r_0}. \quad (11)$$

Для металлов, имеющих r_M около $1,5 \text{ \AA}$, величина α будет составлять около 0,3. Такие значения α действительно наблюдаются на электродах из окисленных металлов.

В присутствии веществ в растворе, адсорбируемых поверхностью электрода, наблюдаются значения величин α , значительно меньшие 0,5. Этот факт согласуется с предсказанием, вытекающим из анализа уравнения (9). Уравнение (8) предсказывает небольшие изменения α с изменением температуры вследствие небольших изменений плотностей жидкости и металла и связанных с этим изменений в межатомных расстояниях в металле и межмолекулярных расстояниях в жидкой фазе. В работе [20] найдено, что для реакции электролитического выделения водорода в растворах HCl при применении ртутного катода с повышением температуры величина α возрастает от 0,500 (0°C) до 0,550 ($91,3^\circ$). Такое изменение качественно согласуется с ожидаемым его изменением на основе уравнения (8).

Вышеизложенные представления о природе коэффициента α в реакции электролитического выделения водорода, по-видимому, пригодны для объяснения физического смысла величин α , наблюдаемых в других электрохимических реакциях.

Для реакций катодного осаждения металлов имеется мало надежных сведений о величинах α . В процессах электроосаждения никеля, меди, цинка из растворов их серноокислых солей наблюдаемые значения α составляют 0,5 [15]. В процессе разряда металлических ионов имеет место их вхождение в решетку металла. Этот процесс сопровождается движением ионов и электронов в двойном слое. Для случая медленности процесса разряда значение величин $\alpha = 0,5$ означает, что половина общего перемещения электрического заряда в процессе разряда иона приходится на долю самого иона.

В процессах электролитического выделения кислорода из водных растворов происходит переход электрона от гидроксильных ионов или от молекул воды к электроду. Расчет α при помощи формулы (6) дает значение $\alpha = 0,5$ для платинового электрода, принимая $l = r_{H_2O} = 1,38 \text{ \AA}$ (или $r_{OH} = 1,40 \text{ \AA}$) и $s = r_{H_2O} + r_{Pt} = 2,77 \text{ \AA}$. Такая величина α действительно наблюдалась в ряде работ по изучению кинетики электролитического выделения кислорода [15].

В щелочных растворах, а также в буферных фосфатных растворах в процессах электролитического выделения кислорода на платине наблю-

ются величины $\alpha = 0,2-0,3$ [21]. Расчет величины α для этого случая по формуле (9) с использованием предположения о существовании этих условий мономолекулярного слоя кислорода на поверхности электрода приводит к величине α около 0,25, что согласуется с опытными наблюдениями.

Н. А. Изгарышев, Е. А. Ефимов, В. С. Малошук исследовали влияние концентрации серной кислоты на величины константы b в уравнении Таля для процессов электролитического выделения кислорода [22]. Они показали, что эта константа в концентрированных растворах H_2SO_4 имеет величины 0,17–0,25. Она изменяется с изменением концентрации серной кислоты в растворе и претерпевает резкие изменения при концентрациях серной кислоты, отвечающих особым точкам Д. И. Менделеева. Изменение константы α с изменением концентрации серной кислоты может быть понято на основе формулы (9). В данном случае изменение α с изменением состава электролита будет вызываться изменением состава толщины адсорбционного слоя на поверхности электрода.

С. С. Кругликов [23] нашел, что в процессах электролитического выделения кислорода на платине из растворов 7,5 N H_2SO_4 величины α составляют около 0,45. Для тех же растворов, содержащих β -пиколин, величины α ниже; они уменьшаются с ростом концентрации β -пиколина достигают 0,3 в растворах, содержащих 100 г/л β -пиколина. В свете приведенных представлений о природе константы α ее уменьшение с ростом концентрации β -пиколина следовало ожидать как результат увеличения степени заполнения поверхности металла адсорбированным слоем молекул β -пиколина.

Для процессов электролитического выделения хлора и брома на платине опытные значения α лежат в интервале 0,5–0,7 [15]. Вычисление с помощью формулы (6) дает $\alpha_{Cl} = 0,56$ и $\alpha_{Br} = 0,59$. В расчете вместо радиусов r_i в формулу подставлены кристаллохимические радиусы иона хлора (1,81 Å) и иона брома (1,95 Å). Можно считать, что рассчитанные величины α достаточно хорошо согласуются с их опытными значениями.

Как видно из вышеприведенного обсуждения опытных значений коэффициента α , предложенное в данной работе теоретическое истолкование этой величины находится в согласии с опытными фактами для ряда электрохимических реакций.

Выводы

Выведена формула для расчета параметра α , входящего в уравнения электрохимической кинетики ряда электродных реакций. Выведенная формула устанавливает зависимость величины α от природы металла и природы разряжающегося иона. Для реакций электролитического выделения водорода, кислорода, хлора и брома вычисленные теоретически величины α хорошо согласуются с их опытными значениями.

Химико-технологический институт
им. Д. И. Менделеева
Москва

Поступила
20.XI.1958

ЛИТЕРАТУРА

- Н. Е. Хомутов, Ж. физ. химии, 24, 1201, 1950.
Н. Е. Хомутов, Сообщ. о работах членов Всес. хим. о-ва им. Д. И. Менделеева, 3, 1950.
Н. Е. Хомутов, Тр. Совещания по электрохимии, 1953, стр. 97.
Н. Е. Хомутов, Тр. МХТИ им. Д. И. Менделеева, 26, 156, 1959.
St. G. Christov, N. A. Paingarov, Z. Elektrochem., 61, 113, 1957.
Т. Т. Инжечек, Диссертация, 1953.
Н. С. Федорова, Диссертация, М., 1957.
Н. С. Федорова, Ж. физ. химии, 32, 506, 1953.
N. Ohtani, Sci. Repts. Inst. Tohoku Univ., A 8, № 5, 399, 1956.

10. Р. М. Васенин, Ж. физ. химии, **30**, 630, 1956.
11. С. М. Кочергин, Успехи химии, **24**, 781, 1955.
12. А. Н. Фрумкин, В. С. Багодский, З. А. Иофа, Б. Н. Кабанов, Кинетика электродных процессов, Изд-во МГУ, 1952, стр. 126.
13. Б. Н. Кабанов, З. А. Иофа, Ж. физ. химии, **13**, 341, 1938.
14. Т. Т. Бакуменко, О. М. Полтораки, Н. И. Кобозев, Сб. Тр. Украинск. н.-и. ин-т полигр. пром-сти, **4**, 135, 1956.
15. Д. Ж. Бокрис, Некоторые проблемы современной электрохимии, М., 1958, стр. 229, 266, 269, 252.
16. Я. М. Колотыркин, Л. А. Медведева, Тр. Совещания по электрохимии, М., 1953, стр. 372.
17. J. O. M. Bockris, Trans. Faraday Soc., **43**, 417, 1947.
18. P. J. Hilson, Trans. Faraday, **48**, 462, 1952.
19. А. А. Трчуниа, Л. И. Антропов, Изв. АН АрмССР, физ.-матем. естествозн. техн. н., **9**, 19, 1956.
20. B. Post, C. F. Hiskey, J. Amer. Chem. Soc., **72**, 4203, 1950.
21. A. Hickling, S. Hill, Trans. Faraday Soc., **46**, 550, 1950.
22. Н. А. Изгарышев, Е. А. Ефимов, В. В. Малошук, Ж. физ. химии, **27**, 310, 1953.
23. С. С. Кругликов, Электросинтез никотиновой кислоты, Диссертация, М., 1958.

ON THE α -PARAMETER OF KINETIC EQUATIONS FOR THE
ELECTROLYTIC LIBERATION OF HYDROGEN AND OTHER ELECTRODE
PROCESSES

N. E. Khomutov (Moscow)

Summary

Based on the assumption that proton transfer in the Helmholtz electrical double layer is the rate determining reaction of electrolytic hydrogen evolution, an equation $\alpha = l/s$ has been derived, correlating the transition coefficient α with the thickness of the Helmholtz layers and the length of the path l traversed by hydrogen in the double layer in the discharge process. Assuming l to be equal to the radius of a water molecule, 1.38 Å, and s to be the sum of the radii of the water molecule and the atom of the electrode metal, good agreement has been found between experimental data and the theoretically calculated values of α for many metals. For some metals (good adsorbents of hydrogen) satisfactory agreement between theoretical and experimental values of α has been found on assuming coverage of the electrode by a uniatomic layer of hydrogen. The formula explains the experimental values of α obtained under various conditions of electrolytic evolution of hydrogen. The formula has been shown to hold for the electrolytic evolution of oxygen, chlorine and bromine.

ИССЛЕДОВАНИЕ ЦИЛИНДРИЧЕСКОГО И ШАРОВОГО БИПОЛЯРНЫХ ЭЛЕКТРОДОВ

В. П. Машовец и В. Г. Фомичев

В технических электролизерах нередко встречаются электропроводящие детали, могущие играть роль промежуточных биполярных электродов. Таковы металлические стенки некоторых ванн, металлические сетчатые диафрагмы, различные экраны и т. п. Такую же роль могут играть капельки металла или частицы угля, взвешенные в электролите при электролизе расплавов.

При неполяризующихся электродах картина электрического поля определяется только геометрическими факторами, т. е. конфигурацией системы. Поляризация вызывает перераспределение тока, тем более значительное, чем больше отношение поляризуемости к удельному сопротивлению раствора [1, 2]. На биполярном электроде как поляризация, так и поляризуемость снижают силу проходящего через него тока [3]. Формально тот же результат получится, если на поверхность электрода нанести пленку вещества, электрическое сопротивление которой зависело бы от плотности тока так же, как поляризация [4].

Действительно, поляризуемость, имея размерность $\Omega \text{ см}^2$, создает нелинейное поверхностное сопротивление прохождению тока, хотя физическая природа ее отлична от омического сопротивления.

Ниже рассматривается влияние электродной поляризации и поляризуемости на перераспределение тока на биполярном электроде для некоторых частных конфигураций.

Расчет электрического поля для цилиндрического биполярного электрода

Рассмотрим предварительно плоскую электролитическую ячейку, открытую по всему сечению плоским биполярным электродом толщиной, перпендикулярным к направлению поля (рис. 1). Разность потенциалов между точками раствора, прилегающими к противоположным поверхностям биполярного электрода:

$$\Delta U = \left(\frac{\Delta \varphi}{\Delta j} \right)_k j + \left(\frac{\Delta \varphi}{\Delta j} \right)_a j + \rho_1 l j, \quad (1)$$

где φ — поляризация, j — плотность тока и, значит, $\Delta \varphi / \Delta j$ — поляризуемость; в дальнейшем для краткости обозначим ее α , индексы k и a относятся к катодной и анодной поляризации; ρ_1 — удельное сопротивление материала биполярного электрода.

Если электрод металлический, то последним членом в (1) можно пренебречь по малости ρ_1 . Рассматривая сумму поляризуемости как поверхностное сопротивление, распределим его равномерно по всему объему электрода и назовем условно удельным поляризационным сопротивлением материала электрода ρ_2 . Тогда (1) запишется как:

$$\Delta U = j \Sigma \alpha = j \rho_2 l \quad \text{и} \quad \rho_2 = \frac{\Sigma \alpha}{l}. \quad (2)$$

Умножая и деля правую часть (2) на удельное сопротивление раствора ρ_0 , получим

$$\rho_2 = \rho_0 \left(\frac{\Sigma \alpha}{\rho_0 l} \right), \quad (3)$$

где выражение в скобках есть безразмерный критерий электрохимического подобия [2].

Для биполярного электрода в форме кругового цилиндра, расположенного в однородном поле, направленном перпендикулярно к оси цилиндра,

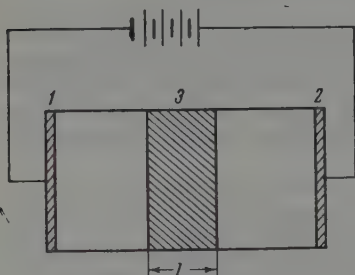


Рис. 1. План ячейки: 1 и 2 — основные электроды; 3 — плоский биполярный электрод

мы уже менее строго, лишь в первом приближении, можем заменить поляризуемость «удельным поляризационным сопротивлением» ρ_2 , распространяя его на весь объем электрода. Переходя от удельных сопротивлений ρ к электропроводностям γ , запишем (3) применительно к данному случаю в виде:

$$\gamma_2 = \gamma_0 \left(\frac{\gamma_0 D}{\Sigma \alpha} \right) = \frac{D}{\Sigma \alpha}, \quad (4)$$

где в качестве линейного параметра l выбран диаметр цилиндра D .

Обычно поляризуемость α является сложной функцией плотности тока, что чрезвычайно осложняет расчет. Поэтому для практических расчетов

в качестве $\Sigma \alpha$ примем сумму катодной и анодной поляризуемости при средней плотности тока на цилиндрическом биполярном электроде в первичном поле (в отсутствие поляризации). При этом поляризуемости α_k и α_a получаются делением средней поляризации на среднюю плотность тока. Как будет показано ниже, такое усреднение при не слишком больших поляризуемостях приводит к результатам, удовлетворительно совпадающим с экспериментом.

Расчет поля вокруг биполярного электрода сводится теперь к расчету искажения однородного поля с напряженностью E_0 в среде с удельной электропроводностью γ_0 при внесении в нее цилиндрического тела с удельной электропроводностью γ_2 .

Потенциал в точке вне цилиндра, определяемой расстоянием r от его оси и углом θ (рис. 2), выразится [5], как

$$U = E_0 \cos \theta \left(A \frac{R^2}{r} - r \right), \quad (5)$$

где R радиус цилиндра, а

$$A = (\gamma_2 - \gamma_0) / (\gamma_2 + \gamma_0).$$

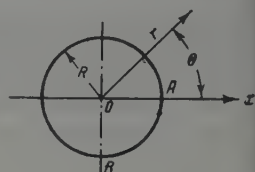


Рис. 2. Цилиндрический (или шаровой) электрод в поле; направление поля вдоль оси x

Напряженность поля и плотность тока вне цилиндра составляют

$$-\frac{\partial U}{\partial r} = E_0 \cos \theta \left(1 + A \frac{R^2}{r^2} \right), \quad (6)$$

$$j = \gamma_0 \left(-\frac{\partial U}{\partial r} \right) = \gamma_0 E_0 \cos \theta \left(1 + A \frac{R^2}{r^2} \right). \quad (7)$$

Так как на поверхности цилиндра $r = R$, то ток, проходящий через участок цилиндра, высотой $h = 1$ см:

$$I = \gamma_0 E_0 R (1 + A) \int_{-\pi/2}^{+\pi/2} \cos \theta d\theta = 2R\gamma_0 E_0 (1 + A). \quad (8)$$

Из (8) следует, что если $\gamma_2 \gg \gamma_0$, т. е. можно принять $A = 1$ (неполяризованный электрод), то через участок цилиндра с $h = 1$ проходит ток

$$I_0 = 4R\gamma_0 E_0, \quad (9)$$

так как в зоне однородного поля плотность тока $j_0 = \gamma_0 E_0$, то неполяризуемый (первичное поле) или слабо поляризуемый цилиндрический биполярный электрод принимает на себя ток, проходящий через участок однородного поля шириною $4R$. Первичная плотность тока на полярном электроде по уравнению (7) в зависимости от угла θ изменится от $2j_0$ до нуля. Средняя же первичная плотность тока составляет

$$j_{cp} = \frac{I_0}{\pi R} = \frac{4}{\pi} j_0. \quad (10)$$

Если $\gamma_2 = \gamma_0$, т. е. $A = 0$, то, по уравнению (8), через биполярный электрод проходит такой же ток, как и через участок шириною $2R$ в зоне однородного поля, т. е. поле не искажается; поляризация биполярного электрода компенсируется сопротивлением электролита. Плотность тока электроде изменяется от j_0 до нуля.

Если $\gamma_2 < \gamma_0$, т. е. $0 > A > -1$ (сильно поляризуемый электрод в очень хорошо проводящем растворе), то ток на биполярном электроде стремится к нулю, т. е. линии тока огибают цилиндрический электрод.

Расчет поля для шарового биполярного электрода

Аналогично предыдущему, заменяем поляризуемость поверхностным сопротивлением [4], которое затем распределяем по всему объему шара. Основную удельную электропроводность материала электрода γ_2 принимаем по уравнению (4), где D — диаметр шара.

Если в однородное поле напряженностью E_0 в среде с удельной электропроводностью γ_0 введен шар радиуса R с удельной электропроводностью γ_2 (рис. 2), то потенциал в точке на расстоянии r от центра шара делится [5, 6].

$$U = E_0 \cos \theta \left(B \frac{R^3}{r^2} - r \right), \quad (11)$$

$$B = \frac{\gamma_2 - \gamma_0}{\gamma_2 + 2\gamma_0}.$$

Напряженность поля, плотность тока вне шара и, наконец, ток, проходящий через шар, выражаются соответственно:

$$-\frac{\partial U}{\partial r} = E_0 \cos \theta \left(1 + 2B \frac{R^3}{r^3} \right), \quad (12)$$

$$j = \gamma_0 E_0 \cos \theta \left(1 + 2B \frac{R^3}{r^3} \right) \quad (13)$$

$$I = \pi \gamma_0 E_0 (1 + 2B) \int_{-\pi/2}^{+\pi/2} \int_0^R \cos \theta dz d\theta = \pi R^2 \gamma_0 E_0 (1 + 2B), \quad (14)$$

где интегрирование ведется по углу θ и по z — расстоянию от центра элементарной площадки на поверхности шара до оси шара, совпадающей

с направлением внешнего поля, т. е. по всей поверхности половины шара.

При отсутствии поляризации ($\gamma_2 \gg \gamma_0$ и $B = 1$) через биполярный электрод проходит ток

$$I_0 = 3\pi R^2 \gamma_0 E_0, \quad (1)$$

что равно току, проходящему в зоне однородного поля через сечение электролита, равное утроенной площади проекции шара. В соответствии с плотностью тока в точке A (рис. 2) $j_{\max} = 3 j_0$ и в точке B $j_{\min} =$

Деля силу тока (14) на поверхность полушара, найдем среднюю плотность тока $j_{\text{ср}} = 1,5 j_0$.

На поляризующемся электроде при $\gamma_2 = \gamma_0$ и $B = 0$ шар пропускает ток, проходящий в зоне однородного поля через площадку, равную сечению шара, т. е. поле не искажается. Если $\gamma_2 < \gamma_0$ и $0 > B > -0,5$, то ток частично, а при $B = -0,5$ (непроводящее включение) уже полностью огибает шаровой электрод.

Экспериментальная часть

Применялась прямоугольная ячейка глубиной 7 см; длина основных электродов между которыми создавалось однородное поле 20 см, расстояние 25 см. Глубина заполнения раствором в случае цилиндрического электрода 2 см, в случае шарового 6,5 см. Цилиндрический электрод помещался вертикально в центре ячейки (рис. 3), шаровой в виде полусферы погружался в раствор в центре ячейки на глубину, равную

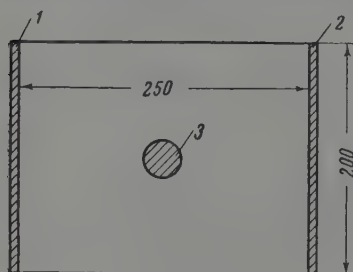


Рис. 3

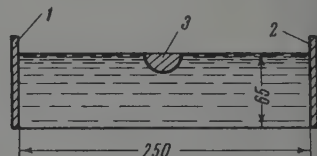


Рис. 4

Рис. 3. План ячейки: 1 и 2 — основные электроды; 3 — промежуточный цилиндрический биполярный электрод

Рис. 4. Вертикальный разрез ячейки по оси шарового биполярного электрода: 1 и 2 — основные электроды; 3 — биполярный шаровой электрод

радиусу полусферы (рис. 4). Использовались медные и никелевые электроды в растворах (табл. 1), обеспечивающих широкий диапазон удельных электропроводностей и хода поляризационных кривых.

Таблица 1

Характеристики применявшихся растворов

№	Состав, г/л				Удельная электропроводность, $\Omega^{-1} \text{ см}^{-1}$	Материал электрода
	$\text{CuSO}_4 \cdot 5\text{H}_2\text{O}$	$\text{NiSO}_4 \cdot 7\text{H}_2\text{O}$	H_2SO_4	H_3BO_3		
1	75	—	—	—	0,0248	Cu
2	75	—	100	—	0,430	Cu
3	—	75	—	15	0,0235	Ni

Метод построения и обработки плоских полей (с цилиндрическим полярным электродом) не отличался от уже описанного нами ранее [7]. В случае же шара имеется поле тела вращения; оно вполне характерно

Таблица 2

ток через цилиндрический биполярный электрод, рассчитанный по уравнению (8) и измеренный экспериментально

Диаметр цилиндрического электрода D , см	№ раствора	Плотность тока в зоне однородного поля i_0 , мА/см ²	Ток через биполярный электрод в первичном поле I_0 , мА	Поляризуемость V/A см ²		Условная электропроводность б/д электрода $\gamma_2 \Omega^{-1} \text{ см}^{-1}$	$A = \frac{\gamma_2 - \gamma_0}{\gamma_2 + \gamma_0}$	Ток через биполярный электрод во вторичном поле I			
				катодная α_K	анодная α_A			расчет по ур-нию (8)		эксперимент	
								мА	% от первичного	мА	% от первичного
5	1	1	10	18,9	14,2	0,151	0,721	8,6	86,0	8,6	86,0
5	1	10	100	9,14	7,65	0,297	0,847	92,5	92,5	92,4	92,4
5	2	10	100	11,0	10,0	0,238	—0,287	35,6	35,6	38,4	38,4
5	3	10	100	63,0	128	0,0262	—0,0544	52,7	52,7	41,5	41,5
5	3	1	10	450	945	0,00358	—0,738	1,34	13,4	0,92	9,2
10	1	1	18*	21,0	16,0	0,270	0,832	16,5	91,5	16,94	94,2
10	1	10	180	10,25	8,37	0,537	0,913	172	95,5	180,8	100,4
10	2	10	180	11,0	10,0	0,477	0,0518	94,7	52,7	98,4	54,7

Для опытов 1—5 ток I_0 рассчитан по уравнению (9); в опытах 6—8 диаметр электрода только велик (при данной ширине ячейки), что сказывается искажающее влияние на боковых стенках ячейки. Поэтому I_0 для этих случаев измерено экспериментально при определенном токе.

Получается картина поля в одной плоскости, совпадающей с осью вращения. Поэтому, перемещая носик электролитического ключа вблизи поверхности раствора снимали поле в плоскости, проходящей через центр шара. Линии тока строились так, чтобы в каждой клетке, образованной в исследуемой плоскости двумя соседними эквипотенциальными и двумя силовыми линиями соблюдалось условие $\Delta n / \Delta l = r$, где Δn и Δl — расстояния между соседними эквипотенциальными и силовыми линиями соответственно, а r — расстояние от центра клетки до оси вращения [6].

Приведенное в табл. 2 сравнение токов, проходящих через участок цилиндра высотой 1 см, рассчитанных по уравнению (8) и найденных экспериментально, показывает вполне удовлетворительное совпадение для медного электрода и несколько худшее для никелевого, поляризуемость которого очень велика (γ_2 мало). Сравнение опытов 2 и 3, а также 7 и 8 показывает, как увеличение электропроводности раствора при примерно одинаковых поляризуемостях и прочих равных условиях снижает ток, проходящий через биполярный электрод. В этом же направлении, но еще сильнее влияет увеличение поляризуемости при мало различающихся электропроводностях растворов, как видно из сравнения опытов 1 и 5 или 2 и 4, или 4 и 5.

На рис. 5, 6 и 7 показаны рассчитанные по уравнению (7) и экспериментально найденные распределения плотности тока на биполярном электроде для трех опытов. Расчет дает одинаковое распределение для катодного и анодного участков, так как мы допустили равномерное распределение «поляризационного сопротивления» по всему объему электрода.

В растворе 1, характеризуемом малой удельной электропроводностью малой поляризуемостью, и расчетное и экспериментальное вторичное распределение тока близко к первичному (рис. 5). В хорошо проводящем растворе 2 отклонения значительно сильнее. Кроме того, так как в этом случае катодная поляризация и поляризуемость больше анодной, то катодный участок электрода больше анодного, а плотность тока на нем ниже, чем на анодном (рис. 6). Раствор 3 (рис. 7) характеризуется очень

положим ходом поляризационных кривых, особенно анодной. Поэтому распределение тока на анодном участке более равномерное, чем на катодном; кроме того, анодный участок больше катодного, но это различие меньше, чем для раствора 2 вследствие значительно пониженной электропроводности раствора 3.

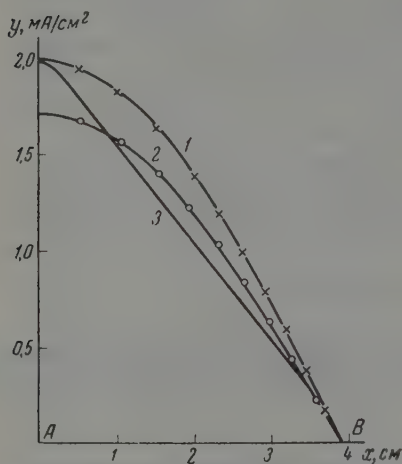


Рис. 5

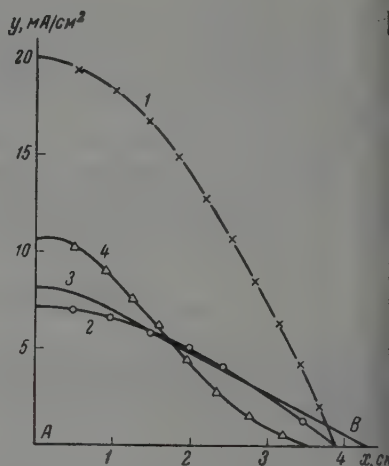


Рис. 6

Рис. 5. Распределение плотности тока на цилиндрическом биполярном электроде для опыта 1, x — поверхность электрода; точки A и B соответствуют рис. 2; y — плотность тока mA/cm^2 : 1 — в первичном поле; 2 — по расчетным данным; 3 — из эксперимента для катодного и анодного участков

Рис. 6. Распределение плотности тока на цилиндрическом биполярном электроде для опыта 2; точки A и B соответствуют рис. 2; y — плотность тока mA/cm^2 : 1 — в первичном поле; 2 — по расчетным данным; 3 — из эксперимента для катодного, 4 — из эксперимента для анодного участка

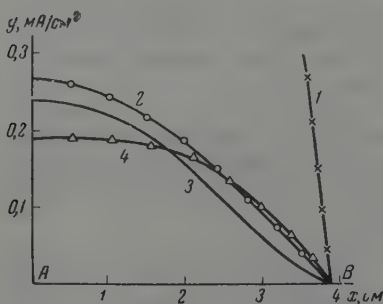


Рис. 7. Распределение плотности тока на цилиндрическом биполярном электроде для опыта 5; обозначения те же, что на рис. 6.

В табл. 3 приведены результаты расчета по уравнению (14) тока, проходящего через шар и экспериментальной проверки его. Расчетные опытные данные хорошо согласуются между собой для медного электрода и хуже для никелевого. В остальном эта таблица подтверждает те же закономерности, какие были установлены для цилиндрического электрода.

Таблица 3

Ток через шаровой биполярный электрод, рассчитанный по уравнению (14) и измеренный экспериментально

№ раствора	Плотность тока в зоне однородного по- ля mA/cm^2	Ток через биполяр- ный электрод в пер- вичном поле I_0 , mA	Поляризуе- мость $V/A \cdot \text{cm}^2$		Условная электро- проводность биплек- трода γ_2 , $\Omega^{-1} \text{cm}^{-1}$	$H = \frac{\gamma_2}{1 + 2\gamma_0}$	Ток через биполярный электрод во вторичном поле, I			
			катодная α_K	анодная α_a			расчет по урав- нению (14)		эксперимент	
							mA	% от перв- ичного	mA	% от перв- ичного
1	1	34,1	18	14	0,149	0,56	24,1	70,5	24,2	71,0
1	10	341	10,5	8,5	0,200	0,705	283	83,0	280	82,0
2	10	341	11,0	10,4	0,178	-0,243	58,4	1,47	49,3	14,5
2	10	544	11,0	10,4	0,224	-1,190	112	20,6	129	23,7
3	1	34,1	390	813	0,00317	-0,404	2,18	6,42	3,14	9,2
3	10	341	57,3	111	0,0226	-0,013	112,4	33,0	80,5	23,6

Выводы

1. Предложен метод расчета тока, проходящего через цилиндрический или шаровой биполярный электрод, помещенный в однородном электрическом поле. При расчете принято, что поляризация эквивалентна добавочному сопротивлению, равномерно распределенному в объеме биполярного электрода. Рассчитано распределение плотности тока на цилиндрическом электроде.
2. Экспериментальная проверка показала удовлетворительное совпадение с расчетом для не сильно поляризующихся электродов. При большой поляризуемости совпадения хуже, однако достаточны для ориентировочных технических расчетов.
3. Показано, что участие биполярного электрода в прохождении тока зависит от трех факторов: удельного сопротивления раствора, катодной и анодной поляризации и поляризуемости и размеров биполярного электрода.

Ленинградский технологический институт
им. Ленсовета

Поступила
21.XI.1958

ЛИТЕРАТУРА

- В. П. Машовец и Г. В. Форсблом, Ж. физ. химии, 26, 1389, 1952.
 Г. П. Гнусин, Уч. зап. Белорусск. ин-та инж. ж.-д. трансп., вып. IV, Гомель, 1957.
 Г. Фомичев, Тр. Ленингр. технол. ин-та им. Ленсовета, 46, 36, 1958.
 Н. Фрумкин, В. С. Багоцкий, Э. А. Иофа, Б. Н. Кабанов, Кинетика электродных процессов. Изд-во МГУ, 1952.
 В. Нетушил, К. М. Поливанов, Основы электротехники, ч. III, Госэнергоиздат, 1956.
 Р. Нейман и П. Д. Калантаров, Теоретические основы электротехники, ч. III, Госэнергоиздат, 1953.
 В. П. Машовец, Г. В. Форсблом, Ж. прикл. химии, 27, 280, 1954.

INVESTIGATION OF CYLINDRICAL AND SPHERICAL BIPOLAR ELECTRODES

V. P. Mashovets, V. G. Fomichev (Leningrad)

Summary

The behavior of cylindrical and spherical metal parts immersed in an electrolyte and acting as bipolar electrodes in a uniform direct current electric field has been discussed. Methods have been proposed for approximately estimating the portion of the current passing through the bipolar electrode and the distribution of the current density over the surface, account being made of the polarization as function of the current density. Satisfactory agreement has been found between the calculated and experimental results. The effect of the bipolar electrode size, specific conductivity of the solution, and cathodic and anodic polarization in relation to the current density has been elucidated.

ИССЛЕДОВАНИЕ ОЧИСТКИ ВЕЩЕСТВА ОТ ДВУХ ПРИМЕСЕЙ МЕТОДАМИ, ОСНОВАННЫМИ НА РАЗЛИЧИИ СОСТАВА ФАЗ ПРИ КРИСТАЛЛИЗАЦИИ

Д. А. Петров и Б. А. Колачев

В настоящее время для получения веществ высокой степени чистоты довольно широко применяются методы, основанные на различии состава жидкой и твердой фаз этих веществ при кристаллизации, такие, например, как вытягивание твердой фазы из расплава по Чохрольскому или зонная плавка. Этими методами, в частности, удалось получить германий и кремний с содержанием примесей порядка 10^{-6} — 10^{-8} %.

В опубликованных до сих пор исследованиях по этому вопросу рассматриваются в основном вещества с одной примесью. Однако в веществах, как правило, содержится более чем одна примесь, и их взаимное влияние на отделение от основного вещества в процессе вытягивания представляет значительный интерес. Этот вопрос приобретает особое значение при решении проблемы получения $p-n$ переходов в полупроводниковых материалах путем изменения скорости роста из расплава, поскольку для получения таких переходов необходимо легировать материал одновременно двумя примесями.

Эффективность очистки вещества от примесей во многом определяется коэффициентом распределения примеси K между твердой и жидкой фазами, находящимися в равновесии:

$$K = \frac{y}{x},$$

где y — концентрация примеси в твердой фазе, а x — концентрация примеси в жидкости. Из определения коэффициента распределения очевидно, что эффективность очистки тем больше, чем меньше коэффициент распределения (если он меньше единицы). При наличии в веществе одновременно двух или более примесей эффективность очистки будет определяться по числу примесей в основном веществе.

В ряде работ, посвященных проблеме получения $p-n$ переходов методом изменения скорости вытягивания кристалла из расплава, предполагается, что при одновременном присутствии нескольких примесей в веществе их коэффициенты распределения совпадают с коэффициентами распределения примесей для соответствующих двойных систем [1]. В самом деле это не так.

При наличии в основном веществе примесей они неизбежно вступают во взаимодействие с основным веществом и между собой, что приводит к отклонению от закона аддитивности характера изменения свойств такой системы в зависимости от состава. Простейшим примером, иллюстрирующим это положение, может служить отклонение давления насыщенного пара смеси двух газов в зависимости от состава от закона аддитивности и изменение свойств твердых растворов, например твердости или электрического сопротивления, в зависимости от их концентрации.

Взаимодействие между компонентами вещества при кристаллизации находит свое отражение в диаграмме плавкости системы, которую об-

ют эти компоненты. Поэтому при определении коэффициентов распределения двух или более примесей в основном веществе следует исходить из диаграммы состояния соответствующей тройной и более сложной системы.

В частности, при наличии в веществе В двух примесей А и С эффективность очистки этого вещества будет определяться следующими коэффициентами распределения (рис. 1):

$$K_A = \frac{y_A}{x_A} \text{ и } K_C = \frac{y_C}{x_C}, \quad (2)$$

где y_A — содержание примеси А в твердой фазе, x_A — содержание примеси А в жидкости, y_C — содержание примеси С в твердой фазе, x_C — содержание примеси С в жидкости.

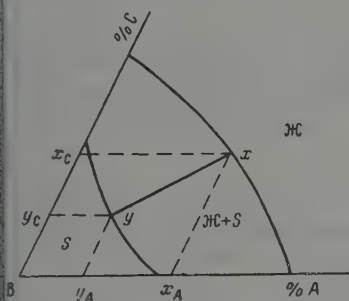


Рис. 1

Рис. 1. К определению коэффициентов распределения при наличии двух примесей в основном веществе

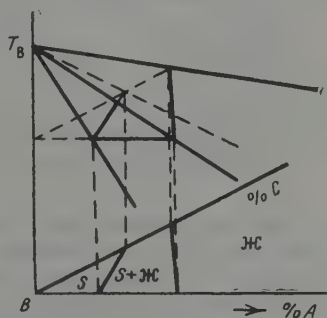


Рис. 2

Рис. 2. Частный случай поверхности ликвидуса и солидуса тройной системы

Рассмотрим, каким образом изменяются коэффициенты распределения этих примесей в зависимости от их концентрации. Для упрощения решения поставленной задачи допустим, что поверхности ликвидуса и солидуса рассматриваемой системы представляют собой плоскости, пересекающиеся в точке плавления чистого компонента В (рис. 2). Такое допущение, по-видимому, с достаточной степенью точности справедливо для диаграмм состояния тройных систем любого типа в области очень низких концентраций примесей, порядка тех концентраций, с которыми приходится иметь дело в полупроводниковой металлургии.

Изотермическое сечение такой диаграммы состояния будет представлено двумя прямыми линиями, соответствующими изотерме ликвидуса и изотерме солидуса (рис. 3). Положение этих прямых можно выразить с помощью отрезков, отсекаемых ими на сторонах концентрационного треугольника. Если принять стороны концентрационного треугольника за оси косоугольной системы координат, то уравнение изотермы ликвидуса можно записать в следующем виде:

$$\frac{x_A}{a} + \frac{x_C}{c} = 1, \quad (3)$$

где a — отрезок, отсекаемый изотермой ликвидуса на стороне ВА концентрационного треугольника, а c — отрезок, отсекаемый на стороне ВС.

Аналогично находим уравнение изотермы солидуса:

$$\frac{x_A}{K_A^0 a} + \frac{x_C}{K_C^0 c} = 1, \quad (4)$$

где K_A^0 — коэффициент распределения компонента А в двойной системе ВА, а K_C^0 — коэффициент распределения компонента С в двойной системе ВС. Эти коэффициенты распределения K_A^0 и K_C^0 не зависят от концентрации, поскольку в двойных диаграммах состояния ВА и ВС при сделанных выше допущениях линии ликвидуса и солидуса представлены прямыми линиями.

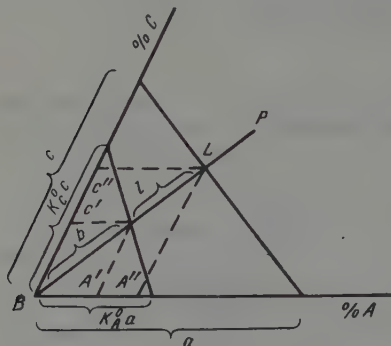


Рис. 3. Изотермическое сечение диаграммы состояния, приведенной на рис. 2 (коноды проходят через вершину концентрального треугольника)

Допустим сначала, что проекции конод проходят через вершину концентрального треугольника. Такое направление конод имеет место при очень малой растворимости примесей в основном веществе, что соответствует малому коэффициенту распределения. Рассмотрим теперь, как будут изменяться коэффициенты распределения примесей при изменении состава вдоль изотермы ликвидуса от стороны ВА к ВС. Из подобия треугольников BSC' и BLC'' , а также BSA' и BLA'' , следует

$$K_C = K_A = \frac{b}{b + l}. \quad (5)$$

Таким образом, в этом случае коэффициенты распределения обеих примесей будут равны друг другу.

Для определения b и l найдем точки пересечения прямой BP с изотермами ликвидуса и солидуса (рис. 3). Уравнение прямой BP в координатной системе имеет вид:

$$C = \frac{\sin \varphi}{\sin (60^\circ - \varphi)} A, \quad (6)$$

где φ — угол поворота прямой, соединяющей точки состава жидкости с вершиной концентрального треугольника, относительно стороны ВА.

Решая совместно уравнения (3) и (6); (4) и (6), найдем координаты точек S и L :

$$\left. \begin{aligned} A_L &= \frac{ac \sin (60^\circ - \varphi)}{c \sin (60^\circ - \varphi) + a \sin \varphi}, \\ C_L &= \frac{ac \sin \varphi}{c \sin (60^\circ - \varphi) + a \sin \varphi}; \end{aligned} \right\}$$

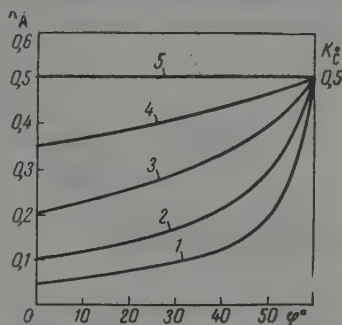
$$\left. \begin{aligned} A_S &= \frac{K_A^0 K_C^0 ac \sin (60^\circ - \varphi)}{K_C^0 c \sin (60^\circ - \varphi) + K_A^0 a \sin \varphi}, \\ C_S &= \frac{K_A^0 K_C^0 ac \sin \varphi}{K_C^0 c \sin (60^\circ - \varphi) + K_A^0 a \sin \varphi}. \end{aligned} \right\}$$

Зная координаты точек S и L , находим длину отрезков b и $b + l$, затем и отношение $b/(b + l)$, которое определяет коэффициенты распределения K_A и K_C :

$$K_A = K_C = \frac{K_A^0 K_C^0 \left[\sin(60^\circ - \varphi) + \frac{a}{c} \sin \varphi \right]}{K_C^0 \sin(60^\circ - \varphi) + K_A^0 \frac{a}{c} \sin \varphi} \quad (7)$$

На рис. 4 приведено изменение коэффициентов распределения K_A и K_C в зависимости от угла φ для одного и того же значения $K_C^0 = 0,5$ и различных значений K_A^0 . Существенно, что если в основное вещество с примесью, имеющей коэффициент распределения, близкий к единице, ввести примесь с небольшим коэффициентом распределения в основном веществе, то коэффициент распределения первой примеси резко

4. Изменение коэффициента распределения в тройной системе в зависимости от состава, когда конода проходит через вершину концентрационного треугольника: 1 — $K_A = 0,05$; 2 — $K_A = 0,1$; 3 — $K_A = 0,3$; 4 — $K_A = 0,35$ и 5 — $K_A = 0,5$



уменьшается. Таким образом оказывается возможным резко увеличить эффективность очистки основного вещества от плохо отделяемой примеси путем добавления к нему другой, хорошо отделяемой примеси.

В рассмотренной выше задаче коэффициенты распределения примесей оказались равными друг другу вследствие допущения, что проекции коноды проходят через вершину концентрационного треугольника. В общем случае это не имеет места, и поэтому коэффициенты K_A и K_C не равны между собой. Это положение легче всего проиллюстрировать на примере примесей, образующих с основным веществом непрерывные твердые растворы. В самом деле, если допустить, что температура плавления компонента B выше температуры плавления компонента A , температура плавления которого в свою очередь выше температуры плавления компонента C , то, согласно правилу Коновалова для тройных систем, можно записать [2]:

$$\frac{y_A}{y_C} > \frac{x_A}{x_C} \quad (8)$$

Умножив обе части неравенства (8) на положительную величину y/x_A получим:

$$\frac{y_A}{x_A} > \frac{y_C}{x_C} \text{ или } K_A > K_C. \quad (9)$$

Следовательно, для любого тройного сплава, представляющего систему с непрерывными твердыми растворами, коэффициент распределения более легкоплавкой примеси будет меньше, чем для менее легкоплавкой. Иными словами, вещество будет более эффективно очищаться от той примеси, которая имеет более низкую температуру плавления. При помощи правила Коновалова можно легко показать, что этот вывод является общим, независимо от того, какую температуру плавления имеет

основное вещество. В частности, если основным веществом является компонент А, а примесями — компоненты В и С, то, согласно правилу Конвалова:

$$\frac{y_B}{y_C} > \frac{x_B}{x_C},$$

откуда легко получаем:

$$\frac{y_B}{x_B} > \frac{y_C}{x_C} \text{ или } K_B > K_C.$$

Для более детального освещения этого вопроса рассмотрим поставленную выше задачу об изменении коэффициентов распределения примесей в зависимости от состава при допущении, что конода повернута на некоторый угол α относительно прямой, соединяющей точку состава жидкости с вершиной концентрационного треугольника (рис. 5). Согласно определению коэффициентов распределения:

$$K_A = \frac{y_A}{x_A} \text{ и } K_C = \frac{y_C}{x_C}.$$

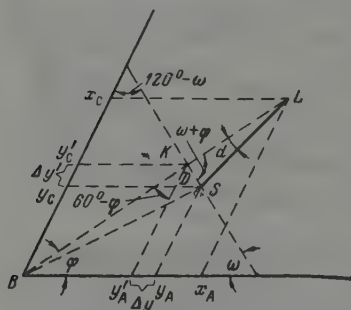


Рис. 5. Изотермическое сечение диаграмм состояния, приведенной на рис. 2 (коноды повернуты относительно линии, соединяющей точку состава жидкости с вершиной концентрационного треугольника)

На рис. 5 видно, что:

$$y_A = y'_A + \Delta y, \text{ а } y_C = y'_C - \Delta y',$$

откуда находим:

$$K_A = \frac{y'_A}{x_A} + \frac{\Delta y}{x_A} \text{ и } K_C = \frac{y'_C}{x_C} - \frac{\Delta y'}{x_C}.$$

Но y'_A/x_A и y'_C/x_C суть коэффициенты распределения компонентов А и С соответственно для случая, когда коноды проходят через вершину концентрационного треугольника. Как указывалось выше, эти коэффициенты равны между собой. Следовательно:

$$K_A = K + \frac{\Delta y}{x_A}, \text{ а } K_C = K - \frac{\Delta y'}{x_C}, \quad (10)$$

где

$$K = \frac{y'_A}{x_A} = \frac{y'_C}{x_C}.$$

Из треугольника KSD находим величину отрезка KS :

$$KS = \frac{l \sin \alpha}{\sin(\omega + \varphi)}.$$

Зная величину этого отрезка и углы в треугольнике KSD , легко находим

$$\Delta y = 2l \sin \frac{\alpha}{2} \sin \left(\varphi + \frac{\alpha}{2} \right),$$

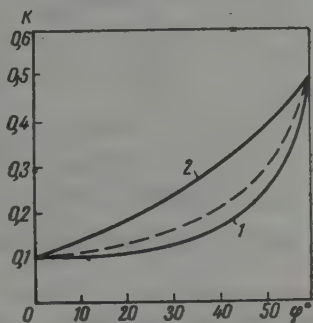
$$\Delta y' = 2l \sin \frac{\alpha}{2} \cos \left(30^\circ + \varphi + \frac{\alpha}{2} \right).$$

Подставив значения Δy и $\Delta y'$ в уравнение (10), найдем:

$$K_A = K + \frac{2l \sin \frac{\alpha}{2} \sin \left(\varphi + \frac{\alpha}{2} \right)}{x_A}, \quad K_C = K - \frac{2l \sin \frac{\alpha}{2} \cos \left(30^\circ + \varphi + \frac{\alpha}{2} \right)}{x_C}.$$

Таким образом, в общем случае эффективность очистки вещества от двух примесей определяется двумя коэффициентами распределения, не связанными друг другом. Различие между этими коэффициентами распределения тем больше, чем на больший угол повернута конода относительно линии, соединяющей вершину концентрационного треугольника

6. Изменение коэффициентов распределения в бинарной системе в зависимости от состава, когда конода повернута относительно прямой, соединяющей точку состава жидкости с вершиной концентрационного треугольника: 1 — K_A ; 2 — K_C ; пунктирная кривая — изменение коэффициентов распределения для случая, когда конода проходит через вершину треугольника



с точкой, отвечающей составу жидкости. В этом случае кривая изменения коэффициентов распределения в зависимости от состава распадается на две кривые (рис. 6): одна кривая описывает изменение коэффициента K_A в зависимости от состава, другая — K_C .

Для того чтобы по этим уравнениям найти количественную зависимость коэффициента распределения от положения сплава в диаграмме состояния, необходимо знать зависимость длины коноды и угла ее поворота от концентрации сплава. Однако такие данные отсутствуют для большинства диаграмм состояния. Поэтому в следующем разделе мы ограничились лишь качественной проверкой сделанных выше выводов.

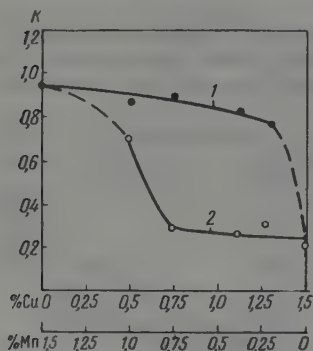
Экспериментальная часть

Для экспериментальной проверки изложенных выше выводов были определены коэффициенты распределения меди и марганца, меди и кремния, а также железа и кремния в алюминии при различных концентрациях введенных в алюминий элементов. Коэффициенты распределения определялись методом вытягивания твердой фазы из расплава. Химический состав исследованных в работе сплавов приведен в таблице.

№	% Cu	% Mn	№	% Cu	% Si	№	% Fe	% Si
1	0,0	1,52	7	1,50	0,003	13	0,59	0,006
2	0,51	1,09	8	1,17	0,12	14	0,42	0,12
3	0,72	0,85	9	0,90	0,20	15	0,20	0,31
4	1,1	0,55	10	0,62	0,28	16	0,10	0,44
5	1,3	0,305	11	0,34	0,38	17	0,08	0,47
6	1,51	0,005	12	0,002	0,52	18	0,02	0,50

Все исследованные сплавы, кроме некоторых сплавов системы Al—Fe—при высокой температуре находились в области твердых растворов.

Точки составов сплавов лежали, примерно, на прямых линиях, соединяющих между собой точки, отвечающие следующим двойным сплавам: Al + 1,5% Mn и Al + 1,5% Cu; Al + 1,5% Cu и Al + 0,5% Si; Al + 0,5% Fe и Al + 0,5% Si. Сплавы готовились из алюминия марки АВ 0 (99,997% Al), электролитической меди, электролитического марганца



железа и кремния высокой степени чистоты. Все легирующие компоненты вводились в расплав в виде лигатур.

В работе была использована установка такого же типа, как и в работе [3]. Расплав готовился в графитовом тигле. При вытягивании на поверхность расплава опускалась графитовая крышка с двумя

Рис. 7. Изменение коэффициентов распределения 1 — марганца и 2 — меди в алюминии в зависимости от их концентрации

отверстиями. Через центральное отверстие в расплав вводилась затравка, которая изготовлялась из очень чистого алюминия. Через второе, боковое отверстие вводилась термопара. Нижний конец затравки оплавливался и сливался с расплавом. После установления постоянной температуры включался механизм и начиналось вытягивание.

Из каждого сплава вытягивался образец длиной 50—60 мм со скоростью 0,25 мм/мин. Такая небольшая скорость вытягивания была выбрана для того, чтобы оттесняемые твердой фазой примеси успевали диффундировать от фронта кристаллизации в глубь расплава. В этом случае данные химического анализа твердой фазы и жидкости дают достаточно правильные сведения о составах этих фаз в условиях равновесия между ними.

Масса расплава значительно превышала массу вытянутого образца, так что изменение состава жидкости и твердой фазы вследствие сегрегации примесей при направленной кристаллизации было незначительным. Из-за этой причины температура расплава практически поддерживалась постоянной в течение всего эксперимента.

Химический состав жидкости определялся до и после вытягивания путем взятия проб из расплава. После вытягивания образец разрезался на три части, средняя часть длиной 10—15 мм измельчалась и подвергалась химическому анализу. Химический состав проб, взятых из расплава и образца определялся одним и тем же методом химического анализа. Коэффициенты распределения определялись как отношение содержания примеси в средней части образца к среднему арифметическому содержанию примеси в расплаве до и после вытягивания.

Изменение коэффициентов распределения компонентов в исследованных тройных системах в зависимости от состава сплавов приведено на рисунках 7—9. В полном соответствии с изложенными выше соображениями коэффициенты распределения существенно изменяются в зависимости от концентрации примесей в расплаве, причем с увеличением содержания одной примеси коэффициент распределения другой может и возрастать, и уменьшаться. Так, коэффициент распределения железа в алюминии в присутствии кремния сильно возрастает и, следовательно, эффективность очистки алюминия от железа методом вытягивания ухудшается в присутствии кремния. Наоборот, эффективность очистки алюминия от марганца возрастает с увеличением содержания меди, поскольку коэффициент распределения марганца в алюминии в присутствии меди уменьшается. Уменьшение коэффициента распределения одной примеси в присутствии другой пр

можно использовать для увеличения эффективности очистки вещества от трудно отделимых примесей [4], т. е. от примесей с коэффициентом распределения, близким к единице. Такими примесями являются, например, марганец в алюминии и бор в кремнии.

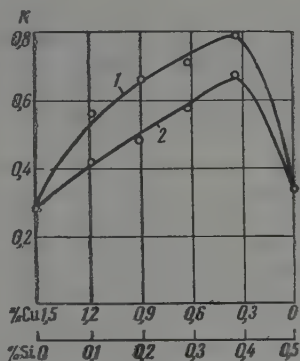


Рис. 8

Рис. 8. Изменение коэффициентов распределения: 1 — меди и 2 — кремния в алюминии в зависимости от их концентрации

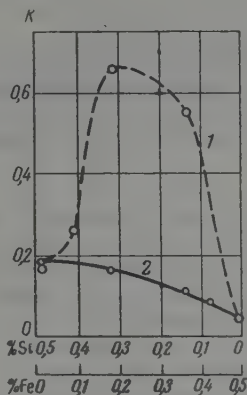


Рис. 9

Рис. 9. Изменение коэффициентов распределения: 1 — железа и 2 — кремния в алюминии в зависимости от их концентрации

Выводы

1. Коэффициент распределения одной примеси в основном веществе изменяется в зависимости от концентрации второй примеси, причем он может или возрастать, или уменьшаться в зависимости от характера диммной системы, которую образуют эти примеси с основным веществом.

2. Уменьшение коэффициента распределения одной примеси в присутствии другой можно использовать для увеличения эффективности очистки вещества от трудно отделимых примесей, т. е. от примесей с коэффициентом распределения, близким к единице.

Московский авиационный
технологический институт

Поступила
22.XI.1958

ЛИТЕРАТУРА

1. Tanenbaum, L. B. Valdes, E. Buehler, N. B. Hanney, Appl. Phys., 26, 686, 1955.
2. А. Петров, Тройные системы, Изд-во АН СССР, 1955.
3. А. Петров, А. А. Буханова, Ж. физ. химии, 28, 161, 1954.
4. А. Петров, Б. А. Колачев, Ж. физ. химии, 20, 2348, 1956.

REMOVAL OF TWO IMPURITIES FROM A MATERIAL WITH THE AID OF DIRECTIONAL CRYSTALLIZATION METHODS

D. A. Petrov and B. A. Kolachev (Moscow)

Summary

In some investigations on semiconductor metallurgy the distribution coefficients of two or more impurities in a material are assumed equal to the distribution coefficients of these impurities in the corresponding binary systems. Actually this is not true because the impurities interact with the material under consideration and with each other. In the

interaction between the components of a material during crystallization can be seen from the constitutional diagram of these components of the system. Hence the distribution coefficients of two or more impurities in a material should be determined by using the constitutional diagram of the corresponding ternary or more complex system. From the above it follows that the distribution coefficients of impurities in a material change with change in their concentration. The distribution coefficient of a given impurity may increase or decrease with change in concentration of the other impurity, depending upon the type of constitutional diagram formed by the impurities with the material in question. The decrease in the distribution coefficient of one impurity in the presence of another may be used to increase the effectivity of purifying the material of difficultly removable impurities, i. e. of those with distribution coefficients approaching unity.

ТЕРМОДИНАМИЧЕСКОЕ ИССЛЕДОВАНИЕ РЕАКЦИИ ВОССТАНОВЛЕНИЯ ТРЕХОКИСИ ВОЛЬФРАМА $WO_3(\alpha)$ ВОДОРОДОМ

И. А. Васильева, Я. И. Герасимов и Ю. П. Симапов

При изучении равновесия восстановления WO_3 водородом [1] нами было отмечено, что на величину констант равновесия влияет предварительная температурная обработка исходного препарата WO_3 , который существует в трех модификациях [2]. Каждая модификация имеет свою температурную область существования: первая α -форма WO_3 существует от комнатной температуры до 720° , вторая β -модификация WO_3 — в интервале температур 720 — 1100° и третья, γ -модификация WO_3 — выше 1100° . В предыдущей работе [1] нами было проведено термодинамическое рентгенографическое исследование реакции восстановления водородом второй β -модификации WO_3 . Были исследованы также структуры низших окислов ($WO_{2,90}$; $WO_{2,72}$; WO_2), образующихся как при восстановлении β - WO_3 , так и при восстановлении α - WO_3 . Настоящая работа посвящена термодинамическому исследованию реакции восстановления α - WO_3 водородом.

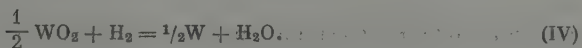
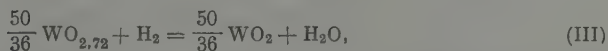
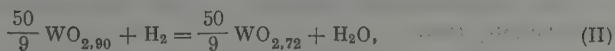
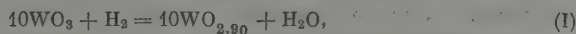
Экспериментальная часть

Получение препарата. Исходная трехокись вольфрама получалась прокаливанием при 800° вольфрамовой кислоты, перекристаллизованной в виде паравольфрама аммония. Для получения модификации α - WO_3 , устойчивой при низких температурах, полученный препарат после 8-часового прокаливания при 650° медленно охлаждался в печи до комнатной температуры.

Рентгенографическое исследование полученного препарата производилось по методу порошка в камере с Д-57 м.м. Съемки проводились на электронной трубке с вольфрамовым анодом при асимметричной закладке пленки. Проведенное исследование показало, что полученный препарат α - WO_3 обладает структурой, описанной Магнелли с соавторами [3].

Нами были исследованы также промежуточные продукты восстановления второй модификации α - WO_3 . Как уже было отмечено в работе [1], образующиеся низшие окислы вольфрама α - $WO_{2,90}$; α - $WO_{2,72}$; α - WO_2 сходны по своей структуре с окислами, описанными в [3].

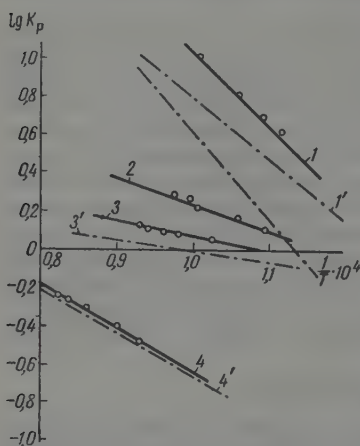
Исследование равновесия α - $WO_3 + H_2$. Равновесие реакции α - $WO_3 + H_2$ изучалось в интервале температур 640 — 937° циркуляционным методом исследования гетерогенных газовых равновесий. Установка, использованная в нашей работе, и проведение опыта описаны в работах [2, 4]. Исследование проводилось в основном со стороны восстановления. Как было отмечено в работе [2], восстановление проходит в три стадии:



На рисунке изображена зависимость $\lg K_p$ от $1/T$, прямые, соответствующие второй и третьей стадиям восстановления, пересекаются при 506° .

Следовательно, ниже этой температуры восстановление $WO_{3,90}$ идет сразу до WO_2 , минуя стадию $WO_{2,72}$. Прямые, соответствующие первой третьей стадиям восстановления, пересекаются при 482° . Следовательно ниже этой температуры восстановление WO_3 должно идти до W , минуя окислы $WO_{2,90}$ и $WO_{2,72}$. Решение системы двух уравнений зависимости $\lg K_p = f(1/T)$, соответствующих первой и четвертой стадиям восстановления, показало, что эти прямые пересекаются при 212° . Следовательно, ниже этой температуры в принципе возможно восстановление непосредственно до W , минуя окислы $WO_{2,90}$, $WO_{2,72}$ и WO_2 .

Для выяснения этих предположений нужны дополнительные исследования. На рисунке 1 представлены также для сравнения зависимости



$\lg K_p = f(1/T)$ для четырех стадий восстановления $\beta-WO_3$ по данным [1]. Из рисунка видно, что константы равновесия восстановления водородом двух модификаций WO_3 сильно отличаются для первых двух стадий восстановления и гораздо меньше для третьей и четвертой стадий восстановления. Так для температуры 700° разница K_p двух различных модификаций достигает порядка 100%, в то время как

Политермы восстановления окислов вольфрама водородом в координатах $\lg K_p - 1/T$. 1, 2, 3, 4 — константы равновесия с водородом окислов, полученные из $\alpha - WO_3$; 1', 2', 4' — то же для окислов, полученных $\beta - WO_3$.

для третьей и четвертой стадий она равняется 10–12%. Данные по равновесию восстановления WO_2 водородом, полученные статистическим методом в работе [5] отличаются от значений K_p , полученных нами примерно на 70%. Подобное расхождение в опытных данных, вероятнее всего, зависит от выбранного метода исследования.

Как известно, наиболее надежным методом исследования гетерогенных равновесий является выбранный нами циркуляционный метод.

В работе А. В. Шашкиной и М. И. Герасимова [6] было исследовано равновесие восстановления FeO водородом в циркуляционной установке подобной пашей. Незначительное расхождение в полученных автором значениях K_p (около 1%) от данных Эммета и Шульца [7] убедительно показало надежность выбранного нами метода.

Термодинамическая обработка полученных данных. Методом наименьших квадратов из средних значений измеренных нами констант равновесия для каждой стадии восстановления, отнесенных к 1 г-атому отнятого у окисла кислорода (табл. 1), были введены уравнения зависимости $\lg K_p$ от $1/T$ для каждой ступени восстановления $\alpha-WO_3$ в интервале температур $640-900^\circ$.

Эти уравнения для каждой стадии восстановления $\alpha-WO_3$ имеют следующий вид:

$$\lg K_p = \frac{3792,0}{T} + 4,8268$$

(точность охвата средних опытных величин $\pm 3\%$)

$$\lg K_p = \frac{1442,5}{T} + 1,684$$

Таблица 1

Средние константы восстановления окислов вольфрама водородом

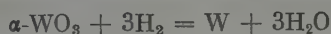
$T, ^\circ K$	K_p	$T, ^\circ K$	K_p
I. $10WO_3 + H_2 = 10WO_{2,90} + H_2O$		II. $\frac{50}{9}WO_{2,90} + H_2 = \frac{50}{9}WO_{2,72} + H_2O$	
897	4,07	915	1,276
916	4,80	944	1,450
945	6,84	993	1,652
993	11,7	1002	1,795
		1021	1,865
III. $\frac{50}{36}WO_{2,72} + H_2 =$ $= \frac{50}{36}WO_2 + H_2O$		IV. $\frac{1}{2}WO_2 + H_2 = \frac{1}{2}W + H_2O$	
9047	1,108	1075	0,3236
1015	1,177	1112	0,3955
1043	1,221	1175	0,4870
1066	1,269	1202	0,5354
		1210	0,5630

точность охвата средних опытных величин $\pm 3\%$)

$$\lg K_p = \frac{801,7}{T} + 0,8615 \quad (3)$$

точность охвата средних опытных величин $\pm 1,5\%$)

$$\lg K_p = \frac{2219,0}{T} + 1,5809 \quad (4)$$

точность охвата средних опытных величин $\pm 1\%$)Объединив все четыре уравнения, получаем уравнение для константы равновесия и свободной энергии полного восстановления $\alpha-WO_3$:

$$0,1 \lg K_{pI} + 0,18 \lg K_{pII} + 0,72 \lg K_{pIII} + 2 \lg K_{pIV} = \lg K_{pV} = -\frac{5654,6}{T} + 4,56 \quad (5)$$

или $\Delta Z_V^0 = 25870 - 20,89 T$ (точность охвата средних опытных величин $\pm 0,5\%$).В табл. 2 представлены округленные значения ΔZ_V^0 для восстановления α - и β -модификаций. Из сравнения приведенных значений ΔZ_V^0 для

Таблица 2

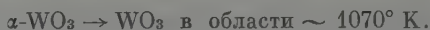
Таблица 3

$T, ^\circ K$	$\beta-WO_3$ $\Delta Z_V^0, \text{ ккал}$	$\alpha-WO_3$ $\Delta Z_V^0, \text{ ккал}$
873	8,37	7,60
923	7,10	6,60
1023	4,70	4,50
1064	3,75	3,60
1073	3,50	3,45
1173	1,10	1,40

Зависимость ΔZ_V^0 от температуры

$T, ^\circ K$	$3\Delta Z_{VI}^0$	ΔZ_{VII}^0
873	-143,23	-150,8
923	-141,30	-147,9
1023	-137,37	-141,9
1073	-135,39	-138,9
1173	-131,49	-132,8
1232	-128,98	-129,0

двух исследованных модификаций видно, что имеет место переход



Для вычисления ΔZ^0 реакции образования $\alpha\text{-WO}_3$ из элементов нами было использовано уравнение $\Delta Z_T^0 = f(T)$ для реакции образования водяного пара, приводимое Чипменом [8]



$$\Delta Z_{\text{VI}}^0 = -59251 + 0,871 T \ln T - 0,0475 T^2 + \frac{408000}{T} + 6,8085 T. \quad (6)$$

Комбинируя величины ΔZ_{V}^0 и ΔZ_{VI}^0 , получаем для реакции



$$\Delta Z_{\text{VII}}^0 = 3 \Delta Z_{\text{VI}}^0 - \Delta Z_{\text{V}}^0. \quad (7)$$

Значения ΔZ^0 для реакций (VI) и (VII) при температурах наших опытов помещены в табл. 3.

Для вычисления изобарного потенциала образования исследуемой нами модификации $\alpha\text{-WO}_3$ при стандартных условиях мы пользовались следующими уравнениями зависимости $C_p = f(T)$:

$$C_{p \text{ WO}_3} = 16,356 + 10,67 \cdot 10^{-3} T. \quad (8)$$

Уравнение $C_{p \text{ WO}_3}$ выведено по данным Шоцо [9]. Теплоемкости $C_{p \text{ O}_2}$ и $C_{p \text{ W}}$ взяты из [4]:

$$C_{p \text{ O}_2} = 7,52 + 0,81 \cdot 10^{-3} T - \frac{0,9 \cdot 10^5}{T}, \quad (9)$$

$$C_{p \text{ W}} = 5,65 + 0,866 \cdot 10^{-3} T. \quad (10)$$

Для расчета стандартных термодинамических величин был использован метод М. И. Темкина и Л. А. Шварцмана [10].

В этом случае выражение для ΔZ записывается в виде:

$$\Delta Z_T^0 = \Delta H_{298}^0 - T \Delta S_{298}^0 - T (M_0 \Delta a + M_1 \Delta b + M_2 \Delta c), \quad (11)$$

Таблица 4

Вычисленные значения
 ΔZ^0 реакции
 $\text{W} + \frac{3}{2}\text{O}_2 = \alpha\text{-WO}_3$

Т, К	ΔZ^0_T
873	-151,0
923	-148,0
1023	-142,6
1073	-139,8

$$\text{где } M_n = \int_{298}^T \frac{dT}{T^2} \int_{298}^T T^n dT,$$

Δa , Δb , Δc — алгебраические суммы коэффициентов уравнений теплоемкости.

Воспользовавшись величинами M_n для разных температур [8] — полученными выше данными и значениями $\Delta a = -0,574$, $\Delta b = +8,589 \cdot 10^{-3}$; $\Delta c = +1,35 \cdot 10^{-5}$, мы получим для реакции образования $\alpha\text{-WO}_3$ из простых веществ $\text{W} + \frac{3}{2}\text{O}_2 = \alpha\text{-WO}_3$ следующие данные:

$$\Delta H_{298}^0 = -203,0 \text{ ккал/моль}; \quad \Delta Z_{298}^0 = -184,7 \text{ ккал/моль};$$

$$\Delta S_{298}^0 = -61,6 \text{ ккал/град моль}, \quad S_{298}^0 = 20,0 \text{ э. ед.}$$

уравнение зависимости $\Delta Z_T^0 = f(T)$ для реакции (VII) может быть записано следующим образом:

$$\Delta Z^0 = -203000 + 61,6 - T (-0,574 M_0 + 8,589 \cdot 10^{-3} M_1 + 1,35 \cdot 10^{-5} M_{-2}). \quad (12)$$

В табл. 4 представлены ΔZ^0 реакции (V), вычисленные при различных температурах по данному уравнению (12). Максимальная ошибка в вычислении ΔZ^0 по указанному уравнению для температур опытов 873—1173° K по сравнению с данным табл. 3 не превышает 0,6%.

Выводы

1. Изучено равновесие восстановления низкотемпературной модификации α - WO_3 в интервале температур 640—937° C.
2. Выяснено, что восстановление α - WO_3 проходит в четыре стадии через промежуточные окислы состава



3. На основании опытных данных найдена температура перехода $WO_3 \rightarrow \beta$ - WO_3 около 800° C.
4. Из опытных данных рассчитаны стандартные термодинамические характеристики для низкотемпературной модификации

$$\Delta H_{298}^0 = -203,0 \text{ ккал/моль}, \quad \Delta Z_{298}^0 = 184,7 \text{ ккал/моль},$$

$$\Delta S_{298}^0 = 61,6 \text{ э. ед.}, \quad S_{298}^0 = 20,0 \text{ э. ед.}$$

Московский государственный
университет им. М. В. Ломоносова

Поступила
25.XI.1958

ЛИТЕРАТУРА

1. И. А. Васильева, Я. И. Герасимов, Ю. П. Симанов, Ж. физ. химии, 31, 682, 1957.
2. R. Ueda, T. Ichinokawa, Phys. Rev., 82, 563, 1951.
3. A. Magneli, G. Andersson, 24, 1988, 1952.
4. Т. Н. Резухина, Ю. П. Симанов, Я. И. Герасимов, Ж. физ. химии, 25, 305, 1951.
5. R. C. Griffiths, J. Electrochem. Soc., 105, 398, 1958.
6. А. В. Шашкина, Я. И. Герасимов, Ж. физ. химии, 27, 399, 1953.
7. P. Emmet, J. Shultz, J. Amer. Chem. Soc., 55, 1376, 1933.
8. J. Chipman, Trans. Amer. Soc. Metals, 22, 385, 1934.
9. S. Shozo, Phys. Rev., 91, 1010, 1953.
10. М. И. Темкин, Л. А. Шварцман, Успехи химии, 17, 259, 1948.

THERMODYNAMIC STUDY OF THE REDUCTION OF TUNGSTEN TRIOXIDE BY HYDROGEN

I. A. Vasil'eva, Ya. I. Gerasimov and O. P. Simanov (Moscow)

Summary

An equilibrium study has been made of the reduction of the low temperature modification of $WO_3 \alpha$ over the temperature range 640—937° C. The reduction has been found to proceed in four stages through intermediate oxides of the composition: $WO_{2,90}$, $WO_{2,72}$ and WO_2 . On the basis of experimental results the transition temperature of $WO_3 \alpha \rightarrow WO_3 \beta$ was found to be about 800° C. The standard thermodynamic characteristics for the low temperature modification were calculated from the experimental data; the values being:

$$\Delta H_{298}^0 = -203.0 \text{ kcal/mole}$$

$$\Delta Z_{298}^0 = -184.7 \text{ kcal/mole}$$

$$\Delta S_{298}^0 = -61.6 \text{ e. u.}$$

$$S_{298}^0 = 20.0 \text{ e. u.}$$

К ВЫЧИСЛЕНИЮ ТЕРМОДИНАМИЧЕСКИХ ФУНКЦИЙ ИДЕАЛЬНЫХ ГАЗОВ ПО СПЕКТРОСКОПИЧЕСКИМ ДАННЫМ

Р. И. Артым

Как известно [1], расчет термодинамических функций идеальных газов сводится к вычислению статистической суммы по состояниям молекулы и ее производных по температуре. Для большинства молекул, находящихся в основном электронном состоянии, выполняется предположение о разделении энергии, и статистическая сумма по состояниям молекулы может быть представлена выражением:

$$Q = Q_n Q_{эл} Q_{vj} \quad (1)$$

Здесь Q_n , $Q_{эл}$ и Q_{vj} — соответственно статистические суммы по состояниям поступательного движения, электронным состояниям, а также колебательно-вращательным состояниям. Вычисление Q_n и $Q_{эл}$ не представляет труда. Наибольший интерес представляет вычисление статистической суммы по колебательно-вращательным состояниям. Обычное вычисление Q_{vj} производится в предположении, что колебательные и вращательные квантовые числа не ограничены и в пределе могут быть устремлены к бесконечности. В настоящей работе предлагается метод вычисления колебательной суммы состояний, а также суммы, обусловленной колебательно-вращательным взаимодействием, для двух- и многоатомных молекул в предположении, что колебательные квантовые числа ограничены.

Для двухатомных молекул, находящихся в $^1\Sigma$ -электронном состоянии, на основе разработанного метода произведено вычисление статистической суммы по колебательно-вращательным состояниям в предположении, что колебательные и вращательные квантовые числа ограничены, и приведены выражения для расчета термодинамических функций.

Метод вычисления колебательной суммы состояний с учетом взаимодействия между вращением и колебаниями. Статистическая сумма по колебательно-вращательным состояниям двухатомной молекулы после разложения в ряд множителя

$$\exp\left[-\frac{hc}{kT}(\omega_0 x_0 v^2 + \omega y_0 v^3 + \dots)\right]$$

по соответствующим степеням колебательного квантового числа и перемножения полученного многочлена с членами, учитывающими взаимодействие между вращением и колебаниями, может быть представлена следующим образом:

$$Q(v) = \sum_v e^{-hc\omega_0 v/kT} (P_0 + P_1 v + P_2 v^2 + P_3 v^3 + \dots).$$

Аналогичным образом может быть представлена и статистическая сумма по колебательным состояниям многоатомной молекулы с учетом взаимодействия между вращением и колебаниями:

$$Q(v_1, v_2, \dots, v_k) = \sum_{v_1, \dots, v_k} e^{-hc\sum \omega_k v_k/kT} (P + \sum P_i v_i + \sum P_{ii} v_i^2 + \\ + \sum P_{ij} v_i v_j + \sum P_{iii} v_i^3 + \sum P_{ijj} v_i^2 v_j + \sum P_{ijk} v_i v_j v_k + \dots).$$

Как видно, в обоих случаях вычисление $Q(v)$ сводится к вычислению сумм вида:

$$\sum_v e^{-hc\omega_0 v/kT}, \sum_v v e^{-hc\omega_0 v/kT}, \sum_v v^2 e^{-hc\omega_0 v/kT}, \dots, \sum_v v^n e^{-hc\omega_0 v/kT}. \quad (2)$$

Рассмотрим вычисление последних сумм в предположении, что колебательное квантовое число не ограничено. Как известно, такая задача решена Касселем [2, 3]. Однако в настоящей работе получены более удобные для расчетов выражения сумм (2) и установлены формулы связи между коэффициентами последовательного ряда сумм (2).

Введем обозначения

$$\frac{hc\omega_0}{kT} = u, \quad r = e^{-u}, \quad s = \frac{1}{1-r}. \quad (3)$$

Сумма $\sum_{v=0}^{\infty} e^{-uv}$ представляет собой бесконечно убывающую геометрическую прогрессию. Следовательно,

$$\sum_{v=0}^{\infty} e^{-uv} = s. \quad (4)$$

Производя последовательное дифференцирование ряда (4) и последующее изменение знака на обратный, получим формулы суммирования:

$$\begin{aligned} \sum_{v=0}^{\infty} v e^{-uv} &= sf, \quad \sum_{v=0}^{\infty} v^2 e^{-uv} = sf^2, \quad \sum_{v=0}^{\infty} v^3 e^{-uv} = sf^3, \\ \sum_{v=0}^{\infty} v^4 e^{-uv} &= sf^4, \dots, \quad \sum_{v=0}^{\infty} v^n e^{-uv} = sf^n, \end{aligned}$$

где функции f^i представляют собой символическое обозначение суммы соответствующего i -го ряда и определяются уравнениями:

$$\begin{aligned} f &= 1 \cdot 1! rs, \quad f^2 = 1 \cdot 1! rs + 1 \cdot 2! r^2 s^2, \quad f^3 = 1 \cdot 1! rs + 3 \cdot 2! r^2 s^2 + \\ &+ 1 \cdot 3! r^3 s^3, \quad f^4 = 1 \cdot 1! rs + 7 \cdot 2! r^2 s^2 + 6 \cdot 3! r^3 s^3 + 1 \cdot 4! r^4 s^4, \dots, \quad (5) \\ f^n &= a_{1n} \cdot 1! rs + \sum_{k=2}^{n-1} a_{kn} k! r^k s^k + a_{nn} n! r^n s^n. \end{aligned}$$

Здесь все

$$a_{1n} = a_{nn} = 1, \quad (6)$$

все последующие коэффициенты связаны между собой формулами приведения:

$$a_{kn} = k a_{k(n-1)} + a_{(k-1)(n-1)}. \quad (7)$$

Используя (6) и (7), можно получить общее выражение для a_{kn} в зависимости от k и n :

$$\begin{aligned} a_{kn} &= k^l a_{kk} + k^{l-1} \cdot a_{(k-1)k} + k^{l-2} a_{(k-1)(k+1)} + \\ &+ k^{l-3} \cdot a_{(k-1)(k+2)} + \dots + k^{l-m} \cdot a_{(k-1)(k-m+1)} + \dots + a_{(k-1)(n-1)}, \quad (8) \end{aligned}$$

$$l = n - k,$$

коэффициенты $a_{(k-1)(k-m+1)}$ определяются выражениями:

$$\begin{aligned} a_{(k-1)k} &= \sum_{m=1}^{k-2} (k-m) + 1, \\ a_{(k-1)(k+1)} &= \sum_{m=1}^k (k-m) \left[\sum_{m=1}^{k-2} (k-m) + 1 \right]. \end{aligned}$$

Последнее равенство можно символически записать

$$a_{(k-1)(k+1)} = \sum_{m=1}^k (k-m) a_{(k-1)k}.$$

Тогда

$$a_{(k-1)(k+2)} = \sum_{m=1}^k (k-m) \cdot a_{(k-1)(k+1)},$$

$$a_{(k-1)(k+n+1)} = \sum_{m=1}^k (k-m) \cdot a_{(k-1)(k+n)}.$$

Следует отметить, что определенными уравнениями (5) функциями f^i мы будем пользоваться везде при дальнейшем изложении.

Однако в действительности, как указано выше, колебательное квантовое число ограничено и не может принимать бесконечно большие значения. Поэтому практически представляет интерес вычисление сумм (2) при условии, что предельное значение колебательного квантового числа равно v_m . Тогда

$$\sum_{v=0}^{v_m} e^{-uv} = s(1 - r^{v_m+1}).$$

Так как v_m всегда много больше единицы, то последнее равенство с пренебрежимо малой погрешностью можно переписать

$$\sum_{v=0}^{v_m} e^{-uv} \approx s(1 - r^{v_m}). \quad (9)$$

Производя последовательное дифференцирование ряда (9) и меняя полученного выражения после каждой операции дифференцирования знаки на обратный, получим следующие формулы суммирования:

$$\begin{aligned} \sum_{v=0}^{v_m} v e^{-uv} &= sf - sr^{v_m}(v_m + f), \quad \sum_{v=0}^{v_m} v^2 e^{-uv} = sf^2 - sr^{v_m}(v_m + f)^2 = \\ &= sf^2 - sr^{v_m}(v_m^2 + 2v_m f + f^2), \quad \sum_{v=0}^{v_m} v^3 e^{-uv} = sf^3 - sr^{v_m}(v_m + f)^3 = \\ &= sf^3 - sr^{v_m}(v_m^3 + 3v_m^2 f + 3v_m f^2 + f^3), \quad \sum_{v=0}^{v_m} v^4 e^{-uv} = \\ &= sf^4 - sr^{v_m}(v_m + f)^4 = sf^4 - sr^{v_m}(v_m^4 + 4v_m^3 f + 6v_m^2 f^2 + 4v_m f^3 + f^4), \dots \\ &\dots, \quad \sum_{v=0}^{v_m} v^n e^{-uv} = sf^n - sr^{v_m}(v_m + f)^n = sf^n - sr^{v_m}(v_m^n + nv_m^{n-1}f + \\ &+ \frac{n(n-1)}{2!}v_m^{n-2}f^2 + \dots + \frac{n(n-1)\dots(n-m+1)}{m!}v_m^{n-m}f^m + \dots + f^n), \quad (10) \end{aligned}$$

где f, f^2, \dots, f^n определяются формулами (5).

Применим полученные результаты к вычислению статистической суммы по колебательным состояниям двухатомной молекулы Q_v .

Вычисление Q_v . Колебательная энергия двухатомной молекулы представляется уравнением:

$$G(v) = \omega_e \left(v + \frac{1}{2}\right) - \omega_e x_e \left(v + \frac{1}{2}\right)^2 + \omega_e y_e \left(v + \frac{1}{2}\right)^3 - \omega_e z_e \left(v + \frac{1}{2}\right)^4 + \dots \quad (11)$$

Преобразуем это уравнение к виду:

$$G_0(v) = G(v) - G(0) = \omega_0 v - \omega_0 x_0 v^2 + \omega_0 y_0 v^3 - \omega_0 z_0 v^4 + \dots, \quad (12)$$

$$\omega_0 = \omega_e - \omega_e x_e + \frac{3}{4} \omega_e y_e - \frac{1}{2} \omega_e z_e + \dots,$$

$$\omega_0 x_0 = \omega_e x_e - \frac{3}{2} \omega_e y_e + \frac{3}{2} \omega_e z_e + \dots,$$

$$\omega_0 y_0 = \omega_e y_e - 2 \omega_e z_e + \dots,$$

$$\omega_0 z_0 = \omega_e z_e - \dots$$

Статистическая сумма по колебательным состояниям равна

$$Q_v = \sum_{v=0}^{v_m} \exp \left\{ -\frac{hc}{kT} (\omega_0 v - \omega_0 x_0 v^2 + \omega_0 y_0 v^3 - \omega_0 z_0 v^4 + \dots) \right\}. \quad (13)$$

Используя обозначения (3) и разлагая $\exp \{u x_0 v^2 - u y_0 v^3 + u z_0 v^4 - \dots\}$ ряд Маклорена, преобразуем (13) к виду:

$$\begin{aligned} Q_v = \sum_{v=0}^{v_m} e^{-uv} & \left(1 + u x_0 v^2 + \frac{1}{2!} u^2 x_0^2 v^4 + \dots + \frac{1}{2n!} u^{2n} x_0^{2n} v^{4n} \right) \times \\ & \times \left(1 - u y_0 v^3 + \frac{1}{2!} u^2 y_0^2 v^6 - \dots + \frac{1}{2m!} u^{2m} y_0^{2m} v^{6m} \right) \times \\ & \times \left(1 + u z_0 v^4 + \frac{1}{2!} u^2 z_0^2 v^8 + \dots + \frac{1}{2l!} u^{2l} z_0^{2l} v^{8l} \right). \end{aligned} \quad (14)$$

Для вычисления (14) воспользуемся формулами (10), тогда получим

$$\begin{aligned} Q_v = s \{ & (1 - r^{v_m}) + u x_0 [f^2 - r^{v_m} (v_m^2 + 2v_m f + f^2)] - \\ & - u y_0 [f^3 - r^{v_m} (v_m^3 + 3v_m^2 f + 3v_m f^2 + f^3)] + \\ & + \left(\frac{1}{2} u^2 x_0^2 + u z_0 \right) [f^4 - r^{v_m} (v_m^4 + 4v_m^3 f + 6v_m^2 f^2 + 4v_m f^3 + f^4)] - \\ & - u x_0 y_0 [f^5 - r^{v_m} (v_m^5 + 5v_m^4 f + 10v_m^3 f^2 + 10v_m^2 f^3 + 5v_m f^4 + f^5)] + \dots \\ & + \frac{1}{2n! 2m! 2l!} u^{2(n+m+l)} x_0^{2n} y_0^{2m} z_0^{2l} [f^{2(2n+3m+4l)} - r^{v_m} (v_m + f)^{2(2n+3m+4l)}] \}. \end{aligned} \quad (15)$$

Произведя перегруппировку членов, преобразуем (15) к виду:

$$\begin{aligned} Q_v = s \{ & Q_{\text{ангар}}^\infty - r^{v_m} \left[\left(1 + u x_0 v_m^2 + \dots + \frac{1}{2n!} u^{2n} x_0^{2n} v_m^{4n} \right) \times \right. \\ & \times \left(1 - u y_0 v_m^3 + \dots + \frac{1}{2m!} u^{2m} y_0^{2m} v_m^{6m} \right) \left(1 + u z_0 v_m^4 + \dots + \frac{1}{2l!} u^{2l} z_0^{2l} v_m^{8l} \right) + \\ & + u x_0 f^2 \left(1 + u x_0 v_m^2 + \dots + \frac{1}{(2n-1)!} u^{2n-1} x_0^{2n-1} v_m^{4n-2} \right) \times \\ & \times \left(1 - u y_0 v_m^3 + \dots + \frac{1}{2m!} u^{2m} y_0^{2m} v_m^{6m} \right) \left(1 + u z_0 v_m^4 + \dots + \frac{1}{2l!} u^{2l} z_0^{2l} v_m^{8l} \right) - \\ & \left. - u y_0 f^3 \left(1 + u x_0 v_m^2 + \dots + \frac{1}{2n!} u^{2n} x_0^{2n} v_m^{4n} \right) \times \right. \end{aligned}$$

$$\begin{aligned}
& \times \left(1 - uy_0 v_m^3 + \dots + \frac{(-1)^{2m-1}}{(2m-1)!} u^{2m-1} y_0^{2m-1} v_m^{6m-3} \right) \times \\
& \times \left(1 + uz_0 v_m^4 + \dots + \frac{1}{2l!} u^{2l} z_0^{2l} v_m^{8l} \right) + uz_0 f^4 \left(1 + ux_0 v_m^2 + \dots + \frac{1}{2n!} u^{2n} x_0^{2n} v_m^{4n} \right) \times \\
& \times \left(1 - uy_0 v_m^3 + \dots + \frac{1}{2m!} u^{2m} y_0^{2m} v_m^{6m} \right) \times \\
& \times \left(1 + uz_0 v_m^4 + \dots + \frac{1}{(2l-1)!} u^{2l-1} z_0^{2l-1} v_m^{8l-4} \right) + \dots \\
& \dots + \frac{(-1)^m}{n! m! l!} u^{n+m+l} x_0^n y_0^m z_0^l f^{2n+3m+4l} \times \left(1 + ux_0 v_m^2 + \dots + \frac{1}{n!} u^n x_0^n v_m^{2n} \right) \times \\
& \times \left(1 - uy_0 v_m^3 + \dots + \frac{(-1)^m}{m!} u^m y_0^m v_m^{3m} \right) \times \\
& \times \left(1 + uz_0 v_m^4 + \dots + \frac{1}{l!} u^l z_0^l v_m^{4l} \right) \} - \Delta Q(v_m). \quad (16)
\end{aligned}$$

В (16) приняты следующие обозначения:

$$\begin{aligned}
Q_{\text{ангар}}^{\infty} &= 1 + ux_0 f^2 - uy_0 f^3 + \left(\frac{1}{2} u^2 x_0^2 + uz_0 \right) f^4 - ux_0 y_0 f^5 + \dots \\
&+ \dots + \frac{(-1)^m}{n! m! l!} u^{n+m+l} x_0^n y_0^m z_0^l f^{2n+3m+4l} \quad (17)
\end{aligned}$$

$$\begin{aligned}
\Delta Q(v_m) &= sr^v m \left\{ 2ux_0 f - 3uy_0 (v_m^2 f + v_m f^2) + 2u^2 x_0^2 (v_m^3 f + v_m^2 f^2 + v_m f^3) + \dots \right. \\
&+ 2uz_0 (2v_m^3 f + 3v_m^2 f^2 + 2v_m f^3) - ux_0 y_0 (5v_m^4 f + 9v_m^3 f^2 + 9v_m^2 f^3 + 5v_m f^4) + \dots \\
&\dots + \frac{1}{2n! 2m! 2l!} u^{2(n+m+l)} x_0^{2n} y_0^{2m} z_0^{2l} \times \\
&\times \left[\sum_{i=1}^{k-1} \dots \frac{k(k-1) \dots (k-i+1)}{i!} v_m^{k-i} f^i - \right. \\
&- \sum_{i=2}^{k-2} v_m^{k-i} f^i \sum_i \frac{n!}{n_1! n_2!} \frac{m!}{m_1! m_2!} \frac{l!}{l_1! l_2!} \left. \right] \}. \quad (18)
\end{aligned}$$

В (18) в слагаемых вида $\frac{n!}{n_1! n_2!} \frac{m!}{m_1! m_2!} \frac{l!}{l_1! l_2!}$ величины n_1 и n_2 , m_1 и m_2 , l_1 и l_2 являются произвольными целыми числами или нулями, суммы которых соответственно равны n , m и l . Символ \sum означает, что из числа всевозможных слагаемых вида $\frac{n!}{n_1! n_2!} \frac{m!}{m_1! m_2!} \frac{l!}{l_1! l_2!}$ должны быть взяты те, которые удовлетворяют условию $i = 2n + 3m + 4l$. Значения n , m , l выберем такими, чтобы всегда с любой наперед заданной точностью выполнялось равенство:

$$\begin{aligned}
e^{-hcG_0(v_m)/kT} &= r^v m \left(1 + ux_0 v_m^2 + \dots + \frac{1}{2n!} u^{2n} x_0^{2n} v_m^{4n} \right) \times \\
&\times \left(1 - uy_0 v_m^3 + \dots + \frac{1}{2m!} u^{2m} y_0^{2m} v_m^{6m} \right) \left(1 + uz_0 v_m^4 + \dots + \frac{1}{2l!} u^{2l} z_0^{2l} v_m^{8l} \right) = \\
&= r^v m \left(1 + ux_0 v_m^2 + \dots + \frac{1}{(2n-1)!} u^{2n-1} x_0^{2n-1} v_m^{4n-2} \right) \times \\
&\times \left(1 - uy_0 v_m^3 + \dots + \frac{1}{2m!} u^{2m} y_0^{2m} v_m^{6m} \right) \left(1 + uz_0 v_m^4 + \dots + \frac{1}{2l!} u^{2l} z_0^{2l} v_m^{8l} \right) \approx \dots \\
&\dots \approx r^v m \left(1 + ux_0 v_m^2 + \dots + \frac{1}{n!} u^n x_0^n v_m^{2n} \right) \times \\
&\times \left(1 - uy_0 v_m^3 + \dots + \frac{(-1)^m}{m!} u^m y_0^m v_m^{3m} \right) \left(1 + uz_0 v_m^4 + \dots + \frac{1}{l!} u^l z_0^l v_m^{4l} \right). \quad (19)
\end{aligned}$$

Учитывая равенство (19), перепишем (16) следующим образом:

$$Q_v = Q_v^\infty - Q_v^\infty e^{-hcG_0(v_m)/kT} - \Delta Q(v_m), \quad (20)$$

$$Q_v^\infty = sQ_{\text{ангар}}^\infty. \quad (21)$$

В (21) s и $Q_{\text{ангар}}^\infty$ представляют собой колебательную сумму по состояниям гармонического осциллятора и поправку, обусловленную негармоничностью колебаний. В (21) s и $Q_{\text{ангар}}^\infty$ вычислены в предположении, что $v_m \rightarrow \infty$.

Пренебрегая в (20) величиной $\Delta Q(v_m)$ по сравнению с $\exp[-hcG_0(v_m)/kT]$, окончательно получим

$$Q_v = Q_v^\infty (1 - e^{-hcG_0(v_m)/kT}), \quad (22)$$

где v_m определяется из условия:

$$G(v_m) = D_0, \quad (23)$$

D_0 — энергия диссоциации молекулы.

Приблизленную оценку погрешности, допущенной нами при выводе (22), можно произвести, подставляя в (18) значение

$$v_m = \frac{\omega_0}{2\omega_0 x_0}, \quad (24)$$

полученное в результате решения уравнения $dG_0(v)/dv = 0$, в котором $G_0(v)$ полагалось двучленом второй степени.

Вычисление статистической суммы по вращательным состояниям двухатомной молекулы. Вращательная энергия двухатомных молекул, находящихся в Σ -электронном состоянии, выражается формулой:

$$F_v(j) = B_v j(j+1) - D_v j^2(j+1)^2 + F_v j^3(j+1)^3 - \dots \quad (25)$$

Статистическая сумма по вращательным состояниям равна:

$$Q_j = \sum_{j=0}^{j_m} (2j+1) \exp \left\{ -\frac{hc}{kT} [B_v j(j+1) - D_v j^2(j+1)^2 + F_v j^3(j+1)^3 - \dots] \right\}. \quad (26)$$

Для приближенного вычисления Q_j воспользуемся формулой Эйлера

$$\sum_{x=a}^b f(x) = \int_a^b f(x) dx + \frac{1}{2} [f(a) + f(b)] + \frac{1}{12} [f'(b) - f'(a)] - \frac{1}{720} [f'''(b) - f'''(a)] + \dots \quad (27)$$

Используя обозначения

$$q_v = \frac{kT}{hcB_v}, \quad \delta_v = \frac{hcD_v}{kT}, \quad \varphi_v = \frac{hcF_v}{kT}, \quad y = \frac{1}{q_v} j(j+1) \quad (28)$$

разлагая $\exp \{ hc [D_v j^2(j+1)^2 - F_v j^3(j+1)^3]/kT \}$ в ряд Маклорена, получим

$$I_v = \int_0^{j_m} (2j+1) e^{-hcF_v(j)/kT} dj = q_v \int_0^{y_m} e^{-y} \left(1 + \delta_v q_v^2 y^2 + \frac{1}{2!} \delta_v^2 q_v^4 y^4 + \dots \right. \\ \left. + \frac{1}{2n!} \delta_v^{2n} q_v^{4n} y^{4n} \right) \left(1 - \varphi_v q_v^3 y^3 + \frac{1}{2!} \varphi_v^2 q_v^6 y^6 - \dots + \frac{1}{2m!} \varphi_v^{2m} q_v^{6m} y^{6m} \right) dy. \quad (29)$$

Для вычисления интеграла воспользуемся формулой

$$\int y^n e^{-y} dy = -e^{-y} \sum_{i=0}^n \frac{n!}{(n-i)!} y^{n-i},$$

тогда получим

$$\begin{aligned} I_v = q_v \{ & (1 - e^{-y_m}) + \delta_v q_v^2 [2 - e^{-y_m} (y_m^2 + 2y_m + 2)] - \\ & - \varphi_v q_v^3 [6 - e^{-y_m} (y_m^3 + 3y_m^2 + 6y_m + 6)] + \\ & + \frac{1}{2} \delta_v^2 q_v^4 [24 - e^{-y_m} (y_m^4 + 4y_m^3 + 12y_m^2 + 24y_m + 24)] - \\ & - \delta_v \varphi_v q_v^5 [120 - e^{-y_m} (y_m^5 + 5y_m^4 + 20y_m^3 + 60y_m^2 + 120y_m + 120)] + \dots \\ & \dots + \frac{1}{2n!2m!} \delta_v^{2n} \varphi_v^{2m} q_v^{4n+6m} \left[(4n+6m)! - e^{-y_m} \sum_{i=0}^{k=4n+6m} \frac{k!}{(k-i)!} y_m^{k-i} \right] \}. \quad (30) \end{aligned}$$

Произведя перегруппировку членов, преобразуем (30) к виду:

$$\begin{aligned} I_v = q_v \{ & a_v - e^{-y_m} \left[\left(1 + \delta_v q_v^2 y_m^2 + \dots + \frac{1}{2n!} \delta_v^{2n} q_v^{4n} y_m^{4n} \right) \left(1 - \varphi_v q_v^3 y_m^3 + \dots \right. \right. \\ & \left. \left. + \frac{1}{2m!} \varphi_v^{2m} q_v^{6m} y_m^{6m} \right) + 2\delta_v q_v^2 \left(1 + \delta_v q_v^2 y_m^2 + \dots \right. \right. \\ & \left. \left. + \frac{1}{(2n-1)!} \delta_v^{2n-1} q_v^{4n-2} y_m^{4n-2} \right) \left(1 - \varphi_v q_v^3 y_m^3 + \dots + \frac{1}{2m!} \varphi_v^{2m} q_v^{6m} y_m^{6m} \right) - \right. \\ & \left. - 6\varphi_v q_v^3 \left(1 + \delta_v q_v^2 y_m^2 + \dots + \frac{1}{2n!} \delta_v^{2n} q_v^{4n} y_m^{4n} \right) \left(1 - \varphi_v q_v^3 y_m^3 + \dots \right. \right. \\ & \left. \left. + \frac{(-1)^{2m-1}}{(2m-1)!} \varphi_v^{2m-1} q_v^{6m-3} y_m^{6m-3} \right) + \dots \right. \\ & \left. + \frac{(-1)^m}{n!m!} (2n+3m) \delta_v^n \varphi_v^m q_v^{2n+3m} \left(1 + \delta_v q_v^2 y_m^2 + \dots + \frac{1}{n!} \delta_v^n q_v^{2n} y_m^{2n} \right) \times \right. \\ & \left. \times \left(1 - \varphi_v q_v^3 y_m^3 + \dots + \frac{(-1)^m}{m!} \varphi_v^m q_v^{3m} y_m^{3m} \right) \right] - \Delta I_v(y_m). \quad (31) \end{aligned}$$

В (31) приняты следующие обозначения:

$$\begin{aligned} a_v = & 1 + 2\delta_v q_v^2 - 6\varphi_v q_v^3 + 12\delta_v^2 q_v^4 - 120\delta_v \varphi_v q_v^5 + \dots \\ & \dots + \frac{(-1)^m}{n!m!} (2n+3m) \delta_v^n \varphi_v^m q_v^{2n+3m}, \quad (32) \end{aligned}$$

$$\begin{aligned} \Delta I_v(y_m) = & q_v \cdot e^{-y_m} \left[2\delta_v q_v^2 y_m - 3\varphi_v q_v^3 (y_m^2 + 2y_m) + \right. \\ & + 2\delta_v^2 q_v^4 (y_m^3 + 2y_m^2 + 12y_m) - \delta_v \varphi_v q_v^5 (5y_m^4 + 18y_m^3 + \\ & + 54y_m^2 + 120y_m) + \dots + \frac{1}{2n!3m!} \delta_v^{2n} \varphi_v^{3m} q_v^{4n+6m} \times \\ & \times \left(\sum_{i=1}^{k-1} \frac{k!}{(k-i)!} y_m^{k-i} - \sum_{i=2}^{k-2} i! y_m^{k-i} \sum_i \frac{n!}{n_1!n_2!} \frac{m!}{m_1!m_2!} \right) \right], \quad (33) \end{aligned}$$

где символ \sum_i означает, что из числа всевозможных слагаемых вида $\frac{n!}{n_1!n_2!} \frac{m!}{m_1!m_2!}$ должны быть взяты те, которые удовлетворяют условию $i = 2n + 3m$.

Значения n и m выберем такими, чтобы всегда с любой наперед заданной точностью выполнялось равенство:

$$\begin{aligned} e^{-hcF_v(y_m)/kT} &= e^{-y_m} \left(1 + \delta_v q_v^2 y_m^2 + \dots + \frac{1}{2n!} \delta_v^{2n} q_v^{4n} y_m^{4n} \right) \times \\ &\times \left(1 - \varphi_v q_v^3 y_m^3 + \dots + \frac{1}{2m!} \varphi_v^{2m} q_v^{6m} y_m^{6m} \right) = \\ &= e^{-y_m} \left(1 + \delta_v q_v^2 y_m^2 + \dots + \frac{1}{(2n-1)!} \delta_v^{2n-1} q_v^{4n-2} y_m^{4n-2} \right) \left(1 - \varphi_v q_v^3 y_m^3 + \dots + \right. \\ &+ \dots + \frac{1}{2m!} \varphi_v^{2m} q_v^{6m} y_m^{6m} \left. \right) \approx \dots \approx e^{-y_m} \left(1 + \delta_v q_v^2 y_m^2 + \dots + \frac{1}{n!} \delta_v^n q_v^{2n} y_m^{2n} \right) \times \\ &\times \left(1 - \varphi_v q_v^3 y_m^3 + \dots + \frac{(-1)^m}{m!} \varphi_v^m q_v^{3m} y_m^{3m} \right). \end{aligned} \quad (34)$$

Дополнительные члены в формуле Эйлера дают

$$\frac{1}{3} + \frac{1}{15q_v} - \left(\frac{1}{3} + \frac{1}{15q_v} \right) e^{-hcF_v(y_m)/kT} - \delta(y_m). \quad (35)$$

Учитывая равенство (34), а также вклад в Q_j , обусловленный дополнительными членами в формуле Эйлера согласно (35), для статистической суммы по вращательным состояниям получим выражение:

$$Q_j = Q_j^\infty - Q_j^\infty e^{-hcF_v(y_m)/kT} - \Delta I_v(y_m) - \delta(y_m), \quad (36)$$

$$\begin{aligned} Q_j^\infty &= q_v \left(1 + \frac{1}{3q_v} + \frac{1}{15q_v^2} + d_v + 3d_v^2 - f_v - 10d_v f_v + \dots \right. \\ &\left. \dots + (-1)^m \frac{(2n+3m)!}{2^n 6^m n! m!} d_v^n f_v^m \right). \end{aligned} \quad (37)$$

В (37) приняты следующие обозначения:

$$d_v = 2\delta_v q_v^2, \quad f_v = 6\varphi_v q_v^3.$$

Пренебрегая в (36) величинами $\Delta I_v(y_m)$ и $\delta(y_m)$ по сравнению с $Q_j^\infty \exp[-hcF_v(y_m)/kT]$, окончательно получим

$$Q_j = Q_j^\infty (1 - e^{-hcF_v(j_m)/kT}). \quad (38)$$

Как видно, формула (38) подобна по виду формуле (22) для Q_v , полученной другим методом. Ранее Б. И. Броунштейном [4] была получена следующая формула для Q_j :

$$Q_j = Q_j^\infty - q_v e^{-hcF_v(j_m)/kT}, \quad (39)$$

а также получено выражение для общего члена в формуле (37). Как видно, формула (39) содержится в (38), как частный случай.

Величина j_m определяется равенством

$$G_0(v) + F_v(j_m) = D_0. \quad (40)$$

Учитывая это равенство, выражение (38) можно переписать следующим образом:

$$Q_j = Q_j^\infty (1 - e^{-hc[D_0 - G_0(v)]/kT}). \quad (41)$$

Вычисление Q_{vj} . Статистическая сумма по колебательно-вращательным состояниям двухатомной молекулы равна:

$$Q_{vj} = \sum_{v=0}^{v_m} e^{-hcG_0(v)/kT} \sum_{j=0}^{j_m} (2j+1) e^{-hcF_v(j)/kT}. \quad (42)$$

Полагая

$$q_v a_v = q_0 a_0 \left(1 + \sum_{k=1}^n \beta_k v^k\right) \quad (43)$$

и используя изложенный выше метод, получим

$$Q_{vj} = Q_v^\infty \cdot Q_{\text{вр}}^\infty Q_{\text{вз}}^\infty (1 - e^{-hcD_0/kT}) - Q_{\text{вр}}^\infty \sum_{v=0}^{v_m} \left(1 + \sum_{k=1}^n \beta_k v^k\right) e^{-hcD_0/kT}, \quad (44)$$

где Q_v^∞ определяется по формуле (21), $Q_{\text{вр}}^\infty$ равно

$$Q_{\text{вр}}^\infty = q_0 a_0 \quad (45)$$

и определяется по формуле (37), в которой для вычисления $Q_{\text{вр}}^\infty$ нужно положить $q_v = q_0$ и $a_v = a_0 \cdot Q_{\text{вз}}^\infty$ равно

$$Q_{\text{вз}}^\infty = \left(1 + \sum_{k=1}^n \beta_k f^k\right). \quad (46)$$

Так как вклад в Q_{vj} , обусловленный вторым членом в (44), мал, то для определения $\sum_{v=0}^{v_m} \left(1 + \sum_{k=1}^n \beta_k v^k\right)$ можно воспользоваться приближенным значением v_m в соответствии с формулой (24).

Если аппроксимация $q_v a_v$ осуществляется по методу Гордона и Барнеса [5], то в (46) сумма $\sum_{k=3}^n \beta_k f^k = 0$, а значения оставшихся коэффициентов должны быть определены из уравнения

$$q_v = q_0 (1 + \beta_1 v + \beta_2 v^2).$$

Задача определения $\sum_{v=0}^{v_m} \left(1 + \sum_{k=1}^n \beta_k v^k\right)$ при известном значении v_m не является сложной. Соответствующее выражение для случая аппроксимации q_v по методу Гордона и Барнеса дано в работе [4].

Приведем формулы для расчета термодинамических функций двухатомных идеальных газов: свободной энергии, энтальпии, энтропии и теплоемкости.

$$\frac{F - E_0}{RT} = -\ln Q_{vj}^\infty - \ln a; \quad (47)$$

$$\frac{H - E_0}{RT} = \frac{H^\infty}{RT} - \frac{1}{a} \left[(1 + b) \left(\frac{hcD_0}{kT} \right) - \frac{(H^\infty - H_{\text{вр}}^\infty)}{RT} b \right] e^{-hcD_0/kT}; \quad (48)$$

$$\frac{S}{R} = \frac{S^\infty}{R} - \frac{1}{a} \left[(1 + b) \left(\frac{hcD_0}{kT} \right) - \frac{(H^\infty - H_{\text{вр}}^\infty)}{RT} b \right] e^{-hcD_0/kT} + \ln a; \quad (49)$$

$$\begin{aligned} \frac{v}{R} = & \frac{C_v^\infty}{R} - \frac{1}{a} \left\{ (1 + b) \left(\frac{hcD_0}{kT} \right)^2 - \frac{(C_v^\infty - C_{\text{вр}}^\infty)}{R} b - \right. \\ & \left. - \frac{(H^\infty - H_{\text{вр}}^\infty)}{RT} \left[2 \left(\frac{hcD_0}{kT} \right) - \frac{(H^\infty - H_{\text{вр}}^\infty)}{RT} b \right] \right\} e^{-hcD_0/kT} - \\ & - \frac{1}{a^2} \left[(1 + b) \left(\frac{hcD_0}{kT} \right) - \frac{(H^\infty - H_{\text{вр}}^\infty)}{RT} b \right] e^{-2hcD_0/kT}, \end{aligned} \quad (50)$$

В формулах (47) — (50) приняты следующие обозначения

$$Q_{vj}^{\infty} = Q_v^{\infty} Q_{\text{вр}}^{\infty} Q_{\text{вз}}^{\infty} \dots \quad (51)$$

$$a = 1 - (1 + b)e^{-hcD_0/kT}, \quad b = \frac{Q_{\text{вр}}^{\infty} \sum_{v=0}^{v_m} \left(1 + \sum_{k=1}^n \beta_k v^k\right)}{Q_{vj}^{\infty}}.$$

Величины H^{∞} , S^{∞} и C_v^{∞} означают соответствующие термодинамические функции, вычисленные в предположении, что колебательные и вращательные квантовые числа не ограничены. Необходимые для их вычисления первая и вторая производные от Q_{vj}^{∞} по температуре вследствие простого вида функций f определяются легко, и поэтому соответствующие выражения здесь не приводятся.

Если расчет термодинамических функций производится в приближении гармонического осциллятора и жесткого ротатора, но при условии, что колебательные и вращательные квантовые числа ограничены, то статистическая сумма Q_{vj}^{∞} будет равна $Q_{vj}^{\infty} = q_0 s$, а величины H^{∞} , S^{∞} и C_v^{∞} в формулах (47) — (50) будут соответствующими термодинамическими функциями гармонического осциллятора и жесткого ротатора, вычисленными

в предположении, что $v_m \rightarrow \infty$ и $j_m \rightarrow \infty$. Сумма $\sum_{v=0}^{v_m} \left(1 + \sum_{k=1}^n \beta_k v^k\right)$ в формулах (47) — (50) будет равна

$$\sum_{v=0}^{v_m} \left(1 + \sum_{k=1}^n \beta_k v^k\right) = 1 + \frac{D_0}{\omega_e}.$$

Выводы

1. Разработан метод расчета статистической суммы по колебательным состояниям двух- и многоатомных молекул с учетом взаимодействия между вращением и колебаниями в предположении, что колебательные квантовые числа ограничены, и получены формулы суммирования.

2. Получены выражения для колебательной и вращательной статистических сумм двухатомной молекулы с учетом ограниченности колебательного и вращательного квантовых чисел.

3. Приведены расчетные формулы для определения термодинамических функций двухатомных молекул, в которых операция непосредственного суммирования по колебательному квантовому числу исключена полностью.

Всесоюзный электротехнический институт
Москва

Поступила
26.XI.1958

ЛИТЕРАТУРА

- И. Н. Годнев, Вычисление термодинамических функций по молекулярным данным, ГИТТЛ, М., 1956.
L. S. Kassel, J. Chem. Phys., **1**, 576, 1933.
L. S. Kassel, Chem. Rev., **18**, 277, 1936.
Б. И. Броунштейн, Ж. физ. химии, **31**, 1606, 1957.
A. R. Gordon, C. Barnes, J. Chem. Phys., **1**, 297, 1933.

CALCULATION OF THE THERMODYNAMIC FUNCTIONS OF IDEAL GASES FROM SPECTROSCOPIC DATA

R. I. Artym (Moscow)

Summary

Formulas have been derived for summation of the statistical partition functions over the vibrational energy states of di- and multiatomic molecules, taking into account rotation-vibration interaction, under the assumption of $v \rightarrow v_m$ and $j \rightarrow j_m$.

Approximate formulas for the statistical vibration and rotation partition functions have been obtained with the condition $v \rightarrow v_m$ and $j \rightarrow j_m$.

Formulas for calculating the thermodynamic functions of ideal gases have been presented, in which direct summation of the vibration quantum number has been completely done away with.

ВЛИЯНИЕ ТЕМПЕРАТУРЫ НА КРИСТАЛЛИЗАЦИЮ СОЛЕЙ КАЛИЯ ИЗ РАСТВОРОВ

Н. А. Фигуровский, Т. А. Комарова и Ю. И. Романьков

В аналитической практике широко распространены приемы осаждения веществ из горячих растворов с целью получения хорошо фильтрующихся осадков [1]. Во многих работах описано влияние температуры на дисперсность образующихся осадков [2, 3].

Влияние температуры проявляется и на других сторонах кристаллизационных процессов. Так, при повышении температуры сокращается индукционный период кристаллизации [3, 4] и изменяется форма образующихся кристаллов [3, 5]. С другой стороны, при повышении температуры становится менее значительным влияние добавок на кристаллизацию веществ ([5], стр. 43), тогда как скорость кристаллизации растет [5—8].

Температурный коэффициент, определяемый по Вант-Гоффу и равный двум для некоторых солей, как будто бы позволял рассматривать кристаллизацию как один из видов химических реакций. Однако для других солей установленные значения температурного коэффициента оказывались меньшими, отсюда делался вывод о диффузионном процессе как основном факторе, определяющем скорость кристаллизации [6—8].

В настоящем исследовании рассмотрено влияние температуры на скорость кристаллизации солей калия: хлористого, сернокислого, азотнокислого, хлорновато-, бромновато- и йодноватокислого.

Литературные данные, посвященные этому вопросу, немногочисленны. Основные выводы исследователей сводятся к тому, что с увеличением температуры и пересыщения скорость кристаллизации возрастает [4—9] в связи с уменьшением гидратации ионов, уменьшением работы образования зародышей [4, 8], увеличением скорости диффузии [8]. В некоторых работах были сделаны попытки объяснить особенности кристаллизации способностью солей образовывать пересыщенные растворы различной стабильности [9]. Имеются работы, указывающие на существование известного параллелизма между скоростью кристаллизации и теплотой растворения [10, 11], между растворимостью и величиной максимального переохлаждения растворов [12], между теплотой растворения и максимальным переохлаждением растворов [13, 14].

Экспериментальная часть

Для приготовления пересыщенных растворов применялись химически чистые дважды перекристаллизованные соли (за исключением химически чистых KBrO_3 и KJO_3). Пересыщенные растворы готовились по методу Фишера [7] трех относительных пересыщений: $x_0 = 0,05; 0,10; 0,15$. Величина относительного пересыщения $x_0 = \frac{c_x - c_0}{c_0}$, где c_x и c_0 , соответственно, концентрация соли и ее растворимость при данной температуре.

Кристаллизация проводилась в помещенных в термостат сосудах с перемешиванием при пяти температурах в интервале от 0 до 40°. Перед началом опыта в пересыщенный раствор объемом 200 мл вводилась затравка из кристаллов одноименной соли весом 1 г.

Количество соли, выделившейся в процессе кристаллизации, определялось по изменению концентрации раствора весовым методом.

На рис. 1, 2 приведены кривые изменения концентрации растворов в процессе кристаллизации во времени для KBrO_3 и KClO_3 . Для других солей получены кривые аналогичного вида. Во всех опытах вследствие большого количества вводимой затравки практически отсутствовал ин-

ционный период, а максимальная скорость кристаллизации, измеряемая количеством соли, выделяющейся в течение одной минуты, достигается в течение первой минуты.

Значения максимальных скоростей кристаллизации v были установлены графически на основании кинетических кривых и приведены в табл. 1.

Для всех исследованных солей с повышением температуры и пересыщения растворов максимальная скорость кристаллизации растет.

Сравнение максимальных скоростей кристаллизации исследованных

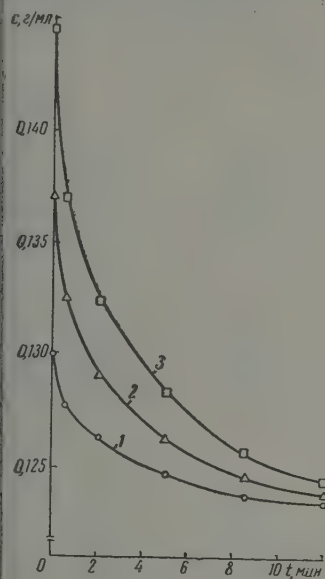


Рис. 1

рис. 1. Изменение концентрации растворов в процессе кристаллизации KBrO_3 при 40° . 1 — исходное относительное пересыщение раствора $x_0 = 0,05$; 2 — $x_0 = 0,10$; 3 — $x_0 = 0,15$

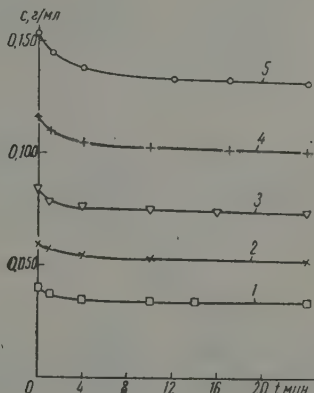


Рис. 2

рис. 2. Изменение концентрации растворов в процессе кристаллизации KClO_3 . Исходное относительное пересыщение равно $x_0 = 0,15$. 1 — кристаллизация происходит при 0° ; 2 — при 10° ; 3 — при 20° ; 4 — при 30° ; 5 — при 40°

калия при каждой температуре показывает, что не всегда максимальная скорость кристаллизации тем больше, чем больше растворимость. При 0° растворимости KBrO_3 и KClO_3 различаются мало, а скорости — значительно; растворимости KBrO_3 и KJO_3 разнятся в полтора раза, скорости кристаллизации близки. Скорость кристаллизации K_2SO_4 практически не зависит от пересыщения при 0° .

При 10, 20 и 30° максимальная скорость кристаллизации следует изменению растворимости в ряду $\text{KBrO}_3 < \text{KClO}_3 < \text{KJO}_3 < \text{K}_2\text{SO}_4 < \text{KNO}_3 < \text{KCl}^*$, она оказывается меньше других солей лишь для KJO_3 , что может быть объяснено разницей между кажущимся объемом NO_3^- -иона в растворе и в кристалле, причем первый объем в два с лишним раза меньше [15].

При 30 и 40° нам не удалось получить растворов KCl в исследуемом диапазоне пересыщений вследствие того, что кристаллизация начиналась лишь раз до достижения раствором температуры опыта. Экстраполируя, можно отметить, что и KCl выпадает из ряда растворимости, так как при 40° KCl растворим менее KNO_3 . Как видно из данных таблицы, наибольшие скорости кристаллизации показывают KCl и KNO_3 .

* При 30° KCl менее растворим, чем KNO_3 .

Таблица 1

Изменение максимальных скоростей кристаллизации солей из растворов в зависимости от температуры и относительного пересыщения

t, °C	Максимальная скорость кристаллизации		Г/мл мин. $x_0 = 0,15$	t, °C	Максимальная скорость кристаллизации		Г/мл мин. $x_0 = 0,15$
	$x_0 = 0,05$	$x_0 = 0,10$			$x_0 = 0,05$	$x_0 = 0,10$	
KClO ₃				KNO ₃			
0	0,0012	0,0018	0,0022	0	0,0030	0,0044	0,0056
10	0,0014	0,0026	0,0033	10	0,0044	0,0068	0,0100
20	0,0021	0,0038	0,0053	20	0,0047	0,0079	0,0117
30	0,0024	0,0052	0,0070	30	0,0108	0,0126	0,0174
40	0,0030	0,0060	0,0077	40	0,0120	0,0160	0,0274
KBrO ₃				K ₂ SO ₄			
0	0,00050	0,00085	0,0010	0	0,0018	0,0017	0,0018
10	0,00095	0,0017	0,0024	10	0,0018	0,0027	0,0056
20	0,0015	0,0032	0,0044	20	0,0020	0,0045	0,0057
30	0,0020	0,0034	0,0056	30	0,0023	0,0053	0,0070
40	0,0023	0,0044	0,0075	40	0,0025	0,0054	0,0078
KJO ₃				KCl			
0	0,0005	0,0006	0,0013	0	0,0086	0,0168	0,0184
10	0,0007	0,0009	0,0015	10	0,0144	0,0210	0,0248
20	0,0012	0,0014	0,0020	20	0,0174	0,0230	—
30	0,0012	0,0021	0,0023				
40	0,0014	0,0031	0,0055				

Если принять ν солей при 0° за единицу и определить относительное увеличение максимальной скорости кристаллизации с температурой и пересыщением, то наибольшее увеличение скорости наблюдается для KBr ($x_0 = 0,15$; скорость изменяется с температурой практически линейно от 1 при 0° до 7,5 при 40°), в два раза меньшее увеличение наблюдается для KClO₃, тогда как для KJO₃ монотонное возрастание скорости кристаллизации при $x_0 = 0,15$ до 30° сменяется резким возрастанием при переходе от 30 к 40° (именно в этом интервале смещается положение KJ в ряду растворимостей).

Для KNO₃ относительное увеличение скорости кристаллизации от 0 к 40° равно 4 (при $x_0 = 0,05$) и 4,9 (при $x_0 = 0,15$).

Особое место занимает K₂SO₄. Для этой соли наблюдается практически не зависящая от пересыщения ($0,05 \leq x_0 \leq 0,15$) скорость кристаллизации при 0°, незначительное увеличение скорости кристаллизации от 0 до 40° для $x_0 = 0,05$ (до 1,4) и значительное возрастание скорости от 0 до 40° для $x_0 = 0,15$ по сравнению с $x_0 = 0,05$ (до 4,3 единиц).

По изменению максимальных скоростей кристаллизации изученных солей можно распределить по трем группам: к первой отнести K₂S (рис. 3) и KCl, для них наибольшие изменения наблюдаются в интервале между 0 и 20°; ко второй группе солей относятся KClO₃ (рис. 4) и KBr, для них в условиях опытов наблюдается линейный рост максимальной скорости с температурой; к третьей группе солей принадлежат KNO₃ и KJO₃; для них больший рост скоростей кристаллизации наблюдается в интервале 20—40° при исходном относительном пересыщении $x_0 = 0,15$ и $x_0 = 0,10$.

Величина относительного пересыщения [5] является недостаточной характеристикой при рассмотрении кристаллизации хорошо растворимых

солей. В наших опытах при одинаковых относительных пересыщениях максимальные скорости кристаллизации значительно различались в зависимости от природы соли.

В пересыщенных растворах надо учитывать взаимодействие ионов друг с другом, ионов соли с молекулами воды, а также взаимодействие молекул воды между собой. С увеличением концентрации соли взаимодействие

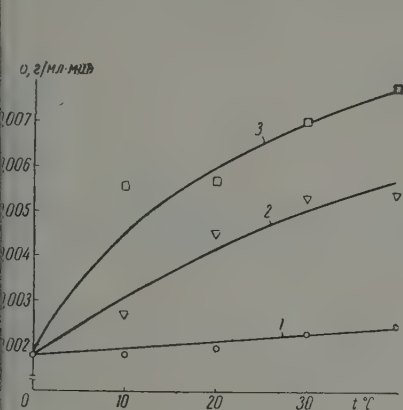


Рис. 3

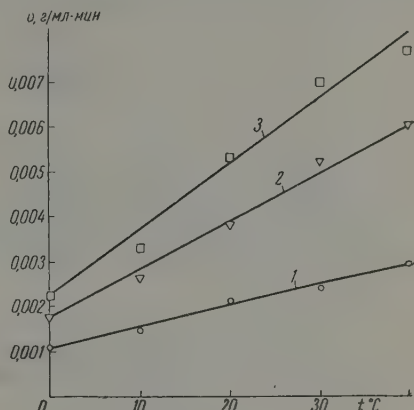


Рис. 4

Рис. 3. Изменение максимальных скоростей кристаллизации K_2SO_4 с температурой: 1 — исходное относительное пересыщение $x_0 = 0,05$; 2 — $x_0 = 0,10$; 3 — $x_0 = 0,15$

Рис. 4. Изменение максимальных скоростей кристаллизации $KClO_3$ с температурой: 1 — исходное относительное пересыщение $x_0 = 0,05$; 2 — $x_0 = 0,10$; 3 — $x_0 = 0,15$

ионов сильно растет и лишь незначительно уменьшается с температурой. Взаимодействие ионов с молекулами воды и молекул воды между собой уменьшается с ростом концентрации соли и температуры.

Таким образом, с увеличением температуры, благодаря возрастанию абсолютной концентрации ионов, максимальная скорость кристаллизации увеличивается значительно, чем в том же интервале температур изменяется растворимость.

В пересыщенных растворах хорошо растворимых солей в результате взаимодействия ионов образуются квазимолекулы и квадруполь [16], которые менее гидратированы, чем ионы. Поэтому можно предположить, что они располагаются вне тетраэдрически структурированной воды, т. е. по «квазиканалам» [17]. При этом энергетически более выгодно существование цепочечных ассоциатов ионов, а не двумерных или трехмерных образований, и лишь в процессе кристаллизации путем последовательного усложнения ассоциатов ионов вырастают кристаллы [18].

Порядок изменения кажущихся объемов ионов в водных растворах при 25° (в $см^3/экв$): K^+ 8,4; Cl^- 18; NO_3^- 29,4; ClO_3^- 35,1; BrO_3^- 36,1; JO_3^- 25,1; $1/2 SO_4$ 7,7 [15].

Казалось бы, можно заключить, чем меньше объем иона, тем больше скорость кристаллизации. Отклонения для JO_3^- уже объяснены различием объемов в растворе и в кристалле, а стерические препятствия имеют, как известно, большое значение в кристаллизации особенно органических молекул [19]. Особое место SO_4^{2-} , соответственно, сказывается и на кристаллизации.

В зависимости от природы ионов разрушение структуры воды может быть более значительным при низких температурах. Если же ион оказывает стабилизирующее действие на структуру воды, то разрушающее влияние скажется только при более высоких температурах и концентрациях [20, 21].

Интересно проследить за изменениями самих скоростей кристаллизации с температурой, т. е. определить температурный градиент кристаллизационных процессов. Для этого воспользуемся формулой:

$$k = \frac{1}{v_i} \frac{v_{i+1} - v_i}{(T_i + 10) - T_i}, \quad (1)$$

где v_i и v_{i+1} — соответственно максимальные скорости кристаллизации при температуре T_i и $T_i + 10$.

Подобный способ определения температурных градиентов различных процессов [21, 22] позволяет сравнивать между собой температурные градиенты величин, характеризующих процесс кристаллизации.

Таблица 2

Изменение температурного градиента скоростей кристаллизации солей при различных пересыщениях

$t, ^\circ\text{C}$	Температурный градиент k [по формуле (1)] в обратных градусах			$t, ^\circ\text{C}$	Температурный градиент k [по формуле (1)] в обратных градусах		
	относительное пересыщение				относительное пересыщение		
	$x_0 = 0,05$	$x_0 = 0,10$	$x_0 = 0,15$		$x_0 = 0,05$	$x_0 = 0,10$	$x_0 = 0,15$
KClO_3				KNO_3			
10—0	0,041	0,060	0,062	10—0	0,047	0,052	0,059
20—10	0,029	0,039	0,040	20—10	0,048	0,036	0,041
30—20	0,022	0,027	0,028	30—20	0,042	0,032	0,040
40—30	0,018	0,021	0,021	40—30	0,030	0,033	0,035
KBrO_3				K_2SO_4			
10—0	0,094	0,108	0,100	10—0	0,0084	0,070	0,150
20—10	0,048	0,051	0,062	20—10	0,0079	0,038	0,032
30—20	0,031	0,034	0,039	30—20	0,0072	0,020	0,018
40—30	0,024	0,025	0,028	40—30	0,0067	0,011	0,011
KJO_3				KCl			
10—0	0,046	0,038	0,016	10—0	0,068	0,025	0,035
20—10	0,030	0,056	0,033	20—10	0,021	0,010	—
30—20	0,024	0,053	0,052				
40—30	0,019	0,044	0,052				

Изменение температурных градиентов для всех исследованных солей в изученном интервале температур показано в табл. 2, а на рис. 5 для KClO₃, откуда видно, что температурный градиент уменьшается с ростом температуры (выпадают лишь отдельные точки для KJO₃ и KNO₃) и растет с увеличением пересыщения для KClO₃, KBrO₃ и K₂SO₄, причем более резкое уменьшение наблюдается в интервале 0—20°, чем в интервале между 20 и 40°.

Своеобразное изменение температурного градиента KJO₃ и KNO₃ объясняется поляризуемостью ионов JO₃⁻ и NO₃⁻.

На рис. 6 показано изменение температурного градиента в зависимости от природы анионов. В целом отчетливо видно, что с увеличением температуры различие ионов сглаживается. Это можно объяснить тем, что с увеличением температуры собственная структура воды нарушается сильнее, так что эффект, производимый тем или иным ионом, будет меньше.

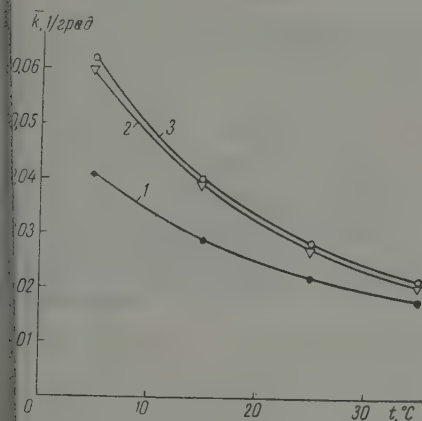


Рис. 5

Рис. 5. Изменение температурного градиента кристаллизации KClO_3 : 1 — $x_0 = 0,05$; 2 — $x_0 = 0,10$; 3 — $x_0 = 0,15$

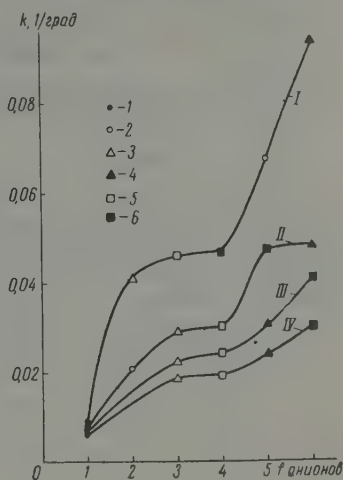


Рис. 6

Рис. 6. Температурный градиент кристаллизации для различных солей калия: I — сульфата; 2 — хлорида; 3 — хлората; 4 — бромата; 5 — йодата; 6 — нитрата. II — температурный градиент рассчитан для температурного интервала $10-0^\circ$; III — для $20-10^\circ$; IV — для $30-20^\circ$; V — для $40-30^\circ$. Исходное пересыщение каждого раствора равно 0,05

Выводы

1. На основании исследования кинетики кристаллизации KClO_3 , KBrO_3 , KJO_3 , KNO_3 , K_2SO_4 , KCl установлено, что максимальная скорость кристаллизации тем больше, чем выше температура и пересыщение. Это обусловлено увеличением взаимодействия между ионами с повышением концентрации растворов и ослаблением взаимодействия молекул воды между собой и ионов с молекулами воды. Для K_2SO_4 (и отчасти для KCl) увеличение скорости кристаллизации при переходе от температуры 20° более значительно, чем в интервале от 20 до 40° ; для KBrO_3 и KClO_3 максимальная скорость кристаллизации линейно растет с температурой; для KJO_3 и KNO_3 наблюдается более значительный рост в интервале между 20 и 40° .
2. Температурный градиент кристаллизации падает с ростом температуры и увеличивается при возрастании пересыщения.
3. С увеличением температуры влияние природы анионов на температурный градиент уменьшается тем больше, чем ниже пересыщение.

ЛИТЕРАТУРА

1. И. М. Кольтгоф, Е. Б. Сендел, Количественный анализ, М., 1941.
2. Н. Н. Ушакова, Дисперсность аналитических осадков, канд. дисс., М., 1942.
3. Н. А. Фигуровский, Т. А. Комарова, Ж. неорган. химии, 2, 93, 1957.
4. Е. Н. Гапон, ЖРФ-ХО, ч. хим., 61, 1729, 1929.
5. Т. А. Комарова, Исследование кинетики кристаллизации солей из растворов, канд. дисс., М., 1953.
6. R. Marcus, Z. phys. Chem., 67, 470, 1909.
7. В. М. Фишер, Исследование над пересыщенными растворами солей, РИИ, 1913.
8. Е. Н. Гапон, Укр. хим. ж., 4, 161, 505, 1929.
9. A. C. Chatterje, R. P. Wastogi, J. Indian Chem. Soc., 28, 599, 1951.
10. A. Brann, J. Amer. Chem. Soc., 40, 1175, 1918.
11. B. S. Srikanthan, C. N. Venkatachalam, J. Indian Chem. Soc., 30, 149, 1953.
12. С. В. Горбачев, А. В. Шлыков, Ж. физ. химии, 29, 1396, 1955.
13. B. S. Srikanthan, J. Indian Chem. Soc., 27, 627, 1950.
14. R. Gorai, J. Indian Chem. Soc., 21, 103, 1944.
15. K. Fajans, O. Johnson, J. Amer. Chem. Soc., 64, 668, 1942.
16. В. К. Семенченко, Физическая теория растворов, М., 1948.
17. Дж. Бернал, Р. Фаулер, Успехи физ. наук, 14, 586, 1934.
18. Н. А. Фигуровский, Т. А. Комарова, Ж. неорган. химии, 4, 522, 1957.
19. А. И. Китайгородский, Органическая кристаллохимия, М., 1955.
20. К. П. Мищенко, Сб. тезисов докладов на Совещании по термодинамике строения растворов, стр. 31, М., 1957.
21. К. П. Мищенко, Ю. Я. Каганович, Ж. общ. химии, 21, 28, 1954.
22. Е. Я. Горенбейн, Ж. общ. химии, 17, 873, 1947.

EFFECT OF TEMPERATURE ON THE CRYSTALLIZATION OF POTASSIUM SALTS FROM SOLUTION

N. A. Figurovskii, T. A. Komarova, Yu. I. Roman'kov (Moscow)

Summary

Based on kinetic studies of the crystallization of KClO_3 , KBrO_3 , KIO_3 , KNO_3 , K_2SO_4 and KCl it has been established that maximum crystallization rates are the higher, the higher the temperature and the supersaturation. This is due to increasing interaction between ions with increase in solution concentration and weakening of the interaction of water molecules with each other and with the ions. In the case of K_2SO_4 (and partly in the case of KCl) increase in the crystallization rate on passing from 0 to 20° is greater than for the interval from 20 to 40°. For KBrO_3 and KClO_3 the maximum crystallization rate increases linearly with the temperature. For KIO_3 and KNO_3 the growth is greater at 20 to 40° interval. The temperature gradient of crystallization $k = 1/v_i \cdot \frac{v_{i+1} - v_i}{(T_i + 10) - (T_{i+1} + 10)}$

falls with increasing temperature and increases with increasing supersaturation. With increase in temperature the effect of the anion species on the temperature gradient diminishes the more, the less the supersaturation.

ТЕРМОДИНАМИЧЕСКИЕ ИССЛЕДОВАНИЯ ПРИ НИЗКИХ ТЕМПЕРАТУРАХ

Х. ТЕПЛОЕМКОСТЬ ЖЕЛТОЙ МОДИФИКАЦИИ ОКИСИ СВИНЦА
В ИНТЕРВАЛЕ ТЕМПЕРАТУР ОТ 12,5 ДО 303°K ЭНТРОПИЯ ПРИ 298,15°K

В. Н. Кострюков и Г. Х. Морозова

Теплоемкость окиси свинца при низких температурах была измерена Кингом и Шверсом [1]. Данные выше 65° K в последнее время были почерпнуты Кингом [2]. Приводимые в литературе [2—6] численные значения энтропии при стандартной температуре значительно различаются между собой. Поэтому мы предприняли пересмотр этих значений на основании прямых калориметрических измерений в интервале от 12 до 300° K.

Экспериментальная часть

Методика исследования не отличалась от описанной ранее [7]. Препарат окиси свинца (желтая модификация) марки «чда» с содержанием основного вещества 95% просушивался в фарфоровом тигле в печи при температуре около 140° и давлении 0,05 мм рт. ст. Препарат представлял собой порошок с минимальным размером частиц около 5 м. Рентгенограмма показала кристаллическую природу порошка. В калориметре порошок приобретал слегка красноватый оттенок вследствие появления в препарате следов красной модификации PbO, в которую желтая модификация переходит даже при незначительных механических воздействиях (трение частиц между собой или о стенки калориметра при его засыпке).

В калориметр было загружено 0,3138 моля окиси свинца и введен газообразный гелий ($\sim 3 \cdot 10^{-5}$ моля) под давлением 20 мм рт. ст. при комнатной температуре для улучшения теплообмена.

Между 12,5 и 303° K проделано 103 отдельных определений теплоемкости PbO, результаты которых приведены в табл. 1. В указанном интервале температур не обнаружено каких-либо аномалий. Ухудшения теплообмена при низких температурах за счет возможной сорбции теплоемкого гелия на весьма развитой поверхности препарата не было. При малом во внимание результаты работ [8, 9], можно считать, что при размере частиц препарата ~ 5 м результаты не искажены заметным образом за счет поверхностных волн. По 103 экспериментальным точкам было проделано два независимых графических выравнивания $C_p(T)$ и определены через нужные для дальнейшего интегрирования интервалы средние значения C_p и C_p/T . В табл. 2 приведены данные, являющиеся средними арифметическими независимых, выравнивания и последующих интегрирования.

У нижнего предела измерений, т. е. в области температур 12—18°K, теплоемкость PbO еще не доходит до предельной кубической зависимости от температуры. Поэтому метод экстраполяции кривой теплоемкости 0° K не является очевидным.

Мы попытались привести в соответствие формулу В. В. Тарасова для термодинамических структур [10] с экспериментальными точками на нижнем интервале измерений:

$$2C_{2(3)} = 2 \left\{ D_2 \left(\frac{\theta_2}{T} \right) - \left(\frac{\theta_3}{\theta_2} \right)^2 \left[D_2 \left(\frac{\theta_3}{T} \right) - D_3 \left(\frac{\theta_3}{T} \right) \right] \right\}, \quad (1)$$

Таблица 1

Теплоемкость окиси свинца (желтая модификация) C_p , $\frac{\text{кал}}{\text{град} \cdot \text{моль}}$ (экспериментальные значения)

$T, ^\circ\text{K}$	$C_p, \frac{\text{кал}}{\text{град} \cdot \text{моль}}$	$T, ^\circ\text{K}$	$C_p, \frac{\text{кал}}{\text{град} \cdot \text{моль}}$	$T, ^\circ\text{K}$	$C_p, \frac{\text{кал}}{\text{град} \cdot \text{моль}}$
12,47	0,50	74,63	5,46	193,43	9,48
12,70	0,52	77,76	5,59	197,26	9,52
12,74	0,50	81,09	5,79	200,14	9,56
13,42	0,63	84,00	5,93	201,15	9,60
14,23	0,67	86,83	6,06	204,28	9,66
14,55	0,71	89,56	6,21	204,59	9,67
15,35	0,81	97,44	6,51	208,62	9,74
16,25	0,88	100,53	6,63	209,14	9,75
17,03	1,02	105,88	6,86	213,94	9,79
17,60	1,01	107,99	6,94	217,86	9,87
18,31	1,14	111,01	7,04	218,99	9,87
18,54	1,20	114,00	7,17	223,69	9,96
18,92	1,22	117,37	7,27	225,77	10,00
19,25	1,25	119,05	7,34	229,76	10,13
19,48	1,26	123,55	7,51	229,98	10,05
20,05	1,35	125,17	7,56	233,05	10,12
20,08	1,36	127,78	7,66	237,21	10,16
20,61	1,39	130,36	7,73	240,65	10,29
20,85	1,45	132,07	7,80	241,36	10,20
21,09	1,49	135,02	7,90	244,41	10,35
22,15	1,59	138,00	8,00	250,30	10,38
24,12	1,82	139,87	8,09	256,16	10,49
25,04	1,99	143,83	8,19	266,17	10,58
30,42	2,49	145,99	8,26	271,91	10,68
37,83	3,22	149,45	8,37	274,93	10,69
39,11	3,32	152,88	8,47	289,95	10,85
43,86	3,66	154,97	8,53	294,47	10,90
45,00	3,77	161,68	8,76	295,38	10,91
48,84	4,08	167,23	8,85	298,39	10,92
49,99	4,14	170,73	8,97	299,18	10,95
56,63	4,54	172,95	9,04	299,48	10,94
58,72	4,65	178,20	9,09	301,37	10,98
61,70	4,80	186,42	9,31	302,74	10,99
64,57	4,93	189,09	9,33		
71,03	5,28	193,05	9,43		

где D_2 — символ функции В. В. Тарасова для двумерного континуума, а D_2 — символ функции Дебая.

При $\theta_2 = 215$ и $\theta_3 = 64,5$ формула (1) удовлетворительно описала участки экспериментальной кривой между 19 и 12° К. Поэтому мы воспользовались для экстраполяции формулой (1) и ее предельным выражением при низких температурах:

$$[C_{2(3)} \rightarrow 464,5 \left(\frac{T}{\theta_{2(3)}} \right)^3, \text{ где } \theta_{2(3)} = \theta_3^{1/2} \theta_2^{1/2} = 143,5.$$

Можно думать, что такой способ экстраполяции может дать значения энтропии и энтальпии при 12° К с погрешностью около 10—15%.

Мы получили:

$$S_{12^\circ\text{K}} - S_{0^\circ\text{K}} = 0,15 \pm 0,02 \text{ э. ед.}$$

$$H_{12^\circ\text{K}} - H_{0^\circ\text{K}} = 1,61 \pm 0,2 \text{ кал.}$$

Пользуясь этими данными и данными численного интегрирования выравненных экспериментальных кривых $C_p(T)$ и $\frac{C_p}{T}(T)$, мы вычис-

Таблица 2

Значения термодинамических функций для PbO (желтая модификация)
(1 калория — 1,1840 абс. джоуля)

$T, ^\circ\text{K}$	$C_p, \frac{\text{кал}}{\text{град} \cdot \text{моль}}$	$H_T - H_0, \frac{\text{кал}}{\text{моль}}$	$S_T, \frac{\text{кал}}{\text{град} \cdot \text{моль}}$	$\frac{H_T - H_0}{T}, \frac{\text{кал}}{\text{град} \cdot \text{моль}}$	$\Phi' = S - \frac{H_T - H_0}{T}, \frac{\text{кал}}{\text{град} \cdot \text{моль}}$
5	5	0,04*	0,04	0,013	
10	0,04*	0,04	0,013	0,008	0,005
25	0,28*	0,78	0,094	0,078	0,016
50	1,93	16,7	0,94	0,67	0,27
100	4,11	94,9	3,02	1,90	1,12
150	6,62	367,7	6,76	3,68	3,08
200	8,37	744,5	9,73	4,96	4,77
250	9,57	1195	12,32	5,98	6,35
273,15	10,38	1695	14,54	6,78	7,76
293,15	10,67	1939	15,47	7,10	8,37
298,15	10,88	2154	16,24	7,35	8,89
300	10,94	2208	16,42	7,41	9,02
	10,95	2220	16,49	7,43	9,06

* Экстраполированные значения

ли приведенные энтальпии и Φ' -потенциалы, приведенные в табл. 2. Энтропия желтой PbO при стандартной температуре $S_{298,15^\circ\text{K}} = 16,42 \pm 0,05 \text{ кал/моль} \cdot \text{град}$.

Как указывалось, теплоемкость окиси свинца (по-видимому, желтой модификации) была измерена в интервале от 21 до 93°K Нернстом и

Таблица 3

$T, ^\circ\text{K}$	$C_p, \frac{\text{кал}}{\text{град} \cdot \text{моль}}$	Примечания	$S_{298,15}, \frac{\text{кал}}{\text{град} \cdot \text{моль}}$	Примечания
16,6 [1]		{ Эксперим. измер. теплоемкости PbO от 21 до 93°K	16,9 [5] 16,6 [6]	
17,8 [3]		{ Рассчитано из реакции: $\text{PbO} + \text{H}_2 = \text{Pb} + \text{H}_2\text{O}$	16,1 + 0,2[2]	{ Эксперим. измер. теплоемкости PbO от 51 до 298°K
16,4 [4]		{ Рассчитано на основании измерений теплоемкости Pb_2O_4 и PbO_2 от 70°K до комнатных температур.	16,42 ± 0,05 (Наши данные)	

Нернстом [1]. Их результаты совпадают с нашими в водородной области, в области $35-70^\circ\text{K}$ лежат ниже, а при еще более высоких температурах — выше. Максимальное отклонение в обе стороны достигает $\sim 2\%$. Действительную причину такого расхождения установить не представляется возможным. Значительно больший интерес представляет сравнение наших данных с результатами измерений Кинга, выполненными в интервале $54-298^\circ\text{K}$ в последнее время [2]. Хорошо согласуясь с нашими значениями в области комнатных температур, они отклоняются при более низких температурах: вверх — в интервале $130-180^\circ\text{K}$ и вниз между 54 и 120°K . Отклонения сравнительно невелики ($0,5\%$) и не приводят в сумме к существенному различию в значениях $298^\circ\text{K} - S_{50^\circ\text{K}}$ ($< 0,03$ э. ед.), однако характер расхождения указывает на различие в ходе теплоемкости, возможно обусловленной различием параметров. Воспользовавшись для экстраполяции от 54 к 0°K комбинацией функций Энштейна и Дебая, Кинг нашел для $S_{51^\circ\text{K}}$ значение $2,78$ э. ед.,

это привело к значению $S^{\circ}_{298} \text{ К}$, равному 16,1, существенно отличающемуся от принятого нами. Экстраполяция значений $C(T)$ к 0° К от столь высокой температуры (54° К) всегда связана с возможностью значительной погрешности.

В различных литературных источниках приводятся следующие значения $S^{\circ}_{298,15^{\circ} \text{ К}}$ окиси свинца (табл. 3).

Предлагаемое нами значение представляется наиболее надежным, как основанное на прямых калориметрических измерениях от $12,5$ до 303° К .

В заключение авторы приносят благодарность проф. П. Г. Стрелкову за руководство и постоянный интерес к работе.

Выводы

1. Измерена теплоемкость желтой модификации окиси свинца в интервале от $12,5$ до 303° К . Энтропия при $298,15^{\circ} \text{ К}$, вычисленная на основании этих измерений, составляет $16,42 \pm 0,05$ э. ед.

2. Рассмотрение литературных данных о величине энтропии PbO (желт.) при стандартной температуре приводит к выводу, что полученное значение является наиболее надежным.

Институт
физико-технических
и радиотехнических
измерений

Поступила
1.XII.1958

ЛИТЕРАТУРА

1. W. Nernst, G. Schw ers, Sitzber. Kgl. Preus. Akad. Wiss, 35, 355, 1914.
2. E. G. King, J. Amer. Chem. Soc., 80, 2400, 1958.
3. E. S. Freed, Z. phys. Chem., 123, 406, 1926.
4. R. Millar, J. Amer. Chem. Soc., 51, 207, 1929.
5. K. K. Kelly, U. S. Bur. Mines. Bull., No. 434, 1941.
6. F. D. Rossini, D. D. Wagman, W. H. Evans, S. Lewins, I. Jaffe, J. Res. Nat Bur. Standards, Washington, Circ. № 500, 1952.
7. П. Г. Стрелков, Е. С. Ицкевич, В. Н. Кострюков, Г. Г. Мирская и Б. Н. Самойлов, Ж. физ. химии, 28, 459, 1954.
8. D. Patterson, J. Morrison, Canad. J. Chem., 33, 240, 1955.
9. J. Morrison, D. Patterson, Trans. Faraday Soc., 52, 761, 1956.
10. В. В. Тарасов, Ж. физ. химии, 24, 111, 1950.

THERMODYNAMIC STUDIES AT LOW TEMPERATURES

X. THE HEAT CAPACITY OF THE YELLOW MODIFICATION OF LEAD OXIDE OVER THE TEMPERATURE RANGE 12.5 TO 303° K , THE ENTROPY AT $298, 15^{\circ} \text{ K}$

V. N. Kostryukov and G. Kh. Morozova (Moscow)

Summary

The heat capacity of the yellow modification of lead oxide has been measured over the temperature range 12.5 to 303° K . At the lower limit of the measurements PbO does not as yet manifest a cubic dependence upon the temperature. The values of the thermodynamic functions $H_T - H_0$, S_T , $\frac{H_T - H_0}{T}$ and the ϕ' potential for temperatures ranging from 0 — 300° K have been calculated on the basis of the data obtained. The value of $S_{12^{\circ} \text{ K}}$ determined by extrapolation of $C(T)$ to 0° K is 0.15 ± 0.02 e. u.; $S^{\circ}_{298} = 16.42 \pm 0.05$ e. u.

РАДИОХИМИЧЕСКОЕ ИССЛЕДОВАНИЕ ОБМЕНА ИОНОВ
НА НАБУХАЮЩИХ ИОНИТАХ

А. М. Трофимов и Л. Н. Степанова

Основы теории обмена ионов разработаны К. К. Гедройцем [1], Б. П. Никольским [2], Е. Н. Гапоном [3] и другими в применении к ненабухающим ионитам.

Теоретический вывод уравнения изотермы обмена ионов основан на предположении, что в обмене участвуют ионы только одного знака заряда, а давление в жидкой твердой фазе одинаково (уравнение Никольского). Позднейшими исследованиями установлено, что в процессе обмена ионов между раствором и твердым ионитом возникают осмотические давления, следствием которых является повышенное давление в фазе ионита. У набухающих ионитов это давление связано со степенью их набухания. Набухаемость ионитов в свою очередь зависит от содержания и природы обменных групп, степени поперечной связанности полимерного скелета, состава поглощенных ионов (их гидратируемости и способности образовывать ионные пары и комплексные соединения с обменными группами смолы), концентрации электролита и значения внешнего раствора.

С учетом различия давлений в твердой и жидкой фазах уравнение изотермы обмена ионов усложняется. В простейшем виде уравнение, учитывающее работу набухания, предложено Грегором [4]

$$RT \ln K_a = \pi (\bar{v}_2 - \bar{v}_1). \quad (1)$$

Здесь K_a — константа термодинамического равновесия обмена ионов; π — осмотическое давление (давление набухания), \bar{v}_1 и \bar{v}_2 — молярные объемы обменивающихся ионов.

Самсонов [5] показал, что теория Грегора, учитывая в качестве энергетического фактора работу набухания, пренебрегает различием в энергиях взаимодействия ионов со смолой. Для набухающих ионитов константа обмена определяется не только изменением химических потенциалов ионов, но и изменением термодинамического потенциала в результате переноса растворителя.

Гриссбах [6] преобразовал уравнение Грегора в форму, очень удобную для оценки избирательности поглощения ионов твердым ионитом (случай обмена одновалентных ионов). Уравнение Гриссбаха имеет вид:

$$\lg K_p = \frac{0,434\pi}{RT} (\bar{v}_2 - \bar{v}_1) - \lg \frac{f_1}{f_2} + \lg \frac{\gamma_1}{\gamma_2}. \quad (2)$$

Здесь $K_p = g_1 c_2 / g_2 c_1$ — константа, определяющая распределение обменивающихся ионов; g_1 и g_2 — поглощенные количества ионов; c_1 и c_2 — концентрации ионов в растворе; f_1 и f_2 — коэффициент активности ионов в фазе ионита, γ_1 и γ_2 — коэффициент активности иона в растворе. При $K_p = 1$ ($\lg K_p = 0$) избирательность поглощения того-либо вида ионов отсутствует.

Чем больше $\lg K_p$ отличается от нуля, тем выше избирательность обменного поглощения. Значение $\frac{0,434\pi}{RT} (\bar{v}_2 - \bar{v}_1)$ можно вычислить, определив величину осмотического давления. По экспериментальным данным Грегора эта величина может достигать значения в 100 атм. Тогда, например, для обмена Cs^+ и K^+

$$\frac{0,434\pi}{RT} (\bar{v}_2 - \bar{v}_1) = 0,008.$$

Это значение логарифма соответствует 1,02. Но отношение коэффициента активности ионов калия и цезия в растворе может превысить 1,02. Следовательно, в уравнении Гриссбаха, учитывающий работу набухания, не определяет избирательности обменного поглощения ионов.

Экспериментальные исследования показывают, что различие в набухаемости ионитов особенно сильно влияет на избирательность обмена ионов одной валентности. Избирательное поглощение ионов большей валент-

ности резко возрастает с уменьшением набухаемости ионита. Мы предположили, что основная причина такого резкого изменения избирательности связана с различием концентраций ионов в твердой фазе для различно набухающих ионитов. В нашей работе закономерность этого явления исследована теоретически и экспериментально радиохимическим методом.

Уравнение изотермы обмена ионов Б. П. Никольского не предусматривает набухаемости ионита и тем самым возможности изменения его объема. В этом уравнении

$$\frac{(g_1)^{1/z_1}}{(g_2)^{1/z_2}} = K \frac{(a_1)^{1/z_1}}{(a_2)^{1/z_2}}, \quad (3)$$

g_1 и g_2 — поглощенные количества ионов, отнесенные к единице веса ионита; a_1 и a_2 — активности ионов в растворе, z_1 и z_2 — валентности ионов. $K^{z_1 z_2} = e^{\Delta \Phi_0 / RT}$, где $\Delta \Phi_0$ — стандартное сродство реакции обмена ионов.

Уравнение (3) получено Б. П. Никольским после замены активностей поглощенных ионов их эквивалентными количествами. Для того чтобы учесть влияние набухаемости ионита следует от эквивалентных количеств поглощенных ионов перейти к их объемным концентрациям. Тогда активность поглощенных ионов:

$$a'_i = \frac{g_i}{V} f_i, \quad (4)$$

где V — удельный объем ионита (смолы) в набухом состоянии, f_i — коэффициент активности ионов в фазе ионита. Активность ионов в растворе

$$a_i = c_i \gamma_i, \quad (5)$$

c_i — концентрация ионов в растворе, γ_i — коэффициент активности ионов в растворе.

Подставляя значения активностей в уравнение изотермы обмена ионов получаем

$$\frac{g_1^{1/z_1} V^{1/z_2} f_1^{1/z_1}}{g_2^{1/z_2} \cdot V^{1/z_1} f_2^{1/z_2}} = K \frac{c_1^{1/z_1} \gamma_1^{1/z_1}}{c_2^{1/z_2} \gamma_2^{1/z_2}}. \quad (6)$$

Избирательность обменного поглощения ионов данного вида можно характеризовать коэффициентом распределения этих ионов между раствором и смолой. Под коэффициентом распределения мы понимаем отношение удельной емкости смолы по данному роду обменивающихся ионов g_i к концентрации этих ионов в растворе c_i .

Из уравнения (6) следует

$$\alpha_1 = \frac{g_1}{c_1} = K^{z_1} \frac{g_2^{z_1/z_2} \gamma_1^{z_1/z_2}}{c_2^{z_1/z_2} f_1^{z_1/z_2} \gamma_2^{z_1/z_2} V^{(z_1-z_2)/z_2}}. \quad (7)$$

Уравнение показывает, что коэффициент распределения данного рода ионов зависит от удельной емкости и концентрации в растворе другого рода обменивающихся ионов, от удельного объема набухшей смолы, коэффициентов активности обменивающихся ионов в фазе раствора смолы. При обмене ионов равной валентности коэффициент распределения не зависит от набухания смолы.

При исследовании обмена ионов радиохимическим методом обменивающийся радиоэлемент является микрокомпонентом. Исследование распределения микрокомпонента упрощается тем, что в этом случае удельная емкость смолы по макрокомпоненту g_2 равна полной удельной емкости смолы. Сравнительные опыты по распределению радиоэлементов в различно набухающих образцах смолы можно провести, сохраняя постоянной концентрацию макрокомпонента C_2 в растворе. Благодаря постоянству общей концентрации (ионной силы) раствора, в этих сравнительных опытах коэффициенты активности как макро-, так и микрокомпонента будут сохраняться постоянными.

Избирательность поглощения радиоэлемента на различных образцах смолы можно сравнить по отношению значений коэффициентов распределения α . Таким образом мы получаем относительный коэффициент распределения β . Величина коэффициента β для микрокомпонента выразится следующим уравнением:

$$\beta_1 = \frac{\alpha_1^I}{\alpha_1^{II}} = \left(\frac{g^I}{g^{II}} \right)^{z_1/z_2} \left(\frac{V^{II}}{V^I} \right)^{z_1 - z_2/z_2} \left(\frac{f_2^I}{f_2^{II}} \right)^{z_1/z_2} \left(\frac{f_1^{II}}{f_1^I} \right). \quad (8)$$

В этом уравнении индексы I и II относятся к соответствующим образцам смолы.

Из уравнения (8) следует, что относительная избирательность обмена возрастает пропорционально отношению удельных емкостей сравниваемых образцов смолы в степени отношения валентностей обменивающихся ионов. Из уравнения также видно, что избирательность поглощения зависит от емкости смолы сильнее, чем от ее набухаемости, так как z_1/z_2 всегда больше, чем $(z_1 - z_2)/z_2$.

Входящие в уравнение (8) величины емкостей смолы и их удельные объемы легко определяются экспериментально. Не поддаются определению величины коэффициентов активности поглощенных ионов. Коэффициенты активности входят в уравнение (8) в виде функции:

$$\Phi(f) = \left(\frac{f_2^I}{f_2^{II}} \right)^{z_1/z_2} \frac{f_1^{II}}{f_1^I}. \quad (9)$$

Следует ожидать, что $\Phi(f)$ для разных образцов смолы будет изменяться меньше, чем отдельные значения f .

В работах Б. П. Никольского [2] и других авторов, на основе убедительных соображений принимается, что коэффициенты активностей ионов твердой фазе не зависят от того, в каком составе они находятся на ионите. Справедливость этого предположения для ненабухающих ионитов была доказана экспериментально в работах Б. П. Никольского. Такое постоянство коэффициентов активности ионов в фазе ионита позволяет полностью упростить уравнение изотермы обмена ионов. Если это предположение справедливо и для набухающих ионитов, то $\Phi(f)$ в нашем случае должна иметь значение, равное единице. Значение $\Phi(f)$ для набухающих ионитов можно определить по экспериментальным данным из уравнения (8).

В выполненных экспериментальных исследованиях мы использовали неизбежно предоставленные нам А. Б. Пашковым образцы смолы КУ-2 различной набухаемостью и практически одинаковой общей удельной емкости. В другой серии опытов нами была применена смола МСФ с различными значениями удельной емкости и близкими значениями коэффициентов набухания. Такие образцы смолы мы получили методом термической обработки исходного образца МСФ, примененном в работе Поповского.

Экспериментальная часть

Характеристика исследуемых образцов смолы. В табл. 1 приведены исходные характеристики выбранных для исследования образцов смолы. Все данные отнесены к 1 г сухой смолы в однородной форме.

Общая удельная емкость определена методом потенциометрического титрования. Набухаемость определялась пикнометрическим методом, описанным в работе Грегора [4]. Жидкостью для заполнения пикнометра, также как и у Грегора, служил октан. В таблице приведены удельные объемы смолы в воде. Для расчета коэффициентов набухания были также определены удельные объемы сухой смолы.

Таблица 1

Характеристика исследуемых образцов смолы

Тип смолы	Содержание дивинилбензола, %	Общая удельная емкость, мг-экв/г	Удельн. объем в воде, мл/г	Коэф. набухания в воде
КУ-2.	2	4,87	3,33	4,28
»	4	4,85	2,78	3,56
»	12	4,78	1,84	2,36
»	16	4,92	1,52	2,07
»	24	4,83	1,49	1,98
МСФ	—	2,42	1,38	1,75
»	—	0,80	1,06	1,52

Коэффициенты распределения радиоэлементов. Исследовалось распределение Ce^{144} , Ra^{226} , Cs^{134} между растворами KCl и ионообменной смолой в калиевой форме. При помощи этих радиоэлементов были проверены закономерности обмена ионов разной валентности. Равновесное распределение радиоэлементов определялось в статических условиях. Постоянство соотношения между объемом раствора навеской сохранялось в пределах каждой серии опытов. Изменение соотношений оказывалось необходимым для повышения точности при определении коэффициентов распределения. По этим же соображениям концентрация растворов KCl в различных сериях опытов менялась в пределах от 0,1 до 0,5 N . В таблицах результатов опытов приводятся значе-

Таблица 2

Распределение радиоэлементов на образцах смолы КУ-2

Общая уд. емкость, мг-экв/г	Уд. объем смолы в 0,5 N KCl , мл/г	Уд. объем смолы в 0,2 N KCl , мл/г	Распред. церия		Распред. радия		Распред. цезия
			α	αV^*	α	αV	α
4,87	2,40	2,65	655	3760	246	590	35,8
4,85	1,99	2,20	935	3680	290	577	36,3
4,78	1,49	1,60	1540	3420	401	595	37,6
4,92	1,44	1,48	1900	3900	420	602	37,8
4,83	1,43	1,46	1870	3850	408	585	38,2

ния коэффициентов распределения, выражающие отношение количества радиоэлемента, поглощенного 1 г сухой смолы (Н-форма) к количеству, остающемуся в 1 мл раствора

а) Распределение исследуемых элементов на образцах смолы КУ-2. Общая удельная емкость была практически одинаковой у всех исследуемых образцов смолы (отклонения от среднего значения не более, чем 1,5%). Благодаря этому уравнение (8) для обмена радиоэлементов с ионами калия принимает следующий вид:

$$\frac{\alpha^I}{\alpha^{II}} = \left(\frac{V^{II}}{V^I} \right)^{z-1} \varphi(t). \quad (10)$$

В случае, если $\varphi(f) = 1$, $\alpha V^{z-1} = \text{const}$ для всех образцов смолы.

В опытах с церием и радием навеска смолы составляла 0,1 г, а объем 0,5 N раствора KCl был равен 50 мл. В опытах с цезием навеска смолы была равна 1 г и объем 0,2 N раствора KCl — 25 мл. Полученные в опытах результаты приведены в табл. 2.

б) Распределение исследуемых радиоэлементов на образцах смолы МСФ. Удельные емкости образцов смолы МСФ отличались в три раза

получить образцы с одинаковой набухаемостью не удалось. В этом случае отношение коэффициентов распределения выражается уравнением (8). В том случае, если $\Phi(f) = 1 \alpha V^{z-1}/g^z = \text{const}$.

В опытах со смолой МСФ применялся 0,1 N раствор KCl, объем которого составлял 25 мл. Навески смолы для образца 1 составляли 0,1 и 0,2 г, для образца 2 — 0,5 г. Полученные результаты приведены в табл. 3.

Таблица 3

Распределение радиоэлементов на образцах смолы МСФ

Общая уд. емк., мг-экв/г	Уд. объем смолы в 0,1 N KCl, мл/г	Распред. цезия		Распред. радия		Распред. цезия	
		α	$\frac{\alpha V^2}{g^2}$	α	$\frac{\alpha V}{g^2}$	α	$\frac{\alpha}{g}$
2,42	1,30	4800	580	750	167	18	7,4
0,80	1,05	320	690	85	141	6,2	7,8

Результаты экспериментального исследования, приведенные в табл. 2, указывают на сильное влияние набухаемости смолы на распределение ионов разной валентности между смолой и раствором. Это влияние тем сильнее, чем больше отличаются валентности обменивающихся ионов. Теоретическая закономерность, выражаемая уравнением (8), нашла подтверждение в экспериментальных результатах, причем функция, выражающая отношение коэффициентов активности ионов в фазе смолы, оказывается равной или, во всяком случае, очень близкой к единице. На этом основании соображения о постоянстве коэффициентов активности в фазе смолы можно, с известным приближением, считать справедливыми для набухающих ионитов. При обмене ионов равной валентности ($\text{Cs}^+ -$) наблюдается относительно меньшее, но закономерное возрастание коэффициента распределения цезия с уменьшением набухаемости смолы (табл. 3). Причиной, вызывающей это возрастание, является или различие в работах набухания (по Грегору), или изменение термодинамического потенциала, связанное с переносом растворителя (по Самсонову).

Практическим следствием данной работы является установление критерия для выбора образца смолы при необходимости избирательно поглощать ионы больших валентностей из растворов, содержащих ионы меньших валентностей. Наиболее пригодными для этой цели являются образцы смолы, обладающие максимальной удельной емкостью и минимальной набухаемостью. При этом следует помнить, что скорость обмена заметно снижается с увеличением прочности сшивки полимерного скелета смолы. Кроме того, у очень прочно сшитых полимеров смолы иногда наблюдается явление блокирования крупных ионов. У образцов смолы КУ-2 набухаемость понижается мало, когда содержание дивинилбензола уже начинает превышать 12%. Применение смол с высоким содержанием дивинилбензола (24%) в таких процессах следует избегать из-за нежелательного уменьшения скорости обмена.

Интересная возможность исследования состояния радиоэлементов в растворе возникает на основе этих закономерностей. При наличии образцов смолы с одинаковой удельной емкостью и резко отличной набухаемостью можно определять среднюю величину заряда ионов радиоэлементов в растворе путем определения коэффициентов распределения радиоэлемента на двух образцах смолы с резко отличающейся набухаемостью. Из уравнения $\alpha V^{Z_1-Z_2} = \text{const}$ (α -коэффициент распределения радиоэлемента, V — удельный объем смолы, Z_2 — валентность ионов макрокомпонента в растворе) можно определить значение Z_1 — валентность радиоэлемента.

В заключение авторы сердечно благодарят Б. П. Никольского за интерес к работе и обсуждение результатов.

Выводы

1. Радиохимическим методом исследованы закономерности обмена ионов различной валентности на набухающих ионитах.

2. Установлена зависимость между коэффициентом распределения ионов радиоэлемента, удельной емкостью ионита и его удельным объемом. Эта зависимость выражается уравнением:

$$\alpha V^{(z_1 - z_2)/z_2} / g^{z_1/z_2} = \text{const}$$

(z_1 и z_2 — валентности обменивающихся ионов).

3. На основе указанной зависимости при помощи двух образцов смолы обладающих одинаковой удельной емкостью и резко отличной набухаемостью, представляется возможным производить определение величин заряда ионов радиоэлемента в растворе.

Академия наук СССР
Радиовый институт им. В. Г. Хлодино

Поступила
7.XII.1958

ЛИТЕРАТУРА

1. К. К. Гедройц, Учение о поглощительной способности почв, Сельхозгиз, 1933.
2. Б. П. Никольский, Теоретическое и экспериментальное исследование обмена ионов в гетерогенной среде. Докторская диссертация, ЛГУ, 1939; Б. П. Никольский и В. И. Парамонов, Успехи химии, 8, 1535, 1939.
3. Е. Н. Гапон, Ж. общ. химии, 1933.
4. Н. Г. Грегор, J. Amer. Chem. Soc., 70, 1293, 1948; J. Colloid. Sci., 6, 24, 1951.
5. Г. В. Самсонов, Коллоидн. ж., 18, 592, 1956.
6. Griessbach, Angew. Chem., 67, 606, 1955.

RADIOCHEMICAL INVESTIGATION OF ION EXCHANGE ON SWELLED EXCHANGERS

A. M. Trofimov and L. N. Stepanova (Leningrad)

Summary

The correlations of the exchange of ions of various valences on swelled ion exchangers have been investigated by a radiochemical method. A relation has been established between the distribution coefficient of the ions of the radioelement, the specific capacity of the exchanger and the specific volume of the latter. This is expressed by the following equation:

$$\alpha V \frac{z_1 - z_2}{g^{z_1/z_2}} = \text{const}$$

(z_1 and z_2 are the valences of the exchanging ions). On the basis of this equation, with the aid of two resin specimens of the same specific capacity and greatly different swelling powers one can determine the magnitude of the charge of the radioelement in solution.

НЕКОТОРЫЕ МОЛЕКУЛЯРНЫЕ ИНТЕГРАЛЫ С УЧАСТИЕМ 3d-, 4s- и 4p-ОРБИТ

Е. М. Шусторович и М. Е. Дяткина

В предыдущей работе [1] мы получили в общей форме выражения для вычисления кулоновских интегралов

$$[\chi_a \chi'_a | \chi''_b \chi'''_b] = \int \frac{\chi_a^{(1)} \chi'_a{}^{(1)} \chi''_b{}^{(2)} \chi'''_b{}^{(2)}}{r_{12}} d\tau_1 d\tau_2$$

интегралов притяжения электрона к ядру

$$[a | \chi_b \chi'_b] = \int \frac{\chi_b^{(1)} \chi'_b{}^{(1)}}{r_a} d\tau_1$$

для произвольных комбинаций слейтеровских атомных орбит $\chi\chi' = (ns)(n'd)$, $(np)(n'd)$ и $(nd)(n'd)$, представив распределение зарядов χ' в виде линейной комбинации базисных зарядовых распределений $[NLM]$ аналогично тому, как это было сделано Рутааном [2] для

$$\chi\chi' = (ns)(n's), (ns)(n'p) \text{ и } (np)(n'p).$$

В настоящей работе мы приводим формулы для расчета интегралов участием 3d-, 4s- и 4p-слейтеровских атомных орбит, полученные нами в ходе работы по вычислению молекулярных орбит ароматических комплексов металлов первого переходного периода. Поскольку для 4s- и 4p-атомных орбит эффективное главное квантовое число не целочисленно ($n_{\text{эфф}}=3,7$), то все интегралы с участием этих орбит вычислялись как среднее арифметическое между соответствующими величинами с участием 3s-, 3p- и 5s-, 5p-слейтеровских атомных функций ($n_{\text{эфф}} = 3$ и 4, соответственно).

Используя соответствующие формулы табл. 1 из предыдущей работы [1], имеем

$$\left. \begin{aligned} d\sigma \ 3d\sigma &= [5S] + 4 [5D \Sigma] + 90 [5G \Sigma], \\ d\pi \ 3d\pi &= [5S] + 2 [5D \Sigma] - 60 [5G \Sigma] + 2 \sqrt{3} [5D \Delta] + 30 \sqrt{5} [5G \Delta], \\ d\bar{\pi} \ 3d\bar{\pi} &= [5S] + 2 [5D \Sigma] - 60 [5G \Sigma] - 2 \sqrt{3} [5D \Delta] - 30 \sqrt{5} [5G \Delta], \\ d\delta \ 3d\delta &= [5S] - 4 [5D \Sigma] + 15 [5G \Sigma] + 15 \sqrt{35} [5G \Gamma], \\ d\bar{\delta} \ 3d\bar{\delta} &= [5S] - 4 [5D \Sigma] + 15 [5G \Sigma] - 15 \sqrt{35} [5G \Gamma]. \end{aligned} \right\} (1)$$

Вычисление одноцентровых кулоновских интегралов вида $[\Omega_a | \Omega_a]$, где $\Omega = [NLM]$ дает

$$\left. \begin{aligned} [5S_a | 5S_a] &= (793/3072) \zeta = 0,25814 \zeta, \\ [7S_a | 7S_a] &= (26333/131072) \zeta = 0,20090 \zeta, \\ [5D \Sigma_a | 5D \Sigma_a] &= (299/430080) \zeta = 0,69522 \cdot 10^{-3} \zeta, \\ [7D \Sigma_a | 7D \Sigma_a] &= (103275/2^7 \cdot 10!) \zeta = 0,22234 \cdot 10^{-3} \zeta, \\ [5G \Sigma_a | 5G \Sigma_a] &= (11/2 \cdot 10!) \zeta = 0,15156 \cdot 10^{-5} \zeta. \end{aligned} \right\} (2)$$

Используя уравнения (1) и численные значения (2), можно получить любые кулоновские одноцентровые интегралы вида $[\chi\chi|\chi'\chi']$, поскольку $[NLM_a|NL'M_a] = 0$ ($L \neq L'$), а $[NL\Sigma_a|NL\Sigma_a] = [NLM_a|NLM_a]$ для любых M . Так, например, $[3d\sigma\ 3d\sigma|3d\sigma\ 3d\sigma]_a = [5S|5S]_a + 16[5D\Sigma|5D\Sigma]_a + 8400[5G\Sigma|5G\Sigma]_a = 0,28154\ \zeta$.

Таким образом было найдено *:

$$\begin{aligned} [\sigma\sigma|\sigma\sigma] &= [\pi\pi|\pi\pi] = [\bar{\pi}\bar{\pi}|\bar{\pi}\bar{\pi}] = [\delta\delta|\delta\delta] = [\bar{\delta}\bar{\delta}|\bar{\delta}\bar{\delta}] = 0,28154\ \zeta; \\ [\sigma\sigma|\pi\pi] &= [\sigma\sigma|\bar{\pi}\bar{\pi}] = 0,25552\ \zeta; \\ [\sigma\sigma|\delta\delta] &= [\sigma\sigma|\bar{\delta}\bar{\delta}] = 0,24907\ \zeta; \\ [\pi\pi|\bar{\pi}\bar{\pi}] &= [\pi\pi|\delta\delta] = [\pi\pi|\bar{\delta}\bar{\delta}] = [\bar{\pi}\bar{\pi}|\delta\delta] = [\bar{\pi}\bar{\pi}|\bar{\delta}\bar{\delta}] = 0,25122\ \zeta; \\ [\delta\delta|\bar{\delta}\bar{\delta}] &= 0,25767\ \zeta. \end{aligned}$$

Аналогично, используя общие соотношения для s - и p -электронов найденные Рутааном [2] и численные значения (2) получаем **

$$\begin{array}{ccc} 3s, 3p & 5s, 5p & 4s, 4p \\ \left. \begin{array}{l} [ss|ss] \\ [ss|\sigma\sigma] \\ [ss|\pi\pi] \\ [ss|\bar{\pi}\bar{\pi}] \end{array} \right\} & = 0,25814\ \zeta & 0,20090\ \zeta \quad 0,22952\ \zeta \\ \left. \begin{array}{l} [\sigma\sigma|\sigma\sigma] \\ [\pi\pi|\pi\pi] \\ [\bar{\pi}\bar{\pi}|\bar{\pi}\bar{\pi}] \\ [\sigma\sigma|\pi\pi] \end{array} \right\} & = 0,27994\ \zeta & 0,21891\ \zeta \quad 0,24942\ \zeta \\ \left. \begin{array}{l} [\sigma\sigma|\bar{\pi}\bar{\pi}] \\ [\pi\pi|\bar{\pi}\bar{\pi}] \end{array} \right\} & = 0,24724\ \zeta & 0,19190\ \zeta \quad 0,21957\ \zeta \end{array}$$

Точно так же, используя соответствующие разложения из работы Рутаана для s - и p -электронов и из нашей предыдущей работы для s -, p - и d -электронов, можно получить остальные одноцентровые кулоновские интегралы.

Из уравнений (1) находим значения интегралов притяжения электрона к ядру

$$[a|3d\sigma_b\ 3d\sigma_b] = [a|5S_b] + 4[a|5D\Sigma_b] + 90[a|5G\Sigma_b],$$

$$[a|3d\pi_b\ 3d\pi_b] = [a|3d\bar{\pi}_b\ 3d\bar{\pi}_b] = [a|5S_b] + 2[a|5D\Sigma_b] - 60[a|5G\Sigma_b],$$

$$[a|3d\delta_b\ 3d\delta_b] = [a|3d\bar{\delta}_b\ 3d\bar{\delta}_b] = [a|5S_b] - 4[a|5D\Sigma_b] + 15[a|5G\Sigma_b].$$

Интегралы вида $[a|\Omega_b]$ легко найти по соответствующим общим формулам [см. уравнения (1,16) и (2,17)] в работе Руденберга, Рутаана и Яунземиса [3], которые могут быть представлены следующим образом:

$$[a|5S_b] = (\zeta/\rho) [1 - (1 + 5\rho/3 + 4\rho^2/3 + 2\rho^3/3 + 2\rho^4/9 + 2\rho^5/45) e^{-2\rho}],$$

$$[a|7S_b] = (\zeta/\rho) [1 - (1 + 7\rho/4 + 3\rho^2/2 + 5\rho^3/6 + \rho^4/3 + \rho^5/10 + \rho^6/45 + \rho^7/315) e^{-2\rho}],$$

$$[a|5D\Sigma_b] = (\zeta/\rho^3) [1 - (1 + 2\rho + 2\rho^2 + 4\rho^3/3 + 2\rho^4/3 + 11\rho^5/42 + 5\rho^6/63 + \rho^7/63) e^{-2\rho}],$$

$$[a|7D\Sigma_b] = (\zeta/\rho^3) [1 - (1 + 2\rho + 2\rho^2 + 4\rho^3/3 + 2\rho^4/3 + 251\rho^5/945 + 82\rho^6/945 + 22\rho^7/945 + 2\rho^8/405 + 2\rho^9/2835) e^{-2\rho}],$$

$$[a|5G\Sigma_b] = (\zeta/\rho^5) [1 - (1 + 2\rho + 2\rho^2 + 4\rho^3/3 + 2\rho^4/3 + 4\rho^5/15 + 4\rho^6/45 + 8\rho^7/315 + 2\rho^8/315 + 2\rho^9/1575) e^{-2\rho}].$$

* Атомные орбиты $3d\sigma$, $3d\pi$, $3d\bar{\pi}$, $3d\delta$, $3d\bar{\delta}$ обозначены просто σ , π , $\bar{\pi}$, δ , $\bar{\delta}$.

** Атомные орбиты ns , $np\sigma$, $np\pi$ и $np\bar{\pi}$ обозначены просто s , σ , π и $\bar{\pi}$.

Двухцентровые кулоновские интегралы имеют вид

$$[\Omega_a | \Omega_b] = \int \frac{\Omega_a(1) \Omega_b(2)}{r_{12}} d\tau_1 d\tau_2.$$

Если ввести потенциал от зарядового распределения $\Omega_a(1)$, т. е.

$$U_{\Omega_a(2)} = \int \frac{\Omega_a(1)}{r_{12}} d\tau_1, \text{ то } [\Omega_a | \Omega_b] = \int \Omega_b(2) U_{\Omega_a(2)} d\tau_2.$$

Пенебрегая в общей формуле потенциала

$$U_{NS_a} = \frac{1}{r_a} \left[1 - \exp(-2\bar{\rho}_a) \sum_{k=0}^{N_a+L_a} U_k(2\bar{\rho}_a)^k \right] \quad (\text{см. [3]})$$

экспоненциальными членами, получаем

$$U_{NS_a} \approx \frac{1}{r_a},$$

причем это приближение тем точнее, чем больше параметр $\bar{r}_a = \frac{1}{2} (\zeta_a + \zeta'_a) r_a$, чем меньше N_a . Но, тогда

$$[NS_a | \Omega_b] \equiv \int \Omega_b U_{NS_a} d\tau \approx \int \frac{\Omega_b}{r_a} d\tau \equiv [a | \Omega_b]. \quad (3)$$

Из (3), в частности, следует, что при $N < N'$, $[NS_a | N'S_b] \approx [a | N'S_b]$, не $[b | NS_a]$. Таким образом кулоновские двухцентровые интегралы с зарядовым распределением $[NS]_a$ сводятся приближенно к интегралам $[a | \Omega_b]$.

В интегралах $[\chi_a \chi'_a | \chi''_b \chi'''_b]$ основной вклад дают члены типа $[NS_a | L\Sigma_b]$ ($L \geq 0$). Вклад остальных членов типа $[NLM_a | NL'M_b] \times [L \neq 0, L' \neq 0]$ зависит от коэффициентов, с которыми эти члены входят в разложение, и поэтому этот вклад будет наибольшим в интегралах с участием только d -электронов и уменьшается по мере увеличения участия p и, особенно, s -электронов. В последних случаях этими членами можно пренебречь. Тогда вычисление кулоновских интегралов $[\chi_a \chi'_a | \chi''_b \chi'''_b]$ сводится к вычислению только интегралов вида $[NS_a | NL\Sigma_b]$, которые можно вычислить точно при помощи вспомогательных $C_{\alpha\beta}^{\gamma\delta\epsilon}$ -функций ($\gamma \geq 0$) (стр. 213 и сл. в работе Руденберга, Рутаана и Яунземиса [3]), т. е., используя (3), можно вычислить приближенно без вспомогательных функций. В качестве примера приведем некоторые из встретившихся в наших расчетах интегралов с значениями параметров $\bar{r}_a = 6,14$ и $\bar{r}_b = 3,84$. Числовое значение $[3S_a | 5S_b]$, полученное с использованием вспомогательных C -функций [3], равно 0,2415, в то время как приближенное значение $[3S_a | 5S_b] \approx [a | 5S_b] = 0,2425$. Аналогично $[3S_a | 7S_b] = 0,2074$, а $[a | 7S_b] = 0,2189$.

Для вычисления интеграла $[2p\sigma_a 2p\sigma_a | 3S_b 3S_b] = [3S_a | 5S_b] + 3 [3D\Sigma_a | 5S_b] + 3 [b | 3D\Sigma_a]$, что более точно, чем приближение $[b | 3S_a] + 3 [b | 3D\Sigma_a] \equiv [b | 2p\sigma_a 2p\sigma_a]$, которое получается при использовании приближенных формул типа $[\chi_a \chi'_a | \chi''_b \chi'''_b] \approx [b | \chi_a \chi'_a]$ или $[a | \chi''_b \chi'''_b]$. Аналогично, для приближенного расчета $[2p\sigma_a 2p\sigma_a | 3d\sigma_b 3d\sigma_b] = [3S_a | 5S_b] + 4 [3S_a | 5D\Sigma_b] + 90 [3S_a | 5G\Sigma_b] + 3 \times [3D\Sigma_a | 5S_b] + 12 [3D\Sigma_a | 5D\Sigma_b] + 270 [3D\Sigma_a | 5G\Sigma_b]$, мы, как сказано выше, пренебрегаем последними двумя членами, а остальные четыре приближенно полагаем равными $[a | 5S_b] + 4 [a | 5D\Sigma_b] + 90 [a | 5G\Sigma_b] + 3 [b | 3D\Sigma_a]$, т. е. $[2p\sigma_a 2p\sigma_a | 3d\sigma_b 3d\sigma_b] \approx [a | 3d\sigma_b 3d\sigma_b] + 3 [b | 3D\Sigma_a]$. Здесь следует иметь в виду, что хотя всегда $[NS_a | \Omega_b] < [a | \Omega_b]$, тем не менее учет членов типа $[\Omega_a | NS_b] \approx [b | \Omega_a]$ сверх обычного члена $[a | \chi_b \chi'_b]$

представляется желательным, даже в случаях, аналогичных последнему примеру, поскольку члены $12 [3D \Sigma_a | 5D \Sigma_b] + 270 [3D \Sigma_a | 5G \Sigma_b]$ были опущены. Тем более это следует делать в тех случаях, где члены вида $[\Omega_a | NS_b]$ входят со знаком минус, например,

$$\begin{aligned} & [2p\pi_a 2p\pi_a | 3d\sigma_b 3d\sigma_b] = \\ & = [3S_a | 3d\sigma_b 3d\sigma_b] - 1,5 [3D \Sigma_a | \{[3S_b] + 4 [5D \Sigma_b] + 90 [5G \Sigma_b]\}] \approx \\ & \approx [3S_a | 3d\sigma_b 3d\sigma_b] - 1,5 [3D \Sigma_a | 5S_b] \approx [a | 3d\sigma_b 3d\sigma_b] - 1,5 [b | 3D \Sigma_a]. \end{aligned}$$

Если здесь пренебречь членом $[b | 3D \Sigma_a]$, мы получим очень плохое приближение $[2p\pi_a 2p\pi_a | 3d\sigma_b 3d\sigma_b] \approx [a | 3d\sigma_b 3d\sigma_b]$, отличающееся от истинного значения на величину, большую, чем $1,5 [3D \Sigma_a | 5S_b] + 6 [3D \Sigma_a | 5D \Sigma_b] + 135 [3D \Sigma_a | 5G \Sigma_b]$.

Выводы

Получены формулы для расчета некоторых молекулярных интегралов с участием $3d$ -, $4s$ - и $4p$ -слейтеровских атомных орбит. Интегралы притяжения к ядрам, а также одноцентровые кулоновские интегралы вычислены точно, а для двухцентровых кулоновских интегралов предложены упрощенные приближенные формулы.

Институт тонкой химической технологии¹
им. М. В. Ломоносова
Академия наук СССР
Институт общей и неорганической химии
им. Н. С. Курнакова

Поступила
7.XII.1958

ЛИТЕРАТУРА

1. Е. М. Шусторович, М. Е. Дяткина, Ж. физ. химии, **34**, 644, 1960.
2. C. C. J. Roothaan, J. Chem. Phys., **19**, 1445, 1951.
3. K. Ruedenberg, C. C. J. Roothaan, W. Jaunzenis, J. Chem. Phys., **24**, 201, 1956.

SOME MOLECULAR INTEGRALS WITH THE PARTICIPATION OF $3d$ -, $4s$ - AND $4p$ - ORBITALS

E. M. Shustorovich and M. E. Dyatkina (Moscow)

Summary

Formulas have been derived for calculating some molecular integrals with participation of Slater's $3d$ -, $4s$ - and $4p$ atomic orbitals. Exact calculation was made of the nuclear attraction integrals and the one center Coulomb integrals, whereas simplified approximate formulas have been proposed for the two center Coulomb integrals.

РАДИАЛЬНАЯ ФУНКЦИЯ РАСПРЕДЕЛЕНИЯ АТОМОВ
В ЖИДКОСТИ

А. М. Евсеев

Согласно представлениям ячеечной теории жидкости [1] потенциальная энергия атома в ячейке может быть выражена уравнением:

$$u(R) = \frac{N}{V} \int_{-\infty}^{+\infty} \Phi(|\mathbf{R} - \mathbf{r}|) w(|\mathbf{R} - \mathbf{r}|) f(\mathbf{r}) d\mathbf{r}, \quad (1)$$

где $\Phi(|\mathbf{R} - \mathbf{r}|)$ — межмолекулярный потенциал взаимодействия, $w(|\mathbf{R} - \mathbf{r}|)$ — функция корреляции, в общем случае равная

$$w(|\mathbf{R} - \mathbf{r}|) = \exp\{-\Phi(|\mathbf{R} - \mathbf{r}|)/kT\}; \quad (2)$$

$f(\mathbf{r})$ — функция распределения атомов около положения равновесия первого атома, потенциальную энергию которого мы определяем формулой (1).

До сих пор в ячеечной теории жидкости не ставилась задача нахождения структуры жидкости, т. е. функции $f(\mathbf{r})$. Решение уравнения (1) при заданных $u(R)$ и $\Phi(t)$ позволяет в принципе решить эту задачу.

Запишем уравнение (1) в форме:

$$u(R) = \frac{N}{V} \int_{-\infty}^{+\infty} k(|\mathbf{R} - \mathbf{r}|) f(\mathbf{r}) d\mathbf{r}. \quad (3)$$

Основной постулат метода ячеек гласит, что атомы в жидкости колеблются около положений равновесия, которые в свою очередь могут быть распределены по какому-либо закону. В предельном случае газа этот постулат выпадает, и мы можем формально записать уравнение (3) в виде:

$$u(R) = \frac{N}{V} \int_{-\infty}^{+\infty} k(|\mathbf{R} - \mathbf{r}|) a \cdot e^{-u(|\mathbf{r}|)/kT} d\mathbf{r}. \quad (4)$$

Как показал А. А. Власов [2], это уравнение имеет тривиальное решение

$$u(R) = u(r) = \text{const}$$

или, вообще говоря, $u(R) = u(r) = 0$, а $f(r) = 1$.

Вычитая из уравнения (3) уравнение (4), находим

$$u(R) = \frac{N}{V} \int_{-\infty}^{+\infty} k(|\mathbf{R} - \mathbf{r}|) [f(\mathbf{r}) - 1] d\mathbf{r}. \quad (5)$$

Это интегральное уравнение решается методом преобразования Фурье [3]:

$$\frac{1}{(2\pi)^{3/2}} \int_{-\infty}^{+\infty} u(R) e^{i\mathbf{k}\mathbf{R}} d\mathbf{R} = \frac{1}{(2\pi)^{3/2}} \int_{-\infty}^{+\infty} k(t) e^{i\mathbf{k}\mathbf{t}} d\mathbf{t} \int_{-\infty}^{+\infty} g(r) e^{i\mathbf{k}\mathbf{r}} d\mathbf{r}, \quad (6)$$

где $g(r) = f(r) - 1$.

Обозначив $U(k)$, $K(k)$ и $G(k)$ трансформанты Фурье, можем записать

$$G(k) = \frac{U(k)}{(2\pi)^{3/2} \cdot K(k)}. \quad (7)$$

Решением уравнения (5) является функция:

$$g(r) = \frac{1}{(2\pi)^{3/2}} \int_{-\infty}^{+\infty} \frac{U(k)}{(2\pi)^{3/2} K(k)} e^{-ikr} dk. \quad (8)$$

Представив $(U(k)/K(k))e^{-ikr}$ как функцию комплексного переменного:

$$g(r) = \frac{1}{(2\pi)^{3/2} i} \int_{-\infty}^{+\infty} \frac{U(z)}{(2\pi)^{3/2} K(z)} e^{-zr} dz, \quad (9)$$

найдем значение интеграла (9) при помощи теории вычетов [4]:

$$g(r) = \frac{2\pi i \cdot 2\pi}{(2\pi)^{3/2} i} \sum \text{Re} [\Phi(z)]. \quad (10)$$

Знак $\text{Re}[\Phi(z)]$ означает вычет функции $\Phi(z) = \frac{\Psi(z)}{\Psi'(z)} e^{+zr}$ в полюсе z_n . Полюсы функции $\Phi(z)$ определяются из уравнения:

$$\Psi(z) = z^4 K(z) = 0. \quad (11)$$

Следовательно,

$$g(r) = \frac{C}{r 2\pi} \sum_n \frac{\Psi(z_n)}{\Psi'(z_n)} e^{z_n r}. \quad (12)$$

Был произведен приближенный расчет функции $g(r)$ для ртути. Предположено, что функции $u(R)$ и $k(t)$ можно аппроксимировать следующими выражениями:

$$\begin{aligned} u(R) &= u(0) [1 - \alpha R^2], & 0 \leq R < c, \\ u(R) &= 0, & R \geq c \\ k(t) &= 0, & t < a \\ k(t) &= \frac{B}{t^6}, & t \geq a. \end{aligned} \quad (13)$$

Эти формулы весьма грубо отражают реальные силы взаимодействия в жидкости, но учитывают основной их характер, постулированный в методе ячеек.

Константы: $\alpha = 0,875$, $u(0) = -28,0$ ккал и $B = -1,4$ ккал, были определены из термодинамических данных о давлении пара ртути при 200° [5] и из спектроскопических данных об энергии диссоциации молекулы Hg_2 [6].

Трансформанты Фурье функций $u(R)$ и $k(t)$ при сделанных выше предположениях о виде этих функций равны

$$U(k) = \frac{4\pi u(0)}{(2\pi)^{3/2} k^5} \{(6\alpha - 2k^2) \sin k - 6k\alpha c \cos k\},$$

$$C = 1,07 \text{ \AA}, \quad (14)$$

$$K(z) = \frac{4\pi NB}{V (2\pi)^{3/2} z} \frac{1}{z} \int_0^\infty \frac{\text{sh} Zt}{t^5} dt, \quad a = 3 \text{ \AA}.$$

Корни уравнения (11) являются мнимыми числами: $Z_n = \pm i k_n$. Поэтому (12) можно записать так:

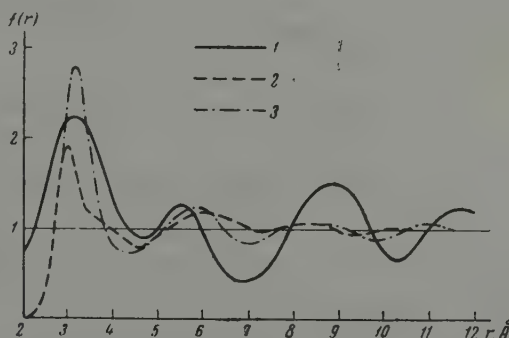
$$g(r) = \frac{1}{r} \sum_n A_n \cos k_n r. \quad (15)$$

В таблице даны значения нескольких первых корней k_n и коэффициентов A_n .

При $k_n \rightarrow \infty$, $A_n \rightarrow 0$; поэтому для расчета функции можно использовать ограниченное число корней уравнения (11).

На рисунке дана функция $f(r) = 1 + g(r)$, рассчитанная по формуле (15) для жидкой ртути. Эта функция по своим свойствам близка к опытной атомной функции распределения, т. е. она так же осциллирует около значения единицы, как и опытная функция, определенная из данных о дифракции рентгеновских лучей. Количественное соответствие, однако, неудовлетворительно. Первый основной максимум функции $f(r)$ близок по величине и положению первому максимуму экспериментальной функции.

При оценке результата следует учесть, что $u(R)$ и $k(t)$, принятые для расчета, грубо отражают реальные силы сцепления. По-видимому, более рационально рассчитывать функции $k(t)$ из экспериментальных данных о $u(R)$ и $f(r)$, что само по себе является важной и интересной задачей, хотя и более сложной в смысле практического расчета.



1 — рассчитанная кривая, 2 — экспериментальная кривая по данным [7]; 3 — экспериментальная кривая по данным [8]

Выводы

1. Показана принципиальная возможность расчета функции распределения атомов в жидкости в рамках метода ячеек.
2. Предпринята попытка приближенного расчета атомной функции распределения для жидкой ртути.

ЛИТЕРАТУРА

1. А. М. Евсеев, Ж. физ. химии, 2, 2414, 1957.
 2. А. А. Власов, Теория многих частиц, ГИТТЛ, М.—Л., 1950, стр. 77.
 3. Е. Титчмарш, Введение в теорию интегралов Фурье, ГИТТЛ, М.—Л., 1948, стр. 400.
 4. Г. М. Лунц и Л. Э. Эльсгольц, Функции комплексного переменного, ГИФМЛ, М., 1958, стр. 133.
 5. О. Кубашевский и Э. Эванс, Термохимия в металлургии, ИИЛ, М., 1954.
 6. А. Гейдон, Энергии диссоциации и спектры двухатомных молекул, ИИЛ, М., 1949.
 7. J. A. Campbell and J. H. Hildebrand, J. Chem. Phys., 11, 330, 1943.
 8. H. Menke, Phys Z., 33, 393, 1932.
-

RADIAL DISTRIBUTION FUNCTION OF ATOMS IN A LIQUID

A. M. Evseev (Moscow)

Summary

On the basis of the cellular method it was found possible to calculate the distribution function of atoms in a liquid, by solution of the integral equation for the potential energy of the atoms in the cell. The inversion formulas are closed, but the accuracy of the calculation of the distribution function depends upon the accuracy of approximation of the intermolecular potential and potential energy in the cell.

О ТЕМПЕРАТУРНОЙ ЗАВИСИМОСТИ ТЕПЛОТЫ ИСПАРЕНИЯ
НЕАССОЦИИРОВАННОЙ ЖИДКОСТИ

В. И. Рыков

Вопросу температурной зависимости теплоты испарения жидких веществ посвящено большое число работ [1—14], тем не менее этот вопрос остается еще не разрешенным.

В данной работе предлагается новое полуэмпирическое уравнение для расчета теплоты испарения неассоциированных жидкостей в сравнительно широком температурном интервале.

Известно, что процесс испарения в системе жидкость — насыщенный пар может происходить при постоянной температуре, постоянном давлении и постоянных плотностях отдельных фаз. Изменение объема и энергетическое изменение системы происходит за счет изменения массы отдельных фаз. На основании первого закона термодинамики для данной системы можно записать

$$dQ = \frac{\partial U}{\partial V} \frac{\partial V}{\partial n} dn + \frac{\partial U'}{\partial V'} \frac{\partial V'}{\partial n'} dn' + P \frac{\partial V}{\partial n} + P \frac{\partial V'}{\partial n'} dn'. \quad (1)$$

Здесь штрихом обозначены параметры, относящиеся к насыщенному пару.

Если процесс испарения происходит без химических превращений, то общее число g -молей системы остается постоянным:

$$n + n' = \text{const}. \quad (2)$$

Продифференцировав равенство (2), получим

$$dn = -dn'.$$

Обозначая через L g -молекулярную теплоту парообразования, будем иметь

$$dQ = Ldn'.$$

Подставив значение dQ в равенство (1), после сокращения на dn' получим

$$L = -\frac{\partial U}{\partial V} \frac{\partial V}{\partial n} + \frac{\partial U'}{\partial V'} \frac{\partial V'}{\partial n'} + P \left(\frac{\partial V'}{\partial n'} - \frac{\partial V}{\partial n} \right).$$

Здесь $V_0 \cdot \partial U / \partial V$ и $V'_0 \cdot \partial U' / \partial V'$ — соответственно, плотности внутренней энергии жидкости и пара, а $\partial V / \partial n = V_0$ и $\partial V' / \partial n' = V'_0$ — g -молекулярные объемы.

Обозначим $\partial U V_0 / \partial V$ и $\partial U V'_0 / \partial V'$, соответственно, через U_0 и U'_0 , тогда

$$L = -U_0 + U'_0 + P (V'_0 - V_0). \quad (3)$$

Здесь U_0 и U'_0 — соответственно, внутренние g -молекулярные энергии жидкости и пара.

Из определения молекулярного давления

$$K = (\partial U / \partial V)_T$$

для внутренней энергии жидкости и пара получаем, соответственно,

$$U_0 = \int_{\infty}^{V_0} K dV + \psi(T), \quad (4)$$

и

$$U'_0 = \int_{\infty}^{V'_0} K dV' + \psi(T). \quad (4)$$

Аддитивную постоянную $\psi(T)$ можно найти, предполагая, что V велико. В этом случае $K = 0$, внутренняя энергия вещества будет равна внутренней энергии идеального газа:

$$U'_0 = \psi(T) = U'_{ид} = \frac{3}{2} RT.$$

Здесь R — универсальная газовая постоянная.

Баккер [15] показал, что внутреннее давление жидкости и газа [можно] определить по формуле вида:

$$K'_d = \frac{a - bT}{V^2}.$$

где a и b — некоторые константы.

В этом случае после интегрирования равенств (4) и (5) при $T = \text{const}$ получим, соответственно,

$$U_0 = -KV_0 + \frac{3}{2} RT$$

и

$$U'_0 = -K'V'_0 + \frac{3}{2} RT.$$

Подставляя значения U_0 и U'_0 в равенство (3), получим

$$L = KV_0 - K'V'_0 + P(V'_0 - V) \quad (6)$$

или

$$L = \left[\frac{a}{V_0} - \left(\frac{b}{V_0} T - PV'_0 \right) \right] \frac{V'_0 - V_0}{V'_0}. \quad (7)$$

Обозначим выражение $\frac{b}{V_0} T - PV'_0$ через $f(T)$; тогда

$$L = \left[\frac{a}{V_0} - f(T) \right] \frac{V'_0 - V_0}{V'_0}. \quad (8)$$

Опытным путем было установлено, что для неассоциированных жидкостей функция $f(T)$ выполняет роль поправочного члена. Точно так же эмпирически было установлено, что эту функцию приближенно можно считать универсальной и равной RT . Таким образом, равенство (8) может быть представлено в виде:

$$L = \left(\frac{a}{V} - RT \right) \frac{V'_0 - V_0}{V'_0} \quad (9)$$

или

$$L = \left(B - \frac{RT}{\delta} \right) (\delta - \delta'). \quad (10)$$

Здесь B — некоторая эмпирическая константа; δ и δ' — соответственно, плотности жидкой и парообразной фаз. В таблице приведены теплоты испарения для шести веществ: бензола, четыреххлористого углерода, этана, n -гексана, аргона и азота.

Из таблицы видно, что для неассоциированных жидкостей, кипящих при высоких температурах, формула (10) хорошо согласуется с экспери-

вещество	Температура, °C	δ , г/см ³	δ' , г/см ³	L, кал/моль		Расхождение с экспериментальными данными, %
				по формуле (10)	табличные данные [16—19]	
Бензол В-9933	10	0,8895	0,0002	8271	8250	0,25
	20	0,8790	0,0004	8145	8135	0,12
	30	0,8685	0,0006	8019	8010	0,12
	40	0,8576	0,0008	7889	7885	0,038
	50	0,08466	0,0011	7757	7755	0,026
	60	0,8357	0,0015	7626	7625	0,013
	70	0,8248	0,0020	7493	7490	0,040
	80	0,8145	0,0027	7365	7365	0,000
	90	0,8041	0,0036	7250	7215	0,48
	100	0,7927	0,0047	7090	7075	0,19
	110	0,7809	0,0060	6942	6930	0,17
	120	0,7692	0,0077	6791	6780	0,16
	130	0,7568	0,0099	6629	6625	0,06
	140	0,7440	0,0118	6465	6465	0,000
	150	0,7310	0,0144	6294	6300	0,095
	160	0,7185	0,0173	6125	6130	—0,082
	170	0,7043	0,0209	5934	5950	—0,27
	180	0,6906	0,0249	5745	5760	—0,26
	190	0,6758	0,0298	5538	5560	—0,40
	200	0,6605	0,0355	5319	5350	—0,58
	210	0,6432	0,0421	5074	5120	—0,90
	220	0,6255	0,0502	4814	4860	—0,95
	230	0,6065	0,0598	4530	4570	—0,88
	240	0,5851	0,0714	4208	4250	—0,99
	250	0,5609	0,0855	3842	3880	—0,98
	260	0,5328	0,1038	3410	3430	—0,58
	270	0,4984	0,1287	2872	2900	—0,96
	280	0,4514	0,1660	2140	2150	—0,48
	288,5	0,3045	0,3045	0	0	0,000
Тетрахлористый углерод В-5306	0	1,6325	0,0003	8118	8012	1,3
	76,75	1,4780	0,0054	7121	7144	—0,34
	80	1,4780	0,0061	7098	7107	—0,13
	100	1,4343	0,0103	6820	6820	0,000
	120	1,3902	0,0164	6518	6474	0,67
	140	1,3450	0,0250	6199	6167	0,52
	160	1,2983	0,0365	5859	5861	—0,034
	180	1,2470	0,0525	5476	5467	0,16
	200	1,1888	0,0742	5037	5037	0,00
	220	1,1227	0,1040	4352	4531	4,00
	240	1,0212	0,1109	3922	3896	0,69
	260	0,9409	0,2146	3037	3088	—1,6
	280	0,7634	0,3597	1561	1610	—3,0
	283,1	0,5576	0,5576	0	0	0,000
Этан В-7168	—80	0,535	0,00311	3430	3410	0,59
	—70	0,522	0,00478	3308	3300	0,24
	—60	0,509	0,00707	3180	3180	0,000
	—50	0,496	0,0101	3044	3050	—0,20
	—40	0,482	0,0141	2905	2910	—0,17
	—30	0,468	0,0193	2754	2760	—0,22
	—20	0,453	0,0260	2592	2600	—0,31
	—10	0,435	0,0348	2388	2410	—0,91
	0	0,416	0,0463	2165	2180	—0,69
	10	0,393	0,0619	1900	1900	0,000
	20	0,363	0,085	1547	1480	4,5
	32,27	0,220	0,220	0	0	0,000
Гексан В-12400	0	0,6769	0,0002	7848	7805	0,55
	10	0,6683	0,0004	7719	7695	0,33
	20	0,6595	0,0006	7586	7580	0,079
	30	0,6505	0,0009	7451	7460	—0,12
	40	0,6412	0,0013	7313	7330	—0,23
	50	0,6318	0,0018	7172	7195	—0,32
	60	0,6221	0,00249	7024	7060	—0,51
	70	0,6122	0,00337	6851	6920	—1,0

Продолжение

Вещество	Температура, °C	δ , г/см ³	δ' , г/см ³	L, кал/моль		Расхождение с экспериментальными данными, %
				по формуле (10)	табличные данные [16—19]	
н-Гексан В-12400	80	0,6022	0,00446	6721	6770	—0,73
	90	0,5918	0,00585	6550	6605	—0,84
	100	0,5814	0,00754	6385	6410	—0,86
	110	0,5703	0,00956	6205	6200	0,081
	120	0,5588	0,01202	6022	5980	0,7
	130	0,5467	0,01504	5812	5750	1,1
	140	0,5343	0,01866	5601	5510	1,7
	150	0,5207	0,02299	5368	5260	2,0
	160	0,5063	0,02833	5095	5000	1,9
	170	0,4913	0,03472	4844	4720	2,4
	180	0,4751	0,04228	4547	4415	2,9
	190	0,4570	0,05155	4210	4060	3,7
	200	0,4365	0,06329	3824	3660	4,5
Аргон В-1300	—183,2	1,37396	0,0050	1607	1524	5,2
	—173,2	1,3070	0,0155	1483	1437	3,1
	—163,2	1,2380	0,0325	1355	1337	1,3
	—153,2	1,1600	0,0580	1255	1212	3,5
	—143,2	1,0651	0,1040	1017	1050	—3,2
	—133,2	0,9800	0,1790	814	795	2,4
Азот В-1860	—203,2	0,8446	0,002005	1428	1399	2,1
	—193,2	0,7988	0,0066	1317	1314	0,23
	—183,2	0,7457	0,0148	1184	1213	—2,4
	—173,2	0,6873	0,03182	1029	1102	—6,6

ментальными данными в широком температурном интервале. Для жидкостей, кипящих при низкой температуре, пределы применимости формулы (10) значительно сокращаются.

Выводы

1. Получено полуэмпирическое уравнение (10), позволяющее рассчитывать теплоту испарения жидкостей.

2. Показано, что данное уравнение для неассоциированных жидкостей кипящих при высоких температурах, согласуется с опытными данными в широком температурном интервале с точностью 1—4%.

3. Для жидкостей, кипящих при низких температурах — аргона, азота, — уравнение согласуется с опытом вдали от критической точки с точностью 2—6%.

Кишиневский государственный университет

Поступила
10.XII.1958

ЛИТЕРАТУРА

1. В. А. Киреев, ЖРФ-ХО, ч. химическая, 61, 2331, 1929.
2. J. M. Hildebrand, J. Amer. Chem. Soc., 37, 970, 1915.
3. W. K. Lewis, H. Weber, Industr. and Engng Chem., 14, 485, 1922.
4. W. H. McAdams, J. C. Morell, Industr. and Engng Chem., 16, 375, 1924.
5. K. M. Watson, Industr. and Engng Chem., 23, 360, 1931.
6. K. M. Watson, Industr. and Engng Chem., 35, 398, 1943.
7. М. Х. Карапетьянц, Химическая термодинамика, Госхимиздат, 1950, стр. 220.
8. В. А. Киреев, Ж. физ. химии, 15, 451, 1941.
9. W. Meissner, Industr. and Engng Chem., 33, 1440, 1941.
10. D. F. Othmer, Industr. and Engng Chem., 34, 1072, 1942.
11. Н. Л. Чу и С. С. Чин, Ж. физ. химии, 15, 102, 1951.

А. Ф. Фролов, Ж. физ. химии, 29, 585, 1955.
 Л. Д. Воляк, Ж. физ. химии, 28, 1095, 1954.
 М. П. Вуколович, И. Н. Новиков, Уравнения состояния реальных газов, Госэнергоиздат, 1948, стр. 43.
 G. Ваккег, Z. phys. Chem., 12, 280, 1893.
 Физико-химические свойства индивидуальных углеводородов, Гостехиздат, вып. 4, 9, 1953; вып. 5, 279, 1954.
 Теплофизические свойства веществ (Справочник), Госэнергоиздат, 1956, стр. 233, 238, 260.
 Справочник химика, ГНТИХЛ, 1951, т. I, стр. 624.
 Справочник технической энциклопедии, т. 5, 1932.

TEMPERATURE DEPENDENCE OF THE HEATS OF VAPORIZATION OF A NON-ASSOCIATED LIQUID

V. I. Rykov (*Kishinev*)

S u m m a r y

A semiempirical expression of the form:

$$L = \left(B - \frac{RT}{\delta} \right) (\delta - \delta')$$

has been derived, where L is the heat of vaporization, R the universal gas constant, δ liquid and gas densities, respectively, T the absolute temperature and B an individual constant. The equation for non-associated high boiling liquids has been shown to agree with experiment over a wide range of temperatures with an accuracy of 1—4%. For low boiling liquids (argon, nitrogen) the results agree with experiment at some distance from the critical point, with an accuracy of 2—6%.

ИССЛЕДОВАНИЕ ЯВЛЕНИЯ ДИФФУЗИИ В НЕКОТОРЫХ ОРГАНИЧЕСКИХ ЖИДКОСТЯХ С БОЛЬШИМ МОЛЯРНЫМ ОБЪЕМОМ

В. Г. Манжелый

Существующие теоретические построения [1] претендуют на количественное описание явления диффузии в жидкостях лишь в случае, когда размеры диффундирующих молекул значительно превышают размеры молекул растворителя. Если же указанное условие не выполняется, дискретность структуры среды пренебречь нельзя, и возможно появление закономерностей, отличных от предсказанных теорией. С этой точки зрения особый интерес представляет исследование диффузии малых молекул среди больших, поскольку при этом влияние дискретности строения растворителя на ход диффузионных процессов повышается.

В настоящей работе исследовалась диффузия в органических жидкостях, молярный объем которых был больше молярного объема диффундирующих веществ. Для изучения явления диффузии нами был использован метод газовой фазы [2—4]. Идея метода заключается в следующем. В соприкосновение с жидким растворителем приводится ограниченный объем пара диффундирующего вещества, и по изменению веса раствора или давления пара со временем (вплоть до установления равновесия между объемом раствора и паром) судят о коэффициенте диффузии. Соответствующим подбором начального давления пара можно достигать необходимых концентраций на поверхности раствора.

При расчете [3] предполагается линейная зависимость между парциальным давлением пара и равновесной концентрацией в жидкости (закон Генри).

В первой серии опытов исследование проводилось весовым методом [3,4] при 20° с термостатированием $+0,05^\circ$. Максимальная концентрация диффундирующего вещества на поверхности раствора во всех экспериментах не превышала 2 мол. %. Для того чтобы уменьшить ошибки, связанные с возможными отклонениями от закона Генри, объем паровой фазы выбирался большим, в результате чего на протяжении опыта концентрация на границе жидкость — пар менялась незначительно ($\Delta c = 5-15$ со, где со — начальная концентрация). Измерение начального давления пара проводилось при помощи масляного манометра; после измерения манометр отключался от рабочего объема. Высота жидкого слоя не превышала 2 мм, что позволяло (несмотря на значительную вязкость растворов) сократить время эксперимента до нескольких часов и обеспечить отсутствие конвекции [4]. Характерная экспериментальная кривая зависимости изменения веса раствора со временем приведена на рис. 1. Возможные небольшие перекосы чашечек с растворителем и связанное с ним непостоянство высоты жидкости не влияли на результат опыта, поскольку определение коэффициента диффузии проводилось по начальному и конечному участкам кривой (рис. 1), не зависящим от высоты жидкого слоя.

В случаях, когда возникало сомнение в отсутствии химического взаимодействия между растворителем и диффундирующим веществом, высота жидкого слоя бралась большей и проверялось совпадение экспериментальных

льной кривой с теоретической [3]. Ошибка эксперимента не превы-
ла 5%.

Параллельно исследовалась вязкость растворителей методом капилляр-
ного вискозиметра. Результаты измерения коэффициентов диффузии и вяз-
кости при 20° для случая индивидуальных растворителей сведены в табл. 1.

Таблица 1

Диффундирующее вещество	Растворитель	$\eta \cdot 10^3$ пуазы	$D \cdot 10^5$ $\frac{\text{см}^2}{\text{сек}}$	V , см ³	M
	Трикрезилфосфат (C ₂₁ H ₂₁ PO ₄)	87,3		316	370,4
Формиат (C ₂ H ₄ O ₂)			0,77	61,8	60
Этанол (C ₂ H ₅ O)			0,77	73,6	58,1
Бутиловый эфир (C ₄ H ₁₀ O)			0,76	104	74,12
Ацетат (C ₄ H ₈ O ₂)			0,75	97,7	88,1
Тетрахлористый углерод (CCl ₄)			0,77	97	153,8
Ацетат (C ₃ H ₆ O ₂)			0,77	80	74,08
Формиат (C ₃ H ₆ O ₂)			0,76	79,6	74,08
Этанол (C ₂ H ₅)			0,74	89	78,1
Изопропан (C ₃ H ₇ Br)			0,70	88	123
Бромистый (C ₄ H ₉ Cl)			0,72	105	92
Ацетилфетон (C ₄ H ₈ O)			0,76	90,2	72,1
	Дибутилфталат (C ₁₆ H ₂₂ O ₄)	18,4		266	278,4
Формиат (C ₂ H ₄ O ₂)			2,70	61,8	60
Этанол (C ₂ H ₅ O)			2,59	73,6	58,1
Бутиловый эфир (C ₄ H ₁₀ O)			2,57	104	74,12
Ацетат (C ₄ H ₈ O ₂)			2,60	97,7	88,1
Тетрахлористый углерод (CCl ₄)			2,63	97	153,8
	Диэтилфталат (C ₁₂ H ₁₄ O ₄)	12,3		185	222,2
Формиат (C ₂ H ₄ O ₂)			3,60	61,8	60
Этанол (C ₂ H ₅ O)			3,52	73,6	58,1
Бутиловый эфир (C ₄ H ₁₀ O)			3,45	104	74,12
	Диметилфталат (C ₁₀ H ₁₀ O ₄)	15,9		163	194,2
Формиат (C ₂ H ₄ O ₂)			2,90	61,8	60
Этанол (C ₂ H ₅ O)			2,86	73,6	58,1
Бутиловый эфир (C ₄ H ₁₀ O)			2,70	104	74,12
	Олеиновая кислота (C ₁₇ H ₃₃ COOH)			316	282,4
Формиат (C ₂ H ₄ O ₂)			1,30	61,8	60
Этанол (C ₂ H ₅ O)			1,25	73,6	58,1
Бутиловый эфир (C ₄ H ₁₀ O)			1,19	104	74,12

В ней же приведены значения молекулярного веса M и молярного
объема V (при 20°) избранных систем.

Из приведенной таблицы видно, что коэффициенты диффузии мало чув-
ствительны к индивидуальным особенностям диффундирующих веществ
и определяются главным образом свойствами растворителя.

Произведение $D \eta$ (где D — коэффициент диффузии, а η — вязкость сре-
ды) не остается постоянным при переходе от одного растворителя к дру-
гому.

Наблюдаемая закономерность, по-видимому, должна сохраняться и
в том случае, когда растворитель представляет собой смесь двух или более
индивидуальных жидкостей с большими молярными объемами. Для про-
верки этого утверждения исследовалось явление диффузии в растворе
следующего состава: трикрезилфосфат 40 мол.%, дибутилфталат — 60
мол.%. Исследовалось также явление диффузии в растворе резорцина
(40 мол.%) в дибутилфталате (65 мол. %).

В последнем случае один из компонентов (резорцин) имеет молярный объем, близкий к молярному объему диффундирующих веществ (V резорцина = $85,5 \text{ см}^3$) и возможно отклонение от полученной закономерности. Параллельно измерялась вязкость растворов. Результаты измерений при 20° сведены в табл. 2.

Таблица 2

Диффундирующее вещество	Раствор	$\eta \cdot 10^3$ пуазы	$D \cdot 10^5$ $\frac{\text{см}^2}{\text{сек}}$
Метилформиат ($\text{C}_2\text{H}_4\text{O}_2$)	Трикрезилфосфат 40 мол. %	31,3	1,78
Ацетон ($\text{C}_3\text{H}_6\text{O}$)	дибутилфталат 60 мол. %		1,79
Этиловый эфир ($\text{C}_4\text{H}_{10}\text{O}$)			1,77
Метилформиат ($\text{C}_2\text{H}_4\text{O}_2$)	Резорцин 35 мол. %	69,1	1,16
Ацетон ($\text{C}_3\text{H}_6\text{O}$)	дибутилфталат 65 мол. %		1,22
Этиловый эфир ($\text{C}_4\text{H}_{10}\text{O}$)			0,71
Этилацетат ($\text{C}_4\text{H}_8\text{O}_2$)			0,96

Как видно из таблицы, индивидуальные свойства диффундирующих молекул влияют на коэффициент диффузии в том случае, когда в растворе присутствуют вещества с малым молярным объемом.

Полученные в первой серии опытов результаты находятся в противоречии с формулой Стокса—Эйнштейна $D = kT/6\pi\eta r$, где T — абсолютная температура, r — радиус диффундирующей частицы, k — постоянная Больцмана. Однако, как известно, указанная формула была выведена для диффузии в сплошной среде и может, строго говоря, применяться лишь в том случае, когда размеры диффундирующих молекул значительно больше размеров молекул растворителя.

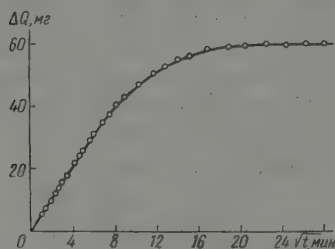


Рис. 1.

лах (а с некоторыми оговорками оно может применяться и для жидкостей) имеет вид

$$D = fve^{-(W_1+W_2)/kT},$$

где f — постоянная, определяемая свойствами растворителя, v — частота колебаний диффундирующей молекулы вблизи временного положения равновесия; W_1 — энергия дыркообразования; W_2 — собственно энергия активации (т. е. энергия, необходимая для отрыва диффундирующей молекулы от соседей и перехода ее в вакансию).

Очевидно, что при малых концентрациях диффундирующего вещества энергия дыркообразования определяется свойствами растворителя, поэтому отношение коэффициентов диффузии различных веществ в одной и той же среде равно

$$\frac{D'}{D''} = \frac{v'}{v''} e^{-(W_2' - W_2'')/kT}.$$

Диффундирующие молекулы колеблются вблизи временных положений в равновесии не независимым образом, а участвуют в упругих волнах, возникающих в областях ближнего порядка, поэтому частоты их колебаний близки к частотам колебаний молекул растворителя и, следовательно, $\approx \nu''$.

С увеличением размера дырок собственно энергия активации (а также разность собственно энергий активации) уменьшается, и коэффициенты

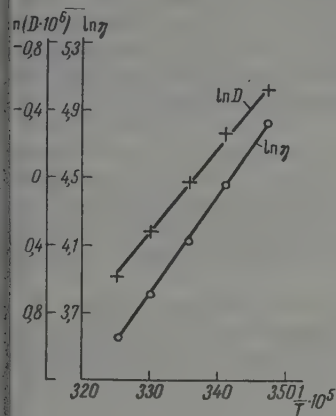


Рис. 3

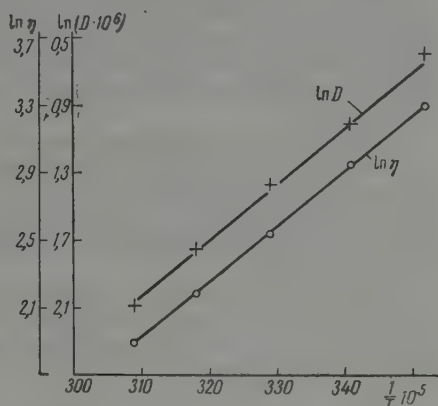


Рис. 4

с. 2. Температурная зависимость вязкого течения трикрезилфосфата и диффузии метилформата и этилового эфира в трикрезилфосфат

с. 3. Температурная зависимость вязкого течения дибутилфталата и диффузии метилформата и эфира в дибутилфталат

диффузии различных веществ должны сближаться, что нашло экспериментальное подтверждение в исследовании явления диффузии в металлах вблизи точки плавления [6] и в полимерах вблизи точки размягчения [1]. В нашем случае собственно энергии активации, по-видимому, настолько малы, что $W'_2 - W''_2$ гораздо меньше kT и $e^{-(W'_2 - W''_2)/kT} \approx 1$ следовательно, и $\frac{D'}{D''} \approx 1$.

В растворе резорцина в дибутилфталате наличие сравнительно небольших молекул резорцина приводит, по-видимому, к уменьшению средних размеров дырок и, следовательно, к росту собственно энергии активации, в результате чего наблюдается зависимость коэффициентов диффузии от сорта диффундирующих молекул. Необходимо подчеркнуть, что приведенные рассуждения не являются строгими и представляют собой лишь попытку качественного объяснения полученной закономерности.

Во второй серии опытов исследовалась температурная зависимость коэффициентов диффузии метилформата и этилового эфира в трикрезилфосфат весовым методом и в дибутилфталат по изменению давления пара диффундирующего вещества [3]. Первый метод обеспечивает большую точность (в этой серии опытов погрешность при измерениях весовым методом не превышала 3%), тогда как второй позволяет работать в большем интервале температур. В тех случаях, когда концентрация на поверхности раствора на протяжении опыта значительно склонялась от концентрации в начальный момент, ставились контрольные опыты по проверке выполнимости закона Генри. Термостатирование осуществлялось с точностью $\pm 0,1^\circ$. Время установления теплового рав-

новесия в рабочих объемах после напуска в них пара не превышало 40–60 сек.

Параллельно исследовалась температурная зависимость вязкого течения растворителей. Результаты измерений представлены на рис. 2 и 3, причем на указанных графиках нанесены точки, соответствующие значениям коэффициентов диффузии метилформата, поскольку в пределах точности эксперимента они совпадают с коэффициентами диффузии этилового эфира в соответствующих растворителях.

Энергия активации (энергия дыркообразования + собственно энергия активации) вязкого течения трикрезилфосфата $(11,6 \pm 0,2) \cdot 10^3$ кал/моль соответствующая энергия активации диффузии $(10,5 \pm 0,3) \cdot 10^3$ кал/моль. Энергия активации вязкости дибутилфталата и энергия активации диффузии совпадают в пределах точности эксперимента и равны $(6,6 \pm 0,4) \times 10^3$ кал/моль.

Из полученных результатов следует, что замеченная при 20° в первой серии опытов закономерность наблюдается также во всем исследованном температурном интервале. Близость энергий активаций диффузии и вязкости свидетельствует, по нашему мнению, о малости собственно энергии активации взаимной диффузии и самодиффузии по сравнению с энергией дыркообразования.

Пользуясь случаем поблагодарить проф. Б. И. Веркина и доц. Д. Г. Долгополова за ряд ценных советов и постоянный интерес к работе, доц. Я. Е. Гегузина за обсуждение результатов, а также Г. Л. Шатровского за участие в измерениях.

Выводы

1. В работе методом газовой фазы исследовалось явление диффузии ряда органических веществ в растворителях с большим молярным объемом.
2. В случае, когда молекулы растворителя значительно больше молекул диффундирующего вещества, индивидуальные свойства последних не оказывают практические влияния на значения коэффициента диффузии. В работе делается попытка объяснить наблюдаемую закономерность с точки зрения дырочной теории Френкеля.
3. Если в состав растворителя входит вещество с малым молярным объемом, значения коэффициентов диффузии в значительной степени зависят от диффундирующих веществ.
4. Из исследования температурного хода вязкости растворителей диффузии в них следует, что энергии активации процесса диффузии вязкого течения близки друг к другу, что, по-видимому, свидетельствует о малости собственно энергии активации по сравнению с энергией дыркообразования.

Харьковский государственный
университет им. А. М. Горького

Поступила
10.XII.1958

ЛИТЕРАТУРА

1. W. Jost, Diffusion in solids, liquids, gases. Academic Press, New York, 1952.
2. Н. Н. Багров, Б. И. Веркин и Д. Г. Долгополов, Ж. физ. химии, 30, 476, 1956.
3. Н. Н. Багров, Д. Г. Долгополов, В. Г. Манжелей, ПТЭ, 3, 8, 1956.
4. Д. Г. Долгополов, В. Г. Манжелей, Уч. зап. ХГУ, 7, 365, 1958.
5. Я. И. Френкель, Кинетическая теория жидкостей, Изд-во АН СССР, 1946.
6. В. З. Бугаков, Диффузия в металлах и сплавах, Гостехиздат, 1949.
7. Г. Я. Рыскин и С. Н. Журков, Ж. техн. физики, 24, 797, 1954.

INVESTIGATION OF DIFFUSION IN SOME ORGANIC LIQUIDS WITH LARGE MOLAR VOLUMES

V. G. Manzheliĭ (Khar'kov)

S u m m a r y

Diffusion in solvents of which the molar volume is much larger than that of the diffusing substances has been investigated by the gas phase method. It has been shown that in such cases the specific features of the diffusing molecules practically have no effect on the diffusion coefficient and the activation energy of diffusion approaches that for viscous flow. If, however, the solvent contains a considerable amount of component with small molar volumes the specific properties of the diffusing molecules have a marked effect on the diffusion coefficient. The results obtained have been treated from the standpoint of the hole theory of liquids.

ТЕПЛОЕМКОСТЬ УРАНАТОВ (VI) КАЛЬЦИЯ И БАРИЯ ПРИ ВЫСОКИХ ТЕМПЕРАТУРАХ

В. Я. Леонидов, Т. Н. Резухина и И. А. Берзникова

Настоящая работа является продолжением исследований по термодинамическим свойствам хроматов, молибдатов и вольфраматов двухвалентных металлов. Эти исследования включают измерение равновесий восстановления их водородом или измерение давлений диссоциации, а также измерение теплоемкостей и определение теплот образования [1] (см. также [2—4]). Представляет интерес сопоставление термодинамических свойств вышеуказанных соединений с термодинамическими свойствами нормальных уранатов двухвалентных металлов.

В связи с тем, что соответствующие данные в литературе отсутствуют (имеются лишь сведения по теплотам образования некоторых уранатов щелочных металлов [5] и по термической диссоциации диуранатов щелочноземельных металлов [6]), нами было начато изучение давлений диссоциации и равновесий восстановления водородом ряда нормальных уранатов двухвалентных металлов, а также измерение теплоемкостей этих соединений.

В настоящей работе приводятся полученные нами результаты определения средних теплоемкостей CaUO_4 и BaUO_4 .

Экспериментальная часть

Моноуранаты кальция и бария готовились прокаливанием на воздухе тщательно растертой смеси U_3O_8 и CaO (соответственно, BaCO_3) при 800—1000°.

Отношение $\text{Me}^{\text{II}} : \text{U}$ в смесях равнялось 1 : 1. Исходная окись кальция получалась прокаливанием карбоната кальция при 1000°; карбонат бария брали марки «ч. д. а.»

Закись-окись урана получали из гидрата перекиси урана прокаливанием до 850°. Все исходные препараты предварительно анализировались. Прокаливание смесей U_3O_8 с CaO (или BaCO_3) проводилось до достижения постоянства веса, после чего полученные моноуранаты анализировались на содержание урана и щелочноземельного металла. Уран определялся аммиачным методом, кальций — оксалатным, а барий — сульфатным [7]. Результаты анализов приведены в табл. 1.

Таблица 1

Анализ моноуранатов кальция и бария

Препарат	Содержание урана в препарате, %		Содержание щелочноземельного металла в препарате, %	
	найдено анализом	вычислено в соответствии с формулой $\text{Me}^{\text{II}}\text{UO}_4$	найдено анализом	вычислено в соответствии с формулой $\text{Me}^{\text{II}}\text{UO}_4$
CaUO_4	69,40	69,60	11,41	11,62
BaUO_4	53,95	54,18	31,10	31,26

Средняя удельная теплоемкость CaUO_4 и BaUO_4 измерялась методом смешения в массивном калориметре в температурном интервале от 58 до 1134°K, причем нижняя температура всегда была 293°K.

Таблица 2

Средняя удельная теплоемкость моноуранатов кальция и бария

Количество ураната в ампуле, г *	Температурный интервал измер. теплоемкости, °К	Подъем температуры калориметра **, (сопротивление платинового термометра, Ω)	Тепло, внесенное солью в калориметр, кал	Средняя уд. теплоемкость ураната	
				из опыта	по уравнению
CaUO ₄					
4,9463	588,63—293,07	0,05605	139,22	0,09523	0,09518
	784,57—293,00	0,0963	239,13	0,09835	0,09838
	884,08—293,00	0,1176	292,11	0,09991	0,10001
	984,94—293,00	0,1400	347,75	0,10160	0,10166
	1008,97—293,06	0,1455	361,41	0,10206	0,10205
	1022,08—293,04	0,14865	369,23	0,10239	0,10227
	1027,45—293,03	0,1510	375,07	0,10325	0,10324
	1034,25—293,02	0,1526	379,04	0,10338	0,10336
	1084,00—293,01	0,16415	407,73	0,10421	0,10428
	1133,47—293,06	0,1761	437,41	0,10522	0,10519
BaUO ₄					
6,5895	588,70—293,26	0,0594	147,47	0,07575	0,07573
	684,85—293,48	0,07975	198,09	0,07681	0,07679
	784,43—293,12	0,1015	252,12	0,07787	0,07788
	884,08—293,09	0,1237	307,26	0,07890	0,07897
	984,89—293,02	0,14695	365,01	0,08006	0,08007
	1083,66—293,07	0,1703	423,01	0,08120	0,08115

* Поправка на взвешивание в пустоте не вводилась, так как плотности порошкообразных уранатов мало отличаются от плотности латунных разновесов.

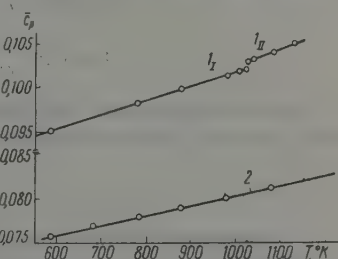
** В приведенную величину введены поправки на теплообмен калориметра — блока с окружающей средой и на тепловое значение пустой ампулы.

Подробное описание калориметрической установки и методики измерений дано в монографии М. М. Попова [8] и в статье Л. А. Жарковой и Т. Н. Резухиной [2].

Исследуемое вещество помещали в платиновую ампулу и нагревали в электрической вертикальной трубчатой печи, расположенной над калориметром. Калориметром служил медный блок, температура которого измерялась платиновым термометром сопротивления с помощью термометрического моста с точностью $\pm 0,0001$ Ω или $0,001^\circ$. Тепловое значение калориметра определялось электрическим методом с точностью $\pm 0,1\%$ и было равно 2483,9 кал/Ω.

Теплоемкость соли вычисляли по разности между количеством тепла, внесенным в калориметр нагретой ампулой с солью, и нагретой пустой ампулой, причем опыт с пустой и наполненной ампулами делался в одинаковых условиях. Воспроизводимость параллельных опытов была 0,02—0,05%.

Перед началом работы с уранатами установка была проверена по KCl (эталон при измерении теплоемкостей). Полученные нами значения по теплоемкости KCl совпадают с наиболее надежными литературными данными [9] с точностью $\pm 0,1\%$. В табл. 2 приведены результаты измерения средней удельной теплоемкости уранатов



Зависимость от температуры средней удельной теплоемкости c_p : 1 — $\text{CaUO}_4(\text{I})$, 2 — BaUO_4

кальция и бария в исследованных интервалах температур, причем значение теплоемкости в каждом интервале взято средним из 3—4 параллельных опытов.

На рисунке представлена зависимость средней удельной теплоемкости \bar{c}_p уранатов кальция и бария от температуры.

Теплоемкость ураната бария во всем изученном интервале температур меняется линейно с температурой. Теплоемкость ураната кальция до 1022°K также изменяется линейно с температурой. В области 1022 — 1027°K теплоемкость скачком возрастает и далее идет снова линейно. По-видимому, здесь имеет место фазовое превращение.

Ввиду того, что неизученный интервал температур (1022 — 1027°K) достаточно узок и наклон обеих прямых примерно одинаков, разность $\Delta H_{11}^{1024,5} - \Delta H_{1293}^{1034,5}$ теплосодержаний ураната кальция, рассчитанных из C_{pII} и C_{pI} , для интервала температур 293 — $1024,5^\circ\text{K}$, является молярной теплотой перехода и равна 220 кал/моль.

Ниже приводятся полученные методом наименьших квадратов уравнения зависимости от T средней удельной \bar{c}_p и средней молярной \bar{C}_p теплоемкостей CaUO_4 и BaUO_4 . Для CaUO_4 даются два уравнения; одно — ниже точки перехода, другое — выше точки перехода:

$$\begin{aligned}\text{CaUO}_4(\text{I}): \quad \bar{c}_p &= 0,03555 + 1,536 \cdot 10^{-5}T, \\ \bar{C}_p &= 29,27 + 5,60 \cdot 10^{-3}T; \\ \bar{c}_p &= 0,08435 + 1,839 \cdot 10^{-5}T, \\ \text{CaUO}_4(\text{II}): \quad \bar{C}_p &= 28,86 + 6,29 \cdot 10^{-3}T; \\ \bar{c}_p &= 0,06929 + 1,094 \cdot 10^{-5}T, \\ \text{BaUO}_4: \quad \bar{C}_p &= 30,45 + 4,81 \cdot 10^{-3}T.\end{aligned}$$

Истинные удельные c_p и молярные C_p теплоемкости уранатов находят из средних по уравнению $\bar{C}_p(T - 293,2) = \int_{293,2}^T C_p dT$. Ниже приводятся полученные для них уравнения:

$$\begin{aligned}\text{CaUO}_4(\text{I}): \quad c_p &= 0,08075 + 3,272 \cdot 10^{-5}T, \\ C_p &= 27,63 + 11,19 \cdot 10^{-3}T; \\ c_p &= 0,07895 + 3,678 \cdot 10^{-5}T, \\ \text{CaUO}_4(\text{II}): \quad C_p &= 27,01 + 12,58 \cdot 10^{-3}T; \\ c_p &= 0,06608 + 2,189 \cdot 10^{-5}T, \\ \text{BaUO}_4: \quad C_p &= 29,04 + 9,62 \cdot 10^{-3}T,\end{aligned}$$

Авторы выражают благодарность проф. С. М. Скуратову за ряд ценных указаний, использованных при выполнении настоящей работы.

Выводы

1. Измерены средние удельные теплоемкости моноураната кальция в температурном интервале 293 — 1134°K и моноураната бария в температурном интервале 293 — 1084°K и длины уравнения для вычисления их средней и истинной теплоемкостей в исследованных интервалах температур.

2. Найдено, что теплоемкость CaUO_4 в температурном интервале 1022 — 1027°K изменяется скачкообразно; по-видимому, здесь имеет место фазовый переход, теплота которого составляет 220 кал/моль.

ЛИТЕРАТУРА

1. Я. И. Герасимов, Т. Н. Резухина, Ю. П. Симанов, И. А. Васильева и Р. Д. Куршакова, Вестник МГУ, Сер. математики, химии и физики, №4, 1957.
2. Л. А. Жаркова, Т. Н. Резухина, Ж. физ. химии, 31, 2278, 1957; 32, 2233, 1958.
3. З. В. Прошина и Т. Н. Резухина, Ж. неорг. химии 5, 1016, 1960.
4. Р. А. Яковлева, Т. Н. Резухина, Ж. физ. химии, 34, 819, 1960.
5. F. D. Rossini, D. D. Wagman, W. H. Evans, S. Levine, I. I. Joffe, Selected Values of Chemical and Thermodynamic Properties. Nat. Bur. Standards, Circ. 500. 1952.
6. H. R. Nockstra, J. J. Katz, J. Amer. Chem. Soc., 74, 1683, 1952.
7. В. Ф. Гиллебранд, Г. Э. Лендель, Г. А. Брайт, Д. И. Гофман, Практическое руководство по неорганическому анализу. Изд-во химич. лит., М., 1957.
8. М. М. Попов, Термохимия и калориметрия, Изд-во МГУ, 1954.
9. С. М. Скуратов и С. А. Лапушкин, Ж. общ. химии, 21, 2217, 1951.

HEAT CAPACITY OF CALCIUM AND BARIUM URANATES (VI)
AT HIGH TEMPERATURES

V. Ya. Leonidor, T. N. Rezukhina and I. A. Bereznikova (Moscow)

Summary

The mean specific heat capacities of calcium monouranate have been measured over the temperature range 293—1134° K and of barium monouranate over the temperature range 293—1084° K and equations have been presented for calculating the mean and true heat capacities within these temperature limits. The heat capacity of CaUO_4 has been shown to change with a vump at the temperature range 1022—1027° K. Here a phase transition evidently takes place, the heat of which is 220 cal/mole.

АДСОРБЦИЯ КАТИОНОВ ОСАДКОМ ОКСИАЦЕТАТА ЖЕЛЕЗА

Н. Е. Брежнева, С. Н. Озиранер и В. Н. Розанова

В последние годы весьма большое число работ посвящено изучению адсорбции катионов из водных растворов на твердых адсорбентах. Большой интерес к этому вопросу вызван применением твердых адсорбентов для целей разделения, концентрирования и очистки различных веществ.

В настоящей работе делается попытка количественного изучения вторичной адсорбции на осадке оксиацетата железа, который, в отличие от осадков гидроокисей [1—3], устойчив в слабокислой среде, а по химической структуре близок к гидроокисям.

В работе Брауна [4] изучалась адсорбция тория (меченного UX_1) из азотно-кислых растворов уранила на осадке оксиацетата железа. При невесомых количествах тория в растворе адсорбция его подчиняется закону Генри, а при повышении концентрации тория — изотерме вида:

$$q = ac^{1/n}, \quad (1)$$

примененной Фрейндлихом [5] для выражения адсорбции ионов NH^+4 , Ag^+ , Ba^{2+} , Cu^{2+} , Ce^{3+} и органических красителей на коллоидном осадке сульфата ртути. Аналогичные результаты были получены при изучении адсорбции серебра и калия на аморфном осадке йодистого серебра [6] при адсорбции железа, никеля и меди на осадке двуокиси марганца [7], при адсорбции ионов калия, натрия, хлора и брома на коллоидной гидроокиси железа [8], при адсорбции ионов никеля, кобальта, марганца, магния, кальция, железа, меди и бария на водных силикатах железа [9] и т. д.

Ряд авторов [5, 9] отмечают, что при очень малых концентрациях коэффициент n в изотерме Фрейндлиха уменьшается до единицы. Кроме того, при больших концентрациях, в силу ограниченности поверхности адсорбента, наблюдается насыщение.

Оксиацетат железа выпадает из уксуснокислых растворов трехвалентного железа при нагревании [10], если содержание свободной уксусной кислоты меньше 1,58 N . Образование осадка происходит за счет гидролиза комплексного катиона ферригексаацетата



Краузе [11] приписывает осадку оксиацетата железа состав: $Fe(CH_3COO)_2(OH)$, а Герц [12] $Fe(CH_3COO)(OH)_2$.

Различная степень гидратации указанных осадков, в которых соотношение железа и ацетат-иона меняется от 3 : 1 до 1 : 2 связана с различием условий получения осадков. О структуре осадка никаких данных в литературе не имеется.

Экспериментальная часть

Осадок оксиацетата железа. Изучение адсорбции катионов на осадке оксиацетата железа проводилось в азотнокислых растворах. Для поддержания постоянной ионной силы раствора в него вводили 2,5 N раствор нитрата натрия. Постоянство значения рН раствора обеспечивалось добавлением уксуснокислого натрия до 0,5 N и уксусной кислоты в концентрациях, обеспечивающих необходимое значение рН раствора (от 0,1 до 0,5 N).

Сосуд с раствором помещали в кипящую водяную баню и выдерживали при перемешивании в течение 3 час., после чего проводили необходимые анализы и измерения.

Состав осадка. Выпавший при определенном значении pH осадок оксиацетата железа отфильтровывали, промывали и растворяли 10%-ной серной кислотой. После этого уксусную кислоту отгоняли в вакуум с титрованным раствором едкого натра, а железо определяли перманганатным методом. Отношение молярных количеств железа и ацетат-иона в зависимости от значения pH, при котором образовывался осадок, представлено в табл. 1.

Таблица 1

Молярное отношение содержания железа и ацетат-иона в осадке оксиацетата железа в зависимости от значения pH раствора

Значение pH	Найдено железа, ммоль	Найдено ацетат-иона, мг	Молярное отношение Fe : Ac
1,8	2,00	0,92	3 : 1,38
1,8	1,70	0,54	3 : 0,95
2,4	2,25	0,95	3 : 1,27
2,4	2,20	0,68	3 : 1,10
3,1	3,14	1,09	3 : 1,04
3,1	2,32	0,72	3 : 0,94
3,5	2,00	0,77	3 : 1,17
3,5	2,70	0,85	3 : 0,94
3,9	3,07	0,75	3 : 0,75
3,9	2,69	1,05	3 : 1,17
4,5	3,38	0,93	3 : 0,84
5,0	2,94	1,01	3 : 0,99
5,0	2,81	1,00	3 : 1,04

Как видно из приведенных данных, в исследованном интервале значений pH осадок выпадает в одинаковой химической форме с соотношением железа и ацетат-иона 3 : 1, т. е. в форме $[\text{Fe}_3(\text{CH}_3\text{COO})(\text{OH})\text{O}_3]$.

Структура осадка. Для исследования структуры осадка были применены оптико-микроскопические исследования в проходящем и поперечном свете, электронная микроскопия и электронография. Первым методом не были обнаружены какие-либо структурные образования, что указывало на то, что размеры кристаллических частиц, если они и образуются, не превышают $6 \cdot 10^{-5}$ см. Электронно-микроскопическими исследованиями удалось обнаружить структурные образования в виде игл с линейными размерами порядка 10^{-6} — 10^{-7} см, причем с ростом величины pH раствора, из которого выпадал осадок, размер игл уменьшался.

Для более детальной проверки структуры выпадающего осадка и причины структурных образований были проведены электронографические исследования этого осадка, образованного при разных значениях pH раствора.

Во всем исследованном диапазоне изменения величины pH на электрограммах обнаруживаются три размытых дифракционных кольца с диаметрами, указанными в табл. 2 диаметрами.

Таблица 2

Диаметры дифракционных колец осадка оксиацетата железа;

$$E = 40 \text{ kV}; I = 5 \text{ pA}$$

pH	D_1 , мм	D_2 , мм	D_3 , мм
1,30	16,00	18,35	27,30
1,50	16,10	18,20	27,20
1,68	16,18	18,15	27,35
1,80	16,12	18,25	27,25
2,20	16,20	18,16	27,36
3,20	16,15	18,20	27,31
3,40	16,17	18,20	27,30
4,00	16,10	18,35	27,23
Среднее значение	16,13	18,23	27,26

Одновременно были сняты электронограммы осадка гидроокиси железа, полученного длительной обработкой осадка оксиацетата железа $0,1N$ раствором едкого натра и осадка окиси железа, полученного при нагревании оксиацетата до 500° .

В табл. 3 представлены эти данные.

Таблица 3

Диаметры дифракционных колец гидроокиси и окиси железа

$E = 40 \text{ kV}, I = 5 \text{ } \mu\text{A}$

Осадок	$D, \text{ м.м.}$			
Гидроокись железа	17,3;	29,8		
Окись железа	15,3;	16,6;	18,8;	22,4;
	24,5;	28,5;	28,8	

Из приведенных данных следует, что осадок оксиацетата железа выпадает в одной форме и не содержит заметных количеств гидроокиси и окиси железа.

Для определения среднестатистических размеров структурных образований были сняты микрофотограммы электронографических снимков осадка оксиацетата железа, образованного при разных значениях рН и, для стандарта, — поваренной соли, по которым были определены величины полуширины дифракционных максимумов B и постоянные прибора K и b . По этим данным среднестатистические линейные размеры структурных образований осадка могут быть вычислены по формуле [10]:

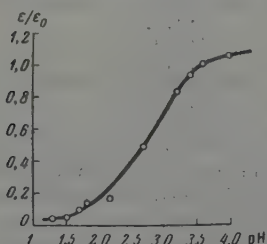


Рис. 1. Относительное изменение среднестатистических линейных размеров кристаллоидов в зависимости от рН

Изменяется удельная поверхность осадка. Поскольку число частиц на единицу массы N обратно пропорционально третьей степени линейных размеров

$$N \sim \frac{1}{\epsilon^3},$$

а поверхность каждой частицы пропорциональна квадрату линейных размеров

$$s \sim \epsilon^2.$$

Следовательно, удельная поверхность

или
$$S = Ns \sim \frac{1}{\epsilon}$$

$$\frac{S_1}{S_2} = \frac{\epsilon_2}{\epsilon_1}.$$

Отношение ϵ_0/ϵ , таким образом, характеризует относительное изменение удельной поверхности осадка по сравнению со стандартным, образованным при рН = 3,6. Как видно из рис. 1, удельная поверхность наиболее резко

о изменяется в области $pH = 2,2-3,5$. Как будет видно из дальнейшего, именно в этой области изменение величины pH сказывается на адсорбции катионов. При расчете изотерм адсорбции, как видно из изложенного, должна быть учтена поправка на изменение удельной поверхности.

Влияние величины pH на адсорбцию катионов, опыты проводились в растворе указанного состава при концентрации урания 5 мг/л , церия 15 мг/л и циркония 15 мг/л . Катионы вводились в виде азотнокислых солей, меченных, соответственно, Sr^{90} , Ce^{144} и Zr^{95} , при

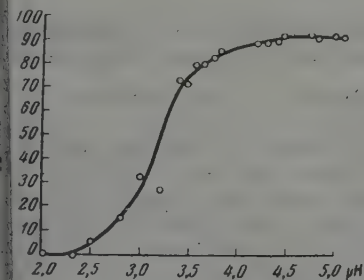


Рис. 2. Адсорбция церия (III) в зависимости от pH

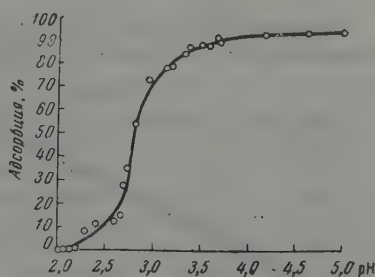


Рис. 3. Адсорбция циркония в зависимости от pH

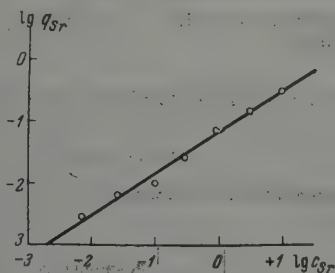


Рис. 4

Рис. 4. Изотерма адсорбции стронция

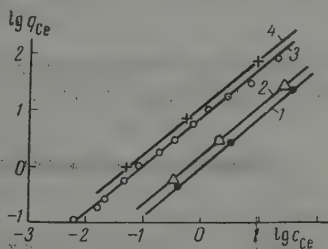


Рис. 5

Рис. 5. Изотерма адсорбции церия (III): 1 — $pH = 2,80$; 2 — $pH = 3,20$; 3 — $pH = 3,58$; 4 — $pH = 4,00$

измерения проводились с учетом образования дочерних радиоактивных продуктов Y^{90} , Pu^{144} и Nb^{95} . Величина адсорбции определялась по изменению радиоактивности раствора.

На рис. 2 и 3 представлены кривые зависимости процента адсорбированного количества циркония и церия (III) от значения величины pH . Адсорбция стронция в исследованном интервале мало изменяется с величиной pH и составляет 15–20%.

Кривые имеют S-образный вид, как это показано и в других работах при изучении адсорбции катионов на осадках гидроокисей. Концентрационные изотермы снимались при постоянном значении pH раствора при широком изменении начальных концентраций исследуемого катиона. На рис. 4, 5 и 6 представлены изотермы адсорбции стронция, церия и циркония в билогарифмических координатах равновесной концентрации (мг/л) и адсорбированного количества в мг/г осадка. Как видно при изме-

нении концентраций на 4—5 порядков изотерма имеет вид прямой с тангенсом угла наклона, меньшим единицы, что указывает на довольно точное совпадение с изотермой вида

$$q = Ac^{1/n}. \quad (1)$$

Аналогичные изотермы были получены и при других значениях pH. Средние значения коэффициента n в изотерме составляли:

$$n_{Sr} = 1,50; \quad n_{Ce} = 1,26; \quad n_{Zr} = 1,84.$$

Доказательством того, что в данном случае имела место равновесная адсорбция, служат опыты, в которых церий вносился до и после образования осадка и при изменении величины pH после адсорбции. Результаты этих опытов приведены в табл. 4.

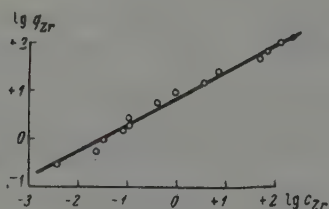


Рис. 6

Рис. 6. Изотерма адсорбции циркония при pH = 3,60

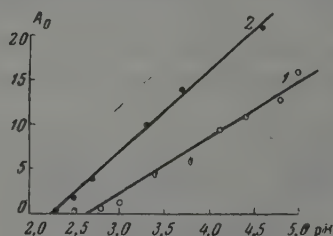


Рис. 7

Рис. 7. Зависимость коэффициента адсорбции A_0 от pH: 1 — для церия; 2 — для циркония

вания осадка и при изменении величины pH после адсорбции. Результаты этих опытов приведены в табл. 4.

Таблица 4

Влияние условий проведения адсорбции на ее величину;
 $c_0 = 10 \text{ мг/л}$

№ опытов	Условия проведения опыта	pH	Величина адсорбции, %
356	Церий внесен до образования осадка	3,2	31,0
357	Церий внесен после образования осадка	3,2	33,5
358	То же	3,2	32,0
359	» »	3,2	32,5
360	Церий внесен до образования осадка	2,5	9,1
361	Опыт 357, изменено pH	2,5	8,2
362	Опыт 358, изменено pH	2,5	7,5
363	Церий внесен до образования осадка	4,0	83,7
364	Опыт 361, изменено pH	4,0	82,0
365	Опыт 362, изменено pH	4,0	79,4

Из приведенных результатов видно, что в пределах воспроизводимости адсорбционных измерений адсорбция практически не зависит от истории раствора и является равновесной. Определение величины предэкспоненциального коэффициента A в изотерме адсорбции и его зависимости от pH проводилось на основании графического анализа изотерм с учетом относительного изменения удельной поверхности осадка, т. е.

$$A = A_0(\text{pH}) \frac{S}{S_0}$$

На рис. 7 представлена зависимость A_0 от величины рН для церия и иттрия. Для стронция, как указывалось выше, A_0 не зависит от рН в пределах 2,0—4,5. Как видно из кривых, величина A_0 линейно зависит от рН раствора. Эти данные хорошо согласуются с теоретическими выводами А. Н. Фрумкина [14] и Е. Н. Гапона [13], полученными из рассмотрения локализованной в монослое вторичной обменной адсорбции. Наконец для адсорбции в двойном электрическом слое при неоднородном энергетическом рельефе имеем:

$$q = \frac{\varepsilon}{\varepsilon_0} A_0 (\text{pH}) c^{1/n}. \quad (3)$$

Выводы

1. Исследования по адсорбции ряда катионов на осадке оксиацетата железа показали, что в широком интервале изменений концентрации адсорбирующихся катионов изотерма адсорбции выражается уравнением (3). При этом величина коэффициента n не зависит от значения рН раствора и является функцией заряда адсорбируемого катиона. Наоборот, величина коэффициента A зависит от значения рН. Это влияние сказывается на величине удельной поверхности осадка и на двойном электрическом слое на границе твердое тело — раствор в соответствии с уравнением (2).

2. Изотерма адсорбции катионов при вторичной адсорбции в двойном электрическом слое на осадках типа гидроокисей может быть в развернутом виде выражена уравнением (3).

Поступила
20.XII.1958

ЛИТЕРАТУРА

1. И. Курбатов и М. Курбатов, J. Amer. Chem. Soc., **60**, 1923, 1945; **69**, 437, 1947; J. Phys. Colloid Chem., **55**, 1070, 1951.
2. В. Пушкарев, Ж. неорган. химии, **1**, 170, 1956.
3. А. Г. Морачевский, А. Новиков (в печати)
4. A. Braun, J. Chem. Soc., **121**, 1736, 1922.
5. Н. Freundlich, G. Schuch, Z. phys. Chem., **85**, 641, 1914.
6. A. Lottermoser, A. Rose, Z. phys. Chem., **62**, 359, 1908.
7. L. Levy, C. R., **186**, 1619, 1928.
8. Е. Руденко, В. Николаев, Изв. АН СССР, Сер. хим., 1045, 1936.
9. И. Гинзбург, А. Пономарев, Изв. АН СССР, Сер. геолог., **85**, 1939.
10. R. Weinland, E. Gussemann, Ber., **42**, 3001, 3381, 1909; Z. anorgan. Chem., **66**, 157, 1910.
11. A. Krause, Z. anorgan. Chem., **169**, 273, 1928.
12. W. Hertz, Z. anorgan. Chem., **20**, 16, 1899.
13. Е. Н. Гапон, Ж. физ. химии, **11**, 782, 1938; **15**, 655, 659, 1941.
14. А. Н. Фрумкин, Докл. АН СССР, **69**, 821, 1949.

ADSORPTION OF CATIONS ON IRON HYDROXYACETATE PRECIPITATES

N. E. Brezhneva, S. N. Oziraner and V. N. Rozanova (Moscow)

Summary

The adsorption of cations of varying valencies from solution by iron hydroxyacetate precipitates is expressed by the equation $q = Ac^{1/n}$, characteristic of secondary adsorption on a non-uniform surface.

The frequency factor A is a function of the hydrogen ion concentration of the solution. The coefficient n is a function of the cationic charge and is independent of the concentration of hydrogen ions.

МЕТОДЫ И ТЕХНИКА ФИЗИКО-ХИМИЧЕСКОГО ИССЛЕДОВАНИЯ

О ВОЗМОЖНОСТИ ОБНАРУЖЕНИЯ КОНЦЕНТРАЦИОННОЙ ПОЛЯРИЗАЦИИ ПУТЕМ ИЗМЕРЕНИЯ ИМПЕДАНСА ЭЛЕКТРОДА

Д. И. Лейкис и Л. Л. Кноц

При исследовании кинетики электродных процессов прежде всего возникает вопрос, не лимитируется ли скорость всего электродного процесса стадией диффузии реагирующих частиц к границе электрод — электролит или диффузией продуктов реакции от этой границы. Иначе говоря, имеется ли на электроде концентрационная поляризация. Для выяснения этого вопроса в ряде работ применялся метод измерения составляющих импеданса электрода в переменном токе различной частоты. Применение этого метода основано на том, что концентрационная поляризация, возникающая на электроде, эквивалентна соответствующим величинам емкости и сопротивления, включенным параллельно или последовательно, причем сдвиг фаз всего этого элемента равен 45° , а составляющие импеданса линейно зависят от $1/\sqrt{\omega}$, где ω — круговая частота переменного тока [1—3].

При изучении кинетики электродных процессов обнаружение линейной зависимости составляющих импеданса электрода от $1/\sqrt{\omega}$ обычно было критерием существования концентрационной поляризации на электроде [2]. Однако указанная зависимость составляющих импеданса всего электрода от $1/\sqrt{\omega}$ в сравнительно широком интервале частот может наблюдаться только в том случае, если емкостное сопротивление двойного слоя в этом диапазоне частот значительно больше сопротивления концентрационного члена и первым можно пренебречь, по сравнению со вторым, так как они подключаются параллельно. В случае, когда нельзя пренебречь емкостным сопротивлением двойного слоя, например, если емкость двойного слоя весьма велика, или если концентрационная поляризация велика (диффузионные затруднения возникают в твердой фазе), зависимость составляющих импеданса от $1/\sqrt{\omega}$ имеет более сложный характер, критерий линейности не может быть использован для обнаружения на электроде концентрационных затруднений.

Однако анализируя зависимость составляющих импеданса электрода от $1/\sqrt{\omega}$ с учетом емкости двойного слоя, мы обнаружили такое свойство активной составляющей импеданса как функции $1/\sqrt{\omega}$, которое может быть легко использовано для решения вопроса о наличии на электроде концентрационной поляризации. Мы предположили, что любой электрод в отсутствие концентрационной поляризации в первом приближении может быть моделирован одной из четырех схем, изображенных на рис. 1* При этом импеданс этого электрода равен $Z_0 = R_0 - jX_0$, где R_0 и X_0 — активная и реактивная составляющие. Запишем импеданс для каждой схемы рис. 1, а — а:

$$Z_{0(1)} = \frac{R}{1 + (\omega RC)^2} - j \frac{\omega R^2 C}{1 + (\omega RC)^2} = R_{0(1)} - jX_{0(1)}; \quad (1)$$

$$Z_{0(2)} = R - j \frac{1}{\omega C} = R_{0(2)} - jX_{0(2)}; \quad (2)$$

* При этом мы предполагаем, что емкостные элементы схем, соответствующие емкости двойного слоя или адсорбционной емкости, а также элементы сопротивлений соответствующие сопротивлениям отдельных стадий реакций, в процессе измерения зависимости их от частоты остаются неизменными.

$$\dot{Z}_{0(3)} = \frac{RC_1^2}{\omega^2 R^2 C_1^2 C_2^2 + (C_1 + C_2)^2} - j \frac{\omega^2 R^2 C_1^2 C_2^2 + \omega^{-1} (C_1 + C_2)}{\omega^2 R^2 C_1^2 C_2^2 + (C_1 + C_2)^2} = R_{0(3)} - jX_{0(3)}; \quad (3)$$

$$\dot{Z}_{0(4)} = \frac{\omega^2 C_1^2 C_2^2 R_1 R_2 (R_1 + R_2) + R_1 C_1^2 + R_2 C_2^2}{\omega^2 (R_1 + R_2)^2 C_1^2 C_2^2 + (C_1 + C_2)^2} - j \frac{\omega C_1 C_2 (R_1^2 C_1 + R_2^2 C_2) + \omega^{-1} (C_1 + C_2)}{\omega^2 (R_1 + R_2)^2 C_1^2 C_2^2 + (C_1 + C_2)^2} = R_{0(4)} - jX_{0(4)}; \quad (4)$$

$$\lim_{\omega \rightarrow 0} R_{0(1)} = R; \quad (5)$$

$$\lim_{\omega \rightarrow 0} R_{0(2)} = R; \quad (6)$$

$$\lim_{\omega \rightarrow 0} R_{0(3)} = \frac{RC_1^2}{(C_1 + C_2)^2} < R; \quad (7)$$

$$\lim_{\omega \rightarrow 0} R_{0(4)} = \frac{R_1 C_1^2}{(C_1 + C_2)^2} + \frac{R_2 C_2^2}{(C_1 + C_2)^2} < R_1 + R_2. \quad (8)$$

Из написанного видно, что во всех приведенных схемах R_0 — ограниченная сверху функция. При этом предел, к которому стремится R_0 , не может превышать сопротивления электрохимической стадии электродного процесса или суммы таковых, если они идут параллельно [уравнение (5) — (8)]. Включение в моделирующую электрод схему члена, эквивалентного концентрационной поляризации, делает эту функцию неограниченной, так как последний является неограниченной функцией от $1/\omega$. Иллюстрацией сказанного служит рис. 2. Кривая 1 показывает общий ход активной составляющей R_0 , как функции $1/\omega$ для схемы с рис. 1; кривая 3 показывает ход этой кривой в случае, если ко всей схеме с рис. 1 подключить последовательно концентрационный член. Кривая 2 (рис. 2) показывает изменение R_0 для случая, когда концентрационный член включен последовательно с C_1 или C_2 (схема с рис. 1). Как видно из рис. 2, включение концентрационного члена превращает R_0 из ограниченной функции в неограниченную.

Таким образом из измерений зависимости активной составляющей импеданса от $1/\omega$ можно сделать вывод о наличии на электроде концентрационной поляризации. Наличие предела у активной составляющей импеданса при $\omega \rightarrow 0$ является критерием отсутствия концентрационной поляризации. Неограниченное нарастание активной составляющей электрода при $\omega \rightarrow 0$ свидетельствует о наличии концентрационной поляризации. Линейная зависимость R_0 от $1/\omega$ появляется при наличии концентрационной поляризации в общем случае только при достаточно малых частотах, при которых можно пренебречь влиянием сопротивления реакции и емкости двойного слоя, но еще не столь малых частотах, чтобы конвекция нарушала нормальный ход нестационарной диффузии.

В заключение считаем приятным долгом выразить глубокую благодарность проф. Н. Кабанову за ценные советы при обсуждении данной работы.

Академия наук СССР
Институт электрохимии

Поступила
6.II.1960

ЛИТЕРАТУРА

- Б. Эршлер, Ж. физ. химии, 22, 683, 1948.
- Б. Эршлер, К. Розенталь, Тр. Совещания по электрохимии, АН СССР, 1950 г. Москва, 1953, стр. 446.
- H. Gerischer, Z. phys. Chem. 198, 287, 1951.

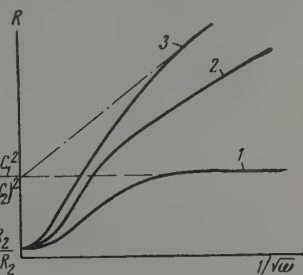


Рис. 2

ON THE POSSIBILITY OF REVEALING CONCENTRATION POLARIZATION
BY MEASUREMENTS OF THE ELECTRODE IMPEDANCE

D. I. Leikis and L. L. Knets (Moscow)

S u m m a r y

The dependence of the active component of the electrode impedance (R) upon $1/\omega$ (where ω is the radian frequency) may serve as criterium for the presence of concentration polarization at the electrode; namely, unlimited increase in R at $\omega \rightarrow 0$ indicates the presence of concentration polarization, whereas the tendency of R to a limit at $\omega \rightarrow 0$, shows that it is absent.

КАЛОРИМЕТР С УСТАНОВЛИВАЮЩИМСЯ ТЕПЛОВЫМ ПОТОКОМ И АВТОМАТИЧЕСКИЙ КОМПЕНСАТОР

В. А. Бакаев

При измерении теплоемкости адсорбентов, насыщенных адсорбатом, в области температуры его плавления наблюдается резкое возрастание теплоемкости [1, 2]. Для исследования этого явления требуется калориметр, непрерывно измеряющий зависимость теплоемкости от температуры, т. е. калориметр непрерывного нагрева. Целью пояснения принципа измерения теплоемкости, лежащего в основе предлагаемого калориметрического метода, рассмотрим сечение составного цилиндра длины l , на внешней поверхности которого намотан нагреватель (рис. 1). Цилиндр помещен в адiabатическую оболочку. Тепловые приборы подобного типа описаны в работе [3]. Если в некоторый момент нагреватель выделяет постоянное количество тепла Q кал/сек., то по прошествии достаточного времени и при условии постоянства тепловых параметров всех частей, скорость возрастания температуры в любой точке будет постоянна и равна Q/C град/сек., где C — теплоемкость системы, в основном определяемая цилиндром 1 (рис. 1)*. Исходя из этого можно найти распределение температур по сечению, не решая уравнения теплопроводности. Поток тепла через поверхность радиуса r слоя 2 (рис. 1), при отсутствии радиальных утечек, равен теплоемкости всех частей, заключенных внутри поверхности, умноженной на скорость роста температуры, которая всюду постоянна. Так как температура на всей поверхности, в силу симметрии задачи одинакова, поток тепла q равен

$$q = k \frac{dT(r)}{dr} 2\pi r l = \left[\frac{Q}{C} \right] \{ \pi (r^2 - r_1^2) l c_2 \rho + C_x + C_3 \}, \quad (1)$$

где $T(r)$ — температура на поверхности цилиндра радиуса r , k , c_2 и ρ — соответственно теплопроводность, удельная теплоемкость и плотность вещества слоя 2, C_x — неизвестная теплоемкость цилиндра 4, C_3 — теплоемкость слоя 3 и l — длина цилиндра. Интегрируя это уравнение от r_1 до r_0 , получаем

$$\Delta T = E C_x + \Delta T_0, \quad (2)$$

$$E = \left[\frac{Q}{C} \right] \left[\frac{1}{2\pi k l} \ln \frac{r_0}{r_1} \right],$$

$$\Delta T_0 = \left[\frac{Q}{C} \right] \left[\frac{c_2 \rho}{2k} \left(\frac{r_0^2 - r_1^2}{2} - r_1^2 \ln \frac{r_0}{r_1} \right) + \frac{C_3}{2\pi k l} \ln \frac{r_0}{r_1} \right],$$

$\Delta T = T(r_0) - T(r_1)$ — разность температур на обеих границах слоя 2. Коэффициенты E и ΔT_0 являются постоянными прибора и при заданной скорости роста температуры определяются калибровкой его по известному веществу. Из формул (1) и (2) следует, что поток тепла через слой 2 рис. 1, определяемый разностью температур ΔT , автоматически устанавливается таким, чтобы скорость роста температур в части 3 и 4 была

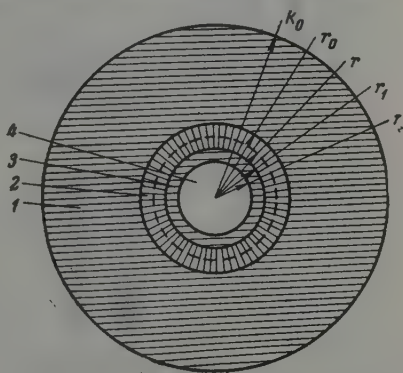


Рис. 1. 1 — медный термостат; 2 — слой теплоизолятора; 3 — слой из меди; 4 — исследуемое вещество

* Действительно, если скорости возрастания температур в двух точках различны, то разность температур между ними будет увеличиваться, а с ней и тепловой поток между соответствующими площадками.

такой же, как в 1 и 2, т. е. ΔT будет пропорциональна теплоемкости исследуемого вещества (цилиндр 4), независимо от его теплопроводности, а следовательно, и распределения температур в нем. Из сказанного следует, что предлагаемый калориметр работает в принципе калориметру постоянного теплового потока, когда тепловой поток между образцом и оболочкой поддерживается постоянным, а измеряется скорость возрастания температуры образца.

Если C_x изменяется, то будет изменяться также и ΔT , причем, в силу термической инерции системы, ΔT будет отставать от того значения, которое соответствует формуле (2). Термическая инерция прибора не может быть равна нулю; она пропорциональна теплоемкости C_x и обратно пропорциональна теплопроводности слоя 2 рис. 1. С целью уменьшения динамических ошибок из-за термической инерции при измерении теплоемкости, резко изменяющейся в очень небольшом температурном интервале, нагрев калориметра ведется с возможно малой скоростью ($2 \cdot 10^{-3}$ град./сек.). С этой же целью

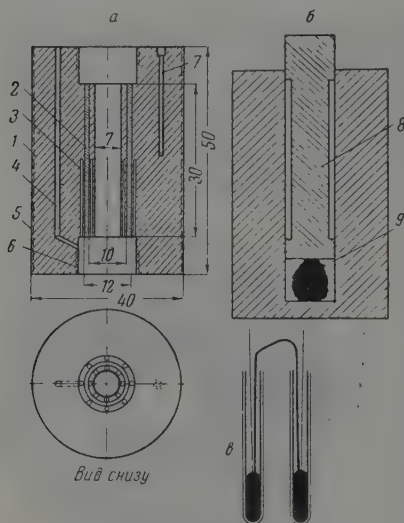


Рис. 2. Конструкция калориметра: 1 — медный термостат; 2 — висмутовая прослойка; 3 — отверстия для термопар; 4 — канал для выводов термопар; 5 — двузаходная резьба для нагревателя; 6 — резьба для пробки; 7 — отверстие для термометра

темпером устанавливался таким, что разность температур между калориметром и оболочкой, контролируемая дифференциальной термопарой, не превышала в процессе нагрева $\pm 0,2^\circ$. Из-за сравнительно высокой теплопроводности висмутового слоя и малой скорости нагрева, возникающая на дифференциальной термопаре термо-э. д. с. очень мала, и для ее измерения нами была применена весьма чувствительная автоматическая компенсационная схема.

Преимущество автоматического компенсатора перед известной схемой гальванометра с обратной связью [4] заключается в том, что гальванометр и фотореле работают как нуль-индикатор, и не происходит потери чувствительности гальванометра. Схема изображена на рис. 3. В отличие от обычного компенсатора, компенсирующий сигнал с потенциометра ЭПП-09 (который на рис. 3 обозначен условно) снимался через делитель напряжения 1 и 2. Вследствие этого все термо-э. д. с., появляющиеся в контактах цепи, уничтожались на делителе, а нелинейность шкалы из-за очень малого тока, текущего по сопротивлению 1 и 2, не составляла 0,1%. При появлении на батарее термопар термо-э. д. с. $\Delta \epsilon$, зеркальце гальванометра поворачивается и разбалансирует фотореле. Двигатель РД будет перемещать каретку до тех пор, пока напряжение на сопротивлении 1 не уравновесит входной сигнал, и зеркальце не вернется в прежнее положение. Уравнение движения зеркальца будет не менее третьего порядка, поэтому понятие критического сопротивления теряет смысл. В схеме применялся гальванометр М 21/5 с критическим сопротивлением 1000 Ω , замкнутый на 20 Ω . Несмотря на это, время установления сигнала (определяемое типом ЭПП-09) составляло 2—5 сек. Однако для быстрых вибраций гальванометр оказывался короткозамкнутым, чем объяс-

в качестве теплоизолятора (2, рис. 1) был выбран висмут, обладающий сравнительно высокой теплопроводностью. Кроме того, его температурный коэффициент расширения близок к меди, что обеспечивает надежный тепловой контакт на внешних поверхностях слоя 2 рис. 1 при изменении температуры. Конструкция калориметра представлена на рис. 2а. Чтобы изготовить висмутовый слой, припаянный своими поверхностями к меди, медный блок на рис. 2б, со свободным скользящим поршнем 8 и кусочком висмута 9 нагревался в водороде (под вакуумом) так, чтобы расплавленный висмут заполнил зазор и припаялся к меди по всей поверхности. Затем детали обрабатывались согласно рис. 2а. В отверстия 3, предварительно заполненные расплавленным припоем, вставлялась батарея из восьми медь-константановых дифференциальных термопар в стеклянных трубочках, также заполненных припоем, согласно рис. 2в, чтобы обеспечить надежный тепловой контакт. Калориметр опускался в дююровский стакан емкостью 250 см³, который для уменьшения тепловых утечек был помещен в грубую адиабатическую оболочку, состоящую из массивного дюралевого блока с нагревателем, теплоизолированного снаружи слоем пенопласта. Гнездо для дюраля в блоке закрывалось сверху дюралевой пробкой. Нагреватель калориметра (180 Ω) питался от двух аккумуляторов ЗСТ-98; нагреватель оболочкой — от автотрансформатора, напряжение на к-

ся устойчивость всей схемы против сотрясений. Переходная характеристика схемы может регулироваться изменением емкости C , без которой она будет либо колеблющейся, либо вовсе неустойчивой. Чувствительность схемы равна чувствительности ЭП-09, умноженной на отношение сопротивлений 1 и 2, при условии достаточного питания фотореле. Фотореле собрано на фотоэлементах СЦВ-3, зашунтированных для стабильности сопротивлениями в $10^9 \Omega$ и помещенных в камеры, обозначенные на рис. 3. Перед камерами находится матовое стекло с наклеенной ленточкой из фольги. На ленточку наводится от осветителя полоска света, отраженная от

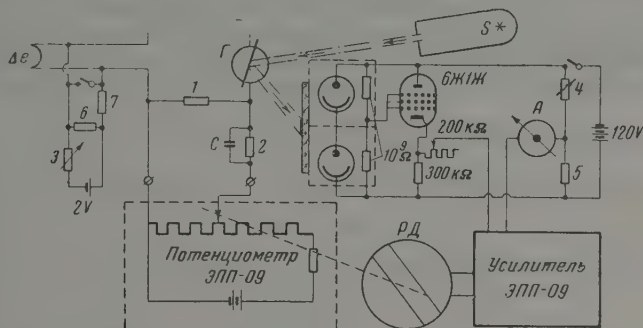


Рис. 3. Автоматический компенсатор: G — гальванометр М 21/5; S^* — осветитель к гальванометру; A — микроамперметр; сопротивления: 1— 10Ω ; 2— $5 \cdot 10^5\Omega$; 5— $10^5\Omega$; 6— 1Ω ; 7— $10^5\Omega$; 3 и 4 — магазины сопротивлений, Р. 33; C — конденсатор КМБГ-6 μF

таблица. Световой поток на фотоэлементе изменяется за счет изменения яркости всей поверхности, а не за счет изменения освещенной площади, как это имеет место в соответствующих конструкциях с призмой. Можно увеличивать яркость светового пучка, не боясь вывести из строя рабочие участки фотоэлементов, и тем увеличить коэффициент усиления. Выходной сигнал делится в 1000 раз делителем в $200 k\Omega$, что стабилизирует нестабильность усилителя постоянного тока. Узлы 6, 7 и ключ служат для расширения шкалы, а также для определения нуля. Ключ был сделан из меди и стабилизирован. Чувствительность схемы, составляя $2 \cdot 10^{-9} V$, ограничивалась полем зрения гальванометра, доходящего иногда до $5 \cdot 10^{-8} V$ в час, что учитывалось в работе. Гальванометр был помещен в воздушный термостат.

Для определения теплоемкости порошок или жидкость помещалась в тонкостенный стаканчик из нержавеющей стали, плотно входящий внутрь гнезда — рис. 2а. Через 3—5 мин. после включения нагревателей устанавливался тепловой режим. Шкала потенциометра градуировалась в величинах теплоемкости [формула (2)]. Для термо-э. д. с., соответствующая величине ΔT_0 (опыт с пустым стаканчиком) компенсировалась делителем 6 и 3 (рис. 3). Цена деления шкалы, пропорциональная коэффициенту E , определялась в опытах с водой и ртутью. Расхождение составляло при воспроизводимости результатов ± 1 —2% и точности записи ЭПП — $0.9 \pm 0.5\%$. Зависимость результатов от теплопроводности и сравнительно невысокая точность связаны с краевыми эффектами, которые уменьшаются по мере увеличения отношения теплопроводности меди к теплопроводности изолятора. Для увеличения точности следует висмут заменить веществом с меньшей теплопроводностью, при этом чувствительность пропорционально возрастает. Это, однако, приведет к увеличению тепловой инерции. Приведенная конструкция в силу малой термической инерции была для исследования процессов типа фазовых переходов второго рода в широком интервале температур. Она удовлетворительно работает от -150° до $+100^\circ C$.

Автор выражает благодарность Л. В. Радужкевичу, В. Ф. Киселеву и К. Г. Красильникову за поддержку и ценные советы в работе.

Академия наук СССР
Институт физической химии

Поступила
12.II.1960

ЛИТЕРАТУРА

1. W. A. Patric, W. A. Kemper, J. Phys. Chem., 42, 369, 1938.
2. А. Бакаев, В. Ф. Киселев, К. Г. Красильников, Докл. АН СССР, 125, 831, 1959.
3. А. В. Лыков, Теория теплопроводности, Гостехиздат, 1952, стр. 331.
4. П. Ф. Куликовский, Электричество, 3, 77, 1941.

CALORIMETER WITH STEADY HEAT FLUX AND AUTOMATIC COMPENSATION

V. A. Bakaeu (Moscow)

Summary

A calorimeter for measuring the anomalies in heat capacities during phase transitions has been described. The heat capacity is proportional to the temperature difference arising at the heat insulation layer around the specimen during continuous heating of the system. A description has also been given of an automatic compensator with galvanometer as zero instrument, which permits the emf to be recorded on an electronic potentiometer with sensitivity of $2 \cdot 10^{-8} \text{ v}$.

ДИСКУССИЯ

ВЕЛИЧИНАХ A И E , ВХОДЯЩИХ В УТОЧНЕННУЮ ФОРМУЛУ
ДЛЯ РАСЧЕТА ВЯЗКОСТИ ЖИДКОСТЕЙ Г. М. ПАНЧЕНКОВА

А. П. Торопов и Г. А. Бродская

Г. М. Панченковым предложена уточненная формула для расчета вязкости жидкостей [4]:

$$\eta = A' \rho^{4/3} T^{1/2} (e^{\epsilon_0/RT} - 1), \quad (1)$$

η — вязкость, ρ — плотность, ϵ_0 — энергия связи, определяемая уравнением (28)

$$\epsilon_0 = 2\lambda_{i0}^0 / \gamma_0. \quad (2)$$

Здесь λ_{i0}^0 — внутренняя скрытая теплота испарения жидкости при абсолютном нуле, γ_0 — координационное число жидкости при абсолютном нуле. Коэффициент A' определяется уравнением (51) из [1] и, согласно Г. М. Панченкову, практически не зависит от температуры. Предложенная формула не содержит никаких эмпирических коэффициентов и позволяет производить абсолютный расчет вязкости жидкостей. Однако такие расчеты не могут быть проведены, так как не все величины, входящие в (1), известны. Поэтому Г. М. Панченков проверяет правильность своей формулы косвенным путем, основываясь на независимости ϵ_0 и A' от температуры. Приняв это во внимание, достаточно в (1) подставить величины вязкости и плотности для двух произвольных выбранных температур, чтобы получив из (1) уравнение:

$$\eta_1 \rho_2^{4/3} T_2^{1/2} / \eta_2 \rho_1^{4/3} T_1^{1/2} = (e^{\epsilon_0/RT_1} - 1) / (e^{\epsilon_0/RT_2} - 1), \quad (3)$$

определить из него величину ϵ_0 . Затем из (1) находится A' . После этого можно рассчитать вязкость жидкости при любой другой температуре, нужно лишь знать ее плотность при этой температуре.

Такие расчеты Г. М. Панченков произвел для ряда жидкостей самой различной природы [1, 2]. Из приводимых им результатов расчетов видно, что в ряде случаев расхождения между экспериментально найденными и рассчитанными по (1) величинами вязкости составляют несколько процентов. В [1] автор считает такое совпадение хорошим (стр. 1401), в работе же, посвященной расчетам вязкости жидких металлов [2], объясняет расхождения неточностью экспериментальных данных.

Если при измерении вязкости какой-либо жидкости выралась некоторая систематическая ошибка, то между истинной и экспериментально найденной вязкостью будет существовать простое соотношение:

$$\eta_{\text{эсп}} = n\eta_{\text{ист}}, \quad (4)$$

где n может принимать самые различные положительные значения, но в серии измерений, проводимых на одном и том же приборе (как это и делается в подавляющем большинстве случаев при исследованиях зависимости вязкости от температуры), остается постоянной. Нетрудно заметить, что расчет вязкости по способу Г. М. Панченкова не может обнаружить такого рода ошибку; она изменит только величину A' , рассчитанные же значения вязкости будут совпадать с экспериментально найденными. Следовательно, ошибки измерений при расчетах вязкости по этому способу должны проявляться в виде беспорядочных по величине и по знаку отклонений экспериментально полученных значений вязкости от рассчитанных. Если рассмотреть отклонения расчетов от эксперимента, приводимые в [1, 2], легко заметить, что в большинстве случаев для 14 жидкостей из общего числа 21) с изменением температуры такого беспорядочного разброса отклонений не наблюдается, а обнаруживается довольно отчетливая закономерность изменения их величин. Чаще всего при более низких температурах наблюдаются отрицательные отклонения, с повышением температуры они постепенно уменьшаются и наконец меняют знак. С дальнейшим повышением температуры положительные отклонения растут, проходя через максимум и выше некоторой температуры снова становятся отрицательными. Как положительные, так и отрицательные отклонения в ряде случаев достигают нескольких процентов. Такая многократно на-

блюдаемая отчетливая закономерность наводит на мысль о том, что или обе величины считающиеся не зависимыми от температуры — A' и ϵ_0 , или одна из них, вопреки мнению Г. М. Панченкова, заметно изменяются с температурой. Для того, чтобы проверить это предположение, можно воспользоваться уравнением:

$$\frac{1}{\eta} \frac{d\eta}{dT} = \frac{4}{3} \frac{1}{\rho} \frac{d\rho}{dT} + \frac{1}{2T} = \frac{\epsilon_0 \epsilon^{\epsilon_0/RT}}{RT^2 (\epsilon^{\epsilon_0/RT} - 1)}, \quad (5)$$

которое получается логарифмированием и последующим дифференцированием по температуре (ϵ_0 и A' при этом рассматриваются согласно Г. М. Панченкову, как

Таблица 1

Значения A' и ϵ_0 (ккал/моль) для некоторых веществ при разных температурах, вычисленные по уравнениям (5) и (1)

T	lg A'	ϵ_0	T	lg A'	ϵ_0	T	lg A	ϵ_0
н-Гептан [3,4]			Толуол [4,5]			Ртуть [2]		
313,2	5,287	1,79	273,5	6,952	2,20	273,2	5,254	0,595
363,2	—	2,02	373,2	6,091	1,86	373,2	—	0,407
413,2	—	2,34	Метилэтилкетон [4,5]			423,2	—	0,230
463,2	6,978	2,30				463,2	4,539	0,050
н-Октан [4,5]			273,5	4,243	0,663	473,2	—	< 0
285,4	5,178	2,06	321,9	4,036	0,758	573,2	—	< 0
371,7	5,176	2,07	349,5	5,961	0,800	Водород [1]		
Метанол [4,5]			Натрий [2]			15,39	3,291	0,047
273,2	6,872	2,43	393,6	5,743	1,54	18,95	3,867	0,024
333,2	6,749	2,60	562,2	5,861	1,36	19,66	—	< 0
Этанол [4,5]			Олово [2]			Азот [1,7]		
280,4	6,430	3,42	613,2	5,402	1,29	69,1	5,745	0,4
346,8	6,347	3,98	973,2	5,520	1,05	80,0	—	0,28
Пропанол-1 [4,5]			Нитрат натрия [4,5]			90,1	—	0,17
280,6	6,004	4,35	591,2	5,481	5,33	111,2	5,528	0,03
366,3	7,979	4,40	681,2	5,382	3,61	Хлор [1]		
Этилиодид [4,5]			Нитрат лития [4,6]			202,7	5,773	0,63
273,5	6,975	1,61	543,2	5,587	3,89	228,1	5,786	0,66
336,9	5,013	1,56	573,2	5,318	4,43			
Бензол [4,5]			676,2	6,696	9,37			
283,2	5,709	2,61	Хлорное олово [1]					
333,2	5,878	2,29	303,2	6,015	3,06			
			333,2	5,664	0,88			

постоянные). Определив истинные температурные коэффициенты вязкости и плотности какого-либо вещества при некоторой температуре и подставив эти величины в (1) мы можем найти значение ϵ_0 при этой температуре. Зная ϵ_0 мы сможем найти и значение A' при той же температуре, воспользовавшись (1). Если такие расчеты произведем при нескольких температурах, то, согласно Г. М. Панченкову, при всех взятых температурах величины ϵ_0 и A' должны практически совпадать. Подобные расчеты были проделаны нами для некоторых веществ. Истинные температурные коэффициенты вязкости и плотности определялись или графическим дифференцированием по плавным кривым или аналитически из интерполяционных формул, если последние имелись. Результаты расчетов приведены в табл. 1.

Как видно из таблицы, для большинства приведенных в ней веществ значения η и ϵ_0 , вычисленные для разных температур, действительно обнаруживают заметные изменения. В двух же случаях — для ртути и водорода — выше некоторой темпе

и ϵ_0 становится отрицательной, что приводит к получению из (1) отрицательных значений также и для A' .

Высказанное выше предположение можно дополнительно проверить и другим путем, а именно — воспользовавшись методом расчета A' и ϵ_0 , применяемым Г. М. Панченковым. Величину ϵ_0 Г. М. Панченков получает решением уравнения (3), а затем по (1) находит значение A' . Так как ϵ_0 и A' рассматриваются Г. М. Панченковым как величины постоянные, то при вычислении A' можно использовать данные для любой температуры. При этом во всех случаях должны получаться практически одинаковые значения A' . С другой стороны, если A' известен, т. е. найден решением (1) при некоторой температуре, то после подстановки в (1) найденного значения A' решение (1) относительно ϵ_0 при любой температуре должно дать значение ϵ_0 , практически совпадающее с найденным.

Таблица 2

Результаты расчетов по уточненной формуле Г. М. Панченкова [1]

Вещество	Вода	Хлорное олово	Аллилииперидилтиомочевина	Ртуть
T_1	273,2	298,2	298,2	253,2
η_1	$17,938 \cdot 10^{-8}$	$9,19 \cdot 10^{-8}$	3,5309	$1,85 \cdot 10^{-2}$
ρ_1	0,99987	2,2235	1,0805	13,6450
T_2	323,2	323,2	323,2	423,2
η_2	$5,492 \cdot 10^{-8}$	$6,60 \cdot 10^{-8}$	0,55029	$1,09 \cdot 10^{-2}$
ρ_2	0,98807	2,1496	1,0669	13,2319
T_3	373,2	343,2	353,2	623,2
η_3	$2,839 \cdot 10^{-8}$	$6,00 \cdot 10^{-8}$	0,09333	$0,90 \cdot 10^{-2}$
ρ_3	0,95838	2,0966	1,0451	12,7546
ϵ_0^1	3927,9	1774	13979	288,2
A'^2	$7,8309 \cdot 10^{-7}$	$9,6692 \cdot 10^{-6}$	$1,049 \cdot 10^{-11}$	$4,609 \cdot 10^{-5}$
η_2^3	$6,275 \cdot 10^{-8}$	$7,16 \cdot 10^{-8}$	0,58670	$1,214 \cdot 10^{-2}$
$\Delta \eta^4$	+14,3%	+8,5%	+6,6%	+11,0%
A'^4	$6,8541 \cdot 10^{-7}$	$8,9142 \cdot 10^{-6}$	$9,839 \cdot 10^{-12}$	$4,137 \cdot 10^{-5}$
$\Delta A'$	-12,5%	-7,8%	-6,2%	-10,3%
ϵ_0^5	3842,7	1725	13938	263,2
$\Delta \epsilon_0$	-2,2%	-2,8%	-0,3%	-8,8%

Вычисленная по данным для T_1 и T_3 . ² Вычисленный по данным для T_1 или T_3 . ³ Рассчитанная по Г. М. Панченкову [1]. ⁴ Вычисленный для T_2 при ϵ_0 , вычисленной по данным для T_1 и T_3 . ⁵ Вычисленная для T_2 при A' , вычисленном по данным для T_1 или T_3 .

ещее с вычисленным по уравнению (3). Если же A' и ϵ_0 не являются постоянными величинами, т. е. изменяются с температурой, то совпадающие значения A' и ϵ_0 будут получаться только для тех температур, которые использованы в (3) при вычислении A' и ϵ_0 будут иными.

Такие расчеты нами проведены для следующих четырех веществ: воды, хлорного олова, аллилииперидилтиомочевина и ртути. При расчетах нами использованы те же экспериментальные данные и те же температурные интервалы, какие использовались Г. М. Панченковым [1, 2, 8]. Результаты расчетов приведены в табл. 2.

Как видно из табл. 2, значения ϵ_0 и A' , найденные двумя описанными выше способами, не совпадают и расхождение между ними* превышает то, которое может быть связано с ошибками опыта. Следовательно, для приведенных в табл. 2 веществ наблюдается заметное изменение с температурой ϵ_0 и A' . Из табл. 2 видно также, что и расхождение по методу Г. М. Панченкова для этих веществ приводит к значительным ошибкам. Таким образом расчетами, проведенными по методу Г. М. Панченкова, еще подтверждается предположение о том, что A' и ϵ_0 изменяются с температурой.

Расчетом по методу Г. М. Панченкова можно также продемонстрировать, что ϵ_0 следовательно, A' могут принимать отрицательные значения. Используя данные по ртути: при $473,2^\circ \text{K}$, $\eta = 0,0101$ и $\rho = 13,1127$ и при $573,2^\circ \text{K}$, $\eta = 0,0092$ и $\rho = 2,8747$ [5, 9], получаем следующие значения: $\epsilon_0 = -305 \text{ кал/мол}$, $A' = -5,42 \times 10^{-7}$. Разумеется, точность расчета ϵ_0 и A' здесь невелика, так как в этом температурном интервале при отрицательных значениях ϵ_0 правая часть (3) медленно изменяется с изменением ϵ_0 , однако, даже допуская, что величина вязкости ртути при 200° определена с ошибкой -1% , а при 300° — с ошибкой $+1\%$, мы и в этом случае получим отрицательное значение энергии связи.

* Кроме лишь одной цифры.

Выводы

Таким образом, показано, что ε_0 и A' , входящие в уравнение Г. М. Панченкова (1), являются функциями температуры и могут принимать отрицательные значения, что противоречит тому физическому смыслу, какой придастся им автором. Отсюда следует, что некоторые теоретические положения, при помощи которых Г. М. Панченков обосновывает предложенную им формулу для расчета вязкости жидкостей, нуждаются в пересмотре.

Среднеазиатский государственный
университет им. В. И. Ленина

Поступила
21.I.1960

ЛИТЕРАТУРА

1. Г. М. Панченков, Ж. физ. химии, **24**, 1390, 1950.
2. Г. М. Панченков, Докл. АН СССР, **79**, 985, 1951.
3. Х. Халилов, Ж. экспер. и теор. физ., **9**, 335, 1939.
4. Техническая энциклопедия. Справочник физических, химических и технологических величин, т. 5, М., 1930.
5. Техническая энциклопедия. Справочник физических, химических и технологических величин, т. 10, М., 1933.
6. R. S. D a n t i n a, Z. anorgan. Chem., **175**, 1, 1928.
7. Справочник химика, т. I, М.—Л., 1951, стр. 878.
8. Г. М. Панченков, Теория вязкости жидкостей. Гостоптехиздат, М.—Л., 1947.
9. Техническая энциклопедия. Справочник физических, химических и технологических величин, т. 2, М., 1929.

О СТАТЬЕ А. П. ТОРОПОВА И Г. А. БРОДСКОЙ ОБ УТОЧНЕННОЙ ФОРМУЛЕ РАСЧЕТА ВЯЗКОСТИ ЖИДКОСТЕЙ Г. М. ПАНЧЕНКОВА»

Г. М. Панченков

В рассматриваемой статье [1] А. П. Торопов и Г. А. Бродская путем расчетов пытаются доказать, что величины A' и ϵ_0 , входящие в выведенную мной формулу вязкости жидкостей, зависят от температуры.

То, что величина A' зависит от температуры вытекает, как это было показано в моих работах [2], из физического смысла этой величины и поэтому не требует новых доказательств. В коэффициент A' входит множитель $e^{-\Delta S/R}$. Величина ΔS есть изменение энтропии при образовании одной связи в расчете на один моль. Эту величину, как это было показано мной [2], только в узком температурном интервале можно считать не зависящей от температуры. Найти зависимость A' от температуры пока затруднительно из-за отсутствия экспериментальных данных по зависимости координационного числа жидкостей от температуры. Поэтому я в своих расчетах вязкости жидкостей исходил из упрощающего предположения, что A' в широком температурном интервале остается постоянной. Такое предположение приводит к тому, что в некоторых случаях рассчитанные значения вязкости отличаются от экспериментальных на несколько процентов, и, кроме того, иногда наблюдается закономерное отклонение рассчитанных значений вязкости от экспериментальных.

Доказательство зависимости величины A' от температуры, примененное А. П. Тороповым и Г. А. Бродской, основано на расчете этой величины из моей формулы вязкости жидкостей путем подстановки в нее рассчитанных значений ϵ_0 при различных температурах.

Для расчета величины ϵ_0 при различных температурах А. П. Торопов и Г. А. Бродская применяют два метода, с которыми нельзя согласиться, так как при расчетах авторы полагают, что A' не зависит от температуры. Очевидно, если положить A' не зависящей от температуры, то при расчетах величины ϵ_0 , вопреки ее смыслу, будет получаться некоторый ход ее с температурой. Последний не будет отвечать свойствам величины ϵ_0 , а будет обязан своим появлением некорректности такого способа расчета. Разумеется, что использовать полученные таким образом значения ϵ_0 для расчета величины A' при различных температурах нельзя. Однако авторы это делают.

Первый метод, предложенный А. П. Тороповым и Г. А. Бродской для расчетов значений величины ϵ_0 при различных температурах, заключается в том, что величина вычисляется из выражения:

$$\frac{1}{\eta} \frac{d\eta}{dT} = \frac{4}{3} \frac{1}{\rho} \frac{d\rho}{dT} + \frac{1}{2T} - \frac{\epsilon_0 e^{\epsilon_0/RT}}{RT^2 (e^{\epsilon_0/RT} - 1)}, \quad (1)$$

которое получается логарифмированием и последующим дифференцированием предположенного мной уравнения температурной зависимости вязкости жидкостей, при условии, что A' и ϵ_0 считаются постоянными величинами. Очевидно, что это условие не годится для выяснения вопроса, зависит ли ϵ_0 от температуры, поскольку в нем не учтено, что A' есть функция температуры. Однако, несмотря на это, авторы [1], пользуясь выражением (1), вычисляют значение ϵ_0 для данной температуры и затем, подставляя это значение в формулу для вязкости жидкостей, находят значение A' . При этом для разных температур они получают различные значения ϵ_0 , вопреки смыслу этой величины. Эти значения, как уже было сказано, оказываются различными для разных температур потому, что в выражении (1) не учтена зависимость A' от температуры.

Если учесть, что A' зависит от температуры, то после логарифмирования и дифференцирования получится не выражение (1), а

$$\frac{1}{\eta} \frac{d\eta}{dT} = \frac{1}{A'} \frac{dA'}{dT} + \frac{4}{3} \frac{1}{\rho} \frac{d\rho}{dT} + \frac{1}{2T} - \frac{\epsilon_0 e^{\epsilon_0/RT}}{RT^2 (e^{\epsilon_0/RT} - 1)}. \quad (2)$$

Появление в правой части уравнения (2) слагаемого $\frac{1}{A'} \frac{dA'}{dT}$ существенно отразится на вычисляемом значении величины ϵ_0 . Величина A' имеет порядок, лежащий в пределах 10^{-5} — 10^{-6} , поэтому, даже при небольших значениях производной dA'/dT величина $(1/A')(dA'/dT)$ будет достаточно большой и ею пренебрегать нельзя.

Использовать выражение (2') для расчетов значения ϵ_0 нельзя, так как для этого нужно знать не только значение A' , но и dA'/dT . Последние величины, как сказано выше, в настоящее время из-за отсутствия экспериментальных данных по зависимости координационных чисел жидкостей от температуры рассчитать нельзя.

Второй метод проверки, зависят ли величины A' и ϵ_0 от температуры, примененный А. И. Тороповым и Г. А. Бродской, также не состоялся. Они предлагают рассчитывать значение ϵ_0 для разных температур из выражения:

$$\eta_1 \rho_2^{4/3} T_2^{1/2} / \eta_2 \rho_1^{4/3} T_1^{1/2} = (e^{\epsilon_0/RT_1} - 1) / (e^{\epsilon_0/RT_2} - 1),$$

которое получается, если записать предложенную мной формулу вязкости для разных температур и разделить полученные выражения друг на друга, при условии, что A' не зависит от температуры. Но именно это условие делает формулу (3) непригодной для выяснения вопроса о том, зависит ли ϵ_0 от температуры. При выяснении этого вопроса необходимо учитывать, что A' зависит от температуры, и тогда выражение (3) нужно записать:

$$\eta_1 \rho_2^{4/3} T_2^{1/2} / \eta_2 \rho_1^{4/3} T_1^{1/2} = A'_1 (e^{\epsilon_0/RT} - 1) / A'_2 (e^{\epsilon_0/RT} - 1), \quad (4)$$

т. е. в виде одного уравнения с тремя неизвестными. Очевидно, что решить таким образом, зависит или нет величина ϵ_0 от температуры, нельзя.

Таким образом формулы (1) и (3) принципиально не пригодны для решения вопроса о зависимости величины ϵ_0 от температуры, а следовательно, и выводы Л. П. Торопова и Г. А. Бродской, основанные на расчетах по этим формулам значений ϵ_0 , неверны.

При этом нужно заметить, что и арифметические расчеты проведены авторами недостаточно корректно. Это можно видеть из таблицы, в которой приводятся коэффициенты вязкости, рассчитанные по моей формуле с использованием значений A' и ϵ_0 , вычисленных А. П. Тороповым и Г. А. Бродской [1], экспериментальные значения коэффициентов вязкости и процент расхождения $\Delta\eta\%$.

Вещество	T, °K	Вычисленные А. П. Тороповым и Г. А. Бродской		η		$\Delta\eta, \%$
		$\lg A'$	$\epsilon_0, \text{ ккал/моль}$	вычисл.	экспер.	
Водород	15,39	$\bar{3},291$	0,0474	$9,14 \cdot 10^{-4}$	$2,00 \cdot 10^{-4}$	357
	18,95	$\bar{3},867$	0,0245	$8,87 \cdot 10^{-4}$	$1,43 \cdot 10^{-4}$	586
Четыреххлористое олово	303,2	$\bar{6},015$	3,06	$8,75 \cdot 10^{-3}$	$1,43 \cdot 10^{-3}$	9
	333,2	$\bar{5},664$	0,88	$6,14 \cdot 10^{-3}$	$6,30 \cdot 10^{-3}$	1
Азотнокислый натрий	591,2	$\bar{5},481$	5,33	$16,02 \cdot 10^{-2}$	$2,78 \cdot 10^{-2}$	471
	681,2	$\bar{5},382$	5,61	$1,90 \cdot 10^{-2}$	$1,9 \cdot 10^{-2}$	0
Ртуть	273,2	$\bar{5},254$	0,595	$1,92 \cdot 10^{-2}$	$1,68 \cdot 10^{-2}$	12
	463,2	$\bar{4},539$	0,05	$1,288 \cdot 10^{-2}$	$1,026 \cdot 10^{-2}$	25

Если расчет был сделан правильно, то рассчитанные значения вязкости должны были бы совпадать с экспериментальными, так как именно из них А. П. Торопов и Г. А. Бродская рассчитывали значения $\lg A'$ и ϵ_0 , приведенные в таблице. Таким образом обратный расчет показывает некорректность расчетов А. П. Торопова и Г. А. Бродской.

В случае ртути нельзя рассчитывать A' и ϵ_0 для узкого интервала температур, так как поскольку при этом из-за того, что $\eta_1 \rho_2^{4/3} T_2^{1/2} / \eta_2 \rho_1^{4/3} T_1^{1/2} \approx 1$ ошибка в определении величин A' и ϵ_0 может быть очень велика. Отрицательные значения для ϵ_0 и A' при этом, разумеется, не получаются. То, что по вычислениям А. П. Торопова и Г. А. Бродской ϵ_0 и A' оказались отрицательными, объясняется тем, что они использовали узкий интервал температур и некорректно проводили расчеты.

Выводы

С методами расчета величин A' и ϵ_0 , примененными А. П. Тороповым и Г. А. Бродской для доказательства зависимости этих величин от температуры, нельзя согласиться, а следовательно, и выводы, полученные на основании этих расчетов, не имеют убедительной мотивировки.

Московский государственный университет им. М. В. Ломоносова

Поступила
10.III.1960

ЛИТЕРАТУРА

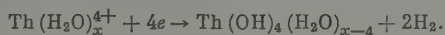
1. А. П. Торопов и Г. А. Бродская, Ж. физ. химии, **34**, 1879, 1960.
2. Г. М. Панченков, Ж. физ. химии, **24**, 1390, 1950.

ПИСЬМА В РЕДАКЦИЮ

К ВОПРОСУ О РАЗРЯДЕ ИОНОВ ЛАНТАНА НА РТУТНОМ КАТОДЕ

Лю Шоу-жун, Г. М. Будов и С. И. Жданов

Амальгамы лантана и ряда других редкоземельных элементов обычно получают электролизом спиртовых растворов безводных хлоридов на ртутном катоде [1]. Имеется указание [2] на образование амальгамы лантана при электролизе водных растворов, но с очень малым выходом по току. Вместе с тем высказывалось мнение [3], что трех- и четырехвалентные металлы при электролизе водных растворов их солей амальгам вообще не образуют. Машеком [4] были развиты представления, согласно которым, полярографические волны, наблюдающиеся в водных растворах ряда высоковалентных металлов (Th, Zr, Al, Be), ранее приписывавшиеся разряду ионов с образованием амальгам, в действительности соответствуют выделению водорода из молекул воды гидратной оболочки, например по реакции:



Эту точку зрения разделяют также Я. П. Страдинь и Л. К. Лепинь [5].

Полярографическая литература содержит крайне противоречивые сведения о механизме разряда ионов высоковалентных, и в том числе редкоземельных, элементов. Так, в работе [6] содержится вывод, что ионы Zr^{4+} из водных растворов разряжаются на ртутном катоде до металла, причем авторы утверждают, что они наблюдают образование осадка металлического циркония. По мнению Ноддака и Брукля [7], ионы редкоземельных элементов из водных растворов разряжаются на капельном ртутном катоде с образованием амальгам. Хамагуши, Хашимото и Нарусава [8] считают, что волна лантана на фоне KCl или $(\text{CH}_3)_4\text{NCl}$ соответствует разряду до металла, а волна иттрия — выделению водорода. Основанием для такого заключения послужил тот факт, что в растворах YCl_3 выделяются пузырьки газа, а в растворах LaCl_3 — нет. Трейндр [9] отрицает возможность восстановления лантанидов на ртутном катоде из водных растворов до металлического состояния. Продуктами электролиза он считает соединения типа LaHX_2 , LaH_2X и LaH_3 , где X — галоид.

В последнее время было опубликовано несколько работ [10], в которых изучалось образование амальгам при электролизе водных растворов солей редкоземельных элементов, содержащих сильные комплексообразователи, и было показано, что из этих растворов амальгамы могут быть получены с высокими выходами по веществу.

Таким образом, литературные данные свидетельствуют по крайней мере о трудности образования амальгам при электролизе водных растворов простых солей редкоземельных элементов. Очевидно, это объясняется главным образом высокой активностью амальгам редкоземельных элементов, которые легко выделяют водород из воды, причем в результате наступает гидролиз с выделением основных солей. Возможно, что комплексообразование предотвращает гидролиз и благоприятствует образованию амальгам тем, что металл остается в растворенном состоянии.

При исследовании механизма разряда ионов многовалентных металлов решающее значение должен иметь анализ ртутной фазы в процессе электролиза. Нами была предпринята попытка применить метод меченых атомов для обнаружения лантана в ртутной фазе при электролизе водных растворов его соли с ртутным катодом.

Для получения амальгамы и определения ее концентрации нами использована методика, разработанная для измерения токов обмена на амальгамах [11]. Электролиз ртутным катодом водных растворов хлористого лантана различных концентраций, меченных изотопом La^{140} , проводился в верхней ячейке. Раствор и ртуть в процессе электролиза перемешивались струей очищенного азота. Потенциал катода поддерживался равным — 2,1 В (н. к. э.). Электролиз при более отрицательных потенциалах проводился из-за обильного выпадения основных солей лантана. Для поддержания постоянства кислотности раствора в ячейку периодически добавлялась дважды пересчитанная соляная кислота. После пропускания примерно трехкратного количества электричества, необходимого для полного осаждения лантана, часть ртути сливалась

в нижнюю ячейку без прекращения электролиза. Трубка, по которой переливалась ртуть, на 6 мм поднималась над дном верхней ячейки, этим предотвращалось попадание активного раствора в нижнюю ячейку. Затем ртуть обрабатывалась 0,1 *N* раствором соляной кислоты, который предварительно насыщался азотом. Ртуть и раствор перемешивались магнитной мешалкой. Периодически в цилиндрическую стеклянную кюветку с двойными стенками, надетую на цилиндрический стеклянный γ -счетчик Гейгера—Мюллера, передавалась проба раствора, которая после измерения радиоактивности возвращалась в раствор.

При низкой кислотности раствора (0,01 *M*) потенциал — 2,1 В достигался при столь малой плотности тока, что даже 10—11-часовой электролиз не дал амальгамы лантана в измеримой концентрации. При кислотности раствора 0,03—0,4 *M* 2—5-часовым электролизом 0,1 *M* хлористого лантана были получены 10^{-4} — 10^{-2} *M* амальгамы лантана. В более кислых растворах плотность тока настолько высока, что раствор нагревается до кипения.

Отсутствие образования заметных количеств амальгамы лантана в слабокислых растворах, по всей вероятности, следует объяснить интенсивным выпадением основных солей в этих условиях.

Так как электричество в основном расходуется на выделение водорода, то выход по току не высок (менее 0,1%). Таким образом, эти опыты показывают, что разряд попов лантана с образованием амальгамы при электролизе водных растворов хлористого лантана с ртутным катодом хотя и имеет место, но с очень небольшим выходом по току.

Академия наук СССР
Институт электрохимии

Поступила
5.IV.1960

ЛИТЕРАТУРА

1. «Неорганические синтезы», Сборник 1, ИИЛ, М., 1951, стр. 19.
2. B. S. Hopkins, L. F. Audrieth, Trans. Amer. Electrochem. Soc., 66, 135, 1934.
3. W. Kettembeil, Z. anorgan. Chem., 38, 213, 1904.
4. J. Mašek, Coll. Czech. Chem. Comm., 24, 159, 1959.
5. Я. П. Страдинь, Л. К. Лепинь, Изв. АН ЛатвССР, № 9, 97, 1958.
6. A. W. Laubengayer, R. B. Eaton, J. Amer. Chem. Soc., 62, 2704, 1940.
7. W. Noddack, A. Bruckl, Angew. Chem., 50, 362, 1937.
8. H. Hamagushi, J. Hashimoto, Y. Narusawa, J. Chem. Soc. Japan, 80, 43, 1959.
9. L. Treindl, Coll. Czech. Chem. Comm., 24, 3389, 1959.
10. Д. И. Рябчиков, Ю. С. Скляренок, Н. С. Строганова, Ж. неорганич. химии, 1, 1954, 1956; 4, 1955, 2682, 1959; В. П. Шведов, Фу И-бей, Радиохимия, 2, 57, 1960.
11. В. В. Лосев, Докл. АН СССР, 100, 111, 1955; Г. М. Будов, В. В. Лосев, Докл. АН СССР, 122, 90, 1958.



ЕВГЕНИЙ ИВАНОВИЧ ШПИТАЛЬСКИЙ

(К 80-летию со дня рождения)

12 октября 1959 г. исполнилось 80 лет со дня рождения выдающегося советского физико-химика, профессора Московского университета, члена-корреспондента Академии наук СССР Евгения Ивановича Шпитальского.

Евгений Иванович родился в г. Ардагане Карской области. После окончания гимназии в Ереване Евгений Иванович поступил на физико-математический факультет Московского университета. Однако в университетском обучении у Евгения Ивановича казался вынужденный перерыв, так как он был выслан в Тулу за участие в студенческих беспорядках. В 1904 г. Евгений Иванович окончил университет и был оставлен проф. И. А. Каблуковым при университете для подготовки к профессоруре. Эта подготовка началась с длительной научной командировки за границу, где Евгений Иванович более двух лет (1905—1907 гг.) проработал в области катализа в Гейдельберге в лаборатории Бредига — одного из ведущих тогда физико-химиков Германии.

По возвращении в Москву Евгений Иванович занимает место ассистента при кафедре неорганической химии и организует большой физико-химический практикум по классической оствальдовой программе. Он составляет руководство к этому практикуму и лично руководит им до первой мировой войны, когда приобретает энергичного помощника в лице своего ученика Н. П. Пестина, впоследствии профессора Московского университета. К этому же времени относится начало классических работ И. Шпитальского по гомогенному катализу, которые можно считать центром его научной деятельности. Это было время, когда в гетерогенном катализе господствовал «двинутый» Нернстом и Боденштейном принцип диффузионной кинетики. Этот принцип отодвигал на задний план химизм взаимодействия субстрата с поверхностью катализатора, игнорировал образование промежуточных продуктов в катализе и выдвигал на первый план стадии, определяющей скорость, подвод и отвод реагирующих веществ и продуктов реакции к поверхности и от поверхности катализатора. В области гомогенного катализа формировались основы теории промежуточных продуктов, которой приходилось выдерживать сильный напор со стороны оствальдовой энергетики, рассматривавшей катализ вне материального контакта субстрата и катализатора, что нашло свое выражение в принципе независимого протекания реакций в общей среде. В химической кинетике господствовал закон действия масс в классической форме Гельмгольца и Ваггера с целыми и неизменными порядками, под которые старались, тем или иным способом, подводить химические и каталитические процессы.

В период работы у Бредига Е. И. Шпитальскому удалось открыть новый тип каталитического процесса — разложение перекиси водорода бихроматом, который оказался кинетически совершенно отличным от всех до сих пор известных случаев катализа.

Нужно сказать, что этот процесс еще ранее изучался крупным немецким химиком Зенфельдом, но этот исследователь не учел каталитического характера данной реакции. Это упущение Ризенфельда в значительной мере обуславливалось резко аномальным характером процесса, когда скорость реакции вместо того, чтобы падать с

уменьшением концентрации перекиси водорода, согласно закону действующих масс, возрастала к концу реакции, давая на кривой острый максимум. Это необычайное явление не было понято Ризенфельдом и другими исследователями и помешало истолкованию этого процесса как каталитического. Е. И. Шпитальский сделал крупный шаг вперед, не только допустив возможность, но и доказав в результате дискуссии с Ризенфельдом, что этот процесс, несмотря на всю аномальность своей кинетики, является подлинным катализом. Мало того, он показал, что, меняя pH среды, можно для этого катализа получить всю гамму переходов от обычного первого порядка к резко аномальным кинетическим кривым. Эта работа Е. И. Шпитальского сыграла большую роль в теории промежуточных продуктов потому, что она впервые столкнула его с другими исследователями с явным отступлением от классического закона действия масс в области гомогенного катализа, где уже никак нельзя было думать ни о диффузионных, ни о каких-либо других осложнениях процесса.

Мировая война 1914 г. и последовавшая затем гражданская война отвлекли Е. И. Шпитальского от его научных работ и заставили переключиться на оборонно-химические проблемы. В сотрудничестве с А. В. Памфиловым, К. Г. Хомяковым, Е. А. Шиловым, В. В. Разумовским, Э. Ф. Краузе, М. Г. Столицей, В. С. Зайковым, Е. Ф. Денггиным и другими он выполняет ряд важных работ. Сюда относится получение хлоратных и перхлоратных порохов (вместе с электрохимическим получением самих хлоратов и перхлоратов) и синтез фосгена, весьма удачно производственно оформленный Е. И. Шпитальским и его сотрудниками.

Следует отметить ярко выраженную у Евгения Ивановича черту изобретательства, опирающегося на прочный научный фундамент. После Е. И. Шпитальского остался ряд ценных и разнообразных патентов и технических предложений, как, например, процесс электрохимической полировки металлов, новый способ получения свинцовых белил (носящий его имя), оригинальный метод консервации фруктов при помощи сернистой кислоты, большой ряд предложений военного характера. Изобретательство было, по-видимому, наследственной чертой Шпитальских: им увлекался отец Евгения Ивановича, оно же перешло к сыну Евгения Ивановича — талантливому, рано умершему инженеру-исследователю.

В период мировой и гражданской войн у Евгения Ивановича установились тесные научные связи с крупнейшим советским химиком — Николаем Дмитриевичем Зелинским. Н. Д. Зелинский всегда был в курсе прикладных работ Е. И. Шпитальского и много помог в разработке активного катализатора для получения фосгена. Со своей стороны, Е. И. Шпитальский в кратчайший срок поставил производство безводного хлористого алюминия для крекинга нефти, который срочно разрабатывался Н. Д. Зелинским в первые годы гражданской войны для покрытия нужд Красной Армии в горючем.

Характерной чертой деятельности Евгения Ивановича была также забота о мирном использовании объектов военной химии, для чего им был разработан и проведен в жизнь широкий план научно-исследовательских и опытных работ. В частности, Евгения Ивановича следует считать пионером производства в нашей стране ацетилцеллюлозы, ацетатного шелка, пленок и лаков.

Последовавший после окончания мировой и гражданской войн восстановительный период потребовал от Евгения Ивановича активного переключения на воссоздание народного хозяйства Советского Союза, в частности, на восстановление химической промышленности. В 1923 г. Евгений Иванович получает возможность вновь вернуться к своим работам по гомогенному катализу и электрохимии в Московском университете, где он в это время руководил лабораторией физической химии. В развитии этих работ в первое время его основными помощниками являются его ученики, ныне покойный профессор Московского университета Н. Н. Петин и его прежние сотрудники — А. Д. Функ, Э. Ф. Краузе, А. В. Памфилов, В. С. Зайков, П. И. Соколов и другие. Скоро к этим работам Е. И. Шпитальского присоединяется целая группа исследователей следующего поколения — В. В. Монбланова, В. А. Командин, Б. А. Конаволова, Е. И. Бузова, З. А. Иоффа, Н. И. Кобозев, Н. И. Некрасов, М. Я. Каган, А. Л. Шнейерсон, В. В. Пичета и другие. Вокруг Е. И. Шпитальского создается значительная каталитическая и электрохимическая школа, к которой впоследствии присоединяются еще более молодые исследователи. Многие из учеников Евгения Ивановича ныне выросли в самостоятельных ученых и занимают кафедры в наших вузах.

На примере классического катализа распада перекиси водорода, катализируемого множеством веществ, Е. И. Шпитальский в 1924—1929 гг. начинает строить количественную теорию промежуточных продуктов, которая допускает не только самый факт образования таких продуктов, но учитывает их термодинамические свойства, кинетику их распада, зависимость этих параметров от среды и термодинамическую конкуренцию различных промежуточных продуктов, образующихся между катализатором и субстратом.

Теория многих промежуточных продуктов является совершенно оригинальным достижением Е. И. Шпитальского, с которым связано его имя в науке.

В 1927 г. Е. И. Шпитальский публикует свою основную обобщающую работу по теории промежуточных продуктов, которая до сих пор является основополагающим трудом в этой области. В этой работе он формулирует ряд кратких и точных положений, которыми до сих пор приходится пользоваться всякому, кто хочет математически

обрабатывать процессы гомогенного катализа и познавать их физико-химический механизм. Сущность этих положений заключается в следующем:

1) катализатором является такое вещество, которое переводит реагирующие продукты (субстраты) в реакционно-способное состояние через образование неустойчивого промежуточного соединения между катализатором и субстратом; 2) образование промежуточного соединения является весьма быстро протекающим обратимым процессом, равновесие которого определяется величиной термодинамического сродства катализатора к субстрату; 3) неустойчивое промежуточное соединение, ведущее катализ, относительно медленно распадается на продукты реакции и молекулу катализатора; 4) общая скорость процесса определяется концентрацией промежуточного продукта и специфической константой скорости его распада.

На основании этих простых положений Е. И. Шпитальским была построена стройная и содержательная теория промежуточных продуктов, которая позволила охватить большинство случаев гомогенного катализа. Она показала, что те простые порядки, под которые ранее подводились каталитические процессы, по существу являются фикциями, что если каталитический процесс идет по элементарному кинетическому закону, это не значит, что он идет по элементарному механизму. Этот принципиальный вопрос об определении порядков реакции в таком общем виде был впервые оставлен в науке; Е. И. Шпитальский вписал новую главу не только в область катализа, но и в область химической кинетики. После работ Е. И. Шпитальского уже невозможно говорить о том, что порядок реакции однозначно определяется его механизмом.

Впоследствии, еще при жизни Е. И. Шпитальского, и далее, работами его учеников, эти положения его теории были подтверждены с полной ясностью на многочисленных объектах и с самых разных сторон. Было, например, показано, что порядок каталитического процесса можно существенно изменить (например, от нулевого до первого) вариацией физико-химических условий катализа, как, например, концентрацией субстрата, рН среды, температурой; была разработана новая область совместного действия нескольких катализаторов (Н. Н. Петин с сотрудниками), развита теория активированного образования промежуточных продуктов и скрытого катализа.

Весьма важным и новым элементом в теории промежуточных продуктов Е. И. Шпитальского, как уже указывалось, явилось представление о существовании нескольких промежуточных форм, резко отличающихся своей каталитической активностью. Е. И. Шпитальский говорит о существовании активных и пассивных промежуточных продуктов, причем пассивные промежуточные продукты совсем не являются безразличными для катализа, так как они могут связывать значительные количества катализатора, отнимая его от образования активных промежуточных форм.

Е. И. Шпитальский и его сотрудники выделили и идентифицировали целый ряд новых активных и пассивных форм промежуточных продуктов, причем оказалось, что пассивность и активность этих продуктов в значительной мере связаны с их структурой (с количеством О-атомов в продукте, с его термохимией и термодинамикой, возможностью рекомбинации этих атомов, с рН среды и т. д.)

Если сравнить первые варианты теории промежуточных продуктов — сначала Лэнгмюра, потом Вант-Гоффа и, наконец, Михаэлиса (для ферментных процессов) — с теорией промежуточных продуктов Е. И. Шпитальского, то будет ясно видно, какой огромный прогресс внесли работы Е. И. Шпитальского в эту область.

Новаторский характер работ Е. И. Шпитальского в гомогенном катализе можно даже всего сопоставить с адсорбционной теорией гетерогенного катализа Лэнгмюра. Но в то время как Лэнгмюр существенно упрощает картину катализа, предполагая образование единственного промежуточного комплекса, ведущего гетерогенный катализ, Е. И. Шпитальский вышел за границы этих представлений, допустив и доказав образование целой серии промежуточных продуктов. Возможно, что внесение этих представлений Е. И. Шпитальского в гетерогенный катализ могло бы модернизировать и улучшить концепцию Лэнгмюра. Созданная Е. И. Шпитальским теория промежуточных продуктов получила общее признание. Работы Е. И. Шпитальского по теории гомогенного катализа являются несомненно одним из крупных вкладов советской физической химии в мировую физико-химическую науку.

Наряду с катализом вторым параллельным предметом, интересовавшим Евгения Ивановича, была прикладная и теоретическая электрохимия. Этот интерес начался с Евгения Ивановича с практических вопросов, которым посвящен ряд патентов и процессов, разработанных им с сотрудниками. Но на позднейшем этапе своей деятельности Евгений Иванович все более стал сосредоточиваться на теоретической электрохимии, именно, на проблеме необратимых электродных процессов — на явлении перенапряжения и деполяризации катодов, на электродиффузии водорода через металлические мембраны и др.

Обстоятельства помешали Евгению Ивановичу лично развить эту область, ему по праву принадлежит роль инициатора в постановке проблемы перенапряжения в советской электрохимии, в которой она сейчас занимает важное место.

Внезапная смерть Евгения Ивановича Шпитальского 23 ноября 1931 г., на 52-ом году жизни, оборвала много творческих замыслов. Но его труды оставили глубокий след в науке о катализе; яркая личность Евгения Ивановича не может быть забыта кем, кто соприкасался с ним в его многогранной деятельности.

А. В. Памфилов, К. Г. Хомяков, Н. Н. Кобзев

СОДЕРЖАНИЕ

Н. В. Соловьев и А. Н. Баратов. Зависимость нижних концентрационных пределов воспламенения газозвоздушных смесей от молекулярной структуры горючего компонента	1661
Е. П. Бабин, В. Г. Плоский, М. И. Насакина и Н. М. Родигин. Закономерности замещения атомов водорода в бензольном ядре алкильными группами. XI	1671
А. В. Сторонкин и А. И. Русанов. Термодинамическая теория критических явлений в трехкомпонентных системах. VI	1677
А. Г. Стромберг и А. И. Картушинская. Полярографическое изучение неорганических окислительно-восстановительных систем. I	1688
Л. В. Гурвич. Определение теплот сублимации металлов на основании измерений аномальной дисперсии методом Рождественского	1691
Ан. Н. Несмеянов, Л. П. Фирсова и Е. П. Исакова. Измерение давления насыщенного пара твердой окиси свинца методом потока	1699
И. Р. Кричевский, Н. Е. Хазанова и Л. П. Смирнов. Кинетические явления в системе гексаметиленмин — вода. IV	1702
Б. В. Страхов, В. П. Лебедев и Н. И. Кобозев. Физико-химия концентрированного озона. X	1706
П. А. Измайлов и Т. В. Можарова. Термодинамические свойства электролитов в неводных растворах. XI	1709
Н. П. Гнусин. Экспериментальная проверка условия моделирования электрических полей в электролитах	1717
П. В. Гельд и А. К. Красовская. Механизм сульфидной коррозии железа. II	1721
М. Н. Данчевская и Н. И. Кобозев. Катализ парами металлов. I	1728
М. И. Шахпаронов, Э. А. Баламутова, С. Л. Лельчук, Е. П. Михеев, Л. В. ШUTOва, Л. Ф. Глушкова и М. Е. Мартынова. Исследование давления и плотности пара в системах, содержащих кремнийорганические соединения. I	1734
А. П. Попков, И. Л. Климасенко и А. Т. Ваграмян. Поляризация при электроосаждении никеля, кобальта и железа на твердом и жидком катоде	1741
Д. П. Добычин и Ц. М. Клибанова. Модельное изучение регенерации алюмосиликатных катализаторов крекинга. III	1745
М. А. Лошкарев и Б. И. Томилов. Исследование кинетики электрохимических окислительно-восстановительных реакций. I	1753
В. П. Васильев, Е. К. Золотарев, А. Ф. Капустинский, К. П. Мищенко, Е. А. Подгорная и К. Б. Яцимирский. Наиболее вероятные значения химических теплот, энергий и энтропий гидратации отдельных ионов при бесконечном разбавлении и 25° С	1763
Г. О. Пилоян, А. М. Евсеев и Я. И. Герасимов. Термодинамические свойства сплавов системы хром — тантал	1768
Р. М. Флид. Кинетика и механизм каталитических превращений ацетилена	1773
Г. Б. Наринский. Термодинамическая обработка опытных данных по равновесию жидкость — пар в системе кислород — аргон	1778
П. Е. Хомутов. О параметре α -кинетических уравнений реакций электролитического выделения водорода и других электродных реакций	1788
В. П. Машовец и В. Г. Фомичев. Исследование цилиндрического и шарового биполярных электродов	1795
Д. А. Петров и Б. А. Колачев. Исследование очистки вещества от двух примесей методами, основанными на различии состава фаз при кристаллизации	1802
И. А. Васильева, Я. И. Герасимов и Ю. П. Симанов. Термодинамическое исследование реакции восстановления трехоксида вольфрама WO ₃ (α) водородом	1811
Р. И. Артым. К вычислению термодинамических функций идеальных газов по спектроскопическим данным	1816
Н. А. Фигуровский, Т. А. Комарова и Ю. И. Романьков. Влияние температуры на кристаллизацию солей калия из растворов	1826
В. Н. Кострюков и Г. Х. Морозова. Термодинамические исследования при низких температурах. X	1833
А. М. Трофимов и Л. Н. Степанова. Радиохимическое исследование обмена ионов на набухающих ионитах	1837
Е. М. Шусторович и М. Е. Дяткина. Некоторые молекулярные интегралы с участием $3d$ -, $4s$ - и $4p$ -орбит. II	1843
А. М. Евсеев. Радиальная функция распределения атомов в жидкости	1847
В. И. Рыков. О температурной зависимости теплоты испарения неассоциированной жидкости	1851
В. Г. Манжелей. Исследование явления диффузии в некоторых органических жидкостях с большим молярным объемом	1856
В. Я. Леонидов, Т. Н. Резухина и И. А. Березникова. Теплосмкость уранатов (VI) кальция и бария при высоких температурах	1862

Е. Брежнева, С. Н. Озиранер и В. Н. Розанова. Адсорбция катионов осадком оксиацетата железа	1866
---	------

Методы и техника физико-химического исследования

И. Лейкис и Л. Л. Кноц. О возможности обнаружения концентрационной поляризации путем измерения импеданса электрода	1872
А. Бакаев. Калориметр с устанавливающимся тепловым потоком и автоматический компенсатор	1875

Дискуссия

П. Торопов и Г. А. Бродская. О величинах A и E , входящих в уточненную формулу для расчета вязкости жидкостей Г. М. Панченкова	1879
М. Панченков. О статье А. П. Торопова и Г. А. Бродской. «Об уточненной ф-ле расчета вязкости жидкостей Г. М. Панченкова»	1883

Письма в редакцию

Ю. Шоу-жун, Г. М. Будов и С. И. Жданов. К вопросу о разрядке ионов лантана на ртутном катоде	1885
--	------

Хроника

В. Памфилов, К. Г. Хомяков и Н. И. Кобозев. Евгений Иванович Шпитальский	1887
--	------

CONTENTS

V. Solov'ev, A. N. Baraton, The Dependence of the Lower Concentration Limits of Inflammation of Gas-Air Mixtures upon the Molecular Structure of the Combustible Component	1661
P. Babin, V. G. Plusnin, M. I. Nasakina, N. M. Rodygin. Correlations in the Substitution of Benzene Hydrogen by Alkyl Groups. XI	1671
V. Storonkin, A. I. Rusanov. Thermodynamic Theory of Critical Phenomena in Three-Component Systems. VI	1677
G. Stromberg, A. I. Kartushinskaya. Polarographic Study of Inorganic Oxidation-Reduction Systems. I	1684
V. Gurvich. Optical Method of Determining the Heats of Sublimation of Metals. Thermodynamic Properties and Heats of Sublimation of Gallium, Indium and Thallium	1691
L. N. Nesmeyanov, L. P. Firsova, E. P. Isakova. Saturated Vapor Pressure Measurements of Solid Lead Oxide by the Flow Method	1699
P. Krichevskii, N. E. Khazanova, L. P. Smirnov. Critical Phenomena in the System Hexamethylenimine-Water	1702
V. Strakhov, V. P. Lebedev, N. O. Kobozev. Physical Chemistry of Concentrated Ozone. X.	1706
A. Izmailov, T. V. Mozharova. Thermodynamic Properties of Electrolytes in Non-Aqueous Solutions. XI	1709
P. Gnusin. Experimental Investigation of the Conditions for Model Testing of Electric Fields in Electrolytes	1717
V. Gel'd, A. K. Krasovskaya. Mechanism of the Sulfide Corrosion of Iron. II	1721
N. Danchevskaya, N. I. Kobozev. Catalysis by Metal Vapors I. Shakhparonov, Z. A. Balamutova, C. L. Lelechuk, E. P. Mikheev, L. V. Shutova, L. F. Glushkova, M. E. Martynova. Vapor Pressures in Systems Containing Organosilicon Compounds. I	1734
P. Popkov, N. L. Klimasenko, A. T. Vagramyan. Polarization in the Electrodeposition of Nickel, Cobalt and Iron on a Solid and Liquid Cathode	1741
P. Dobychin, Ts. M. Klibanova. Model Studies of the Regeneration of Aluminosilicate Cracking Catalysts. III	1745
A. Loshkarev, B. I. Tomilov. Kinetic Studies of Electrochemical Oxidation-Reduction Reactions. I	1753
P. Vasil'ev, E. K. Zolotarev, A. F. Kapustinskiĭ, K. P. Mischenko, E. A. Podgornaya, K. B. Yatsimirskii. Most Probable Values for the Chemical Heats, Energies and Entropies of Hydration of Individual Ions at Infinite Dilution and 25° C	1763

G. O. Piloyan, A. M. Evseev, Ya. I. Gerasimov. Thermodynamic Properties of Alloys of the System Chromium—Tantalum	1768
P. M. Flid. Kinetics of the Mechanism of Catalytic Transformations of Acetylene. IV.	1773
G. B. Narynskiĭ. Thermodynamic Treatment of Experimental Data on Vapor—Liquid Equilibrium in the System Oxygen—Argon	1778
N. E. Khomutov. On the α -Parameter of Kinetic Equations for the Electrolytic Liberation of Hydrogen and Other Electrode Processes	1788
V. P. Mashovets, F. G. Fomicheva. Investigation of Cylindrical and Spherical Bipolar Electrodes	1793
D. A. Petrov, B. A. Kolachev. Removal of Two Impurities from a Material with the Aid of Directional Crystallization Methods	1802
I. A. Vasil'eva, Ya. I. Gerasimov, Yu. P. Simanov. Thermodynamic Study of the Reduction of Tungsten Trioxide by Hydrogen	1811
R. I. Artym. Calculation of the Thermodynamic Functions of Ideal Gases from Spectroscopic Data	1816
N. A. Figurovskii, T. A. Komarova, Yu. I. Roman'kov. Effect of Temperature on the Crystallization of Potassium Salts from Solution at Low Temperatures. X.	1826
V. N. Kostryukov, K. Kh. Morozova. Thermodynamic Studies at Low Temperatures. X.	1833
A. M. Trofimov, L. N. Stepanova. Radiochemical Investigation of Ion Exchange on Swelled Exchangers	1837
E. M. Shustorovich, M. E. Dyatkina. Some Molecular Integrals with the Participation of $3d$ -, $4s$ - and $4p$ -Orbitals	1843
A. M. Evseev. Radial Distribution Function of Atoms in a Liquid.	1847
V. I. Rykov. Temperature Dependence of the Heats of Vaporization of a Non-Associated Liquid	1851
V. G. Manzheliĭ. Investigation of Diffusion in Some Organic Liquids with Large Molar Volumes	1856
V. Ya. Leonidov, T. N. Razukhina, I. A. Bereznikova. Heat Capacity of Calcium and Barium Uranates (VI) at High Temperatures	1862
N. E. Brezhneva, S. N. Oziraner, V. N. Rozanova. Adsorption of Cations on Iron Hydroxyacetate Precipitate	1866

Experimental Methods and Apparatus

D. I. Leikis, L. I. Knets. On the Possibility of Revealing Concentration Polarization by Measurements of the Electrode Impedance	1872
V. A. Bakeev. Calorimeter with Steady Heat Flux and Automatic Compensator	1875

Discussion

A. P. Toropov, G. A. Brodskaya. On the Quantities A and E in the Corrected Formula of G. M. Panchenkov for Calculating the Viscosity of Liquids	1879
G. M. Panchenkov. On the Corrected Formula of G. M. Panchenkov for Calculating the Viscosity of Liquids	1883

Letters to the Editor

Lyu-Shou-Jun, G. M. Budov, S. I. Zhdanov. On the Discharge of Lanthanum Ions at the Mercury Cathode	1885
---	------

Miscellany

A. B. Pamfilov, K. G. Khomyakov, N. I. Kobozev. Evgenii Ivanovich Shpital'skiĭ	1887
--	------

К СВЕДЕНИЮ АВТОРОВ

Статьи, направляемые в Журнал физической химии, должны удовлетворять следующим требованиям:

1. Статьи должны быть изложены в наиболее сжатой форме, совместимой с ясностью изложения, и тщательно отредактированы в рукописи.

2. Статьи, излагающие результаты работ, проведенных в учреждениях, должны обязательно иметь направление учреждения. В конце статьи автором должно быть указано название научного учреждения, в котором произведена работа.

3. Статья обязательно должна быть подписана автором, причем инициалы и фамилия автора должны быть четко повторены на машинке. К статье должны быть приложены адрес автора, место его работы, № телефона для переговоров.

4. Статьи присылаются в редакцию в двух экземплярах, четко переписанные на машинке без помарок и вставок, на одной стороне листа, через два интервала, с оставлением с левой стороны листа поля в 4 см. Страницы рукописи должны быть пронумерованы по порядку, без литерных наращений (т. е. 7, 8, 9 и т. д., а не 7, 7а, 8, 9, 9а, 9б и т. д.).

5. Формулы и буквенные обозначения величин должны быть вписаны четко и ясно от руки. Особенное внимание следует обращать на тщательное изображение индексов и показателей степеней. Показатели и другие надстрочные значки отмечаются скобкой — , а подстрочные скобкой — .

Необходимо делать ясное различие между заглавными и строчными буквами, для чего заглавные буквы подчеркнуть снизу двумя черточками (например, $\underline{\underline{O}}$), а строчные двумя черточками сверху (например, $\overset{\circ}{o}$, 0 (нуль) оставлять без подчеркивания. Это особенно относится к таким буквам, как s и S , k и K , r и R , u и U , z и Z , v и V , w и W . Греческие буквы нужно обводить красным карандашом.

6. Рисунки должны быть выполнены на белой бумаге или на кальке, тушью. Подписи и обозначения на рисунках должны быть сделаны карандашом. В тексте обязательно указать место для рисунков, вынося номер рисунка на поле. На обороте каждого рисунка должны быть поставлены фамилия автора, заглавие статьи, страница, к которой относится рисунок. Подписи к рисункам и фотографиям должны быть собраны на отдельном листе, прилагаемом к рукописи.

7. Следует избегать повторения одних и тех же данных в таблицах, графиках и тексте статьи.

8. Места, предназначенные к набору петитом, должны быть отмечены вертикальной чертой на полях.

9. Ссылки на литературу должны быть собраны в конце в виде списка и заключать инициалы и фамилию автора в подлиннике, название журнала, том (подчеркнуть снизу), страницу и год, а для книг: инициалы и фамилию автора, точное название книги, наименование издательства, место и год издания.

В тексте ссылки на литературу обозначаются порядковой цифрой в квадратных скобках. Категорически не допускаются ссылки на неопубликованные работы (кроме диссертаций). Иностранные фамилии и термины даются в тексте в русской транскрипции, а в перечне литературы — в оригинальной транскрипции.

10. Не следует употреблять сокращенных слов кроме общепринятых (т. е., т. п. и т. д.). Надлежит придерживаться следующих сокращений: килограмм — $кг$; грамм — $г$; грамм-молекула — $г-моль$; миллиграмм-молекула — $мг-моль$; метр — $м$; дециметр — $дм$; сантиметр — $см$; миллиметр — $мм$; литр — $л$; миллилитр — $мл$; квадратный сантиметр — $см^2$; кубический сантиметр — $см^3$; орто-, мета-, пара-, — $о$ -, $м$ - и $п$ -; нормальный — N , децинормальный — $0,1 N$; молярный — M ; температура кипения — $t_{кип.}$, температура плавления — $t_{пл.}$.

11. Статью обязательно заканчивать формулировкой выводов. Выводы должны содержать не оглавление разделов работы, а краткое изложение ее итогов; кроме выводов представлять резюме на английском языке, можно писать по-русски; в этом случае перевод будет выполнен редакцией.

12. В случае представления двух или более статей одновременно необходимо указать желательный порядок их помещения.

13. Статьи, не отвечающие перечисленным требованиям, возвращаются авторам для доработки.

14. В присылаемой корректуре исправляются только типографские ошибки, никакие изменения и добавления не допускаются.

15. В случае направления автору статьи для согласования внесенных редакцией изменений сохраняется первоначальная дата поступления статьи в редакцию, но при возвращении статьи автору для серьезной переработки и исправления датой представления считается дата принятия редакцией к публикации.

16. Редакция высылает автору бесплатно 50 отдельных отисков статьи. Несоблюдение перечисленных условий задерживает печатание статьи.

Непринятые рукописи авторам не возвращаются.

Технический редактор Н. А. Коллеурина

Т-11730 Подписано к печати 30/VIII—1960 г. Печ. л. 19,86+1 вкл. Уч.-изд. л. 21,4
Формат бумаги 70×108¹/₁₆ Бум. л. 7¹/₄ Зак. 689 Тираж 3585 экз.

2-я типография Издательства Академии наук СССР. Москва, Шубинский пер., 10

Цена 22 руб. 50 коп.